

**ANALISA CONSERVED REGION PROTEIN Matrik 2,
HEMAGGLUTININ, DAN NEURAMINIDASE PADA VIRUS
AVIAN INFLUENZA A SUBTIPE H5N1 DI INDONESIA UNTUK
PERANCANGAN VAKSIN DNA SECARA *IN SILICO***

HUDAN SODIQIN

030303029Y



**UNIVERSITAS INDONESIA
FAKULTAS MATEMATIKA DAN ILMU PENGETAHUAN ALAM
DEPARTEMEN KIMIA
DEPOK
2008**

**ANALISA CONSERVED REGION PROTEIN MATRIK 2,
HEMAGGLUTININ, DAN NEURAMINIDASE PADA VIRUS
AVIAN INFLUENZA A SUBTIPE H5N1 DI INDONESIA UNTUK
PERANCANGAN VAKSIN DNA SECARA *IN SILICO***

**Skripsi diajukan sebagai salah satu syarat
untuk memperoleh gelar Sarjana Sains**

Oleh:

HUDAN SODIQIN

030303029Y



DEPOK

2008

SKRIPSI : ANALISA CONSERVED REGION PROTEIN MATRIK
2, HEMAGGLUTININ, DAN NEURAMINIDASE PADA
VIRUS AVIAN INFLUENZA A SUBTIPE H5N1 DI
INDONESIA UNTUK PERANCANGAN VAKSIN DNA
SECARA IN SILICO

NAMA : HUDAN SODIQIN

NPM : 030303029Y

SKRIPSIINI TELAH DIPERIKSA DAN DISETUJUI

DEPOK, JULI 2008

PROF. DR. USMAN SUMO FRIEND TAMBUNAN, M.Sc

PEMBIMBING

Tanggal lulus Ujian Sidang Sarjana: 15 Juli 2008

Pengaji I :

Pengaji II :

Pengaji III:

KATA PENGANTAR

Bismillahirrahmanirrahim, puja dan puji syukur kehadirat Allah SWT yang telah menciptakan alam semesta beserta isinya, yang memberikan kesempatan kepada penulis untuk merasakan kenikmatan iman, islam, dan kesehatan. Shalawat serta salam penulis sampaikan kepada Rasul Muhammad saw sebagai nabi terakhir yang telah dijanjikan dalam kitab-kitab suci yang diyakini umat Islam, yang menjadi perantara pembawa risalah warisan terbesar dalam sejarah dunia (Al-Quran) serta teladan bagi segala pengikutnya (Al-Hadist).

Persembahan terima kasih penulis sampaikan kepada Prof. Dr. Usman Sumo Friend Tambunan yang memberikan bimbingan penelitian maupun bimbingan dalam perihal yang lainnya diluar penelitian. Satu hal yang tidak terlupakan, saat penulis mengikuti kuliah semester pendek metabolisme dimana saat itu saya diminta untuk membuat soal ujian akhir kuliah tersebut dan diminta saya yang menguji teman-teman yang kuliah tersebut bersama saya. Cukup mengejutkan saya. Pada akhirnya pada kuliah ini saya diberi nilai A- tanpa ujian akhir seperti teman-teman lain karena ujiannya lisan dan saya yang menguji. Pada saat itu saya merasa dihargai, ini sebuah titik tolak bagi penulis bahwa pentingnya kita menghargai seseorang. Inilah salah satu pelajaran yang didapat saat bersama Prof Usman diluar akademis, dan masih banyak lainnya yang tidak mungkin diceritakan disini.

Penulis mempersembahkan karya penulisan skripsi ini kepada Ayah dan Mamah, terima kasih karena telah memikul tanggung jawab berupa amanah menjadi orang tua dari anak bernama Hudan Sodiqin. Adik-adik penulis: Nurjanah, S.Si, Akil Mujannah, Nurlaila Sari, dan adik tambahan si kecil Fardan Fathurrahman.

Kepada tim penelitian bioinformatik tidak lupa penulis ucapan terima kasih. Untuk Arli Aditya Parikesit, M.Si atas segala kesedian waktunya untuk membantu penulis dan berdiskusi dengan penulis. Rekan-rekan penulis: Yusi K. D., S.Si, Ihdina I. R., S.Si, M. Ichsan, S.Si, Makky M., S.Si, Fari M. Selanjutnya rekan-rekan penelitian bioinformatik S2: Pak Yoyon, Pak Idrus, Pak Oksya, Pak Syamsudin, Pak Rame, dan Mba Fitri, Mba Santi, Mba Sinta.

Untuk kawan-kawan penulis yang tercinta: Agus, Redi, Andi, Lukman, Gunawan, Jarot, Indra, Adit, Mila, Intan, Andy, Santi, Thariq. JKM-17 dan JKMI-14: Bang Gari, Rangga, Jahid, Rahman, Nasrul, Bang Abas, Bang Aji, Bang Habibi, Kholid, Shofwan, Bang Arif, Pak Miko, Pak Basit, Pak Porkas, Pak Ade. Rekan-rekan SJK, FMA dan FIA 2003, HMD KIMIA UI, SM FMIPA UI 2004 dan 2005 (Kreator: fika, citra, indah, dea, fai, hilmi, suki, usep, seno, hamzah) BPM FMIPA UI 2006, MS dan SALAM UI. Adik-adik kimia 2006: Wisnu, Zico, Noval, Ade, Firman, Yudha. Guru-guru dan kawan-kawan SDN Grogol 05 pagi, SLTPN 89, SMUN 78.

Pada kesempatan ini, penulis juga mengucapkan rasa terima kasih kepada seluruh dosen dan karyawan Departemen Kimia FMIPA UI atas dedikasi dan keikhlasannya dalam mengemban tugas mulia yang

diamanahkan kepada masing-masing. Pembimbing akademis penulis: Dr. rer. nat Budiawan atas segala bimbingan dan saran yang telah diberikan selama ini. Penguji skripsi penulis.

Pak Demmy, Qiqi, Ali, Andika, Haro, Lia, Vena, Bang Yoga, Ela, Rina, Tia, Vera, Mais, Nia, Upi, Dina, Hidrin, Krisnu, Hasbi, Fahmi, Emay, tim futsal kimia 2003. Kawan-kawan kimia angkatan 2003, 2002, 2001, 2004, 2005, 2006, 2007 yang tidak disebutkan namanya, mohon maaf karena keterbatasan penulis.

Chairul, Budi, Akhyar, Yoga, Yogie, Taufan, Awan, Gunarsa, Harpan, Haekal, Alfath, Aji, Adit, Wisnu, Budi, Fauzur, Isnandhi, Wahyu. Kawanku Asyudi, Andri, Mawan, Hari, Fathoni.

Pak Tris yang banyak membantu kemudahan dalam memenuhi kebutuhan penulis di Perpustakaan Kimia FMIPA UI.

Seluruh dosen dan karyawan FMIPA UI (selain Departemen Kimia). Juga untuk seluruh pihak yang telah membantu penulis dalam penyelesaian skripsi.

Semoga skripsi ini dapat berguna bagi masyarakat terutama dalam dunia ilmu pengetahuan, teknologi, dan kesehatan Indonesia. Amiin.

Penulis

2008

ABSTRAK

Flu burung adalah penyakit menular akibat virus yang sangat menakutkan karena dapat menjadi pandemik dan mortalitasnya yang sangat tinggi pada manusia. Tercatat tiga kali pandemik avian influenza pada manusia pada tahun 1918, 1957, dan 1968 yang menyebabkan puluhan juta orang meninggal dunia. Ancaman munculnya pandemik kembali terjadi dengan kemunculan virus *avian influenza* subtipen A H5N1. Sampai dengan tanggal 3 Februari 2008, jumlah kasus Flu Burung di Indonesia mencapai 126 kasus, 103 diantaranya meninggal. Angka kematian atau *Case Fatality Rate* (CFR) kasus Flu Burung mencapai 81,7%. Salah satu langkah antisipasi adalah vaksinasi. Studi *in silico* dilakukan untuk merancang vaksin DNA H5N1. Sekuen asam amino *hemagglutinin* (HA), *neuraminidase* (NA), dan protein matrik 2 (M2) virus H5N1 diperoleh dari Genbank, kemudian dilakukan *multiple alignment* menggunakan program ClustalX, pencarian *conserved region* menggunakan BioEdit, prediksi *epitope T-cell* dilakukan dengan tahapan-tahapan: *proteasomal cleavage* (MAPPP), *Transporter Antigen Processing (TAP) binding* (TAPPred), *Major Histocompatibility complex (MHC) I binding* (MULTIPRED dan immune epitope). Dari prediksi *epitope* didapat masing-masing satu kandidat *conserved region* protein HA, NA, dan M2 yang kemudian dilakukan *reverse translasi* sehingga didapat masing-masing satu kandidat sekuen DNA *conserved region* HA, NA, dan M2

yang akan disisipkan pada plasmid pCMV-HA menggunakan enzim restriksi *EcoRI*, *SalI*, *BglII*, dan *Xhol*. Didapat enam rancangan sekuen vaksin DNA yang dari pengujian translasi keenam protein hasil translasi menunjukkan kesamaan 100% dengan *conserved region* protein HA, NA, dan M2 awal dan prediksi *proteasomal cleavage* (MAPPP) protein hasil translasi menunjukkan *epitope* pada prediksi protein *conserved region* HA, NA, dan M2 awal tetap dihasilkan.

Kata kunci: *conserved region*, studi *in silico*, perancangan, vaksin DNA, flu burung (H5N1).
xiv + 216 hlm.; gbr.; lamp.; tab.
Bibliografi: 58 (1978-2007)

DAFTAR ISI

	Halaman
KATA PENGANTAR	i
ABSTRAK	iv
DAFTAR ISI	vi
DAFTAR GAMBAR	x
DAFTAR TABEL	xii
DAFTAR LAMPIRAN	xiii
BAB I PENDAHULUAN	1
BAB II TINJAUAN PUSTAKA	4
2.1 Virus Influenza	4
2.2 Avian Influenza A (H5N1)	7
2.3 Infeksi Pada Manusia	8
2.4 Hemagglutinin	10
2.5 Neuraminidase	11
2.6 Protein Matrik 2	11
2.7 Sistem dan Respon Imunitas	12
2.7.1 Definisi dan Ruang Lingkup	12
2.7.2 Antigen	13

2.7.3 Komponen Sistem Imunitas	16
2.7.4 Imunologi Virus	20
2.8 Protein	23
2.9 Vaksin	23
2.9.1 Definisi dan Ruang Lingkup	23
2.9.2 Vaksin DNA	24
2.10 Plasmid	25
2.11 DNA Rekombinan	26
2.12 Translasi	30
2.13 Bioinformatika	35
2.13.1 Definisi dan Ruang Lingkup	35
2.13.2 Database	36
2.13.3 <i>Influenza Virus Resource (IVR-NCBI)</i>	36
2.13.4 <i>GenBank Flatfile Format</i>	37
2.13.5 <i>Multiple Sequence Alignments</i>	38
2.13.6 <i>Conserved Region</i>	39
2.13.7 <i>Epitope Prediction Server</i>	39
2.13.8 <i>Database Similarity Searching</i>	40
 BAB III METODE PENELITIAN	41
3.1 Pencarian Sekuen Protein HA, NA, dan M2 Virus H5N1	41
3.2 <i>Multiple Sequence Alignments</i>	42
3.3 Penentuan <i>Conserved Region</i>	42

3.4 Prediksi <i>Proteasomal Cleavage</i> Protein HA, NA, dan M2 Virus H5N1	42
3.5 Prediksi TAP <i>Binding</i> Protein HA, NA, dan M2 Virus H5N1	43
3.6 Prediksi <i>epitope T-cell</i> Protein HA, NA, dan M2 Virus H5N1	44
3.7 Reverse Translasi	44
3.8 Pemilihan Vektor	45
3.9 Perancangan Vaksin DNA	45
3.10 Translasi Vaksin DNA	46
BAB IV HASIL DAN PEMBAHASAN	47
4.1 Pencarian Sekuen Protein HA, NA, dan M2 Virus H5N1	47
4.2 <i>Multiple Sequence Alignments</i>	48
4.3 Penentuan <i>Conserved Region</i>	49
4.4 Prediksi <i>Proteasomal Cleavage</i> Protein HA, NA, dan M2 Virus H5N1	51
4.5 Prediksi TAP <i>Binding</i> Protein HA, NA, dan M2 Virus H5N1	52
4.6 Prediksi <i>epitope T-cell</i> Protein HA, NA, dan M2 Virus H5N1	52
4.7 Reverse Translasi	55
4.8 Perancangan Vaksin DNA	56
4.8.1 Pemilihan Plasmid pCMV-HA	56
4.8.2 Pemilihan Enzim Restriksi Endonuklease	58

4.8.3 Rekombinasi Plasmid pCMV-HA dengan DNA Conserved <i>Region 13 Hemagglutinin (HA), Conserved Region 12 Neuraminidase (NA), dan Conserved Region 1</i>	
Protein Matrik 2 (M2)	61
4.9 Translasi Vaksin DNA	64
4.10 Alignment, BLAST dan Prediksi <i>Proteasomal Cleavage</i> Protein Translasi Vaksin DNA	65
BAB V KESIMPULAN DAN SARAN	68
5.1 Kesimpulan	68
5.2 Saran	69
DAFTAR PUSTAKA	71
LAMPIRAN	77

DAFTAR GAMBAR

	Halaman
Gambar 1. Struktur virus influenza.....	4
Gambar 2. Mekanisme masuk dan penggandaan virus dalam sel host.....	5
Gambar 3. Tipe <i>antigenic determinant</i>	16
Gambar 4. Pengenalan fragmen protein asing pada MHC oleh <i>T-cell</i> ..	19
Gambar 5. Respon sistem imunitas pada virus	22
Gambar 6. Tahap-tahap Teknologi DNA rekombinan	28
Gambar 7. Proses inisiasi, pemanjangan dan terminasi yang ditandai dengan adanya stop kodon UAA pada ribosom....	31
Gambar 8. Proses pembentukan protein pada ribosom. P site merupakan awal pembentukan metionin dan A site merupakan sisi pemanjangan pembentukan protein	33
Gambar 9. Plasmid pCMV-HA dengan MCS sebagai sisi polilinker atau pengklonan ganda yang terletak antara promotor CMV dan <i>polyadenylation signal</i>	57
Gambar 10. Pemotongan 10 enzim restriksi pada MCS plasmid pCMV-HA menggunakan software pDRAW32	58
Gambar 11. Hasil pengujian 10 enzim endonuklease restriksi sisi pemotongan MCS plasmid pCMV-HA pada sekuen DNA	

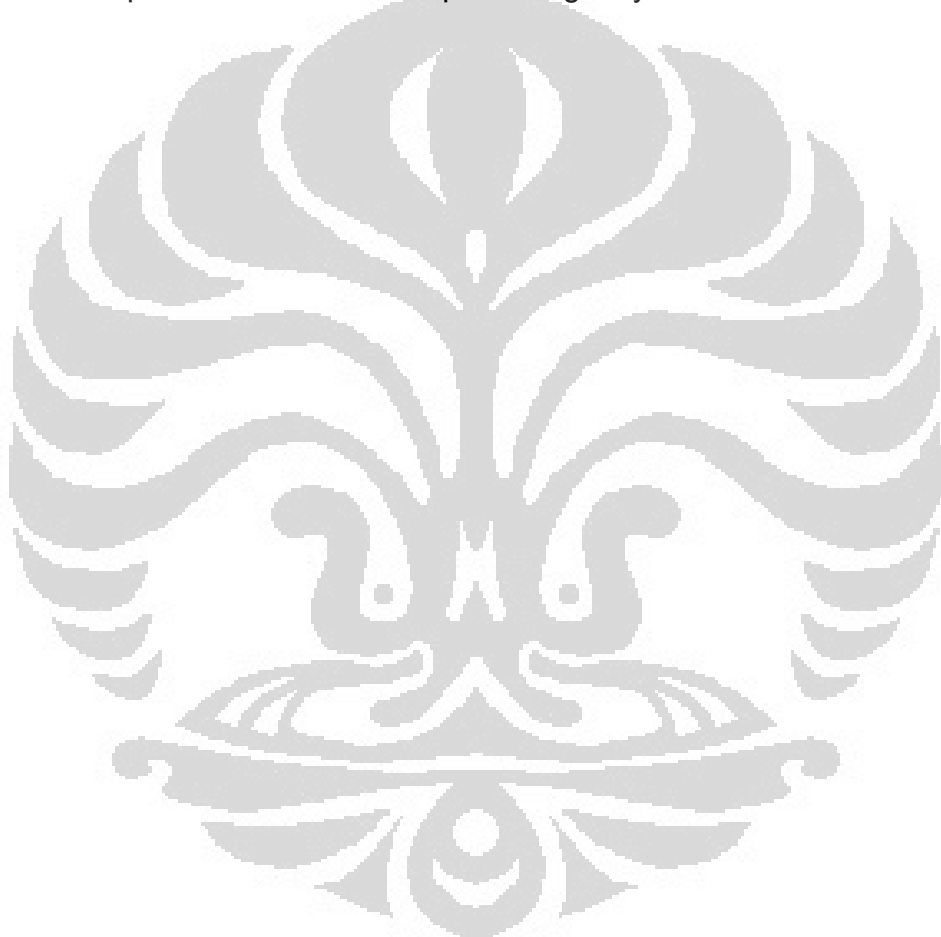
<i>conserved region 13 HA, conserved region 12 NA, conserved region 1 M2 menggunakan software pDRAW32.</i>	60
Gambar 12. Situs pemotongan <i>EcoRI, Sall, BgII, dan Xhol</i>	61
Gambar 13. Sekuens DNA <i>conserved region</i> setelah ditambah situs pemotongan <i>EcoRI, Sall, BgII, dan Xhol</i>	62
Gambar 14. Plasmid Rekombinan <i>pCMV-HA_HNM2, pCMV-HA_HM2N, pCMV-HA_NHM2, pCMV-HA_NM2H, pCMV-HA_M2HN, dan pCMV-HA_M2NH</i>	63
Gambar 15. BLASTp hasil translasi protein <i>pCMV-HA_HM2N, pCMV-HA_HNM2, pCMV-HA_M2HN, pCMV-HA_M2NH, pCMV-HA_NHM2, dan pCMV-HA_NM2H</i>	67

DAFTAR TABEL

Halaman

Tabel 1. Endonuklease yang terdapat pada MCS plasmid

pCMV-HA beserta sisi pemotongannya 59



DAFTAR LAMPIRAN

	Halaman
Lampiran 1. Informasi Genetik Virus H5N1 Hemagglutinin dalam Format GBFF	77
Lampiran 2. Daftar kode dua puluh asam amino	78
Lampiran 3. Sekuens Asam Amino H5N1 <i>Hemagglutinin</i> (HA), <i>Neuraminidase</i> (NA), dan matrik 2 (M2) <i>host human</i> dalam Format FASTA	79
Lampiran 4. <i>Multiple Sequence Alignments Hemagglutinin</i> (HA), <i>Neuraminidase</i> (NA), dan matrik 2 (M2)	101
Lampiran 5 <i>Conserved Region Hemagglutinin</i> (HA), <i>Neuraminidase</i> (NA), dan Protein Matrik 2 (M2)	117
Lampiran 6. <i>Proteasomal Cleavage Protein Hemagglutinin</i> (HA), <i>Neuraminidase</i> (NA), dan matrik 2 (M2) Virus H5N1 (MAPPP)	131
Lampiran 7. <i>TAP Binding Protein Hemagglutinin</i> (HA), <i>Neuraminidase</i> (NA), dan matrik 2 (M2) Virus H5N1 (TAPPred)	133
Lampiran 8. Prediksi <i>Epitope T-cell</i> Protein <i>Hemagglutinin</i> (HA), <i>Neuraminidase</i> (NA), dan matrik 2 (M2).	136

Lampiran 9. <i>Reverse Translasi Conserved Region 13 Hemagglutinin (HA), Conserved Region 12 Neuraminidase (NA), dan Conserved Region 1 Protein matrik 2 (M2)</i>	155
Lampiran 10. Sekuen pCMV-HA.	156
Lampiran 11. Hasil Perancangan Vaksin DNA.	157
Lampiran 12. <i>Alignment Protein Translasi Vaksin DNA</i>	177
Lampiran 13. BLASTp Protein Translasi Vaksin DNA.	185
Lampiran 14. <i>Proteasomal Cleavage Protein Translasi Vaksin DNA</i>	212
Lampiran 15. Daftar Singkatan.	215
Lampiran 16. Bagan Kerja Penelitian.	216

BAB I

PENDAHULUAN

Avian influenza (AI) atau flu burung merupakan salah satu jenis infeksi akibat virus (H5N1) yang sangat menakutkan karena dapat menjadi pandemik dan mortalitasnya sangat tinggi pada manusia. *Avian influenza* subtipe H5N1 pertama-tama terdeteksi pada burung dan manusia di Hongkong pada tahun 1997 dan menewaskan 6 orang dari 18 orang penduduk yang terinfeksi (Horimoto dan Kawaoka, 2001). Kemudian muncul kembali pada akhir tahun 2003 dan setelah itu menyebar ke negara-negara di Asia, Afrika, dan Eropa. *Strain avian influenza* sangat berbahaya karena dapat berakibat fatal kepada manusia (lebih dari 50% penderita akhirnya meninggal) dan kemungkinan penyakit tersebut dapat menyebar antar manusia (<http://www.who.int>, 18 November 2007, 06:00 WIB).

Pandemik *avian influenza* terjadi secara tidak terduga, setelah tahun 1900 terjadi pandemik *avian influenza* sebanyak tiga kali yaitu 1918 (*Spanish flu*), 1957 (*Asian flu*), dan 1968 (*Hong kong flu*). Berdasarkan data WHO pada tahun 1918-1919, lebih dari 50 juta orang yang meninggal dunia karena pandemik *Spanish flu* (<http://www.who.int>, 18 November 2007, 06:00 WIB).

Avian influenza H5N1 (AI H5N1) disebabkan oleh *Highly Pathogenic Avian Influenza Virus* tipe A famili *orthomyxoviridae* yang menyebar melalui kontak langsung maupun tidak langsung dengan hewan positif terinfeksi virus

H5N1 atau permukaan yang terkontaminasi virus H5N1 (darah, urin, dan feses, serta nasal) (<http://www.who.int>, 18 November 2007, 06:00 WIB). AI H5N1 telah menyebar di Indonesia sejak kasus infeksi pertama ditemukan di Tangerang. AI H5N1 dapat bersifat epizootik dan panzootik (<http://en.wikipedia.org/wiki/H5N1.htm>, 5 November 2007, 20:40 WIB).

Sampai dengan tanggal 3 Februari 2008, jumlah kasus Flu Burung di Indonesia mencapai 126 kasus, 103 diantaranya meninggal. Angka kematian atau Case Fatality Rate (CFR) kasus Flu Burung mencapai 81,7% (http://www.burung.org/detail_txt.php?op=news&id=106, 22 Februari 2008, 14:13 WIB).

Virus H5N1 termasuk RNA virus, artinya RNA berfungsi sebagai pembawa informasi genetik. Virus H5N1 memiliki genom tunggal bersegmen yang tersusun atas delapan segmen ssRNA yaitu PB2, PB1, PA, HA, NP, NA, M dan NS. Sedangkan antigen virus H5N1 terdiri dari beberapa komponen yaitu antigen internal, terdiri dari genom RNA dan antigen eksternal yang terdapat pada permukaan, yaitu *hemagglutinin* (HA), *neuraminidase* (NA), dan protein matrik 2 (M2). Antigen yang terdapat pada lapisan permukaan merupakan pembeda atau yang menjadi perbedaan antar virus influenza. Virus influenza tipe A mempunyai 16 jenis *hemagglutinin* dan 9 jenis *neuraminidase* (Cox et al., 2005).

Salah satu kandidat vaksin AI H5N1 yang dapat digunakan untuk mencegah penyebaran AI H5N1 adalah vaksin DNA. Vaksin DNA terdiri dari plasmid vector (dari bakteri) yang mengandung *transgene* (dari organisme

yang menginfeksi seperti virus atau bakteri) yang disisipkan dibawah kontrol *eukaryotic promotor*, sehingga dapat mengekpresikan protein virus di dalam sel mamalia (Davis, 1997).

Efisiensi replikasi AI H5N1 sangat tergantung pada kerjasama protein *hemagglutinin* (HA) dan *neuraminidase* (NA) dari virus (Nidom, 2005). Protein matrik 2 (M2) merupakan protein pada virus influenza tipe A yang memiliki *conserved region* yang terpelihara selama proses evolusi virus (Tompkins *et al.*, 2007).

Beberapa penelitian menunjukkan vaksin DNA yang menggunakan sekuen genetik dari satu *strain* tidak hanya dapat melindungi dari *strain* tersebut tetapi juga melindungi dari subtipe yang berbeda, memberikan harapan atas kemampuan vaksin DNA untuk lebih efektif dalam melawan variasi penyakit (Wahren dan Liu, 2005).

Vaksin DNA H5N1 yang mengkode hemagglutinin terbukti memberikan respon imun yang efektif pada unggas dan mamalia (Zhang Qiang-Zhe *et al.*, 2005). Sama halnya vaksin DNA H5N1 yang mengkode matrik protein 2 terbukti memberikan respon imun yang efektif pada tikus percobaan (Tompkins *et al.*, 2007).

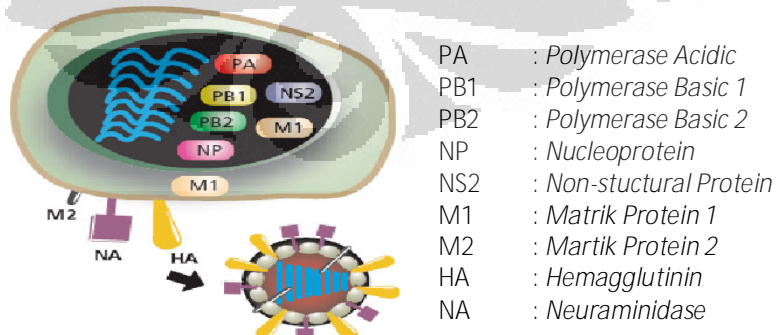
Tujuan penelitian ini adalah mencari *conserved region* protein *hemagglutinin* (HA), *neuraminidase* (NA), dan matrik 2 (M2) virus *avian influenza* H5N1 yang berasal dari Indonesia untuk perancangan vaksin DNA yang dapat mengkode *conserved region* protein *hemagglutinin* (HA), *neuraminidase* (NA), dan matrik 2 (M2) melalui pendekatan *in silico*.

BAB II

TINJAUAN PUSTAKA

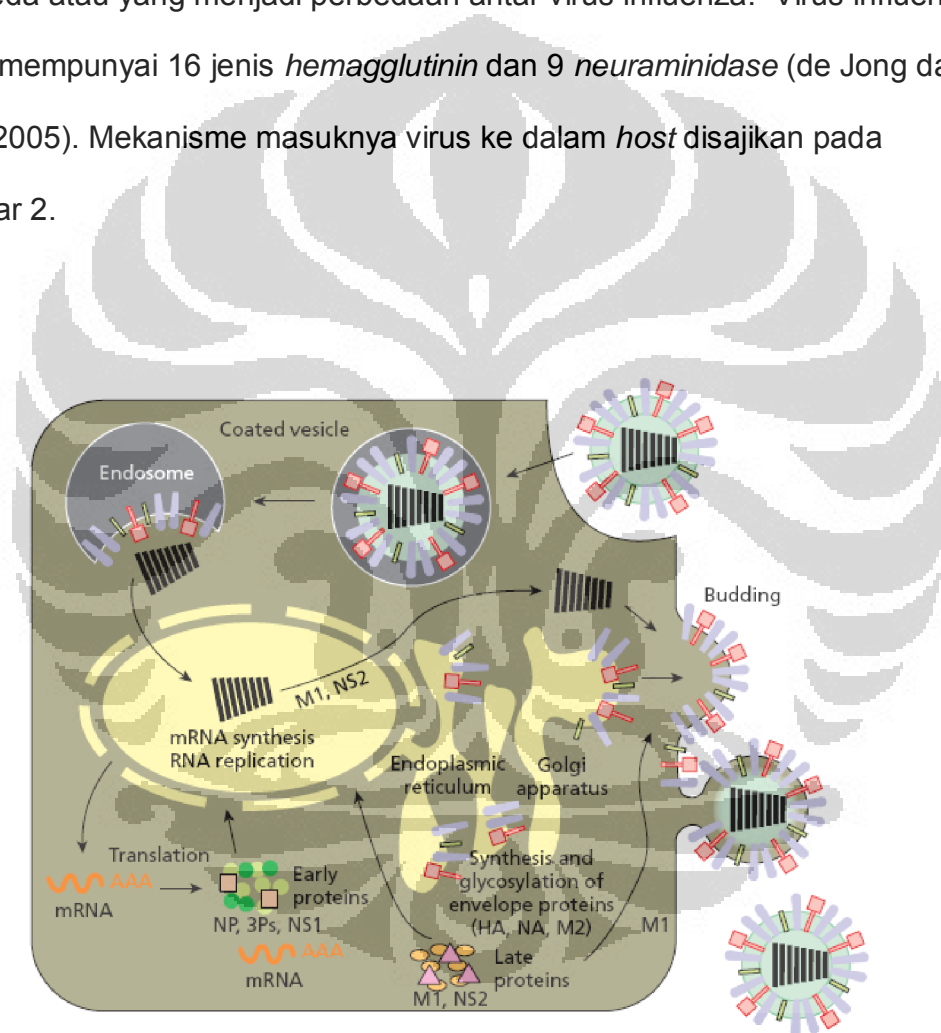
2.1 Virus *Influenza*

Virus influenza termasuk dalam famili *Orthomyxoviridae*, yang memiliki genom tunggal bersegmen. Ada tiga tipe virus influenza yaitu A, B, dan C. Influenza A dan B memiliki 8 segmen RNA sedangkan C hanya 7. Selain infeksi pada manusia maka virus influenza tipe A dapat pula menginfeksi burung, babi, anjing laut, kuda dan ikan paus. Mereka dapat menetap dan berkembang biak pada itik liar, yang berperan besar sebagai *reservoir* tetap bagi penyakit pada manusia, sedang tipe B dan C terutama menyerang manusia (Isbagio, 2004). Struktur virus influenza tipe A disajikan pada Gambar 1.



Gambar 1. Struktur virus influenza (Wagner et al., 2001).

Antigen virus influenza terdiri dari beberapa komponen yaitu antigen internal, terdiri dari genom RNA dan antigen eksternal yang terdapat pada permukaan , yaitu *hemagglutinin* (HA), *neuraminidase* (NA), dan protein matrik 2 (M2). Antigen yang terdapat pada lapisan permukaan merupakan pembeda atau yang menjadi perbedaan antar virus influenza. Virus influenza tipe A mempunyai 16 jenis *hemagglutinin* dan 9 *neuraminidase* (de Jong dan Tran, 2005). Mekanisme masuknya virus ke dalam *host* disajikan pada Gambar 2.



Gambar 2. Mekanisme masuk dan penggandaan virus dalam sel *host* (Lamb et al., 1994).

Pada gambar di atas terlihat proses masuknya virus pada sel *host* melalui endositosis dan mengandakan diri dengan mereproduksi materi genetik virus itu sendiri. Virus influenza termasuk kelas virus yang mengandung RNA sebagai materi hereditasnya. Virus bereplikasi dengan memasuki sel *host* dan menggunakan sel ini untuk memproduksi cetakan virus RNA dalam jumlah yang besar

(<http://www.accessexcellence.org/RC/VL/GG/influenza.html>, 18 November 2007, 11:42 WIB).

Biasanya Virus melekat pada bagian luar dari sel *host* dan RNA virus ini masuk ke dalam inti sel. Gen virus ditranskripsikan serta ditranslasikan oleh enzim-enzim sel dan ribosom. Melalui proses tersebut, virus mengambil alih fungsi produktif sel.

Genom virus influenza bereplikasi dalam inti sel *host* yang diarahkan oleh *targetting signals nucleoprotein*. Virus RNA (vRNA) dikopi dari (-) sense menjadi (+) cRNA dan mRNA. cRNA tetap pada inti yang berfungsi sebagai *template* pada produksi (-) sense vRNA baru, sedangkan mRNA akan berpindah ke sitoplasma untuk memproduksi protein. NP (*nucleoprotein*) akan kembali ke inti dan akan berasosiasi dengan vRNA membentuk *nucleopcapsid* (<http://www.uq.edu.au/VDUIfluenza.htm>, 18 November 2007, 11:56 WIB).

2.2 Avian Influenza A (H5N1)

Virus yang dikenal dengan H5N1 merupakan virus influenza tipe A dan termasuk kelompok (famili) *Orthomyxoviridae*. Seringkali dalam referensi WHO dituliskan sebagai virus HPAI A(H5N1), “*Highly Pathogenic Avian Influenza*”. Kelompok ini mempunyai ciri yaitu berupa RNA utas tunggal negatif (-) *single stranded RNA* atau (-) ssRNA. Virus AI H5N1 adalah subtipen dari virus influenza A yang dapat menyebabkan sakit pada manusia dan spesies binatang yang lain. *Strain* yang beradaptasi dengan burung disebut dengan HPAI A(H5N1), untuk virus tipe A subtipen H5N1 dan bersifat sangat *pathogenic*, dan merupakan penyebab flu H5N1 atau yang lebih dikenal dengan *avian influenza* atau juga flu burung. Burung liar di seluruh dunia membawa virus H5N1 pada ususnya tetapi biasanya tidak menyebabkan sakit pada burung tersebut. Penyakit ini bersifat endemik pada populasi burung terutama pada Asia Tenggara. Satu *strain* dari HPAI A(H5N1) telah menyebar ke seluruh dunia setelah pertama kali muncul di Asia. HPAI A(H5N1) adalah penyakit unggas atau *avian disease*. Sedikit dari *avian influenza* yang dapat melewati batas antar spesies dan dapat menginfeksi manusia (<http://www3.niaid.nih.gov/>, 18 November 2007, 06:13 WIB).

Virus H5N1 tidak dengan mudah menular antar manusia dan jika seseorang telah terinfeksi maka virus tersebut sangat sulit untuk dapat menyebar atau menular antar manusia. Hingga saat ini belum ada bukti

berbasis molekular adanya transmisi antar manusia oleh virus HPAI A(H5N1).

Sejauh ini semua kasus *avian influenza* H5N1 yang terjadi adalah karena kontak fisik dengan burung yang telah terinfeksi oleh virus tersebut (Nidom, 2005). Walaupun demikian, dikhawatirkan adanya kemungkinan bahwa virus H5N1 dapat menular dan menyebar antar manusia karena H5N1 dapat bermutasi (<http://www3.niaid.nih.gov/>, 18 November 2007, 06:13 WIB).

2.3 Infeksi Pada Manusia

Pandemik influenza pada abad ke-20 telah terjadi tiga kali yaitu pada tahun 1918, 1957, dan 1968. Pandemik tersebut lebih diakibatkan karena kurangnya imunitas terhadap gen HA dari virus influenza A sehingga virus tersebut dapat menyebar secara efisien antar manusia. Pandemik tersebut telah membunuh jutaan manusia di seluruh dunia. Semua virus yang terlibat dalam ketiga pandemik berasal dari jenis virus *avian influenza* tipe A (de Jong dan Tran, 2005).

Apabila dua atau lebih *strain avian influenza* H5N1 menginfeksi suatu sel *host* secara bersama-sama, maka dimungkinkan terjadi pengacakan segmen genom virus (*genetic reassortment*), termasuk gen penyandi NA dan HA, yang akan berakibat munculnya *strain* virus baru dengan kombinasi genom yang baru dan spesifitas *host* yang berbeda dengan virus asalnya (Nidom, 2005).

Strain baru virus berperan dalam terjadinya pandemik influenza pada tahun 1957 dan 1968, keduanya muncul di Asia Tenggara dan keduanya timbul melalui rekombinasi gen antara *strain avian virus* dan *strain human influenza virus* (Scholtissek *et al.*, 1978). Pandemik “*Asian Flu*” pada tahun 1957 disebabkan oleh virus H2N2 yang memperoleh tiga gen (HA2, NA2, dan PB1) dari *avian virus* yang menginfeksi bebek liar, pada *backbone* dari *strain human influenza H1N1*. Belakangan diketahui bahwa virus H2N2 hilang setelah adanya kemunculan dari virus H3N2, dan semenjak itu tidak terdeteksi pada manusia. Analisis sekuens memperlihatkan bahwa dalam pandemik virus H3N2 diperkirakan sekurangnya ada enam asam amino pada HA yang mengalami perubahan selama masa transisi dari *host avian* menjadi *host manusia* (Bean *et al.*, 1992). Hal tersebut memperlihatkan adanya adaptasi virus influenza dengan *host* yang baru dengan merubah *receptor-binding pocket* dari HA (Nidom, 2005).

Di dalam perkembangannya, subtipe virus *avian influenza* baru ini mungkin terus mengalami mutasi yang dapat berakibat pada *antigenic shift* dan/atau *drift* yang dapat meningkatkan kemampuan virus tersebut untuk menginfeksi sel dalam tubuh manusia, sehingga dapat terjadi penularan antar manusia yang merupakan awal dari pandemik global *avian influenza*, seperti yang pernah terjadi pada tahun 1918–1919 (*Spanish Flu*), tahun 1957–1958 (*Asian Flu*), dan tahun 1967–1968 (*Hongkong Flu*) (Wagner *et al.*, 2001).

2.4 *Hemagglutinin*

Salah satu faktor yang berperan dalam infeksi *avian influenza H5N1* adalah adanya kecocokan antara *envelope* virus dengan reseptor pada permukaan sel *host*. Infeksi AI H5N1 terjadi apabila virus H5N1 berikatan dengan glikoprotein permukaan sel *host* yang mengandung gugus spesifik. Bagian protein HA yang berikatan dengan reseptor *host* mempunyai susunan asam amino yang khas. Dengan kondisi seperti ini, maka virus H5N1 *host avian* tidak dapat dengan mudah menginfeksi manusia. Perubahan spesifitas *host* dapat dimungkinkan akibat perubahan asam amino pada reseptor *host* melalui peristiwa mutasi genetik (Nidom, 2005).

Agar virus dapat menginfeksi, protein HA harus mengalami pembelahan oleh sel *host*, *serine protease*. Jika tidak terjadi *cleavage*, HA akan tetap terikat pada sel *host*, tetapi virus tidak akan bisa masuk ke dalam sel. HA merupakan salah satu antigen virus influenza yang utama. Respon imunitas yang efektif pada protein ini menimbulkan perlindungan terhadap infeksi (Toapanta, 2006).

HA merupakan bagian dari vaksin anti flu yang digunakan pada manusia dan telah digunakan sebagai model antigen untuk pengembangan teknologi vaksin terbaru. Salah satu keuntungan dari penggunaan HA dalam studi vaksin adalah ketersediaan model hewan percobaan seperti tikus yang dapat diinfeksi oleh strain virus avian. Infeksi strain virus influenza tersebut dapat menyebabkan penyakit dan/atau menyebabkan kematian pada hewan.

Karenanya, respon imun yang diinduksikan oleh uji coba vaksin dapat dengan mudah dievaluasi dengan menginfeksi hewan percobaan oleh strain virus influenza (Toapanta, 2006).

2.5 Neuraminidase

Neuraminidase berperan dalam spesifitas AI H5N1 terhadap sel *host*. NA berfungsi untuk melepaskan partikel virus H5N1 yang sudah selesai replikasi dalam sel dan mencegah virus H5N1 yang sudah terbentuk tersebut menempel kembali pada reseptor sel *host* melalui HA. Oleh karena itu efisiensi replikasi AI H5N1 sangat tergantung pada kerjasama protein HA dan NA dari virus (Nidom, 2005).

2.6 Protein Matrik 2

Gen matrik AI H5N1 menyandi 2 macam protein yaitu protein M1 dan protein M2. Protein matrik mempunyai peran dalam penyusunan virus AI H5N1. Bersama dengan protein HA dan NA protein M2 menyusun struktur *envelope* virus. Protein M2 juga berperan pada awal infeksi dalam pemisahan protein M1 dari RNP (*ribonucleoprotein*) untuk masuk ke dalam sitoplasma sel *host*. Penelitian pada protein matrik isolat Indonesia

ditemukan susunan asam amino yang *conserved* untuk membentuk *zinc finger motif* dan *palindromic sequence* (Nidom, 2005).

2.7 Sistem dan Respon Imunitas

2.7.1 Definisi dan Ruang Lingkup

Secara umum, kata imunitas berarti perlindungan terhadap penyakit, atau yang lebih spesifik, terhadap penyakit yang menular. Sel-sel dan molekul-molekul yang bertanggung jawab dalam hal imunitas disebut sistem imunitas (Abbas *et al.*, 1994).

Apabila ada *pathogen* yang menyerang tubuh, maka sistem imunitas secara kolektif dan terkoordinasi akan merespon dengan mengenali *pathogen* tersebut dan menghasilkan produk sekresi dan sel untuk menghilangkannya. Respon dari sistem inilah yang disebut sebagai respon imunitas (Abbas *et al.*, 1994).

Sistem imunitas sendiri dalam merespon adanya molekul asing, umumnya akan melakukan tindakan-tindakan. Pertama, secara umum melenyapkan molekul-molekul asing yang masuk dengan menggunakan komponen-komponen sistem imunitas yang sudah ada. Kedua, sistem imunitas akan memproduksi sel-sel dan molekul-molekul spesifik yang bertujuan untuk melawan molekul-molekul asing tersebut (Kolgert, 1996).

Tindakan yang pertama merupakan *innate immunity* atau imunitas alami (*natural resistance*), yaitu imunitas yang bersifat terstandarisasi, tanpa memori, dan non spesifik, sehingga semua jenis molekul asing akan mendapatkan respon yang sama. Sedangkan tindakan yang kedua merupakan *acquired immunity*, yaitu imunitas yang bersifat spesifik dan selektif dalam mengenali molekul asing, dan mempunyai memori, sehingga apabila seseorang diserang oleh suatu molekul asing yang sudah pernah menyerang tubuh orang tersebut pada waktu sebelumnya, maka respon terhadap molekul asing tersebut akan lebih cepat dan terarah (Abbas *et al.*, 1994; Kelgert, 1996).

Dari kedua jenis respon tersebut, secara umum, para ahli imunologi menganggap yang disebut sebagai respon imunitas adalah respon *acquired immunity*, dan dari dasar ilmu tentang *acquired immunity* inilah, pemikiran vaksinasi dan imunisasi lahir dan diterapkan sampai sekarang (Abbas *et al.*, 1994).

2.7.2 Antigen

Antigen yang disebut juga imunogen adalah bahan yang dapat merangsang respon imun atau bahan yang dapat bereaksi dengan antibodi yang sudah ada tanpa memperhatikan kemampuannya untuk merangsang produksi antibodi. Secara fungsional, antigen dibagi menjadi imunogen dan

hapten. Bahan kimia ukuran kecil seperti dinitrofenol dapat diikat antibodi, tetapi bahan tersebut sendiri tidak dapat mengaktifkan *B-cell*. Untuk memacu respon antibodi, bahan kecil tersebut perlu diikat oleh molekul kecil (disebut hapten) dan molekul besar (disebut *carrier* atau molekul pembawa) dapat berperan sebagai imunogen. Contoh hapten adalah berbagai golongan antibiotik dan obat lainnya dengan berat molekul kecil. Hapten biasanya dikenali oleh *B-cell* sedangkan molekul pembawa oleh *T-cell*. Molekul pembawa sering digabung dengan hapten dalam usaha memperbaiki imunisasi. Hapten membentuk epitop pada molekul pembawa yang dikenal sistem imun dan merangsang pembentukan antibodi (Baratawidjaja, 2006).

Suatu molekul dapat dikatakan antigen apabila molekul tersebut mempunyai sifat *immunogenicity* dan *antigenicity*. *Immunogenicity* sendiri adalah kemampuan suatu molekul untuk menginduksi respon imunitas spesifik dan antigen yang mempunyai sifat ini sering disebut sebagai *immunogen*. Sedangkan *antigenicity* adalah kemampuan suatu molekul untuk bereaksi secara spesifik dengan produk-produk yang dihasilkan oleh respon imunitas yang diinduksinya (Kuby, 1992; Kelgert, 1996).

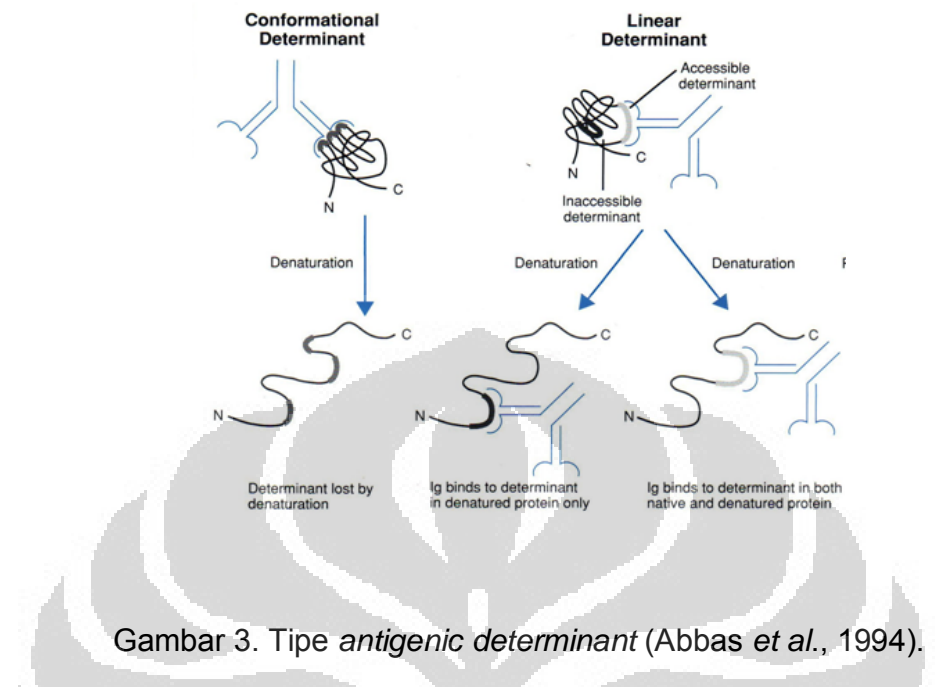
Tidak semua bagian pada molekul antigen yang menginduksi respon imunitas, namun ada bagian tertentu dari antigen yang menginduksinya. Bagian antigen yang menginduksi respon imunitas ini dinamakan *antigenic determinat* (*epitope*), yang berikatan dengan *antigen-binding site* (situs pengikatan antigen) pada antibodi maupun reseptor *lymphocyte*. Semakin banyak *antigenic determinat* yang dimiliki suatu antigen, maka respon

imunitas yang ada akibat antigen tersebut akan semakin beragam (Kuby, 1992; Abbas, et al., 1994; Kelgert, 1996).

Berdasarkan bentuknya, terdapat dua jenis *epitope*. Jenis yang pertama adalah *linear* atau *sequential determinant*, yakni *epitope* yang dibentuk oleh residu asam amino yang berdekatan pada sekuen protein. Dan jenis yang kedua adalah *conformational determinant*, yakni *epitope* yang dibentuk oleh residu asam amino dengan posisi terpisah pada sekuen asam amino linear namun berdekatan karena *folding* akhir protein. Apabila suatu antigen mengalami modifikasi seperti *proteolysis* spesifik, maka strukturnya pun berubah dan menghasilkan *epitope* baru yang diebut dengan *neoantigenic determinant* (Gambar 3) (Abbas et al., 1994; Kelgert, 1996).

Kebanyakan antigen merupakan molekul protein berukuran besar dengan struktur kompleks dan memiliki berat molekul lebih dari 10.000 Da. Protein biasanya memiliki kekuatan antigenik yang besar (*immunogenic*) karena protein memiliki struktur yang jauh lebih kompleks dibandingkan polisakarida. Protein kompleks dapat memiliki beberapa *epitopes* (*antigenic determinants*) yaitu suatu area pada permukaan molekul tempat antibodi dapat berikatan (Black, 1999).

Salah satu respon yang penting dari sistem imun terhadap adanya suatu zat asing adalah dengan menghasilkan antibodi. Tiap jenis antibodi akan berikatan dengan *epitope* yang spesifik (Black, 1999).



Gambar 3. Tipe antigenic determinant (Abbas et al., 1994).

2.7.3 Komponen Sistem Imunitas

Organ-organ dari sistem imunitas terletak di seluruh bagian tubuh.

Organ-organ ini dinamakan organ *lymphoid* karena merupakan organ tempat sel darah putih, *lymphocyte*, yang mempunyai peranan penting dalam sistem imunitas. Sistem imunitas terdiri dari banyak sel, yang tidak hanya berupa sel *lymphocyte* namun juga *phagocyte*. Untuk bekerja secara efektif, sel-sel imunitas berkomunikasi satu sama lain dengan kontak secara fisik atau dengan melepaskan sinyal kimia, yang dinamakan *cytokine* (Tannock dan Hill, 1998). Semua sel imunitas pada mulanya adalah sel *stem* pada sumsum tulang. Sel-sel ini kemudian berkembang menjadi sel imunitas yang spesifik,

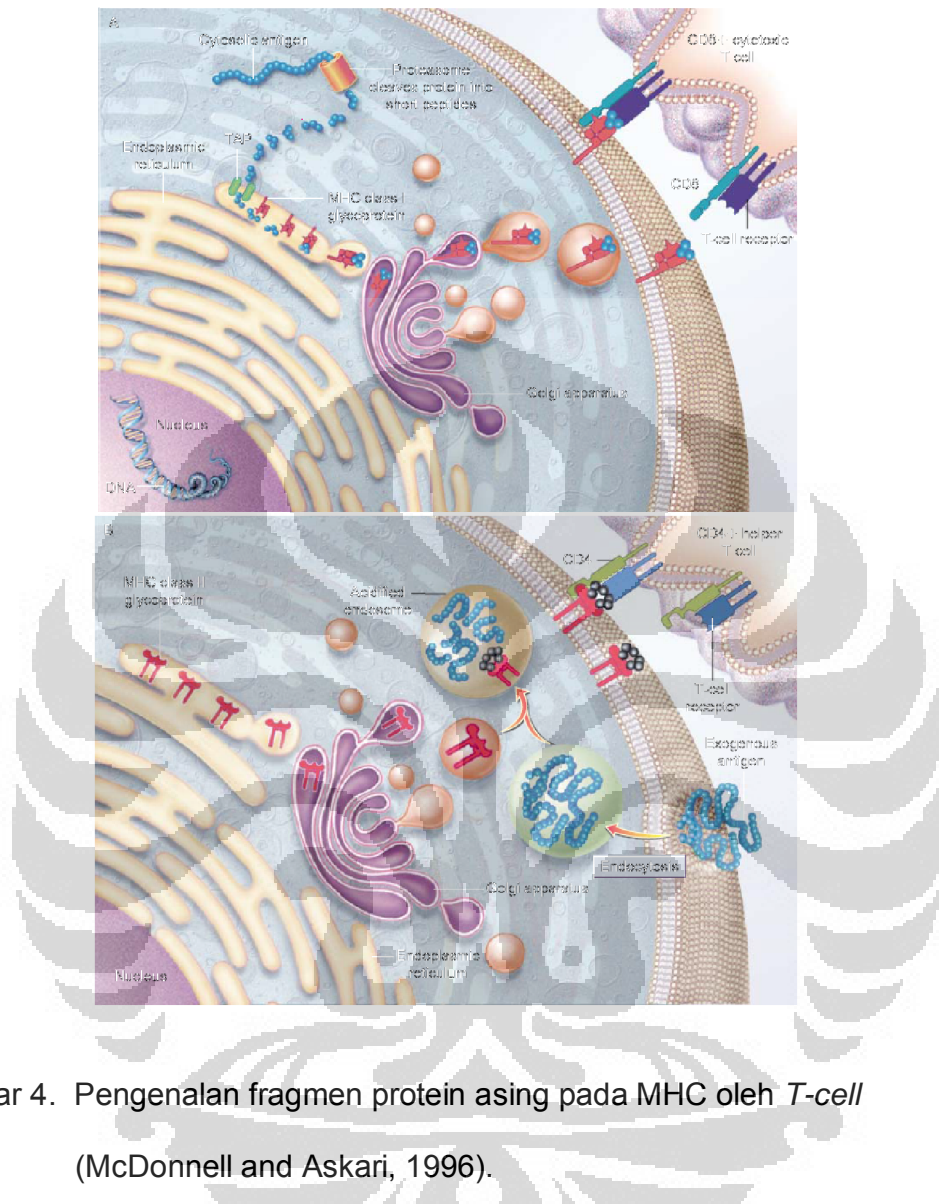
seperti *T-cell*, *B-cell*, dan *phagocyte*, dikarenakan mereka menerima signal dan *cytokine* yang berbeda-beda (Roeslan, 2002; www.niaid.nih.gov, 5 November 2007, 20:55 WIB).

Secara umum, *B-cell* dan *T-cell* merupakan tipe utama dari *lymphocyte*. *B-cell* bertugas mensekresikan molekul antibodi, sebagai respon dari adanya antigen, ke seluruh cairan tubuh. Namun antibodi tidak mempunyai kemampuan untuk melakukan penetrasi ke dalam sel, sehingga tugas menyerang sel target, baik sel yang telah terinfeksi oleh virus maupun sel yang bersifat kanker, dijalankan oleh *T-cell* dan komponen imunitas yang lain. Setiap *B-cell* memproduksi satu antibodi yang spesifik. Ketika *B-cell* menemukan antigen, maka ia akan merangsang perkembangan banyak sel plasma, masing-masing sel plasma akan memproduksi satu antibodi yang identik dan kemudian molekul-molekul antibodi akan menuju ke aliran darah. Sebuah antigen berpasangan dengan sebuah molekul antibodi seperti kunci dan gembok. Pada saat antigen dan antibodi saling berikatan, maka antigen tersebut ditandai oleh molekul antibodi untuk dilakukan perusakan (Alberts, et al., 2002).

Tidak seperti *B-cell*, *T-cell* tidak mengenali antigen bebas pada aliran darah, namun ia mengenal antigen melalui reseptor mirip antibodi yang terletak di permukaannya. *T-cell* mengenalinya melalui fragmen antigen yang ada pada sel yang terinfeksi. *T-cell* berkontribusi dalam sistem imunitas dengan dua cara: sebagian mengatur respon imunitas dan sebagian langsung menyerang sel yang telah terinfeksi. Cara yang pertama dilakukan

oleh *Helper T-cell*, atau *Th-cell*, yang mengkoordinasikan respon imunitas dengan cara berkomunikasi dengan sel-sel lain. Ada yang bertugas menstimulasi *B-cell* untuk memproduksi antibodi, ada yang mengaktivasi *phagocyte*, dan ada yang mengaktivasi *T-cell* lainnya. Cara yang kedua dilakukan oleh *killer T-cell*, atau *cytotoxic T lymphocyte* (CTLs) yang membunuh sel yang memiliki molekul asing atau abnormal pada permukaan selnya. CTLs sangat berguna untuk menyerang virus karena ia mampu mengenali fragmen kecil dari virus yang ada pada membran sel tempat virus bersembunyi, dan kemudian menyerang dan membunuh sel tersebut (Tannock dan Hill, 1998).

Pada banyak kasus, *T-cell* hanya mengenali antigen apabila antigen tersebut dibawa ke permukaan sel oleh molekul *major histocompatibility complex* (MHC). MHC sendiri disandi oleh kompleks gen besar yang secara struktural dan fungsional dibagi atas dua kelas: protein MHC kelas I yang menampilkan fragmen antigen pada CTLs dan protein MHC kelas II yang menampilkan fragmen antigen pada *Th-cell*. Protein MHC kelas I akan berikatan dengan fragmen peptida dari protein antigen intraseluler setelah antigen diproses oleh *proteosome*, suatu kompleks protease sitoplasma, dan kemudian ditampilkan pada permukaan sel target atau pada *antigen presenting cell*. Sedangkan protein MHC kelas II akan berikatan dengan fragmen peptida dari protein antigen ekstraseluler (Gambar 4) (Tannock dan Hill, 1998; Alberts *et al.*, 2002).



Gambar 4. Pengenalan fragmen protein asing pada MHC oleh T-cell
(McDonnell and Askari, 1996).

Pada manusia, antigen permukaan tersebut untuk pertama kali digambarkan pada leukosit. Pada penderita yang telah mendapat transfusi darah berulang kali seperti pada 20-30% multipara ditemukan antibodi yang dapat menggumpalkan leukosit. Oleh karena itu timbul istilah *Human Leukocyte Antigen* (HLA). Serum dari penderita tersebut sering digunakan

untuk menentukan tipe-tipe protein tersebut. Oleh karena itu molekul HLA sering juga dianggap antigen (Baratawidjaja, 2006).

HLA adalah MHC pada manusia sedangkan MHC pada tikus disebut H2. Lokus genetik yang menentukan molekul HLA yang pertama ditemukan adalah HLA-A dan HLA-B, kemudian ditemukan HLA-C yang sekarang semuanya digolongkan sebagai HLA kelas 1. Protein-protein tersebut ditemukan pada permukaan limfosit. Molekul MHC kelas I dan kelas II berperan dalam pengenalan imun, yaitu pada presentasi fragmen antigen kepada sT-cell (Baratawidjaja, 2006).

2.7.4 Imunologi Virus

Virus merupakan suatu partikel yang mengandung bahan genetik berupa DNA atau RNA yang diselubungi lapisan dari protein atau lipoprotein. Respon imun terhadap protein virus melibatkan *T-cell* dan *B-cell*. Antigen virus menginduksi antibodi yang dapat menetralisasi virus dan *T-cell* yang spesifik (Baratawidjaja, 2006).

Prinsip mekanisme imunitas non-spesifik terhadap virus adalah mencegah infeksi. Efektor yang berperan adalah IFN (*Interferon*) tipe I dan sel NK (*Natural killer cell*) yang membunuh sel terinfeksi. IFN tipe I mencegah replikasi virus dalam sel terinfeksi. Sel NK membunuh sel yang terinfeksi oleh berbagai jenis virus dan merupakan efektor imunitas penting

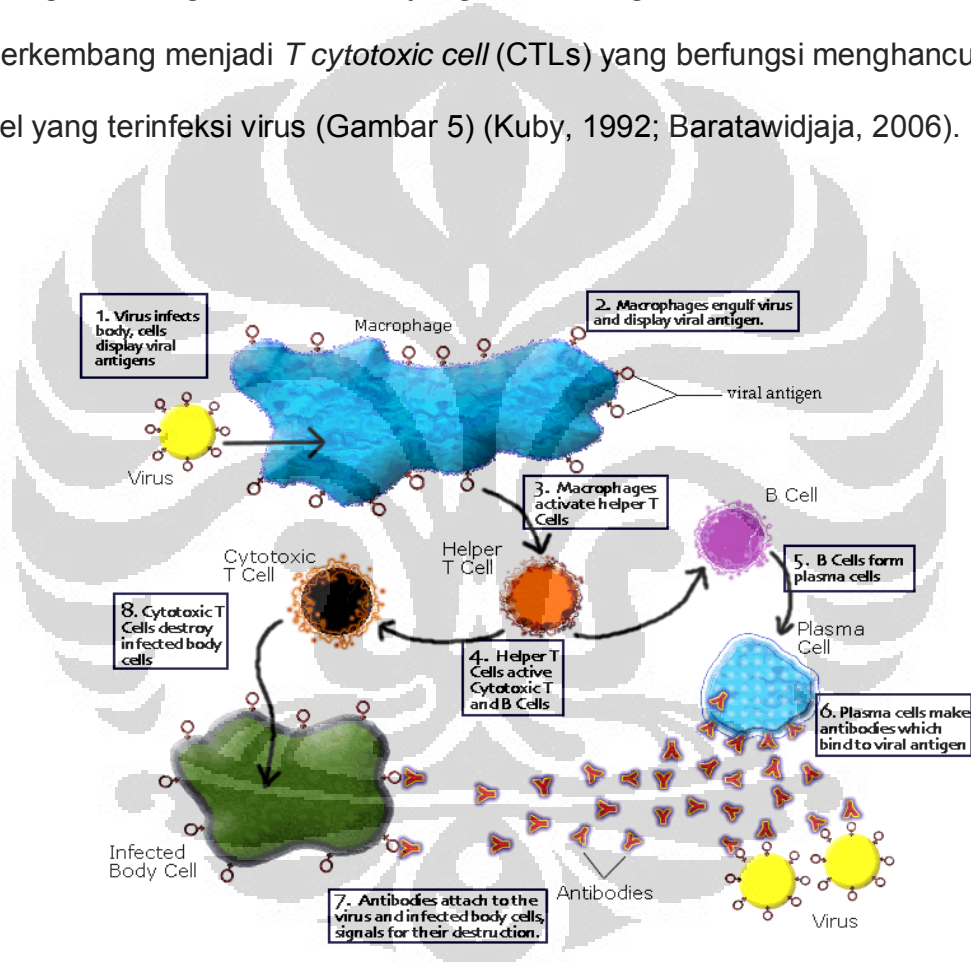
terhadap infeksi dini virus, sebelum respon imun spesifik berkembang. Sel NK mengenal sel terinfeksi yang tidak mengekspresikan MHC kelas I (Baratawidjaja, 2006).

Antibodi merupakan efektor dalam imunitas humoral terhadap infeksi virus. Virus dapat dikenali pada awal infeksi sebelum masuk ke dalam sel. Antibodi dapat menetralisasi virus, mencegah virus menempel pada sel dan masuk ke dalam *host*. Antibodi berikatan dengan virus *envelope* atau antigen kapsid (Baratawidjaja, 2006).

Respon sistem imun spesifik melibatkan dua kelompok besar sel, yaitu *lymphocytes* dan *antigen-presenting cells* (APC). *Lymphocytes* mampu mengenali antigen dengan memakai reseptor membran yang spesifik untuk target. Dua kelompok *lymphocytes* yang utama yaitu *B lymphocytes* (*B-cells*) dan *T lymphocytes* (*T-cells*). Ketika *B-cell* bertemu antigen yang memiliki *membrane-bound antibody* yang spesifik, sel akan mulai membelah secara cepat, kemudian mendiferensiasi menjadi *memory B-cell* dan sel plasma. Reseptor *T-cell* hanya dapat mengenali antigen bila terikat dengan *membrane-bound proteins* yang diketahui sebagai molekul MHC. Pada saat *T-cell* bertemu antigen yang terikat dengan sebuah molekul MHC, *T-cell* dapat berploriferasi dan berdiferensiasi menjadi *memory T-cell* dan *effector T-cell* (Kuby, 1992).

Pada banyak kasus, *T-cell* hanya mengenali antigen apabila antigen berikatan dengan molekul MHC, selanjutnya antigen akan diekspresikan bersama dengan molekul MHC pada permukaan APC atau pada sel yang

terinfeksi oleh virus. *T-cell* yang mengekspresikan CD4⁺ mengenali antigen ekstraselular yang terikat dengan molekul MHC kelas II dan berkembang menjadi *T helper (Th-cell)* yang berfungsi mengaktifkan *macrophage* untuk membunuh virus/bakteri. Sedangkan *T-cell* yang mengekspresikan CD8⁺ mengenali antigen intraselular yang terikat dengan molekul MHC kelas I dan berkembang menjadi *T cytotoxic cell (CTLs)* yang berfungsi menghancurkan sel yang terinfeksi virus (Gambar 5) (Kuby, 1992; Baratawidjaja, 2006).



Gambar 5. Respon sistem imunitas pada virus

(<http://www.biologycorner.com/bio3/notes-immunology.html>, 1

Februari 2008, 10:23 WIB).

2.8 Protein

Protein adalah suatu molekul yang besar dan kompleks, terdiri dari asam-asam amino, dan juga sering disebut sebagai polipeptida. Urutan asam-asam amino ditentukan oleh sekuen dari pasangan basa pada gen yang mengkodenya. Protein sangat esensial bagi struktur, fungsi, dan metabolisme dalam tubuh manusia. Molekul yang termasuk ke dalam golongan protein antara lain adalah hormon, enzim, dan antibodi (Baxevanis dan Ouellette, 2005).

2.9 Vaksin

2.9.1 Definisi dan Ruang Lingkup

Vaksin merupakan senyawa yang mengandung antigen agar sistem imun dapat memberikan responnya, sehingga dapat menghasilkan kekebalan aktif untuk mencegah atau memperbaiki efek dari infeksi. Vaksin dianggap salah satu dari intervensi medis yang paling berhasil mencegah infeksi penyakit (Hilleman, 2000).

Antigen dapat berasal dari organisme yang telah mati (*killed/inactivated vaccines*), organisme hidup yang dilemahkan (*Live Attenuated Vaccine*),

toksin yang telah dinonaktifkan (toksoid), dan DNA mikroorganisme patogen yang mengandung antigen (*DNA Vaccine*) (Rengganis, 2006).

2.9.2 Vaksin DNA

Vaksin DNA merupakan salah satu teknologi terbaru dari pengembangan vaksin. Vaksin DNA tidak menggunakan protein atau peptida tetapi menggunakan gen penyandi protein ke dalam host. Gen ini biasanya diekspresikan dari eukariotik vektor, yang menggunakan mesin transkripsi dan translasi dari sel *transfected eukaryotik* untuk menghasilkan protein. Vaksin DNA terdiri dari plasmid yang telah dimodifikasi yaitu mengandung promotor eukariot, *poly adenylation signal* untuk efisiensi transkripsi dari gen vaksin yang digunakan, bagian replikasi dari bakteri dan gen resistensi antibiotik untuk amplifikasi dan pemilihan media. Gen yang diminati disisipkan kedalam plasmid pada multiple cloning site (MCS), letaknya antara promotor dan *poly adenylation signal* (Toapanta, 2006).

Vaksin DNA dapat di suntikan dalam beberapa rute. Intramuscular (I.M) (jarum suntik) dan intradermal (I.D) atau *gene gun* (G.G) merupakan rute umum yang digunakan dari imunisasi vaksin DNA. Kedua rute penyuntikan ini memberikan respon imun selular dan humoral (Toapanta, 2006).

2.10 Plasmid

Plasmid merupakan molekul DNA yang terpisah dari kromosom DNA dan mampu mereplikasi sendiri. Plasmid memiliki ukuran yang bervariasi dari mulai 1 sampai lebih dari 400 *kilo base pair* (kbp). Dalam satu sel bisa terdiri dari 1 *copy* plasmid hingga ratusan *copy* plasmid bahkan ada yang bisa mencapai ribuan *copy* plasmid (<http://en.wikipedia.org/wiki/plasmid.htm>, 5 November 2007, 20:40 WIB).

Plasmid adalah vektor bakteri yang berfungsi sebagai kendaraan untuk membawa sekuens DNA asing ke dalam sel inang. Plasmid berbentuk DNA lingkar yang ada secara terpisah dari kromosom utama bakteri. Plasmid dapat digunakan sebagai alat untuk mempropagasi jumlah besar dari sekuens DNA sebagai cara untuk mengekspresikan gen asing pada sel inang (Miclos *et al.*, 2003).

Kebanyakan plasmid terdapat dalam bentuk molekul DNA lingkar yang berunting rangkap. Apabila kedua unting DNA merupakan lingkaran utuh, molekulnya digambarkan sebagai lingkaran tertutup kovalen (*covalently closed circle*). Apabila hanya satu unting yang utuh, molekulnya digambarkan sebagai lingkaran terbuka (*open circle*). Ketika dipisahkan dari sel, lingkaran tertutup kovalen sering memiliki defisiensi lengkungan pada heliks rangkap sedemikian sehingga mereka memiliki konfigurasi kumparan terpilin. Karena adanya perbedaan konfigurasi struktural, DNA kumparan terpilin dan DNA lingkaran terbuka terpisah pada elektroforesis dengan gel

agarosa. Penambahan agen interkelating, seperti etidium bromida, ke DNA kumparan terpilin menyebabkan terurainya pilinan plasmid. Apabila jumlah etidium bromida berlebihan maka plasmid akan memilin kembali pada arah yang berlawanan. Fakta ini digunakan untuk pemisahan DNA plasmid (Old dan Primrose, 1989).

Pada penelitian ini digunakan plasmid pCMV-HA ini memiliki 3782 *base pair (bp)* yang memenuhi syarat-syarat untuk dapat dijadikan vektor vaksin DNA antara lain memiliki promotor eukariot yaitu promotor CMV, memiliki *signal polyadenylation*, memiliki bagian replikasi dari bakteri dan gen resistensi antibiotik (<http://www.clontech.com>, 1 Februari 2008, 10:33 WIB).

2.11 DNA Rekombinan

Teknologi DNA rekombinan telah membawa revolusi biologi dan menimbulkan dampak bagi banyak bidang, antara lain kedokteran, biomedis, pertanian dan sektor industri lainnya. Di dalam teknologi rekombinan, rekombinasi adalah suatu proses yang melibatkan satu atau lebih segmen nukleotida yang disusun ulang atau melakukan kombinasi sehingga menghasilkan sesuatu yang baru. Biasanya material genetik dari dua induk digabungkan untuk memproduksi suatu gen rekombinan yang mempunyai genotip yang berbeda. Perubahan pada tingkat genotip biasanya

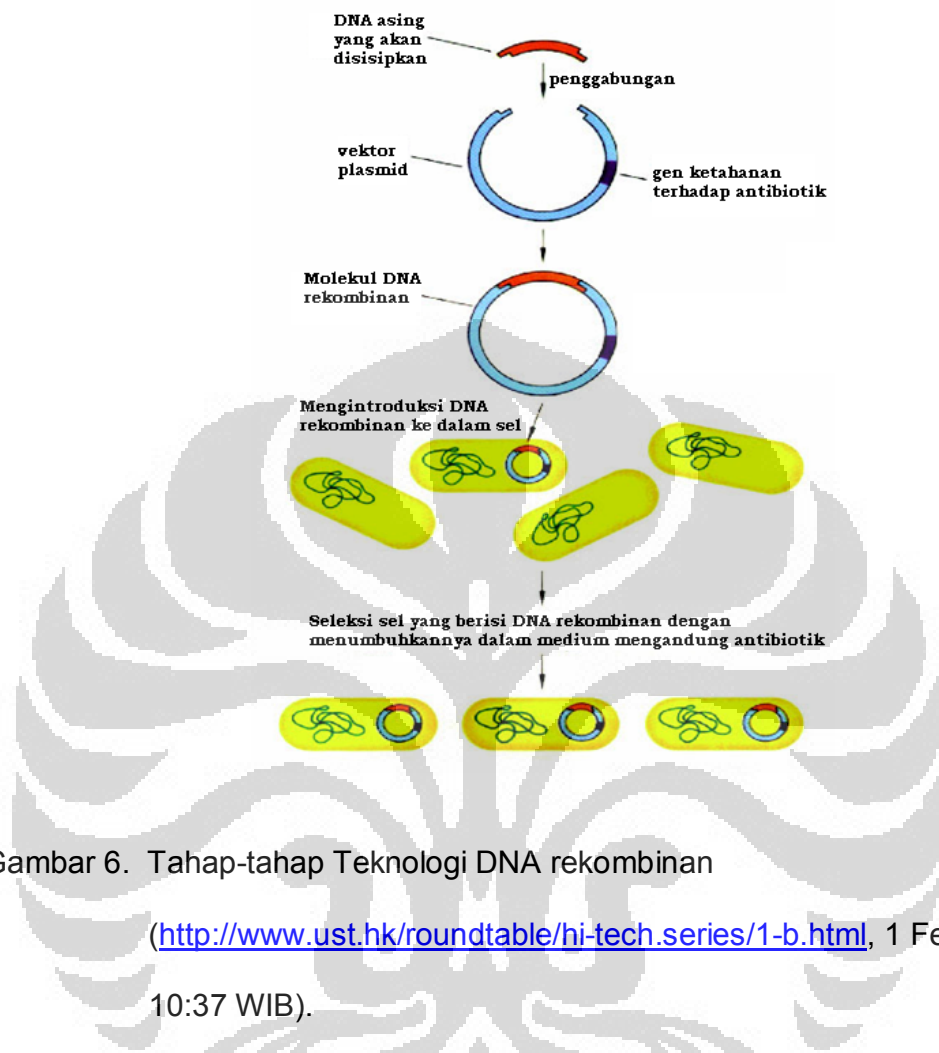
ikut mempengaruhi perubahan fenotip suatu organisme (Prescott *et al.*, 2003).

DNA rekombinan merupakan gabungan antara DNA vektor dengan DNA asing yang biasanya merupakan gen. Teknologi DNA rekombinan berkembang pesat karena ditemukannya berbagai sarana yang menunjang, antara lain, PCR, enzim reskripsi, enzim ligase, plasmid dan *host* yang direkayasa (Muladno, 2002).

Kloning gen merupakan teknik untuk membuat DNA rekombinan yang meliputi pemotongan, penyisipan, penggabungan, introduksi dan penyeleksian gen yang diinginkan (Gambar 6).

Teknologi DNA Rekombinan merupakan terobosan besar dalam ilmu biologi yang dapat merevolusi ilmu-ilmu yang lain seperti ilmu kedokteran. DNA rekombinan ini telah digunakan untuk pengembangan antibiotik, hormon, dan pencegahan penyakit (Knight, 2002).

Vektor yang digunakan haruslah memiliki empat karakteristik yaitu memiliki kemampuan mereplikasi di dalam sel host, memiliki sekuen *recognition* untuk enzim restriksi sehingga vector dapat dipotong dan dikombinasikan dengan DNA baru, memiliki *reporter gene* yang dapat menunjukkan kehadirannya didalam sel *host*, dan ukuran yang kecil dibandingkan dengan kromosom host (Vurges *et al.*, 2004).



Gambar 6. Tahap-tahap Teknologi DNA rekombinan

(<http://www.ust.hk/roundtable/hi-tech.series/1-b.html>, 1 Februari 2008,

10:37 WIB).

Perangkat yang digunakan dalam teknologi DNA rekombinan adalah perangkat-perangkat yang ada pada bakteri. Perangkat tersebut antara lain adalah: enzim restriksi, enzim DNA ligase, plasmid, transposon, pustaka genom, enzim transkripsi balik, pelacak DNA/RNA. Enzim restriksi digunakan untuk memotong DNA. Enzim DNA ligase digunakan untuk menyambung DNA. Plasmid digunakan sebagai vektor untuk mengklonkan gen atau mengklonkan fragmen DNA atau mengubah sifat bakteri. Transposon

digunakan sebagai alat untuk melakukan mutagenesis dan untuk menyisipkan penanda. Pustaka Genom digunakan untuk menyimpan gen atau fragmen DNA yang telah diklonkan. Enzim transkripsi balik digunakan untuk membuat DNA berdasarkan RNA. Pelacak DNA/RNA digunakan untuk mendeteksi gen atau fragmen DNA yang diinginkan atau untuk mendeteksi klon yang benar.

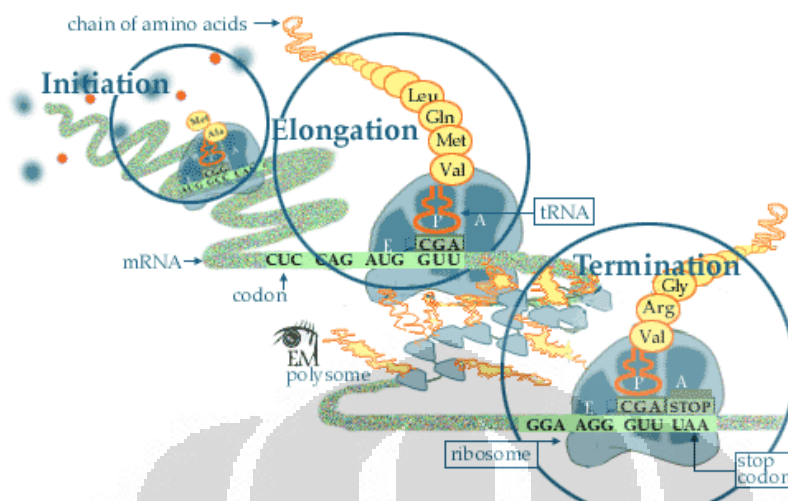
Berdasarkan mekanisme bakteri, perangkat bakteri, dan beberapa teknik diatas, DNA rekombinan dapat dibuat paling tidak melalui tiga pendekatan, yaitu:

1. Mengestraksi DNA total suatu organisme, memotong DNA total menjadi fragmen-fragmen, memilih fragmen yang dikendaki, mengklonkan fragmen yang telah terpilih,
2. Mengestraksi DNA total suatu organisme, memotong DNA total menjadi fragmen-fragmen, mengklonkan semua fragmen DNA pada vektor yang sesuai, menguji setiap klon untuk mendapatkan gen yang diinginkan,
3. Sintesis gen atau fragmen DNA yang diinginkan secara langsung dan mengklonkan gen atau fragmen DNA hasil sintesis
(<http://bima.ipb.ac.id/~tpb-ipb/materi/genetika/dnarekombinan.html>, 1 Februari 2008, 10:17 WIB).

2.12 Translasi

Translasi berlangsung di dalam ribosom. Ribosom disusun oleh molekul-molekul rRNA dan beberapa macam protein. Pada jasad prokaryot, translasi sudah dimulai sebelum proses transkripsi (sintesis mRNA) selesai dilakukan. Dengan demikian, proses transkripsi dan translasi pada prokaryot berlangsung secara hampir serentak. Sebaliknya, pada eukaryot proses translasi baru dapat berlangsung jika proses transkripsi sudah selesai dilakukan. Hal ini disebabkan oleh adanya perbedaan struktur sel diantara prokaryot dengan eukaryot (Yuwono, 2005).

Proses translasi berlangsung melalui tiga tahapan utama. Pertama inisiasi (*initiation*), kedua pemanjangan (*elongation*) poli-asam amino, dan ketiga pengakhiran (*termination*) (Gambar 7). Sebelum inisiasi translasi dilakukan, diperlukan molekul tRNA (aminoasil tRNA) yang berfungsi membawa asam amino spesifik. Oleh karena itu, ada sekitar 20 macam tRNA yang masing-masing membawa asam amino spesifik, karena di alam ada sekitar 20 asam amino yang menyusun protein alami. Masing-masing asam amino diikatkan pada tRNA spesifik melalui proses yang disebut sebagai tRNA *charging* (penambahan muatan berupa asam amino) (Yuwono, 2005).

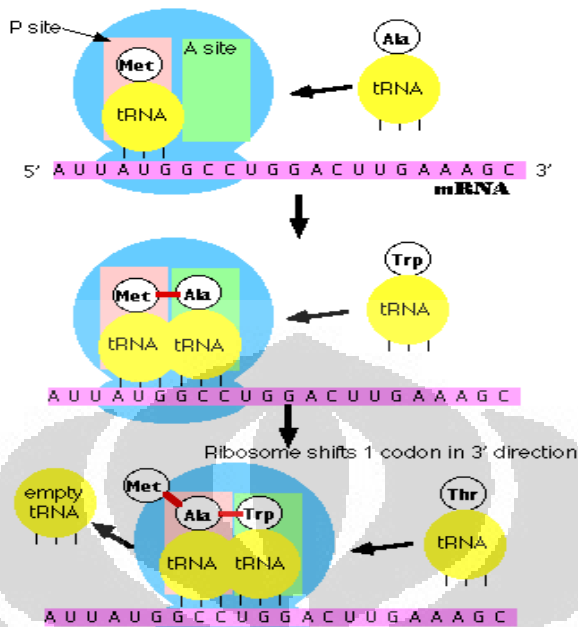


Gambar 7. Proses inisiasi, pemanjangan dan terminasi yang ditandai dengan adanya stop kodon UAA pada ribosom
(http://www.nobelprize.org/educational_games/medicinal/dna/a/translation/elongation.html, 2 Februari 2008, 09:37 WIB).

Semua tRNA mempunyai 3 basa yang sama pada ujung 3' yaitu CCA dan penambahan muatan asam amino dilakukan pada residu adenosin (A). Asam amino diikatkan pada tRNA melalui ikatan ester antara gugus karboksilnya dan gugus hidroksil 2' atau 3' yang ada pada adenosin paling ujung. Reaksi pengikatan tersebut dilakukan oleh enzim aminoasil tRNA sintase melalui dua tahapan reaksi. Reaksi pertama adalah aktivasi asam amino dengan menggunakan ATP sebagai sumber energi dan menghasilkan aminoasil-AMP. Selanjutnya energi pada aminoasil-AMP (yang berupa AMP) digunakan untuk memindahkan gugus asam amino ke tRNA sehingga menghasilkan aminoasil-tRNA (Yuwono, 2005).

Ada beberapa perbedaan dalam proses inisiasi translasi antara prokaryot dan eukaryot. Pada eukaryot kodon inisiasi adalah metionin (pada prokaryot formil metionin). Molekul tRNA inisiator disebut $tRNA_i^{Met}$. Ribosom bersama-sama dengan $tRNA_i^{Met}$ dapat menemukan kodon awal dengan cara berikatan dengan ujung 5' (tudung), kemudian melakukan pelarikan (scanning) transkripsi kearah 3' sampai menemukan kodon awal (AUG pada mRNA). Menurut scanning tersebut ribosom memulai translasi pada waktu menjumpai AUG yang pertama kali. Meskipun demikian, penelitian pada 699 mRNA eukaryot menunjukkan bahwa sekitar 5-10% AUG yang pertama bukanlah kodon inisiasi. Sekuens AUG yang dikenali sebagai kodon inisiasi adalah sekuens yang terletak pada sekuens konsensus CCRCCAAUGG (R adalah purin: A atau G). Pengenalan sekuens AUG sebagai kodon inisiasi banyak ditentukan oleh $tRNA_i^{Met}$. Perubahan antikodon pada $tRNA_i^{Met}$ menyebabkan dikenalinya kodon lain sebagai kodon inisiasi (Yuwono, 2005).

Proses pemanjangan polipeptida disebut sebagai proses elongation yang secara umum mekanisme pada prokaryot dan eukaryot adalah sama. Proses pemanjangan terjadi dalam tiga tahapan. Pertama pengikatan aminoasil-tRNA pada sisi A yang ada pada ribosom (Gambar 8). Kedua pemindahan rantai polipeptida yang tumbuh dari tRNA pada sisi P kearah sisi A dengan membentuk ikatan peptida. Ketiga translokasi ribosom sepanjang mRNA ke posisi kodon selanjutnya yang ada di sisi A (Yuwono, 2005).



Gambar 8. Proses pembentukan protein pada ribosom. P site merupakan awal pembentukan metionin dan A site merupakan sisi pemanjangan pembentukan protein

(<http://users.rcn.com/jkimball.ma.ultranet/BiologyPages/T/Translation.html>, 1 Februari 2008, 09:12 WIB).

Proses pemanjangan berlangsung dengan sangat cepat. Pada E. coli ketiga tahapan proses untuk menambahkan satu asam amino ke polipeptida yang sedang tumbuh memerlukan waktu sekitar 0,05 detik. Dengan demikian sintesis polipeptida yang terdiri atas 300 asam amino hanya memerlukan waktu selama 15 detik. Ribosom membaca kodon-kodon pada mRNA dari ujung 5' ?: 3'. Hasil proses translasi adalah molekul polipeptida yang mempunyai ujung amino dan ujung karboksil. Ujung amino adalah yang

pertama kali disintesis dan merupakan hasil penerjemahan kodon yang terletak pada ujung 5' mRNA, sedangkan ujung terakhir yang disintesis adalah gugus karboksil. Ujung karboksil merupakan hasil penerjemahan kodon yang terletak pada ujung 3' mRNA (Yuwono, 2005).

Translasi akan berakhir pada waktu salah satu dari ketiga kodon terminasi (UAA, UGA, UAG) yang ada pada mRNA mencapai posisi A pada ribosom (Gambar 7). Dalam keadaan normal tidak ada aminoasil-tRNA yang membawa asam amino sesuai dengan ketiga kodon tersebut. Oleh karena itu, jika ribosom mencapai salah satu dari ketiga kodon terminasi tersebut maka proses translasi akan berakhir. Pada E. coli, ketiga sinyal penghentian proses translasi tersebut dikenali oleh suatu protein yang disebut *release faktor* (RF), misalnya RF1 yang mengenali kodon UAA atau UAG, RF2 mengenali UAA atau UGA. Pada eukaryot hanya ada satu *release faktor* (RF) yaitu eRF yang mengenali ketiga kodon terminasi tersebut. Penempelan protein RF pada kodon terminasi tersebut mengaktifkan enzim peptidil transferase yang menghidrolisis ikatan antara polipeptida dengan tRNA dan menyebabkan tRNA yang kosong mengalami translokasi. Polipeptida yang sudah dipotong dari tRNA tersebut selanjutnya lepas dari ribosom (Yuwono, 2005).

2.13 Bioinformatika

2.13.1 Definisi dan Ruang Lingkup

Bioinformatika adalah gabungan antara ilmu biologi dan ilmu teknik informasi (TI). Bioinformatika adalah aplikasi dari alat komputasi dan analisis untuk menangkap dan menginterpretasikan data-data biologi. Ilmu ini merupakan ilmu baru yang merangkup berbagai disiplin ilmu termasuk ilmu komputer, matematika, fisika, biologi, dan ilmu kedokteran yang kesemuanya saling menunjang dan saling bermanfaat satu sama lainnya (Utama, 2003).

Bioinformatika menjadi penting karena perkembangan teknologi informasi dan peningkatan ilmu komputer, khususnya pada bidang biologi molekuler, membuka sudut pandang baru dalam menyelesaikan persoalan biologi molekuler (Baxevanis dan Oullette, 2001).

Khusus di bidang virologi (ilmu virus), kemajuan bioinformatika telah berperan dalam mempercepat kemajuan ilmu ini. Sebelum kemajuan bioinformatika, untuk mengklasifikasikan virus kita harus melihat morfologinya terlebih dahulu. Untuk melihat morfologi virus dengan akurat , biasanya digunakan mikroskop elektron yang harganya sangat mahal sehingga tidak bisa dimiliki semua laboratorium. Selain itu, kita harus bisa mengisolasi dan mendapatkan virus itu sendiri (Utama, 2003).

2.13.2 Database

Database adalah kumpulan data yang diatur sedemikian rupa untuk memudahkan penggunanya. Pada *database* bioinformatika, data yang diatur merupakan data sekuen DNA atau protein yang didapat melalui percobaan laboratorium yang biasanya disimpan dalam *file* komputer. Setiap *file* dari suatu sekuen berisi informasi mengenai asal organisme, nama sekuen, dan juga nomor akses yang digunakan untuk mengidentifikasi sekuen tersebut (Mount, 2004).

2.13.3 Influenza Virus Resource (IVR-NCBI)

National Center for Biotechnology Information (NCBI) didirikan oleh *U.S. National Library of Medicine* dan *National Institute of Health* sejak 1988, dengan tujuan utamanya sebagai *database* informasi biologi molekuler khususnya terkait kesehatan manusia dan penyakit. Selain itu juga untuk penelitian *computational biology*, pengembangan *software* untuk analisis data *genome*, menyimpan dan mendistribusikan *biomedical information*.

Server Influenza Virus Resource yang terintegrasi dalam *National Center for Biotechnology Information (NCBI)* menyimpan dan mendistribusikan data virus *influenza* yang didapatkan dari NIAID *Influenza Genome Sequencing Project* dan *GenBank*.

2.13.4 GenBank Flatfile Format

Diantara format-format *database* yang ada, *GenBank FlatFile Format* (GBFF) dan FASTA merupakan format yang umum digunakan pada bioinformatika. GenBank merupakan suatu institusi yang menyimpan dan mengelola database urutan DNA suatu gen dan ekspresi asam aminonya. Urutan DNA diperoleh dari berbagai penelitian yang dengan sukarela mempublikasikan hasil penelitiannya untuk masyarakat umum. GenBank didirikan oleh *National Center for Biotechnology Information* (NCBI) bersama dengan *DNA Data Bank of Japan* dan *European Bioinformatics Institute* (EBI) (Baxevanis dan Oullette, 2001).

GBFF sendiri merupakan suatu format yang memiliki 3 bagian terpisah yang memiliki informasi yang berbeda. Bagian *header* pada GBFF berisi tentang informasi identitas organisme asal sekuen nukleotida atau asam amino seperti nama gen, waktu publikasi, nomor akses, produk ekspresi, dan nama peneliti yang memetakan sekuen nukleotida tersebut. Sedangkan bagian *featurenya* yang ada di bagian tengah GBFF merupakan bagian terpenting yang memuat nama *genus*, spesies, jaringan, kromosom, galur, dan organisme asal sekuen DNA, beserta daerah gen, urutan asam amino yang disandi, dan nomor identitas produk proteinnya. Bagian terakhir GBFF merupakan bagian yang berisi susunan lengkap nukleotida dari organisme yang bersangkutan. FASTA sendiri merupakan format yang lebih kecil dan sederhana dari GBFF. Format ini hanya berupa satu baris identitas sekuen

yang diikuti oleh sekuen itu sendiri tanpa angka. Oleh karena itu, format FASTA merupakan format yang sering digunakan dalam analisis sekuen (Baxevanis dan Ouellette, 2001; Mount, 2004).

2.13.5 Multiple Sequence Alignments

Sequence Alignment merupakan metode penjajaran dua atau lebih sekuen DNA atau asam amino menggunakan algoritma tertentu dengan bantuan komputer, sehingga didapatkan area yang memiliki urutan relatif identik satu sama lain. Metode ini berfungsi mencari kesamaan (konservatifitas) dan homologi antar sekuen nukleotida DNA. Konservatifitas menunjukkan adanya hubungan evolusi antara dua atau lebih sekuen nukleotida yang mengalami perubahan, seperti substitusi, insersi, dan delesi. Suatu area sekuen nukleotida yang tidak memiliki kesamaan dengan sekuen nukleotida yang lain menunjukkan telah terjadinya substitusi (Baxevanis dan Ouellette, 2001).

Berdasarkan jumlah sekuen yang digunakan, *sequence alignment* dibagi menjadi dua jenis, yaitu *pairwise alignment* jika melibatkan dua sekuen dan *multiple sequence alignment* jika melibatkan lebih dari dua sekuen. *Multiple sequence alignment* memberikan hasil yang lebih akurat dan representatif dibandingkan *pairwise sequence alignment*, karena peningkatan jumlah input sekuen meningkatkan kepercayaan dan akurasi

output. Peningkatan jumlah sekuens yang dimasukkan berarti meningkatkan kompleksitas proses *sequence alignment* (Baxevanis dan Ouellette, 2001).

2.13.6 Conserved Region

Conserved region menunjukkan bahwa suatu sekuens dipertahankan selama proses evolusi berlangsung, diperkirakan karena sekuens tersebut berperan vital dalam aktivitas biologis. Jika *conserved region* tersebut menyandi suatu protein, kemungkinan besar ia menyandi pusat aktif enzim yang umumnya tidak berubah selama protein tersebut mempunyai fungsi yang sama. Walaupun demikian, tidak tertutup kemungkinan bahwa *conserved region* itu terbentuk dari sekuens nukleotida non-fungsional yang belum sempat berubah sehingga menyandikan area yang tidak memiliki fungsi penting pada protein (Baxevanis dan Ouellette, 2001).

2.13.7 Epitope Prediction Server

Epitope prediction server adalah server yang mampu memprediksi *epitope* yang terdapat pada suatu antigen, dengan bantuan dari penggunaan metode algoritma. Saat ini, telah tersedia berbagai macam *epitope prediction server*, baik untuk *sequential* maupun *conformational epitope*, yang dapat

diakses melalui jaringan internet (Kulkarni-Kale *et al.*, 2005; Zhang *et al.*, 2005).

2.13.8 Database Similarity Searching

Sequence alignment digunakan untuk membandingkan pasangan sekuens yang spesifik. Untuk suatu sekuens yang belum diketahui pembandingnya digunakan *database similarity searching*, yang mana sekuens tersebut dicari kecocokannya dengan sekuens yang terdapat dalam *database* dan hasilnya berupa suatu daftar (*hit list*) beserta berbagai nilai dan statistik (Baxevanis dan Ouellette, 2001).

Program pertama kali yang dipakai secara luas dalam *database similarity searching* adalah FASTA (Lipman dan Pearson, 1985). Program *Basic Local Alignment Search Tool* (BLAST) dikembangkan sesuai dengan tipe sekuen *query* dan *subject*, protein atau nukleotida. Jika tipe sekuens berbeda, sekuens nukleotida akan terlebih dahulu ditranslasikan oleh program. BLASTp digunakan untuk *query* protein terhadap *subject* protein, BLASTn digunakan untuk *query* nukleotida (ditranslasikan) terhadap *subject* protein, TBLASTn digunakan untuk *query* protein terhadap *subject* nukleotida (ditranslasikan), yang terakhir adalah TBLASX dimana sekuen *query* dan *subject* merupakan nukleotida, tetapi keduanya ditranslasikan terlebih dahulu dan dibandingkan sebagai protein (Baxevanis dan Ouellette, 2001).

BAB III

METODE PENELITIAN

Penelitian yang dilakukan adalah penelitian *in silico* menggunakan data sekuen protein influenza A (H5N1) diperoleh dari *database GenBank* yang dikeluarkan oleh *National Center Biotechnology Information* melalui *Influenza Virus Resource*. Sistem operasi yang digunakan adalah Microsoft Windows XP Professional menggunakan *browser Mozilla Firefox* versi 2.0.

3.1 Pencarian Sekuen Protein HA, NA, dan M2 Virus H5N1

Pencarian data sekuen protein *hemagglutinin* (HA), *neuraminidase* (NA), dan matrik 2 (M2) virus H5N1 dilakukan melalui server *GenBank Influenza Virus Resource* (IVR-NCBI) dengan alamat situs: <http://ncbi.nlm.nih.gov/genomes/FLU/Database.html>. Dilakukan pencarian sekuen protein HA, NA, dan M2 virus H5N1 *host human* di Indonesia. Sekuen asam amino yang telah didapat disimpan dalam format FASTA. Hal ini disebabkan sekuen asam amino dalam format FASTA akan digunakan dalam *query* untuk analisis selanjutnya.

3.2 Multiple Sequence Alignments

Sekuen protein HA, NA, dan M2 virus H5N1 dalam format FASTA dimasukkan sebagai *query* ke dalam program ClustalX versi 1.8. Melalui program ClustalX versi 1.8 ini dilakukan *multiple sequence alignments* terhadap setiap protein HA, NA, dan M2 virus H5N1 *host human*. Kemudian ditentukan perwakilan sekuen protein dari setiap protein HA, NA, dan M2 virus H5N1 *host human*. Setelah selesai *output file* dalam format ClustalX disimpan.

3.3 Penentuan Conserved Region

Multiple Sequnce alignments menghasilkan urutan-urutan asam amino yang telah diberi *gap* dan ditandai daerah-daerah yang sama. Dari data tersebut dapat dipilih *conserved region* dengan menggunakan program BioEdit versi 7.0.9.0. Pada langkah ini, menggunakan *query* format ClustalX yang telah disimpan.

3.4 Prediksi Proteasomal Cleavage Protein HA, NA, dan M2 Virus H5N1

Proteasomal cleavage diprediksi dengan menggunakan server *MHC-I Antigenic Peptide Processing Prediction* (MAPPP) pada menu pilihan

proteasome cleavage prediction yang dapat diakses secara bebas melalui internet dengan alamat situs: <http://www.mpiib-berlin.mpg.de/MAPPP/cleavage.html>. Untuk dapat memprediksi *proteasomal cleavage* protein HA, NA, dan M2 virus AI H5N1, server MAPPP membutuhkan *input* data berupa sekuen protein HA, NA, dan M2 virus H5N1 *host human* yang telah dipilih sebagai perwakilan. Hasil prediksi *proteasomal cleavage* oleh MAPPP adalah berupa sekuen dan fragmen-fragmen peptida beserta posisinya dan skor prediksi *cleavage* sekuen dan setiap fragmen peptida.

3.5 Prediksi TAP Binding Protein HA, NA, dan M2 Virus H5N1

TAP *binding* diprediksi dengan menggunakan server TAPPred yang dapat diakses secara bebas melalui internet dengan alamat situs: <http://bioinformatics.coms.edu/mirror/tappred/>. Hasil prediksi TAP *binding* oleh server TAPPred adalah berupa fragmen-fragmen protein virus H5N1 beserta posisinya serta skor prediksi afinitas *binding* untuk setiap fragmen peptida.

3.6 Prediksi epitope T-cell Protein HA, NA, dan M2 Virus H5N1

Epitope T-cell protein HA, NA, dan M2 virus H5N1 untuk MHC kelas I diprediksi dengan menggunakan program *on-line peptide binding to MHC class I molecules* melalui server immuneepitope pada alamat situs: http://tools.immuneepitope.org/analyze/html/mhc_binding.html dan MULTIPRED yang diakses melalui situs: <http://research.i2r.a-star.edu.sg/multipred/>. Untuk dapat memprediksi *epitope T-cell* membutuhkan *input* data berupa sekuen *conserved region* protein HA, NA, dan M2 virus H5N1. Hasil prediksi *epitope T-cell* berupa fragmen peptida beserta posisinya serta skor prediksi untuk setiap fragmen peptida. Kemudian ditentukan masing-masing *conserved region* protein HA, NA, dan M2 virus H5N1 yang dipilih sebagai sekuen protein untuk digunakan dalam proses perancangan vaksin DNA.

3.7 Reverse Translasi

Reverse translasi dilakukan dengan menggunakan *software gene design* melalui situs: <http://slam.bs.jhmi.edu/cgi-bin/gd/gdRevTrans.cgi> yang dilakukan secara *on line*. Reverse translasi dilakukan pada sekuen *conserved region* protein HA, NA, dan M2 virus H5N1 yang telah dipilih

sebelumnya untuk memperoleh sekuen DNA *conserved region* HA, NA, dan M2 virus H5N1.

3.8 Pemilihan Vektor

Dilakukan pemilihan vektor (digunakan plasmid sebagai vektor) yang memenuhi syarat-syarat untuk dapat dijadikan vektor vaksin DNA antara lain memiliki promotor *eukariot* yaitu seperti promotor CMV atau yang lainnya, memiliki *signal polyadenylation*, memiliki bagian replikasi dari bakteri dan gen resistensi antibiotik. Dalam hal ini digunakan pCMV-HA sebagai vektor untuk perancangan vaksin DNA.

3.9 Perancangan Vaksin DNA

Sekuen DNA *conserved region* HA, NA, dan M2 virus H5N1 hasil translasi disisipkan ke dalam vektor yang telah dipilih dengan memperhatikan sisi pemotongan dari enzim restriksi yang dipilih untuk memotong plasmid pada sisi MCS (*multiple cloning site*) sehingga sekuen DNA *conserved region* HA, NA, dan M2 virus H5N1 dapat disisipkan.

Enzim restriksi yang dipilih harus enzim yang hanya memotong pada MCS dan tidak memotong pada sisi lain dari plasmid serta tidak memotong DNA *conserved region* HA, NA, dan M2 virus H5N1. Pemilihan enzim

restriksi menggunakan *software* pDRAW32 versi 1.1.97. Selanjutnya *software* pDRAW32 ini digunakan dalam percangan DNA vaksin.

3.10 Translasi Vaksin DNA

Translasi Vaksin DNA dilakukan dengan menggunakan *software* pDRAW32, hasil yang didapat berupa sekuens protein. Untuk mencari homologi antara sekuens *conserved region* awal dengan protein hasil translasi dilakukan *alignment* dengan menggunakan program ClustalX versi 1.8. Kemudian untuk memastikan fragmen peptida sebagai epitope yang diinginkan tetap diprediksi kehadirannya setelah proses translasi maka sekuen protein hasil translasi diprediksi kembali *proteasomal cleavage* dengan menggunakan server MAPPP.

BAB IV

HASIL DAN PEMBAHASAN

4.1 Pencarian Sekuen Protein HA, NA, dan M2 Virus H5N1

Protein virus H5N1 yang digunakan sebagai bahan penelitian adalah sekuen protein *hemagglutinin* (HA), *neuraminidase* (NA), dan matrik 2 (M2) *host human*. Berhubungan dengan sifat imunogenitas virus H5N1, HA dan NA merupakan protein spesifik *antigenic* untuk menginduksi respon imun terhadap subtipe H5N1, sedangkan M2 merupakan protein *conserved antigenic* untuk menginduksi respon imun terhadap *avian influenza* tipe A (Tompkins *et al.*, 2007; Nidom, 2005). Sekuen protein diperoleh dari *database GenBank* yang dikeluarkan oleh *National Center Biotechnology Information* melalui *Influenza Virus Resource* (IVR-NCBI) dengan alamat situs: <http://ncbi.nlm.nih.gov/genomes/FLU/Database.html>.

Data sekuen yang digunakan adalah data sekuen dari masing-masing yang merupakan data sekuen lengkap (*full lenght*) karena tidak semua data yang terdapat pada *database* merupakan data *full lenght*. Pemilihan data *full lenght* untuk mempermudah proses penajaran (*alignments*) sehingga *conserved region* yang diperoleh berdasarkan daerah-daerah utuh dari masing-masing protein. Setelah dilakukan seleksi dan pengelompokan data

didapat hasil berikut: *hemagglutinin* (HA): 48 sekuen, *neuraminidase* (NA): 63 sekuen, dan protein matrik 2 (M2): 82 sekuen.

Format yang ada pada *GenBank* IVR-NCBI adalah format GBFF yang terdiri atas *Header*, *Feature*, serta sekuen nukleotida dan protein (Lampiran 1). Sekuen protein yang ada terdiri dari urutan huruf-huruf, setiap huruf merupakan kode dari suatu asam amino (Lampiran 2). Agar lebih memudahkan penggunaannya dalam *software* maupun *server* dalam penelitian, semua sekuen protein diubah ke dalam format FASTA (Lampiran 3).

4.2 Multiple Sequence Alignments

Data sekuen protein HA, NA, dan M2 virus H5N1 yang disimpan dalam format FASTA masing-masing dimasukkan sebagai *input* program ClustalX versi 1.8 untuk proses *multiple sequence alignments*. ClustalX memudahkan melihat perbedaan sekuen asam amino sehingga dapat dikaitkan dengan variasi genetik dari virus sehingga dapat ditentukan satu perwakilan untuk setiap protein. Perwakilan sekuen protein adalah sekuen protein yang dipilih berdasarkan kemiripan sekuen asam amino terbanyak untuk setiap protein. Perwakilan ini dilakukan untuk memudahkan langkah penelitian selanjutnya karena hanya untuk *conserved region* tertentu saja yang akan digunakan

pada langkah berikutnya dimana seluruh sekuen protein masing-masing memiliki daerah *conserved* tersebut.

Asam amino yang sama pada semua protein diberikan tanda asterisk (*) untuk mempermudah melihat kesamaan yang terdapat pada semua sekuen (Lampiran 4). Berdasarkan hasil *multiple alignments*, dipilih satu perwakilan dari setiap sekuen protein HA, NA, dan M2 virus H5N1 *host human* kemudian ditentukan *epitope* masing-masing. Karena terdapat beberapa sekuen yang memiliki kemiripan maka dipilih sekuen protein sebagai berikut: *hemagglutinin* (HA): A/Indonesia/CDC835/2006(H5N1), *neuraminidase* (NA): A/Indonesia/CDC739/2006(H5N1), dan protein matrik 2 (M2): A/Indonesia/CDC582/2006(H5N1).

4.3 Penentuan *Conserved Region*

Hasil *multiple alignments* dapat pula dilihat menggunakan program BioEdit versi 7.0.9.0 dengan *query* berupa file dalam format ClustalX yang disimpan (*.aln). Selanjutnya program BioEdit digunakan untuk menentukan *conserved region* dari hasil *alignments*.

Pemisahan *conserved region* dari hasil *alignment* dapat dilakukan dengan memasukkan sekuen-sekuen hasil *alignment*, dan kemudian menentukan parameter *conserved region* yang ingin diperoleh. Parameter yang digunakan pada penelitian ini menggunakan parameter *default* pada

program tersebut. *Conserved region* merupakan daerah yang memiliki kemiripan antar nukleotida atau asam amino yang rapat sehingga jika dipisahkan, dapat membentuk subsekuen-subsekuen yang serupa. Untuk membatasi diskontinuitas tersebut, dapat ditentukan batasan jumlah maksimum yang diperbolehkan ada dalam tiap segmen yang ditemukan. Selain itu dibatasi juga jumlah diskontinuitas yang berurutan. Dengan membatasi diskontinuitas, hasil yang akan ditampilkan oleh program hanyalah bagian-bagian sekuen yang masuk dalam kategori tersebut.

Hasil pencarian *conserved region* diperoleh 16 *regions* untuk *hemagglutinin* (HA), 12 *regions* untuk *neuraminidase* (NA), dan 1 *region* untuk protein matrik 2 (M2) (Lampiran 5).

Banyaknya *strain* sekuen protein disebabkan karena virus *avian influenza H5N1* merupakan jenis virus RNA yang mudah mengalami mutasi. Secara umum diketahui dua tipe mutasi AI H5N1 yaitu *antigenic shift* dan *antigenic drift*. Meskipun terjadi banyak mutasi, tetapi metode pengembangan vaksin saat ini masih terbatas untuk memicu sistem imun terhadap subtipe tertentu, sehingga untuk subtipe lain diperlukan vaksin yang berbeda.

Penggunaan *conserved region* sebagai transgen, diharapkan membentuk vaksin DNA yang memberikan perlindungan terhadap varian H5N1.

4.4 Prediksi *Proteasomal Cleavage* Protein HA, NA, dan M2 Virus H5N1

Proteasome berperan dalam pembentukan fragmen-fragmen protein di dalam sel yang mengakibatkan kehadiran molekul-molekul MHC kelas I sebagai respon pertahanan terhadap protein asing yang terdapat di dalam sel sehingga terdeteksi oleh sistem imun (Kloetzel, 2001; Holzhütter *et al.*, 1999).

Prediksi *proteasomal cleavage* dilakukan melalui server *MHC-I Antigenic Peptide Processing Prediction* (MAPPP) pada menu pilihan *proteasome cleavage prediction* yang dapat diakses secara bebas melalui internet dengan alamat situs: <http://www.mpiib-berlin.mpg.de/MAPPP/cleavage.html>.

Kelebihan layanan server ini adalah kemampuannya dalam memprediksi tidak hanya situs pemotongan pada masing-masing asam amino dalam protein yang dimasukkan sebagai *query*, tetapi juga fragmen-fragmen yang mungkin terbentuk akibat pemotongan oleh *proteasome* (Holzhütter *et al.*, 2000). Fragmen-fragmen inilah yang dikenal dengan *epitope* dari protein yang kemudian akan diprediksi kemampuannya dalam melakukan respon terhadap molekul-molekul MHC kelas I. Hasil prediksi *Proteasomal Cleavage* Protein HA, NA, dan M2 Virus H5N1(Lampiran 6).

4.5 Prediksi TAP *Binding* Protein HA, NA, dan M2 Virus H5N1

Setelah protein di dalam sel didegradasi oleh *proteasome*, hasil pemotongan protein tersebut akan ditangkap oleh *transporter associated with antigen processing* (TAP) dan dibawa menuju retikulum endoplasama. Disinilah fragmen protein tersebut akan berinteraksi dengan molekul MHC kelas I yang baru saja disintesis. Pengenalan kompleks MHC-protein merupakan hal yang penting dalam respon imun (Manoj dan Raghava, 2003). Kemudian menjadi penting dilakukan untuk memprediksi afinitas *epitope* terhadap TAP *binding* protein.

Prediksi kemampuan TAP *binding* Protein dalam menangkap *epitope* dilakukan dengan server TAPPred dengan alamat situs:
<http://bioinformatics.coms.edu/mirror/tappred/>. Hasil prediksi ini menampilkan skor dan keterangan bahwa *epitope* yang diteliti memiliki nilai *high affinity*, *intermediate affinity*, atau *low affinity* (Lampiran 7). Maka akan terjadi seleksi pada penentuan kemampuan *epitope* dalam berinteraksi dengan molekul MHC kelas I pada langkah selanjutnya.

4.6 Prediksi *epitope T-cell* Protein HA, NA, dan M2 Virus H5N1

Prediksi *epitope T-cell* dilakukan dengan menggunakan dua layanan server yaitu immuneepitope dan MULTIPRED dengan alamat situs masing-

masing http://tools.immuneepitope.org/analyze/html/mhc_binding.html dan <http://research.i2r.a-star.edu.sg/multipred/>. Penelitian sebelumnya telah dilakukan prediksi menggunakan MULTIPRED terhadap protein HA (Makky, 2007).

MULTIPRED memprediksi kekuatan peptida-peptida yang dapat mengikat HLA (MHC-nya manusia) dalam kelompok supertipe HLA kelas I A2, kelas I A3 dan kelas II DR (Zhang *et al.*, 2005; Srinivasan *et al.*, 2004; Vladimir *et al.*, 2002). Penelitian ini menggunakan metode algoritma *Hidden Markov Model* (HMM) untuk MULTIPRED. Immuneepitope memprediksi kekuatan peptida-peptida yang dapat mengikat HLA tidak hanya supertipe HLA kelas I A2 dan kelas I A3 tetapi juga memprediksi supertipe lain seperti HLA kelas I B dan kelas I A yang lain. Untuk immuneepitope jenis HLA dapat dipilih tidak hanya berdasarkan supertipe tententu saja tetapi juga dapat dipilih berdasarkan jenis alel dari HLA yang diinginkan (jumlah alel yang diprediksi lebih banyak dibandingkan menggunakan MULTIPRED). Pada penelitian ini dilakukan prediksi pada semua alel (37 alel) yang tersedia di server immuneepitope dengan menggunakan metode algoritma *Stabilized Matrix Method* (SMM).

Berdasarkan informasi pada IE DB (*immuneepitope database*), *output* prediksi immuneepitope diberikan dalam unit IC50 nM. Dalam program ini peptida yang memiliki nilai IC50 (*Inhibitory Concentration*) kurang dari 50 nM maka peptida tersebut memiliki afinitas tinggi, nilai IC50 kurang dari 500 nM memiliki afinitas *intermediate*, dan nilai IC50 kurang dari 5000 nM memiliki

afinitas rendah, sedangkan nilai IC50 lebih dari 5000 nM dikenal dengan *no known epitope* atau bukan merupakan *epitope*.

HLA dibedakan atas dua kelas, yakni kelas I dan II. Kelas I berhubungan dengan fragmen peptida intraseluler dan diaktifkan oleh CD8⁺. Sedangkan kelas II mengikat peptida ekstraseluler dan diaktifkan oleh CD4⁺. Vaksin DNA merupakan metode efektif yang dapat menginduksi CD8⁺ respon *T-cell* (Ulmer *et al.*, 1993), oleh karena itu parameter yang dipilih adalah MHC kelas I dengan memilih parameter class I A2 dan class I A3 untuk prediksi menggunakan MULTIPRED.

Prediksi epitope *T-cell* didasarkan pada *binding score* yang berbeda-beda. *Binding score* menunjukkan kekuatan ikatan *epitope* yang diprediksi dengan HLA. Bila ikatan antara *epitope* dengan HLA besar, maka kemungkinan *T-cell* mengenali *epitope* tersebut juga akan besar. Percobaan imunologi menunjukkan bahwa hanya peptida yang berikatan dengan HLA dengan *binding score* tinggi yang akan dikenali sebagai *epitope T-cell* dan memicu respon imun. Dengan kata lain, *epitope T-cell* merupakan peptida yang berikatan dengan MHC dan karena itu menjadi vaksin yang potensial (Zhang *et al.*, 2005).

Hasil yang ditampilkan oleh Multipred adalah *epitope* dengan 9 susunan asam amino beserta *score* yang didapat. *Score* yang didapat menunjukkan tingkat kekuatan ikatan 9 asam amino dengan HLA, dimana: *score* 8-9 adalah *high binders*, *score* 6-7 adalah *moderate binders*, dan *score* 4-5 adalah *low binders*, sedangkan *score* 1-3 diprediksi sebagai *non binders*.

atau bukan merupakan *epitope*. Makin tinggi score yang didapat maka makin besar kemungkinan suatu susunan asam amino berfungsi sebagai *epitope*, karena ikatan dengan HLA semakin kuat (Zhang, et al., 2005).

Berdasarkan gabungan hasil prediksi oleh kedua program tersebut serta prediksi MAPPP dan TAPPred (Lampiran 8) diperoleh hasil *conserved region* dengan imunitas terbaik adalah *conserved region 13 hemagglutinin* (HA), *conserved region 12 neuraminidase* (NA), dan *conserved region 1 protein matrik 2* (M2).

4.7 Reverse Translasi

Sekuens DNA *conserved region 13 hemagglutinin* (HA), *conserved region 12 neuraminidase* (NA), dan *conserved region 1 protein matrik 2* (M2) diperoleh dengan melakukan *reverse translasi* sekuens protein *conserved region* masing-masing. Proses *reverse translasi* dilakukan dengan menggunakan software online Gene Design dari situs <http://slam.bs.jhmi.edu/cgi-bin/gd/gdRevTrans.cgi> (Lampiran 9).

4.8 Perancangan Vaksin DNA

4.8.1 Pemilihan Plasmid pCMV-HA

Suatu wahana pengklonan yang ideal seharusnya memiliki tiga sifat, yaitu berat molekul rendah, mampu memberikan sifat fenotipik yang dapat dipilih pada *host* dan memiliki sisi pemotongan tunggal untuk sejumlah besar enzim restriksi *endonuklease* (Old dan Primrose, 1989).

Ada beberapa keuntungan dari rendahnya berat molekul. Pertama, plasmid akan jauh lebih mudah penanganannya karena lebih resisten terhadap kerusakan akibat penyaringan dan mudah dipisahkan dari sel-sel inang. Kedua, plasmid yang berat molekulnya rendah biasanya ada dalam bentuk salinan yang banyak sekali dan hal ini tidak hanya mempermudah pemisahannya tetapi juga memungkinkan terjadinya efek dosis gen untuk seluruh gen terklon. Ketiga, dengan berat molekul rendah akan lebih kecil kemungkinannya bahwa vektornya akan mempunyai sisi pemotongan substrat yang banyak untuk suatu restriksi *endonuklease* (Old dan Primrose., 1989).

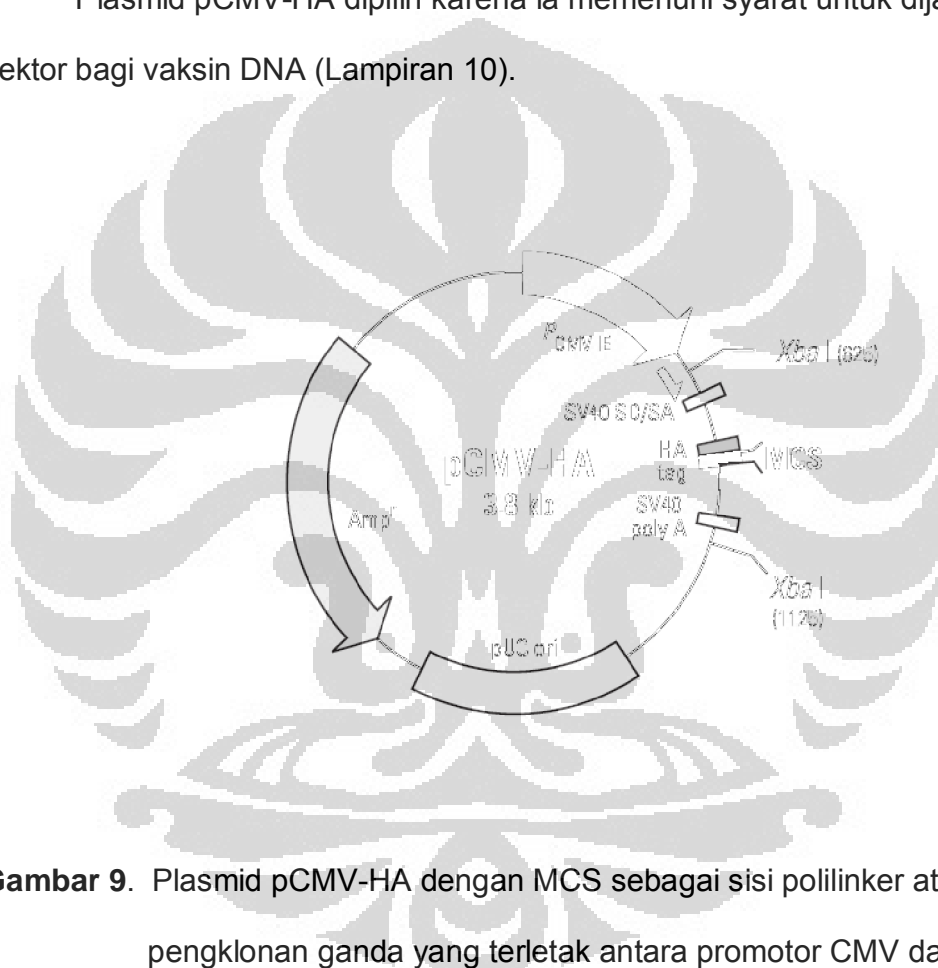
Plasmid DNA telah banyak digunakan untuk imunisasi terhadap beberapa variasi penyakit (lebih dikenal dengan nama vaksin DNA). Untuk membangun vaksin DNA ada beberapa syarat yang harus dipenuhi. Pertama, harus mengetahui sekuen protein dari patogen yang dapat menginduksi respon imun. Kedua, harus menggunakan ekspresi vektor yang

mengandung promotor sebagai contoh promotor Cytomegalovirus (CMV).

Ketiga, diperlukan model hewan percobaan untuk mempelajari penyakit.

Keempat, menguji karakteristik reaksi imun yang disebabkan oleh vaksin (Henke, 2002).

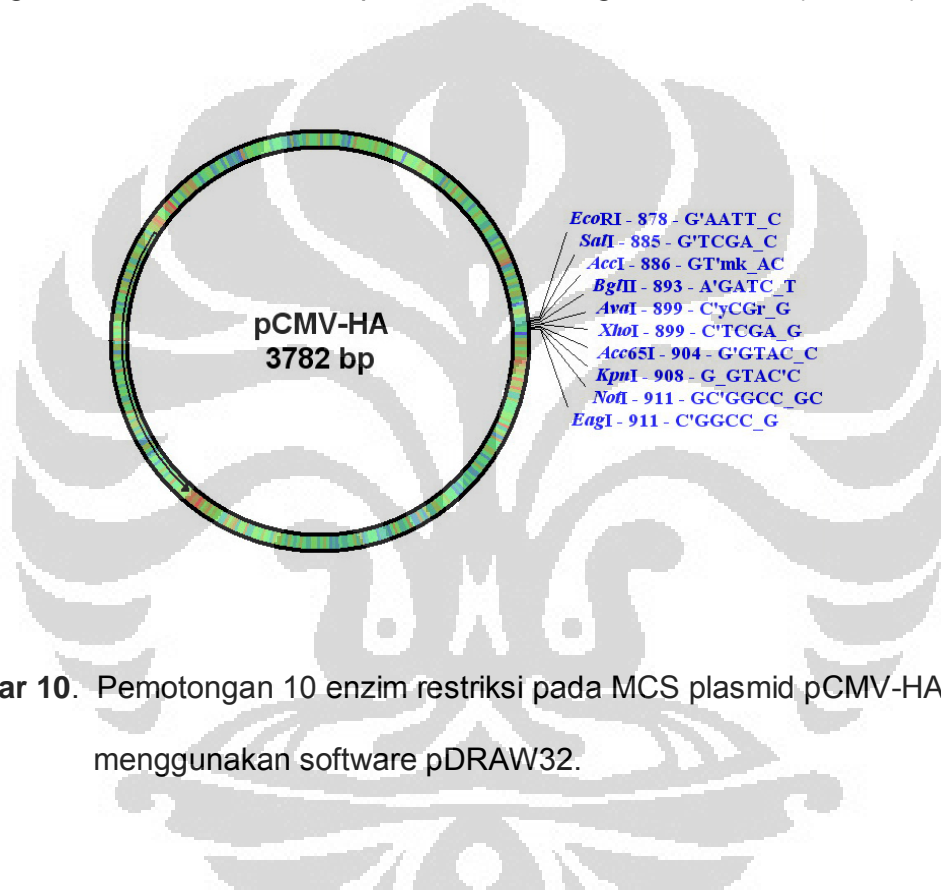
Plasmid pCMV-HA dipilih karena ia memenuhi syarat untuk dijadikan vektor bagi vaksin DNA (Lampiran 10).



Gambar 9. Plasmid pCMV-HA dengan MCS sebagai sisi polilinker atau pengklonan ganda yang terletak antara promotor CMV dan *polyadenylation signal* (<http://www.clontech.com>, 1 Februari 2008, 10:33 WIB).

4.8.2 Pemilihan Enzim Restriksi *Endonuklease*

Di dalam *Multiple Cloning site* (MCS) pCMV-HA terdapat sepuluh situs enzim restriksi tunggal yang berguna untuk insersi DNA, yaitu *EcoRI*, *Sall*, *AccI*, *BgII*, *Aval*, *Xhol*, *Acc65I*, *KpnI*, *NotI*, dan *EagI* Gambar 10 (Tabel 1).



Gambar 10. Pemotongan 10 enzim restriksi pada MCS plasmid pCMV-HA menggunakan software pDRAW32.

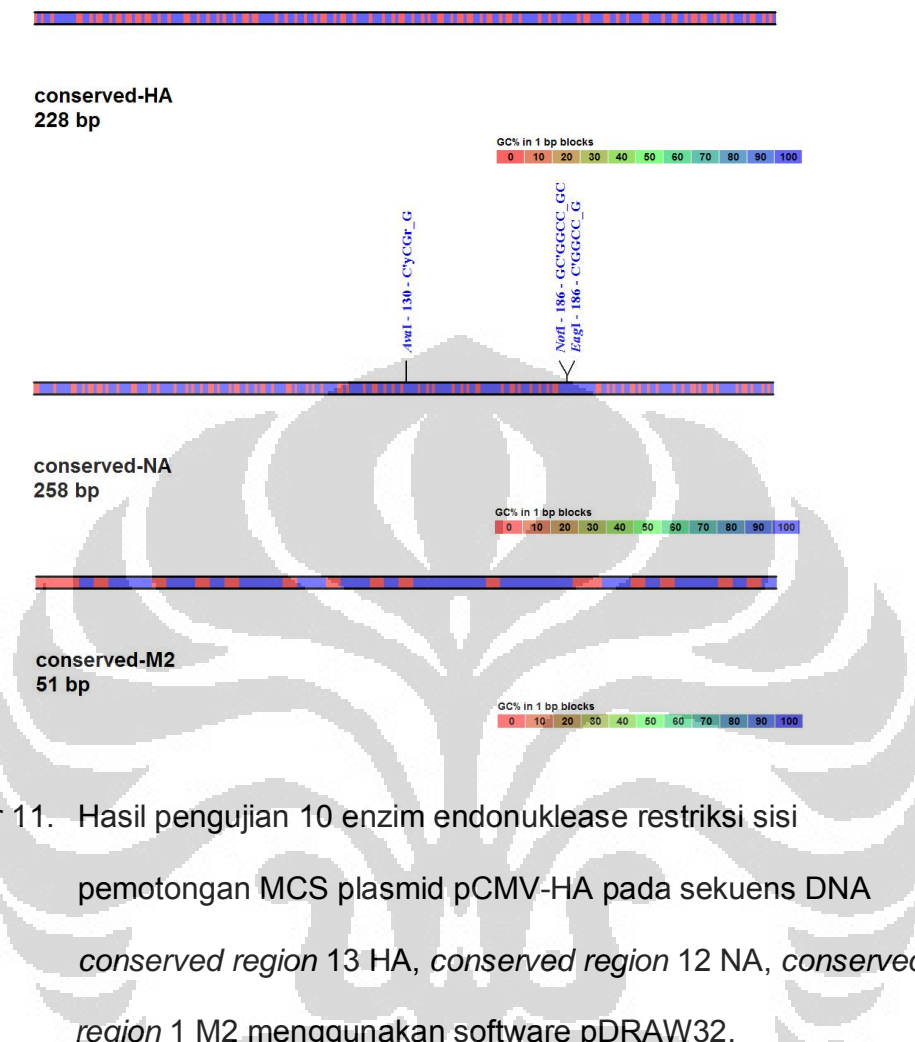
Untuk memperoleh rekombinan dengan DNA *insert* pada arah yang diinginkan maka plasmid dipotong dalam daerah *multiple cloning* oleh dua enzim restriksi berbeda yang akan menghasilkan ujung kohesif yang tidak berpasangan. Cara ini juga mencegah DNA *insert* melingkar dirinya sendiri dan mencegah plasmid melingkar kembali tanpa membawa DNA *insert* karena dipotong oleh dua enzim restriksi yang berbeda.

Pada reaksi sederhana, ligasi plasmid dan DNA *insert* yang dipotong dengan enzim restriksi yang sama akan membentuk plasmid rekombinan yang melingkar. Fragmen DNA *insert* yang memiliki ujung kohesif yang bersesuaian dengan ujung kohesif plasmid yang telah dilinierisasi akan diligasi oleh enzim ligase.

Tabel 1. Endonuklease yang terdapat pada MCS plasmid pCMV-HA beserta sisi pemotongannya.

No	Endonuklease	Posisi	Sisi pemotongan
1	<i>EcoRI</i>	878	5' G A ATTC 3'
2	<i>Sall</i>	885	5' G T CGAC 3'
3	<i>Accl</i>	886	5' GT U nkAC 3'
4	<i>BgII</i>	893	5' A G ATCT 3'
5	<i>Aval</i>	899	5' C D yCGr_G 3'
6	<i>Xhol</i>	899	5' C T CGAG 3'
7	<i>Acc65I</i>	904	5' G A TACC 3'
8	<i>KpnI</i>	908	5' GGTAC C 3'
9	<i>NotI</i>	911	5' GC X GCCGC 3'
10	<i>EagI</i>	911	5' C G GCCG 3'

Enzim restriksi yang dipilih untuk digunakan dalam merancang plasmid rekombinan adalah enzim restriksi unik yang terdapat dalam MCS pCMV-HA tapi tidak memotong sekuens DNA *conserved region 13 hemagglutinin* (HA), *conserved region 12 neuraminidase* (NA), dan *conserved region 1 protein matrik 2* (M2) yang akan diinsersikan (Gambar 11).



Gambar 11. Hasil pengujian 10 enzim endonuklease restriksi sisi pemotongan MCS plasmid pCMV-HA pada sekvens DNA *conserved region 13 HA*, *conserved region 12 NA*, *conserved region 1 M2* menggunakan software pDRAW32.

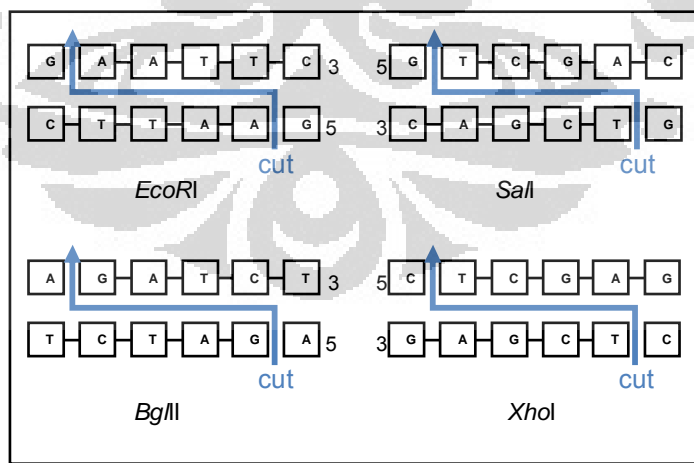
Untuk enzim restriksi *AccI*, *NotI*, dan *EagI* tidak dapat digunakan karena memotong pada sekuen DNA *conserved region 12 neuraminidase* (NA) sehingga total enzim restriksi yang dapat digunakan sebanyak tujuh buah. Pada perancangan ini digunakan enzim restriksi *EcoRI*, *SalI*, *BgII*, dan *Xhol* karena keempat enzim restriksi ini memenuhi kedua syarat tersebut. Selain itu letak keempat enzim restriksi ini posisinya berdekatan satu sama lain. Penyisipan DNA *insert* dilakukan sedapat mungkin satu dengan yang

lain berdekatan agar penambahan protein saat translasi diantara protein *conserved region HA, NA, dan M2* tidak banyak dan panjang protein hasil translasi tidak terlalu panjang.

4.8.3 Rekombinasi Plasmid pCMV-HA dengan DNA *Conserved Region*

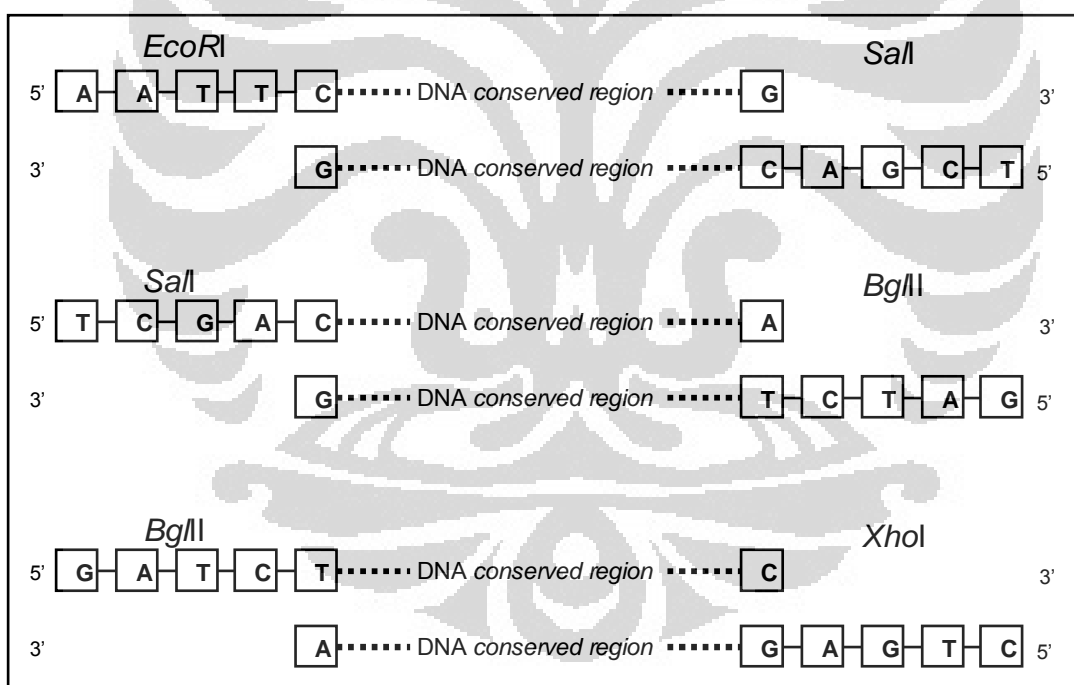
13 *Hemagglutinin (HA)*, *Conserved Region 12 Neuraminidase (NA)*, dan *Conserved Region 1 Protein Matrik 2 (M2)*

Pemotongan vektor transfer dengan enzim restriksi *EcoRI*, *Sall*, *BgII*, dan *Xhol* menghasilkan ujung-ujung *overhang* (*sticky ends*) (Gambar 12). Ujung-ujung *overhang* ini yang diligasi dengan DNA *insert* yaitu DNA *conserved region 13 hemagglutinin (HA)*, *conserved region 12 neuraminidase (NA)*, dan *conserved region 1 protein matrik 2 (M2)*.



Gambar 12. Situs pemotongan *EcoRI*, *Sall*, *BgII*, dan *Xhol*.

Untuk membentuk situs pemotongan *EcoRI* dan *Sall* pada ujung-ujung DNA *conserved region* yang akan disisipkan, maka dilakukan penambahan nukleotida pada kedua ujung DNA *conserved region* tersebut. Pada ujung 5' ditambah nukleotida **AATTC** dan pada ujung 3' ditambah nukleotida **G**, situs pemotongan *Sall* dan *BgII* pada ujung 5' ditambah nukleotida **TCGAC** dan pada ujung 3' ditambah nukleotida **A**, situs pemotongan *BgII* dan *Xhol* pada ujung 5' ditambah nukleotida **GATCT** dan pada ujung 3' ditambah nukleotida **C** sehingga sekuens DNA vaksin menjadi seperti ditampilkan pada Gambar 13.



Gambar 13. Sekuens DNA *conserved region* setelah ditambah situs pemotongan *EcoRI*, *Sall*, *BgII*, dan *Xhol*.

Dengan kombinasi tiga buah DNA *insert* yaitu berupa DNA *conserved region* HA, NA, dan M2 diperoleh vaksin DNA sebanyak enam buah yaitu pCMV-HA_HNM2, pCMV-HA_HM2N, pCMV-HA_NHM2, pCMV-HA_NM2H, pCMV-HA_M2HN, dan pCMV-HA_M2NH yang diperlihatkan Gambar 14 (Lampiran 11).



Gambar 14. Plasmid Rekombinan pCMV-HA_HNM2, pCMV-HA_HM2N, pCMV-HA_NHM2, pCMV-HA_NM2H, pCMV-HA_M2HN, dan pCMV-HA_M2NH.

4.9 Translasi Vaksin DNA

Hasil *Open Reading Frame* (ORF) pada *software pDRAW32* merupakan pembacaan sekuens DNA yang ditranslasikan menjadi protein dengan menggunakan kode genetik *standard*. Rekombinan vektor transfer pCMV-HA dengan DNA *Conserved Region 13 Hemagglutinin* (HA), *Conserved Region 12 Neuraminidase* (NA), dan *Conserved Region 1 Protein Matrik 2* (M2) diperoleh panjang sekuens 4322 bp dibuatkan *mapping* plasmidnya, analisis enzim restriksi, dan analisis hasil *Open Reading Frame* (ORF) dengan menggunakan bantuan *software pDRAW32* seperti terlihat pada (Lampiran 11).

Translasi merupakan proses penerjemahan urutan nukleotida yang ada pada molekul mRNA menjadi rangkaian asam-asam amino yang menyusun polipeptida atau protein. Molekul mRNA merupakan transkrip (salinan) urutan DNA yang menyusun suatu gen dalam bentuk ORF. Suatu ORF dicirikan oleh: (1) *kodon inisiasi translasi*, yaitu urutan ATG (pada DNA) atau AUG (pada mRNA), (2) serangkaian urutan nukleotida yang menyusun banyak kodon, (3) *kodon terminasi translasi*, yaitu TAA (UAA pada mRNA), TAG (UAG pada mRNA), atau TGA (UGA pada mRNA) (Yuwono, 2005).

Proses translasi menggunakan *software pDRAW32* menghasilkan dua dan tiga daerah ORF yang masing-masing pembentukan inisiasinya diawali dengan pembentukan metionin. Untuk ORF pertama adalah domain MCS yang merupakan daerah pembentukan protein *conserved region 13*

Hemagglutinin (HA), *Conserved Region 12 Neuraminidase* (NA), dan *Conserved Region 1 Protein Matrik 2* (M2) dan ORF kedua merupakan domain yang resistensi terhadap *ampicilin*. Terdapatnya dua daerah ORF ini memberikan gambaran bahwa untuk menyisipkan DNA tidak hanya dapat dilakukan pada domain MCS saja tetapi dapat juga dilakukan pada domain yang resistensi terhadap *ampicilin*. Kedua daerah ORF ini terdapat pada pembacaan *frame* kedua untuk translasi protein *conserved region* dan pembacaan *frame* kelima untuk *ampicilin*.

Pada pCMV-HA_HNM2, pCMV-HA_NHM2, pCMV-HA_NM2H, dan pCMV-HA_M2NH terdapat tiga daerah ORF dengan satu protein tidak dikenal (pada pembacaan *frame* pertama) karena setelah dilakukan BLAST pada protein ini tidak terdapat *database* yang cocok. Disarankan untuk vaksin DNA digunakan pCMV-HA_HM2N dan pCMV-HA_M2HN yang hanya memberikan dua daerah ORF.

4.10 Alignment, BLAST dan Prediksi Proteasomal Cleavage Protein

Translasi Vaksin DNA

Alignment bertujuan untuk menentukan tingkat kemiripan antara sekuens protein *conserved region* sebelumnya dengan sekuens protein hasil translasi. Proses *alignment* dilakukan dengan mencocokkan asam amino antar sekuens. Digunakan software ClustalX versi 1.8 untuk *alignment*

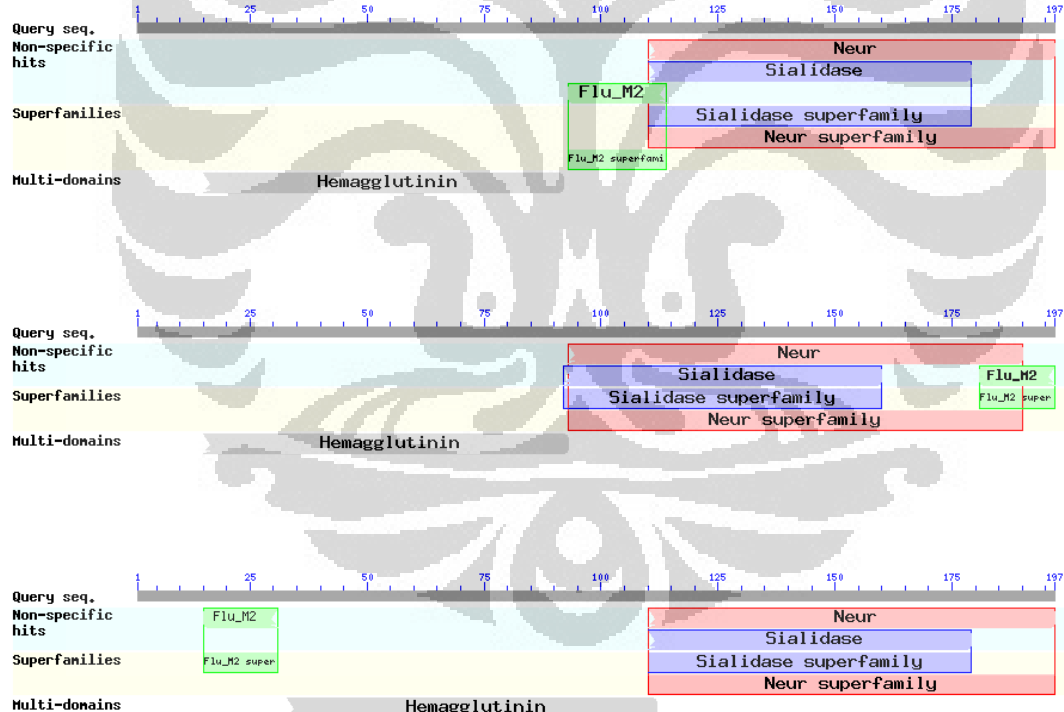
dengan *input* protein hasil translasi serta *Conserved Region* 13

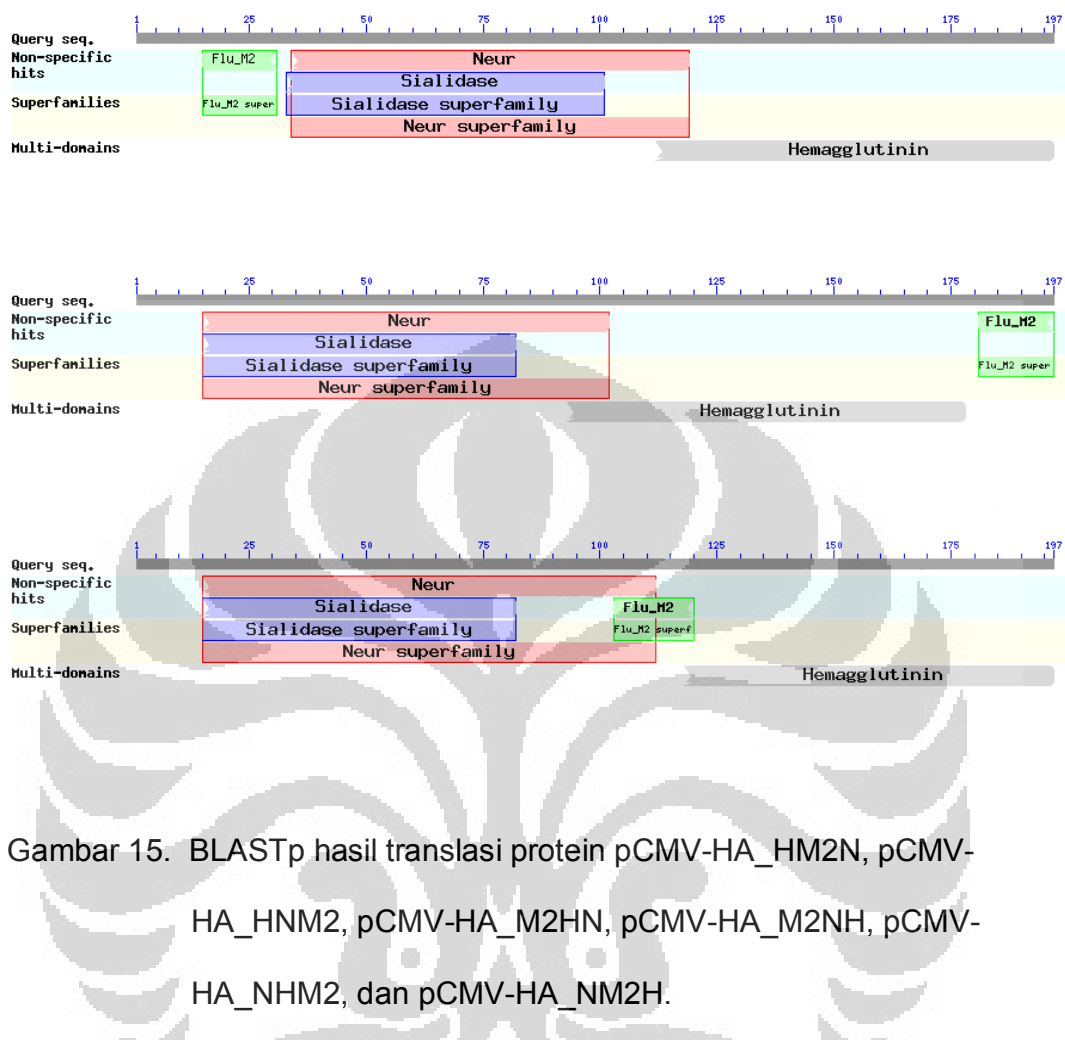
Hemagglutinin (HA), *Conserved Region* 12 *Neuraminidase* (NA), dan

Conserved Region 1 Protein Matrik 2 (M2) (Lampiran 12).

Dari hasil alignment protein yang diinginkan memiliki kesamaan dengan *Conserved Region* 13 *Hemagglutinin* (HA), *Conserved Region* 12 *Neuraminidase* (NA), dan *Conserved Region* 1 Protein Matrik 2 (M2).

Kemudian dilakukan juga BLASTp terhadap protein hasil translasi yang diperlihatkan Gambar 15 (Lampiran 13).





Gambar 15. BLASTp hasil translasi protein pCMV-HA_HM2N, pCMV-HA_HNM2, pCMV-HA_M2HN, pCMV-HA_M2NH, pCMV-HA_NHM2, dan pCMV-HA_NM2H.

Prediksi *proteasomal cleavage* protein translasi vaksin DNA menggunakan MAPPP menggambarkan bahwa *epitope* yang diprediksi diawali sebelum DNA *Conserved Region 13 Hemagglutinin (HA)*, *Conserved Region 12 Neuraminidase (NA)*, dan *Conserved Region 1 Protein Matrik 2 (M2)* disisipkan ke dalam pCMV-HA tetapi dihasilkan (Lampiran 14). Dengan demikian, protein hasil translasi vaksin DNA sesuai dengan yang diharapkan karena *epitope* pada prediksi sebelum proses perancangan vaksin DNA dilakukan tetapi dihasilkan.

BAB V

KESIMPULAN DAN SARAN

5.1 Kesimpulan

Penentuan *conserved region hemagglutinin* (HA), *neuraminidase* (NA), dan protein matrik 2 (M2) menggunakan *software* ClustalX versi 1.8 dan BioEdit versi 7.0.9.0 diperoleh 16 *regions* untuk *hemagglutinin* (HA), 12 *regions* untuk *neuraminidase* (NA), dan 1 *region* untuk protein matrik 2 (M2). Kemampuan imunitas terbaik berdasarkan prediksi secara *in silico* menggunakan server bioinformatika immuneepitope dan MULTIPRED adalah *conserved region 13 hemagglutinin* (HA), *conserved region 12 neuraminidase* (NA), dan *conserved region 1 protein matrik 2* (M2).

Berdasarkan prediksi secara *in silico* menggunakan *software* pDRAW32 versi 1.1.97, plasmid pCMV-HA dapat digunakan sebagai pembawa DNA *conserved region 13 hemagglutinin* (HA), *conserved region 12 neuraminidase* (NA), dan *conserved region 1 protein matrik 2* (M2), dan terdapat tujuh enzim restriksi yang dapat digunakan untuk memotong plasmid tanpa memotong sekuen DNA *conserved region 13 hemagglutinin* (HA), *conserved region 12 neuraminidase* (NA), dan *conserved region 1 protein matrik 2* (M2). Dalam penelitian ini digunakan 4 jenis enzim restriksi *endonuklease* yaitu *EcoRI*, *Sall*, *BgII*, dan *Xhol*.

Enam vaksin DNA yang mengkode *conserved region 13 hemagglutinin* (HA), *conserved region 12 neuraminidase* (NA), dan *conserved region 1* protein matrik 2 (M2) pada *host* ditemukan dari hasil rancangan *in silico* vektor plasmid rekombinan pCMV-HA dengan bantuan *software* pDRAW32 versi 1.1.97 yaitu pCMV-HA_HNM2, pCMV-HA_HM2N, pCMV-HA_NHM2, pCMV-HA_NM2H, pCMV-HA_M2HN, dan pCMV-HA_M2NH.

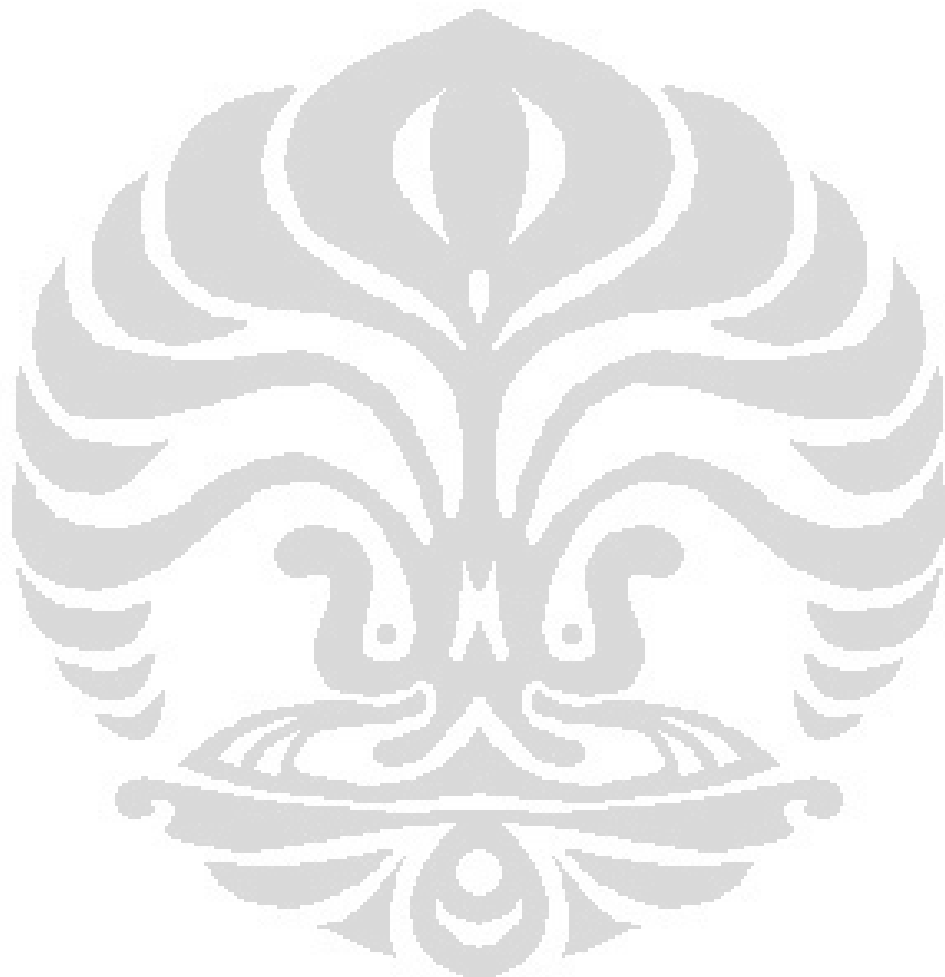
Alignment terhadap protein hasil translasi vaksin DNA diperoleh sekuen asam amino yang sama untuk setiap *conserved region* homolog 100% dengan setiap protein *conserved region* awal. Hasil prediksi *Proteasomal cleavage* terhadap protein hasil translasi vaksin DNA memberikan fragmen *epitope* yang diinginkan seperti prediksi pada protein *hemagglutinin* (HA), *neuraminidase* (NA), dan protein matrik 2 (M2) sebelumnya.

5.2 Saran

Melakukan penelitian secara *in silico* untuk mengetahui desain primer dari DNA *conserved region 13 hemagglutinin* (HA), *conserved region 12 neuraminidase* (NA), dan *conserved region 1* protein matrik 2 (M2) untuk proses amplifikasi pada pembuatan DNA rekombinan.

Diperlukan studi lanjutan dalam tahapan penelitian *in vitro* untuk merekontruksi rancangan vaksin DNA pCMV-HA_HNM2, pCMV-HA_HM2N,

pCMV-HA_NHM2, pCMV-HA_NM2H, pCMV-HA_M2HN, dan pCMV-HA_M2NH. Kemudian mengujicobakannya (*in vivo*) pada hewan percobaan untuk mengetahui imunogenitas vaksin DNA tersebut.



DAFTAR PUSTAKA

- Abbas, A. K., Lichthman, A. H., Pober, J. S. 1994. *Cellular and Molecular Immunology*. 2nd ed., W.B. Saunders Company.
- Alberts, B., Johnson, A., Lewis, J., Raff, M., Roberts, K., Walter, P. 2002. *Molecular Biology of The Cell*, 4th ed., Garland Science, New York.
- Baratawidjaja, K. G. 2006. *Imunologi Dasar*. Balai Penerbit-FK UI: Jakarta.
- Baxevanis, A. D., Ouellette, B. F. F. 2001. *Bioinformatics A Practical Guide to the Analysis of Genes and Protein 2nd Edition*. USA: Wiley Interscience.
- Baxevanis, A. D., Ouellette, B. F. F. 2005. *Bioinformatics A Practical Guide to the Analysis of Genes and Proteins*. 3rd ed., Wiley Interscience.
- Bean, W. J., Schell, M., Katz, J., Kawaoka, Y., Naeve, C., Gorman, O. 1992. *Evolution of the H3 Influenza Virus Hemagglutinin from Human and Non-Human Hosts*. J. Virol., 66; 1129-1138.
- Black, J. G. 1999. *Microbiology Principles and Explorations*. 4th ed. JohnWiley & Sons, Inc., USA.
- Cox et al. 2005. Orthomyxoviridae. Sem. Virol., 6; 359–70.
- Davis, H. L. 1997. *Plasmid DNA expression system for the purpose of immunisation*. Curr. Opin. Biotechnol 8: 635-640.
- de Jong, M., Tran, T. H. 2005. Avian Influenza A (H5N1). Journal of Clinical Virology, 951.

- Henke, A. 2002. *DNA immunization – a new chance in vaccine research?*. Med Microbiol Immunol 191:187-190.
- Hilleman, M. R. 2000. *Vaccines in historic evolution and perspective: a narrative of vaccine discoveries*. J Hum Virol 3:63-76.
- Holzhütter, H. G., Frömmel, C., Kloetzel, P. M. 1999. *A Theoretical Approach Towards the Identification of Cleavage-Determining Amino Acid Motifs of the 20S Proteasome*. J. Mol. Biol. 286, 1251-1265.
- Holzhütter, H. G., Kloetzel, P. M. 2000. *A kinetic model of vertebrate 20S proteasome accounting for the generation of major proteolytic fragments from oligomeric peptide substrates*. Biophysical J. 2000 (79): 1196-1205.
- Horimoto, T., Kawaoka, Y. 2001. *Pandemic Threat Posed by Avian Influenza A Viruses*. Clin Microbiol Rev. 14(1), 129-149.
- Isbagio, D. W. 2004. *Strategi Terbaru Dalam Pencegahan Influenza*. Pusat Penelitian Pengembangan Pemberantasan Penyakit Badan Penelitian dan Pengembangan Kesehatan, Jakarta.
- Kelgert, K. D. 1996. *Immunology: Understanding the Immune System*. Wiley-Liss, Inc. New York.
- Kloetzel, P. M. 2001. *Antigenic Processing by The Proteasome*. Nature Review. Molecular Cell Biol.
- Knight, J. 2002. *Science of Every Things Volume 3: Real-Life Biology*. Gale Group Inc.

- Kuby, J. 1992. *Immunology*. W. H. Freeman and Company. New York.
- Kulkarni-Kale, U., S. Bhosle, A. S. Kolaskar. 2005. *CEP: a conformational epitope prediction server*. Nuc. Acid Research, Vol. 33.
- Lamb *et al.* 1994. *Influenza A*. Folding and assembly of viral.
- Manoj, B., Raghava, G. P. S. 2003. *Analysis and Prediction of Affinity of TAP Binding Peptides using cascade SVM*. Protein Science 13:596–607.
- Makky, M. 2007. *Studi in silico Conserved Region Hemagglutinin (HA) pada Virus Avian Influenza A Subtipe H5N1 di Indonesia untuk Perancangan Vaksin DNA*. Skripsi Sarjana Sains Departemen Kimia, FMIPA UI.
- McDonnell, W. M., Askari, F. K. 1996. *Molecular Medicine DNA Vaccines*. The New England Journal of Medicine.
- Miklos, A David Freyer, Greg A. Crotty, A David. 2003. *DNA Science A first Course*. Cold Spring Harbor Laboratory Press.
- Mount, D. W., 2004. *Bioinformatics sequence and genome analysis*. Cold Spring Harbor Laboratory Press, New York.
- Muladno. 2002. *Seputar Teknologi Rekayasa Genetika*. Pustaka Wirausaha Muda, Bogor.
- Nidom, C. A. 2005. *Analisis molekuler genoma virus avian influenza H5N1 di Indonesia*. Disertasi. UNAIR.

- Old, R. W., Primrose, S. B. 1989. *Prinsip-prinsip Manipulasi gen: Pengantar Rekayasa Genetik*. Edisi Keempat. Blackwell Scientific Publications.
- Rengganis, I. 2006. *Perlukah Imunisasi Dewasa?* Cermin Dunia Kedokteran. 152:19-22.
- Roeslan, B. O. 2002. *Imunologi Oral: Kelainan di dalam Rongga Mulut*. Fakultas Kedokteran Universitas Indonesia. Jakarta.
- Scholtissek, C., Rohde, W., Hoyningen V. V., Rott, R. 1978. *On the Origin of the Humanvirus Subtype H2N2 and H3N2*., Virology 87;13-20.
- Srinivasan, K. N., Zhang, G. L., Khan, A. M., August, J. T., Brusic, V. 2004. *Prediction of class I T-cell epitopes: evidence of presence of immunological hot spots inside antigens*. Bioinformatic i297–i302.
- Tannock, I. F., Hill, R. P. 1998. *The Basic Science of Oncology*. 3rd ed., McGraw-Hill.
- Toapanta, F. R. 2006. *Immune Enhancement Mechanisms by the Complement Protein C3d*. Dissertation. University of Pittsburgh.
- Tompkins et al. 2007. *Matrix Protein 2 Vaccination and Protection against Influenza Viruses, Including Subtype H5N1*. University of Georgia, Athens, Georgia, USA.
- Ulmer, J. B., 2006. *Novel Vaccines: Bridging Research, Development and Production-CHI's Inaugural Conference*. Drugs, 9(10).
- Utama, A., 2003. *Peranan Bioinformatika Dalam Dunia Kedokteran*. IlmuKomputer.com.

Vladimir, B., Petrovsky, N., Zhang, G. L., Vladimir, B. B. 2002. *Prediction of promiscuous peptides that bind HLA class I molecules. Immunology and Cell Biology* 80, 280–285.

Vurfe, W. K, David, S., Gorden, H. O, Craig H. 2004. *Life - The Science of Biology*. Seventh Edition. W H Freeman Enco.

Wagner et al. 2001. *Virus Influenza*. J. Virol., 75; 9282–6.

Wahren, B., Liu, M. 2005. *DNA Vaccine-An Overview*. Wiley-VCH Verlag GmbH and Co. KGaA, Weinheim.

Yuwono, T. 2005. *Biologi Molekular*. Penerbit Erlangga. Jakarta.

Zhang, G.L., A. M. Khan, K. N. Srinivasan, J.T. Angust, V. Brusic. 2005. *MULTIPRED: a computational system for prediction of promiscuous HLA binding peptides*. Nuc. Acids Res.

Zhang Qiang-Zhe, Qin X-Ming, Dong Hai-Li, Liang Rong, He Hong-Xuan, Li Xi, Jiang Bei-Yu, Liu Xiang-Jun, Duan Ming-Xing. 2005. *Efficient Protection of H5N1 Influenza Virus DNA Vaccine Delivering by Electroporation in Mammalian and Avian System*. Prog. Biochem. Biophysy 32(8):726-733.

<http://en.wikipedia.org/wiki/H5N1.htm>, diakses 5 November 2007, 20:40 WIB.

www.niaid.nih.gov, diakses 5 November 2007, 20:55 WIB.

<http://www.who.int>, diakses 18 November 2007, 06:00 WIB.

<http://www3.niaid.nih.gov/>, diakses 18 November 2007, 06:13 WIB.

<http://www.accessexcellence.org/RC/VL/GG/influenza.html>, diakses 18

November 2007, 11:42 WIB.

<http://www.uq.edu.au/VDUInfluenza.htm>, diakses 18 November 2007,

11:56 WIB.

<http://users.rcn.com/jkimball.ma.ultranet/BiologyPages/T/Translation.html>,

diakses 1 Februari 2008, 09:12 WIB.

<http://bima.ipb.ac.id/~tpb-ipb/materi/genetika/dnarekombinan.html>, diakses

1 Februari 2008, 10:17 WIB.

<http://www.clontech.com>, diakses 1 Februari 2008, 10:33 WIB.

<http://www.biologycorner.com/bio3/notes-immunology.html>, diakses 1

Februari 2008, 10:23 WIB.

<http://www.ust.hk/roundtable/hi-tech.series/1-b.html>, diakses 1 Februari

2008, 10:37 WIB.

http://www.nobelprize.org/educational_games/medicinal/dna/a/translation/e

<longation.html>, diakses 2 Februari 2008, 09:37 WIB.

http://www.burung.org/detail_txt.php?op=news&id=106, diakses 22

Februari 2008, 14:13 WIB.

Lampiran 1. Informasi Genetik Virus H5N1 *Hemagglutinin* dalam Format GBFF

```
1: hemagglutinin [In...[gi:124098927]
LOCUS ABM90478 552 aa linear VRL 24-JAN-2007
DEFINITION hemagglutinin [Influenza A virus (A/Indonesia/CDC1032/2007(H5N1))].
ACCESSION ABM90478
VERSION ABM90478.1 GI:124098927
DBSOURCE accession CY019384.1
KEYWORDS .
SOURCE Influenza A virus (A/Indonesia/CDC1032/2007(H5N1))
ORGANISM Influenza A virus \(A/Indonesia/CDC1032/2007\(H5N1\)\)
Viruses; ssRNA negative-strand viruses; Orthomyxoviridae;
Influenzavirus A.
REFERENCE 1 (residues 1 to 552)
AUTHORS Balish,A., Deyde,V., Garten,R., Lindstrom,S., Shu,B., Smith,C.,
Smith,E. and Xu,X.
TITLE Avian Influenza Associated with Outbreaks in Indonesia
JOURNAL Unpublished
REFERENCE 2 (residues 1 to 552)
AUTHORS Balish,A., Deyde,V., Garten,R., Lindstrom,S., Shu,B., Smith,C.,
Smith,E. and Xu,X.
TITLE Direct Submission
JOURNAL Submitted (24-JAN-2007) WHO Collaborating Center for Surveillance,
Epidemiology and Control of Influenza, Influenza Branch, Centers
for Disease Control and Prevention, 1600 Clifton Road NE, Atlanta,
GA 30333, USA
COMMENT Method: conceptual translation.
FEATURES Location/Qualifiers
source 1..552
/organism="Influenza A virus
(A/Indonesia/CDC1032/2007(H5N1))"
/strain="A/Indonesia/CDC1032/2007"
/serotype="H5N1"
/isolation_source="gender:F; age:37; Throat Swab"
/specific_host="Human"
/db_xref="taxon:421471"
/segment="4"
/lab_host="El passage(s)"
/country="Indonesia"
/collection_date="6-Jan-2007"
Protein <1..552
/product="hemagglutinin"
/function="receptor binding and fusion protein"
Region 3..552
/region_name="Hemagglutinin"
/note="Hemagglutinin. Hemagglutinin from influenza virus
causes membrane fusion of the viral membrane with the host
membrane. Fusion occurs after the host cell internalises
the virus by endocytosis; pfam00509"
/CDS /db_xref="CDD:64376"
1..552
/gene="HA"
/coded_by="CY019384.1:<1..1659"
ORIGIN
1 dgcicyhan nsteqvdtim eknvtvthaq dilekthngk lclddgkvpl ilrdcsvagw
61 llgnpmcdef invpewsyiv ekanptndlc ypgsfndyee lkhllsrinh fekiqiipks
121 swsdheassg vssacpylgs psffrnvvwl yqnpttyisi gtstlnqrly pkiatrskvn gqsgrmeffw tilkpndain
181 pnneeqtrt yqnpttyisi gtstlnqrly pkiatrskvn gqsgrmeffw tilkpndain
241 fesngnfiap eyaykivkg dsaimksele ysncntkcqt pmgainssmp fhnihpltg
301 ecckyvkssr lqlatglrns pqresrrkkr glfgaiagfi eggwqgmvdg wygyhhsneq
361 gsgyaadkes tqkaidgvtn kvnsiidkmn tqfeavgref nnlerriien nkkmedgfld
421 vwtynaellv lmenertldf hdsnvknlyd kvrlqlrdna kelngngcfef yhkcdnecme
481 sirngtynyp qyseearlkr eeisgvkles igtqyqilsiy stvasslala imiaglslw
541 csnqslqcri ci
```

Lampiran 2. Daftar Kode Dua Puluh Asam Amino

No	Kode satu huruf	Kode tiga huruf	Nama
1	A	Ala	Alanin
2	R	Arg	Arginin
3	N	Asn	Aspargin
4	D	Asp	Asam aspartat
5	C	Cys	Sistein
7	Q	Gln	Glutamin
6	E	Glu	Asam glutamat
8	G	Gly	Glisin
9	H	His	Histidin
10	I	Ile	Isoleusin
11	L	Leu	Leusin
12	K	Lys	Lisin
13	M	Met	Metionin
14	F	Phe	Fenilalanin
15	P	Pro	Prolin
16	S	Ser	Serin
17	T	The	Treonin
18	W	Trp	Triptofan
19	Y	Tyr	Tirosin
20	V	Val	Valin

Lampiran 3. Sekuens Asam Amino H5N1 *Hemagglutinin (HA), Neuraminidase (NA), dan matrik 2 (M2) host human dalam Format FASTA*

Hemagglutinin (HA)

```
>gi|157955586|gb|ABW06200| /Human/4(HA)/H5N1/Indonesia/2006/05/10/ hemagglutinin [Influenza A virus (A/Indonesia/535H/2006(H5N1))]  
MEKIVLLLATSLVKSDQICIGYHANNSTEQVDTIMEKNVTVTHAQDILEKTHNGKLCDLDGVKPLILRD  
CSVAGWLLGNPMCDEFINVPEWSYIIVEKANPANGLCYPGNFNDYEELKHLLSRINHFEKIQIIPKSSWSD  
HEASLGVSSACPYLGRSSFFRNVVWLICKNNSTYPTIKRSYNNNTNQEDLLVLWGIHHPNDAAEQTRLYQNP  
TTYISVGTTSLNQRQLVPKIATRSKVNGQSGRMEFFWILKPNDAINFESNGNFIAPHEYAYKIVKKGDSAI  
MKSELEYGDCNTKCQTPMGAINSSMPFHNIHPLTIGECPKYVKSNRVLATGLRNSPQRERRRKRGFLFG  
AIAGFIEGGWQGMVGDWYGYHHSNEQGSGYAADKESTQKAIDGVTNKVNIIIDKMNTQFEAVGREFNNLE  
RRIENLNKKMEDGFLDVWTYNAELLVLMENERTLDFHDSDNVKNLYDKVRLQLRDNAKELGNGCFEFYHKC  
DNECMESIRNGTYNYPQYSEEARLKREEISGVKLESIGTYQILSIYSTVASSLALAIMMAGLSLWMCSNG  
SLQCRVC  
>gi|145284450|gb|ABP51969| /Human/4(HA)/H5N1/Indonesia/2005/// hemagglutinin [Influenza A virus (A/Indonesia/5/05(H5N1))]  
MEKIVLLAIVSLVKSDQICIGYHANNSTEQVDTIMEKNVTVTHAQDILEKTHNGKLCDLDGVKPLILRD  
CSVAGWLLGNPMCDEFINVPEWSYIIVEKANPTNDLCYPGSFNDYEELKHLLSRINHFEKIQIIPKSSWSD  
HEASSGVSSACPYLGSPSFFRNVVWLICKNNSTYPTIKSYNNNTNQEDLLVLWGIHHPNDAAEQTRLYQNP  
TTYISIGTSTLNQRQLVPKIATRSKVNGQSGRMEFFWILKPNDAINFESNGNFIAPHEYAYKIVKKGDSAI  
MKSELEYGNCNTKCQTPMGAINSSMPFHNIHPLTIGECPKYVKSNRVLATGLRNSPQRRESRRRKRGFLFG  
AIAGFIEGGWQGMVGDWYGYHHSNEQGSGYAADKESTQKAIDGVTNKVNIIIDKMNTQFEAVGREFNNLE  
RRIENLNKKMEDGFLDVWTYNAELLVLMENERTLDFHDSDNVKNLYDKVRLQLRDNAKELGNGCFEFYHKC  
DNECMESIRNGTYNYPQYSEEARLKREEISGVKLESIGTYQILSIYSTVASSLALAIMMAGLSLWMCSNG  
SLQRCICI  
>gi|157955881|gb|ABW06367| /Human/4(HA)/H5N1/Indonesia/2005/// hemagglutinin [Influenza A virus (A/Indonesia/7/2005(H5N1))]  
MEKIMLLAIVSLVKSDQICIGYHANNSTEQVDTIMEKNVTVTHAQDILEKTHNGKLCDLDGVKPLILRD  
CSVAGWLLGNPMCDEFINVPEWSYIIVEKANPTNDLCYPGSFNDYEELKHLLSRINHFEKIQIIPKSSWSD  
HEASSGVSSACPYLGSSSFFRNVVWLICKNNSTYPTIKSYNNNTNQEDLLVLWGIHHPNDAAEQTRLYQNP  
TTYISIGTSTLNQRQLVPKIATRSKVNGQSGRMEFFWILKPNDAINFESNGNFIAPHEYAYKIVKKGDSAI  
MKSELEYGNCNTKCQTPMGAINSSMPFHNIHPLTIGECPKYVKSNRVLATGLRNSPQRRESRRRKRGFLFG  
AIAGFIEGGWQGMVGDWYGYHHSNEQGSGYAADKESTQKAIDGVTNKVNIIIDKMNTQFEAVGREFNNLE  
RRIENLNKKMEDGFLDVWTYNAELLVLMENERTLDFHDSDNVKNLYDKVRLQLRDNAKELGNGCFEFYHKC  
DNECIESIRNGTYNYPQYSEEARLKREEISGVKLESIGTYQILSIYSTVASSLALAIMMAGLSLWMCSNG  
SLQRCICI  
>gi|118864330|gb|ABI49415| /Human/4(HA)/H5N1/Indonesia/2006/// hemagglutinin [Influenza A virus (A/Indonesia/CDC759/2006(H5N1))]  
MEKIVLLLAIISLVKSDQICIGYHANNSTEQVDTIMEKNVTVTHAQDILEKTHNGKLCDLDGVKPLILRD  
CSVAGWLLGNPMCDEFINVPEWSYIIVEKANPTNDLCYPGSFNDYEELKHLLSRINHFEKIQIIPKSSWSD  
HEASSGVSSACPYLGSPSFFRNVVWLICKNNSTYPTIKSYNNNTNQEDLLVLWGIHHPNDAAEQTLYQNP  
TTYISIGTSTLNQRQLVPKIATRSKVNGQSGRMEFFWILKPNDAINFESNGNFIAPHEYAYKIVKKGDSAI  
MKSELEYGNCNTKCQTPMGAINSSMPFHNIHPLTIGECPKYVKSNRVLATGLRNSPQRRESRRRKRGFLFG  
AIAGFIEGGWQGMVGDWYGYHHSNEQGSGYAADKESTQKAIDGVTNKVNIIIDKMNTQFEAVGREFNNLE  
RRIENLNKKMEDGFLDVWTYNAELLVLMENERTLDFHDSDNVKNLYDKVRLQLRDNAKELGNGCFEFYHKC  
DNECMESIRNGTYNYPQYSEEARLKREEISGVKLESIGTYQILSIYSTVASSLALAIMMAGLSLWMCSNG  
SLQRCICI  
>gi|158604860|gb|ABW74701| /Human/4(HA)/H5N1/Indonesia/2006/// hemagglutinin [Influenza A virus (A/Indonesia/TLL001/2006(H5N1))]  
MEKIVLLLAIISLVKSDQICIGYHANNSTEQVDTIMEKNVTVTHAQDILEKTHNGKLCDLDGVKPLILRD  
CSVAGWLLGNPMCDEFINVPEWSYIIVEKANPTNDLCYPGSFNDYEELKHLLSRINHFEKIQIIPKSSWSD  
HEASSGVSSACPYLGSSSFFRNVVWLICKNNSTYPTIKSYNNNTNQEDLLVLWGIHHPNDAAEQTLYQNP  
TTYISIGTSTLNQRQLVPKIATRSKVNGQSGRMEFFWILKPNDAINFESNGNFIAPHEYAYKIVKKGDSAI  
MKSELEYGNCNTKCQTPMGAINSSMPFHNIHPLTIGECPKYVKSNRVLATGLRNSPQRRESRRRKRGFLFG  
AIAGFIEGGWQGMVGDWYGYHHSNEQGSGYAADKESTQKAIDGVTNKVNIIIDKMNTQFEAVGREFNNLE  
RRIENLNKKMEDGFLDVWTYNAELLVLMENERTLDFHDSDNVKNLYDKVRLQLRDNAKELGNGCFEFYHKC  
DNECIESIRNGTYNYPQYSEEARLKREEISGVKLESIGTYQILSIYSTVASSLALAIMMAGLSLWMCSNG
```

SLQCRICI

>gi|158604862|gb|ABW74702| /Human/4(HA)/H5N1/Indonesia/2006/// hemagglutinin [Influenza A virus (A/Indonesia/TLL002/2006(H5N1))]
MEKIVLLAIVSLVKSDQCIGYHANNSTEQVDTIMEKNVTVTHAQDILEKTHNGKLCDDGVKPLILRD
CSVAGWLLGNPMCDEFINVPEWSYIVEKANPTNDLCYPGSFNDYEELKHLLSRINHFEKIQIIPKSSWSD
HEASSGVSSACPYLGSSSFRNVVWLIKKNSTYPTIKSYNNTNQEDLLVLWGIHHPNDAAEQTRLYQNP
TTYISIGTSTLNQRLOPKIATRSKVNQSGRMEFFWTILKPNDAINFESNGNFIAPYAYKIVKKGDSAI
MKSELEYGNCNTKCQTPMGAINSSMPFHNIHPLTIGECPKYVKSNRVLATGLRNSPQRESRRKKRGLFG
AIAGFIEGGWQGMVDGWYGYHHSNEQGSGYAADKESTQKAIDGVTNKVNSIIDKMNTQFEAVGREFNNLE
RRIENLNKKMEDGFLDVWTYNAELLVLMENERTLDFHDSNVKNLYDKVRLQLRDNAKELGNGCFEFYHCK
DNECMESIRNGTYNPQYSEEARLKREEISGVKLESIGTYQILSIYSTVASSLALAIMAGLSLWMCSNG
SLQCRICI

>gi|158604864|gb|ABW74703| /Human/4(HA)/H5N1/Indonesia/2006/// hemagglutinin [Influenza A virus (A/Indonesia/TLL003/2006(H5N1))]
MEKIVLLAIVSLVKSDQCIGYHANNSTEQVDTIMEKNVTVTHAQDILEKTHNGKLCDDGVKPLILKD
CSVAGWLLGNPMCDEFINVPEWSYIVEKANPTNDLCYPGSFNDYEELKHLLSRINHFEKIQIIPKSSWSD
HEASSGVSSACPYLGSPSFRNVVWLIKKNSTYPTIKSYNNTNQEDLLVLWGIHHPNDAAEQTRLYQNP
TTYISIGTSTLNQRLOPKIATRSKVNQSGRMEFFWTILKPNDAINFESNGNFIAPYAYKIVKKGDSAI
MKSELEYGNCNTKCQTPMGAINSSMPFHNIHPLTIGECPKYVKSNRVLATGLRNSPQRESRRKKRGLFG
AIAGFIEGGWQGMVDGWYGYHHSNEQGSGYAADKESTQKAIDGVTNKVNSIIDKMNTQFEAVGREFNSLE
RRIENLNKKMEDGFLDVWTYNAELLVLMENERTLDFHDSNVKNLYDKVRLQLRDNAKELGNGCFEFYHCK
DNECMESIRNGTYNPQYSEEARLKREEISGVKLESIGTYQILSIYSTVASSLALAIMAGLSLWMCSNG
SLQCRICI

>gi|158604866|gb|ABW74704| /Human/4(HA)/H5N1/Indonesia/2006/// hemagglutinin [Influenza A virus (A/Indonesia/TLL004/2006(H5N1))]
MEKIVLLAIVSLVKSDQCIGYHANNSTEQVDTIMEKNVTVTHAQDILEKTHNGKLCDDGVKPLILRD
CSVAGWLLGNPMCDEFINVPEWSYIVEKANPTNDLCYPGSFNDYEELKHLLSRINHFEKIQIIPKSSWSD
HEASSGVSSACPYLGSPSFRNVVWLIKKNSTYPTIKSYNNTNQEDLLVLWGIHHPNDAAEQTRLYQNP
TTYISIGTSTLNQRLOPKIATRSKVNQSGRMEFFWTILKPNDAINFESNGNFIAPYAYKIVKKGDSAI
MKSELEYGNCNTKCQTPMGAINSSMPFHNIHPLTIGECPKYVKSNRVLATGLRNSPQRESRRKKRGLFG
AIAGFIEGGWQGMVDGWYGYHHSNEQGSGYAADKESTQKAIDGVTNKVNSIIDKMNTQFEAVGREFNNLE
RRIENLNKKMEDGFLDVWTYNAELLVLMENERTLDFHDSNVKNLYDKVRLQLRDNAKELGNGCFEFYHCK
DNECMESIRNGTYNPQYSEEARLKREEISGVKLESIGTYQILSIYSTVASSLALAIMAGLSLWMCSNG
SLQCRICI

>gi|158604868|gb|ABW74705| /Human/4(HA)/H5N1/Indonesia/2006/// hemagglutinin [Influenza A virus (A/Indonesia/TLL005/2006(H5N1))]
MEKIVLLAIVSLVKSDQCIGYHANNSTEQVDTIMEKNVTVTHAQDILEKTHNGKLCDDGVKPLILRD
CSVAGWLLGNPMCDEFINVPEWSYIVEKANPTNDLCYPGSFNDYEELKHLLSRINHFEKIQIIPKSSWSD
HEASSGVSSACPYLGSPSFRNVVWLIKKNSTYPTIKSYNNTNQEDLLVLWGIHHPNDAAEQTRLYQNP
TTYISIGTSTLNQRLOPKIATRSKVNQSGRMEFFWTILKPNDAINFESNGNFIAPYAYKIVKKGDSAI
MKSELEYGNCNTKCQTPMGAINSSMPFHNIHPLTIGECPKYVKSNRVLATGLRNSPQRESRRKKRGLFG
AIAGFIEGGWQGMVDGWYGYHHSNEQGSGYAADKESTQKAIDGVTNKVNSIIDKMNTQFEAVGREFNNLE
RRIENLNKKMEDGFLDVWTYNAELLVLMENERTLDFHDSNVKNLYDKVRLQLRDNAKELGNGCFEFYHCK
DNECMESIRNGTYNPQYSEEARLKREEISGVKLESIGTYQILSIYSTVASSLALAIMAGLSLWMCSNG
SLQCRICI

>gi|158604870|gb|ABW74706| /Human/4(HA)/H5N1/Indonesia/2006/// hemagglutinin [Influenza A virus (A/Indonesia/TLL006/2006(H5N1))]
MEKIVLLAIVSLVKSDQCIGYHANNSTEQVDTIMEKNVTVTHAQDILEKTHNGKLCDDGVKPLILRD
CSVAGWLLGNPMCDEFINVPEWSYIVEKANPTNDLCYPGSFNDYEELKHLLSRINHFEKIQIIPKSSWSD
HEASSGVSSACPYLGSPSFRNVVWLIKKNSTYPTIKSYNNTNQEDLLVLWGIHHPNDAAEQTRLYQNP
TTYISIGTSTLNQRLOPKIATRSKVNQSGRMEFFWTILKPNDAINFESNGNFIAPYAYKIVKKGDSAI
MKSELEYGNCNTKCQTPMGAINSSMPFHNIHPLTIGECPKYVKSNRVLATGLRNSPQRESRRKKRGLFG
AIAGFIEGGWQGMVDGWYGYHHSNEQGSGYAADKESTQKAIDGVTNKVNSIIDKMNTQFEAVGREFNNLE
RRIENLNKKMEDGFLDVWTYNAELLVLMENERTLDFHDSNVKNLYDKVRLQLRDNAKELGNGCFEFYHCK
DNECMESIRNGTYNPQYSEEARLKREEISGVKLESIGTYQILSIYSTVASSLALAIMAGLSLWMCSNG
SLQCRICI

>gi|158604872|gb|ABW74707| /Human/4(HA)/H5N1/Indonesia/2006/// hemagglutinin [Influenza A virus (A/Indonesia/TLL007/2006(H5N1))]
MEKIVLLAIVSLVKSDQCIGYHANNSTEQVDTIMEKNVTVTHAQDILEKTHNGKLCDDGVKPLILRD
CSVAGWLLGNPMCDEFINVPEWSYIVEKANPTNDLCYPGSFNDYEELKHLLSRINHFEKIQIIPKSSWSD
HEASSGVSSACPYLGSPSFRNVVWLIKKNSTYPTIKSYNNTNQEDLLVLWGIHHPNDAAEQTRLYQNP
TTYISIGTSTLNQRLOPKIATRSKVNQSGRMEFFWTILKPNDAINFESNGNFIAPYAYKIVKKGDSAI
MKSELEYGNCNTKCQTPMGAINSSMPFHNIHPLTIGECPKYVKSNRVLATGLRNSPQRESRRKKRGLFG
AIAGFIEGGWQGMVDGWYGYHHSNEQGSGYAADKESTQKAIDGVTNKVNSIIDKMNTQFEAVGREFNNLE
RRIENLNKKMEDGFLDVWTYNAELLVLMENERTLDFHDSNVKNLYDKVRLQLRDNAKELGNGCFEFYHCK
DNECMESIRNGTYNPQYSEEARLKREEISGVKLESIGTYQILSIYSTVASSLALAIMAGLSLWMCSNG
SLQCRICI

>gi|158604874|gb|ABW74708| /Human/4(HA)/H5N1/Indonesia/2006// hemagglutinin [Influenza A virus (A/Indonesia/TLL008/2006(H5N1))]
MEKIVLLAIVSLVKSDQICIGYHANNSTEQVDTIMEKNVTVTHAQDILEKTHNGKLCDLDGVKPLILRD
CSVAGWLLGNPMCDEFINVPEWSYIVEKANPTNDLCYPGSFNDYEELKHLLSRINHFEKIQIIPKSSWSD
HEASSGVSSACPYLGSPSFFRNVWLICKNSTYPTIKSYNNTNQEDLLVLWGIHHPNDAEQTRLYQNP
TTYISIGTSTLNQRLVPKIATRSKVNQSGRMEFFWTILKPNDAINFESNGNFIPEYAYKIVKKGDSAI
MKSELEYGNCNTKCQTPMGAINTSSMPFHNIHPLTIGECPKYVKSNRVLATGLRNSPQRESRRKKRGLFG
AIAGFIEGGWQGMVGDWYGYHHSNEQGSGYAADKESTQKAIDGVTNKVNSIIDKMNTQFEAVGREFNNLE
RRIENLNKKMEDGFLDVWVTPNAELLVMENERTLDFHDSNVKNLYDKVRLQLRDNAKELGNGCFEFYHCK
DNECMESIRNGTYNYPQYSEEARLKREEISGVKLESIGTYQILSIYSTVASSLALAIMAGLSLWMCSNG
SLQRCICI
>gi|158604876|gb|ABW74709| /Human/4(HA)/H5N1/Indonesia/2006// hemagglutinin [Influenza A virus (A/Indonesia/TLL009/2006(H5N1))]
MEKIVLLAIVSLVKSDQICIGYHANNSTEQVDTIMEKNVTVTHAQDILEKTHNGKLCDLDGVKPLILKD
CSVAGWLLGNPMCDEFINVPEWSYIVEKANPTNDLCYPGSFNDYEELKHLLSRINHFEKIQIIPKSSWSD
HEASSGVSSACPYLGSPSFFRNVWLICKNSTYPTIKSYNNTNQEDLLVLWGIHHPNDAEQTRLYQNP
TTYISIGTSTLNQRLVPKIATRSKVNQSGRMEFFWTILKPNDAINFESNGNFIPEYAYKIVKKGDSAI
MKSELEYGNCNTKCQTPMGAINTSSMPFHNIHPLTIGECPKYVKSNRVLATGLRNSPQRESRRKKRGLFG
AIAGFIEGGWQGMVGDWYGYHHSNEQGSGYAADKESTQKAIDGVTNKVNSIIDKMNTQFEAVGREFNNLE
RRIENLNKKMEDGFLDVWVTPNAELLVMENERTLDFHDSNVKNLYDKVRLQLRDNAKELGNGCFEFYHCK
DNECMESIRNGTYNYPQYSEEARLKREEISGVKLESIGTYQILSIYSTVASSLALAIMAGLSLWMCSNG
SLQRCICI
>gi|158604878|gb|ABW74710| /Human/4(HA)/H5N1/Indonesia/2006// hemagglutinin [Influenza A virus (A/Indonesia/TLL010/2006(H5N1))]
MEKIVLLAIVSLVKSDQICIGYHANNSTEQVDTIMEKNVTVTHAQDILEKTHNGKLCDLDGVKPLILRD
CSVAGWLLGNPMCDEFINVPEWSYIVEKANPTNDLCYPGSFNDYEELKHLLSRINHFEKIQIIPKSSWSD
HEASSGVSSACPYLGSPSFFRNVWLICKNSTYPTIKSYNNTNQEDLLVLWGIHHPNDAEQTRLYQNP
TTYISIGTSTLNQRLVPKIATRSKVNQSGRMEFFWTILKPNDAINFESNGNFIPEYAYKIVKKGDSAI
MKSELEYGNCNTKCQTPMGAINTSSMPFHNIHPLTIGECPKYVKSNRVLATGLRNSPQRESRRKKRGLFG
AIAGFIEGGWQGMVGDWYGYHHSNEQGSGYAADKESTQKAIDGVTNKVNSIIDKMNTQFEAVGREFNNLE
RRIENLNKKMEDGFLDVWVTPNAELLVMENERTLDFHDSNVKNLYDKVRLQLRDNAKELGNGCFEFYHCK
DNECMESIRNGTYNYPQYSEEARLKREEISGVKLESIGTYQILSIYSTVASSLALAIMAGLSLWMCSNG
SLQRCICI
>gi|158604880|gb|ABW74711| /Human/4(HA)/H5N1/Indonesia/2006// hemagglutinin [Influenza A virus (A/Indonesia/TLL011/2006(H5N1))]
MEKIVLLAIVSLVKSDQICIGYHANNSTEQVDTIMEKNVTVTHAQDILEKTHNGKLCDLDGVKPLILRD
CSVAGWLLGNPMCDEFINVPEWSYIVEKANPTNDLCYPGSFNDYEELKHLLSRINHFEKIQIIPKSSWSD
HEASSGVSSACPYLGSPSFFRNVWLICKNSTYPTIKSYNNTNQEDLLVLWGIHHPNDAEQTRLYQNP
TTYISIGTSTLNQRLVPKIATRSKVNQSGRMEFFWTILKPNDAINFESNGNFIPEYAYKIVKKGDSAI
MKSELEYGNCNTKCQTPMGAINTSSMPFHNIHPLTIGECPKYVKSNRVLATGLRNSPQRESRRKKRGLFG
AIAGFIEGGWQGMVGDWYGYHHSNEQGSGYAADKESTQKAIDGVTNKVNSIIDKMNTQFEAVGREFNNLE
RRIENLNKKMEDGFLDVWVTPNAELLVMENERTLDFHDSNVKNLYDKVRLQLRDNAKELGNGCFEFYHCK
DNECMESIRNGTYNYPQYSEEARLKREEISGVKLESIGTYQILSIYSTVASSLALAIMAGLSLWMCSNG
SLQRCICI
>gi|158604882|gb|ABW74712| /Human/4(HA)/H5N1/Indonesia/2006// hemagglutinin [Influenza A virus (A/Indonesia/TLL012/2006(H5N1))]
MEKIVLLSIVSLVKSDQICIGYHANNSTEQVDTIMEKNVTVTHAQDILEKTHNGKLCDLDGVKPLILRD
CSVAGWLLGNPMCDEFINVPEWSYIVEKANPTNDLCYPGSFNDYEELKHLLSRINHFEKIQIIPKSSWSD
HEASSGVSSACPYLGSPSFFRNVWLICKNSTYPTIKSYNNTNQEDLLVLWGIHHPNNEEEQTRLYQNP
TTYISIGTSTLNQRLVPKIATRSKVNQSGRMEFFWTILKPNDAINFESNGNFIPEYAYKIVKKGDSAI
MKSELEYNSNCNTKCQTPMGAINTSSMPFHNIHPLTIGECPKYVKSNSRLVATGLRNSPQRESRRKKRGLFG
AIAGFIEGGWQGMVGDWYGYHHSNEQGSGYAADKESTQKAIDGVTNKVNSIIDKMNTQFEAVGREFNNLE
RRIENLNKKMEDGFLDVWVTPNAELLVMENERTLDFHDSNVKNLYDKVRLQLRDNAKELGNGCFEFYHCK
DNECMESIRNGTYNYPQYSEEARLKREEISGVKLESIGTYQILSIYSTVASSLALAIMAGLSLWMCSNG
SLQRCICI
>gi|157955770|gb|ABW06304| /Human/4(HA)/H5N1/Indonesia/2006/01/14/ hemagglutinin [Influenza A virus (A/Indonesia/283H/2006(H5N1))]
MEKIVLLAIVSLVKSDQICIGYHANNSTEQVDTIMEKNVTVTHAQDILEKTHNGKLCDLDGVKPLILRD
CSVAGWLLGNPMCDEFINVPEWSYIVEKANPTNDLCYPGSFNDYEELKHLLSRINHFEKIQIIPKSSWSD
HEASSGVSSACPYLGSPSFFRNVWLICKNSTYPTIKSYNNTNQEDLLVLWGIHHPNDAEQTRLYQNP
TTYISIGTSTLNQRLVPKIATRSKVNQSGRMEFFWTILNPNDAINFESNGNFIPEYAYKIVKKGDSAI
MKSELEYGNCNTKCQTPMGAINTSSMPFHNIHPLTIGECPKYVKSNRVLATGLRNSPQRESRRKKRGLFG
AIAGFIEGGWQGMVGDWYGYHHSNEQGSGYAADKESTQKAIDGVTNKVNSIIDKMNTQFEAVGREFNNLE
RRIENLNKKMEDGFLDVWVTPNAELLVMENERTLDFHDSNVKNLYDKVRLQLRDNAKELGNGCFEFYHCK
DNECMESIRNGTYNYPQYSEEARLKREEISGVKLESIGTYQILSIYSTVASSLALAIMAGLSLWMCSNG
SLQRCICI

>gi|157955753|gb|ABW06295| /Human/4(HA)/H5N1/Indonesia/2006/01/14/ hemagglutinin [Influenza A virus (A/Indonesia/286H/2006(H5N1))]
MEKIVLLAIVSLVKSQDQCIGYHANNSTEQVDTIMEKNVTVTHAQDILEKTHNGKLCLLDGVKPLIILRD
CSVAGWLLGNPMCMDEFINVPEWSYIVEKANPTNDLCYPGSFNDYEELKHLLSRINHFEKIQIIPKSSWSD
HEASSGVSSACPYLGSPSFFRNVVLIKKNSTYPTIKSYNNTNQEDLLVLWGIHHPNDAAEQTRLYQNP
TTYISIGTSTLNQRLVPKIATRSKVNQSGRMEFFWTILNPNDAINFESNGNFIAPEYAYKIVKKGDSAI
MKSELEYGNCNTKCQTPMGAINSSMPFHNIHPLTIGECPKYVKSNRVLATGLRNSPQRERKKRGLFG
AIAGFIEGGWQGMVDPGWGYHHSNEQGSGYAADKESTQKAIDGVTNKVNSIIDKMNTQFEAVGREFNNLE
RRRIENLNKKMEDGFLDVWVNAELLVLMENERTLDFHDSNVKNLYDKVRLQLRDNAKELGNGCFEFYHCK
DNECMESIRNGTYNYPQYSEEARLKREEISGVKLESIGTYQILSIYSTVASSLALAIMAGLSLWMCSNG
SLQCRICI
>gi|113496047|gb|ABI36198| /Human/4(HA)/H5N1/Indonesia/2006/03/23/ hemagglutinin [Influenza A virus (A/Indonesia/CDC523/2006(H5N1))]
MEKIVLLAIVSLVKSQDQCIGYHANNSTEQVDTIMEKNVTVTHAQDILEKTHNGKLCLLDGVKPLIILRD
CSVAGWLLGNPMCMDEFINVPEWSYIVEKANPTNDLCYPGSFNDYEELKHLLSRINHFEKIQIIPKSSWSD
HEASSGVSSACPYLGSPSFFRNVVLIKKNSTYPTIKSYNNTNQEDLLVLWGIHHPNDAAEQTRLYQNP
TTYISIGTSTLNQRLVPKIATRSKVNQSGRMEFFWTILKPNDAINFESNGNFIAPEYAYKIVKKGDSAI
MKSELEYGNCNTKCQTPMGAINSSMPFHNIHPLTIGECPKYVKSNRVLATGLRNSPQRERKKRGLFG
AIAGFIEGGWQGMVDPGWGYHHSNEQGSGYAADKESTQKAIDGVTNKVNSIIDKMNTQFEAVGREFNNLE
RRRIENLNKKMEDGFLDVWVNAELLVLMENERTLDFHDSNVKNLYDKVRLQLRDNAKELGNGCFEFYHCK
DNECMESIRNGTYNYPQYSEEARLKREEISGVKLESIGTYQILSIYSTVASSLALAIMAGLSLWMCSNG
SLQCRICI
>gi|157955605|gb|ABW06211| /Human/4(HA)/H5N1/Indonesia/2006/05/09/ hemagglutinin [Influenza A virus (A/Indonesia/538H/2006(H5N1))]
MEKIVLLLATVSLVKSQDQCIGYHANNSTEQVDTIMEKNVTVTHAQDILEKTHNGKLCLLDGVKPLIILRD
CSVAGWLLGNPMCMDEFINVPEWSYIVEKANPANGLCYPGNFNDYEELKHLLSRINHFEKLQIIPKSSWSD
HEASLGVSACPYLGGRSSFFRNVVLIKKNSTYPTIKRSYNTNTNQEDLLVLWGIHHPNDAAEQTRLYQNP
TTYISVGTSTLNQRLVPKIATRSKVNQSGRMEFFWTILKPNDAINFESNGNFIAPEYAYKIVKKGDSAI
MKSELEYGDCNTKCQTPMGAINSSMPFHNIHPLTIGECPKYVKSNRVLATGLRNSPQRERRRKRGLFG
AIAGFIEGGWQGMVDPGWGYHHSNEQGSGYAADKESTQKAIDGVTNKVNSIIDKMNTQFEAVGREFNNLE
RRRIENLNKKMEDGFLDVWVNAELLVLMENERTLDFHDSNVKNLYDKVRLQLRDNAKELGNGCFEFYHCK
DNECMESIRNGTYNYPQYSEEARLKREEISGVKLESIGTYQILSIYSTVASSLALAIMAGLSLWMCSNG
SLQCRVICI
>gi|157955531|gb|ABW06169| /Human/4(HA)/H5N1/Indonesia/2006/05/10/ hemagglutinin [Influenza A virus (A/Indonesia/542H/2006(H5N1))]
MEQIVLLAIVSLVKSQDQCIGYHANNSTEQVDTIMEKNVTVTHAQDILEKTHNGKLCLLDGVKPLIILRD
CSVAGWLLGNPMCMDEFINVPEWSYIVEKANPANGLCYPGNFNDYEELKHLLSRINHFEKLQIIPKSSWSD
HEASLGVSACPYLGGRSSFFRNVVLIKKNSTYPTIKRSYNTNTNQEDLLVLWGIHHPNDAAEQTRLYQNP
TTYISIGTSTLNQRLVPKIATRSKVNQSGRMEFFWTILKPNDAINFESNGNFIAPEYAYKIVKKGDSAI
MKSELEYGDCNTKCQTPMGAINSSMPFHNIHPLTIGECPKYVKSNRVLATGLRNSPQRERRRKRGLFG
AIAGFIEGGWQGMVDPGWGYHHSNEQGSGYAADKESTQKAIDGVTNKVNSIIDKMNTQFEAVGREFNNLE
RRRIENLNKKMEDGFLDVWVNAELLVLMENERTLDFHDSNVKNLYDKVRLQLRDNAKELGNGCFEFYHCK
DNECMESIRNGTYNYPQYSEEARLKREEISGVKLESIGTYQILSIYSTVASSLALAIMAGLSLWMCSNG
SLQCRICI
>gi|113495896|gb|ABI36166| /Human/4(HA)/H5N1/Indonesia/2006/05/10/ hemagglutinin [Influenza A virus (A/Indonesia/CDC596/2006(H5N1))]
MEKIVLLLATVSLVKSQDQCIGYHANNSTEQVDTIMEKNVTVTHAQDILEKTHNGKLCLLDGVKPLIILRD
CSVAGWLLGNPMCMDEFINVPEWSYIVEKANPANGLCYPGNFNDYEELKHLLSRINHFEKLQIIPKSSWSD
HEASLGVSACPYLGGRSSFFRNVVLIKKNSTYPTIKRSYNTNTNQEDLLVLWGIHHPNDAAEQTRLYQNP
TTYISVGTSTLNQRLVPKIATRSKVNQSGRMEFFWTILKPNDAINFESNGNFIAPEYAYKIVKKGDSAI
MKSELEYGDCNTKCQTPMGAINSSMPFHNIHPLTIGECPKYVKSNRVLATGLRNSPQRERRRKRGLFG
AIAGFIEGGWQGMVDPGWGYHHSNEQGSGYAADKESTQKAIDGVTNKVNSIIDKMNTQFEAVGREFNNLE
RRRIENLNKKMEDGFLDVWVNAELLVLMENERTLDFHDSNVKNLYDKVRLQLRDNAKELGNGCFEFYHCK
DNECMESIRNGTYNYPQYSEEARLKREEISGVKLESIGTYQILSIYSTVASSLALAIMAGLSLWMCSNG
SLQCRVICI
>gi|113495952|gb|ABI36177| /Human/4(HA)/H5N1/Indonesia/2006/05/10/ hemagglutinin [Influenza A virus (A/Indonesia/CDC597/2006(H5N1))]
MEKIVLLLATVSLVKSQDQCIGYHANNSTEQVDTIMEKNVTVTHAQDILEKTHNGKLCLLDGVKPLIILRD
CSVAGWLLGNPMCMDEFINVPEWSYIVEKANPANGLCYPGNFNDYEELKHLLSRINHFEKLQIIPKSSWSD
HEASLGVSACPYLGGRSSFFRNVVLIKKNSTYPTIKRSYNTNTNQEDLLVLWGIHHPNDAAEQTRLYQNP
TTYISVGTSTLNQRLVPKIATRSKVNQSGRMEFFWTILKPNDAINFESNGNFIAPEYAYKIVKKGDSAI
MKSELEYGDCNTKCQTPMGAINSSMPFHNIHPLTIGECPKYVKSNRVLATGLRNSPQRERRRKRGLFG
AIAGFIEGGWQGMVDPGWGYHHSNEQGSGYAADKESTQKAIDGVTNKVNSIIDKMNTQFEAVGREFNNLE
RRRIENLNKKMEDGFLDVWVNAELLVLMENERTLDFHDSNVKNLYDKVRLQLRDNAKELGNGCFEFYHCK
DNECMESIRNGTYNYPQYSEEARLKREEISGVKLESIGTYQILSIYSTVASSLALAIMAGLSLWMCSNG
SLQCRVICI

>gi|157955496|gb|ABW06150| /Human/4(HA)/H5N1/Indonesia/2006/05/17/ hemagglutinin [Influenza A virus (A/Indonesia/546bH/2006(H5N1))]
MEKIVLLLATSLVKSDQICIGYHANNSTEQVDTIMEKNVTVTHAQDILEKTHNGKLCDLDGVKPLILRD
CSVAGWLLGNPMCDEFINVPEWSYIVEKANPANGLCYPGNFNDYEELKHLLSRINHFEKLQIIPKSSWSD
HEASLGVSSACPYLGRSSFFRNVVWLICKNNNTYPTIKRSYNNTNQEDLLVLWGLIHHPNDAAEQTRLYQNP
TTYISVGSTLNQRLVPKIATRSKVNGQSGRMEFFWILKPNDAINFESNGNFIAPEYAYKIVKKGDSAI
MKSELEYGDCNTKCQTPMGAINTSSMPFHNIHPLTIGECPKYVKSNRVLVATGLRNSPQRERRRKRGFLG
AIAGFIEGGWQGMVGDWYGYHHSNEQGSGYAADKESTQKAIDGVTNKVNSIIDKMNTQFEAVGREFNNLE
RRIENLNKKMEDGFLDVWTYNAELLVMENERTLDFHDSDNVKNLYDKVRLQLRDNAKELGNGCFEFYHCK
DNECMESIRNGTYNYPQYSEEARLKREEISGVKLESIGYQILSIYSTVASSLALAIMMAGLSLWMCSNG
SLQCRVCI
>gi|113497047|gb|ABI36406| /Human/4(HA)/H5N1/Indonesia/2006/05/22/ hemagglutinin [Influenza A virus (A/Indonesia/CDC625L/2006(H5N1))]
MEKIVLLLATSLVKSDQICIGYHANNSTEQVDTIMEKNVTVTHAQDILEKTHNGKLCDLDGVKPLILRD
CSVAGWLLGNPMCDEFINVPEWSYIVEKANPANGLCYPGNFNDYEELKHLLSRINHFEKLQIIPKSSWSD
HEASLGVSSACPYLGRSSFFRNVVWLICKNNNTYPTIKRSYNNTNQEDLLVLWGLIHHPNDAAEQTRLYQNP
TTYISVGSTLNQRLVPKIATRSKVNGQSGRMEFFWILKPNDAINFESNGNFIAPEYAYKIVKKGDSAI
MKSELEYGDCNTKCQTPMGAINTSSMPFHNIHPLTIGECPKYVKSNRVLVATGLRNSPQRERRRKRGFLG
AIAGFIEGGWQGMVGDWYGYHHSNEQGSGYAADKESTQKAIDGVTNKVNSIIDKMNTQFEAVGREFNNLE
RRIENLNKKMEDGFLDVWTYNAELLVMENERTLDFHDSDNVKNLYDKVRLQLRDNAKELGNGCFEFYHCK
DNECMESIRNGTYNYPQYSEEARLKREEISGVKLESIGYQILSIYSTVASSLALAIMMAGLSLWMCSNG
SLQCRVCI
>gi|113495780|gb|ABI36144| /Human/4(HA)/H5N1/Indonesia/2006/05/9/ hemagglutinin [Influenza A virus (A/Indonesia/CDC594/2006(H5N1))]
MEKIVLLLATSLVKSDQICIGYHANNSTEQVDTIMEKNVTVTHAQDILEKTHNGKLCDLDGVKPLILRD
CSVAGWLLGNPMCDEFINVPEWSYIVEKANPANGLCYPGNFNDYEELKHLLSRINHFEKLQIIPKSSWSD
HEASLGVSSACPYLGRSSFFRNVVWLICKNNNTYPTIKRSYNNTNQEDLLVLWGLIHHPNDAAEQTRLYQNP
TTYISVGSTLNQRLVPKIATRSKVNGQSGRMEFFWILKPNDAINFESNGNFIAPEYAYKIVKKGDSAI
MKSELEYGDCNTKCQTPMGAINTSSMPFHNIHPLTIGECPKYVKSNRVLVATGLRNSPQRERRRKRGFLG
AIAGFIEGGWQGMVGDWYGYHHSNEQGSGYAADKESTQKAIDGVTNKVNSIIDKMNTQFEAVGREFNNLE
RRIENLNKKMEDGFLDVWTYNAELLVMENERTLDFHDSDNVKNLYDKVRLQLRDNAKELGNGCFEFYHCK
DNECMESIRNGTYNYPQYSEEARLKREEISGVKLESIGYQILSIYSTVASSLALAIMMAGLSLWMCSNG
SLQCRVCI
>gi|113495837|gb|ABI36155| /Human/4(HA)/H5N1/Indonesia/2006/05/9/ hemagglutinin [Influenza A virus (A/Indonesia/CDC595/2006(H5N1))]
MEKIVLLLATSLVKSDQICIGYHANNSTEQVDTIMEKNVTVTHAQDILEKTHNGKLCDLDGVKPLILRD
CSVAGWLLGNPMCDEFINVPEWSYIVEKANPANGLCYPGNFNDYEELKHLLSRINHFEKLQIIPKSSWSD
HEASLGVSSACPYLGRSSFFRNVVWLICKNNNTYPTIKRSYNNTNQEDLLVLWGLIHHPNDAAEQTRLYQNP
TTYISVGSTLNQRLVPKIATRSKVNGQSGRMEFFWILKPNDAINFESNGNFIAPEYAYKIVKKGDSAI
MKSELEYGDCNTKCQTPMGAINTSSMPFHNIHPLTIGECPKYVKSNRVLVATGLRNSPQRERRRKRGFLG
AIAGFIEGGWQGMVGDWYGYHHSNEQGSGYAADKESTQKAIDGVTNKVNSIIDKMNTQFEAVGREFNNLE
RRIENLNKKMEDGFLDVWTYNAELLVMENERTLDFHDSDNVKNLYDKVRLQLRDNAKELGNGCFEFYHCK
DNECMESIRNGTYNYPQYSEEARLKREEISGVKLESIGYQILSIYSTVASSLALAIMMAGLSLWMCSNG
SLQCRVCI
>gi|113497156|gb|ABI36428| /Human/4(HA)/H5N1/Indonesia/2006/06/13/ hemagglutinin [Influenza A virus (A/Indonesia/CDC669/2006(H5N1))]
MEKIVLLAIVSLVKSDQICIGYHANNSTEQVDTIMEKNVTVTHAQDILEKTHNGKLCDLDGVKPLILRD
CSVAGWLLGNPMCDEFINVPEWSYIVEKANPTNDLCYPGSFNDYEELKHLLSRINHFEKIQIIPKSSWSD
HEASSGVSSACPYLGSPSFFRNVVWLICKNSTYPTIKSYNNTNQEDLLVLWGLIHHPNDAAEQTRLYQNP
TTYISIGTSTLNQRLVPKIATRSKVNGQSGRMEFFWILKPNDAINFESNGNFIAPEYAYKIVKKGDSAI
MKSELEYGNCNTKCQTPMGAINTSSMPFHNIHPLTIGECPKYVKSNRVLVATGLRNSPQRRESRRRKRGFLG
AIAGFIEGGWQGMVGDWYGYHHSNEQGSGYAADKESTQKAIDGVTNKVNSIIDKMNTQFEAVGREFNNLE
RRIENLNKKMEDGFLDVWTYNAELLVMENERTLDFHDSDNVKNLYDKVRLQLRDNAKELGNGCFEFYHCK
DNECMESIRNGTYNYPQYSEEARLKREEISGVKLESIGTYQILSIYSTVASSLALAIMAGLSLWMCSNG
SLQRCICI
>gi|113497215|gb|ABI36439| /Human/4(HA)/H5N1/Indonesia/2006/06/13/ hemagglutinin [Influenza A virus (A/Indonesia/CDC669P/2006(H5N1))]
MEKIVLLAIVSLVKSDQICIGYHANNSTEQVDTIMEKNVTVTHAQDILEKTHNGKLCDLDGVKPLILRD
CSVAGWLLGNPMCDEFINVPEWSYIVEKANPTNDLCYPGSFNDYEELKHLLSRINHFEKIQIIPKSSWSD
HEASSGVSSACPYLGSPSFFRNVVWLICKNSTYPTIKSYNNTNQEDLLVLWGLIHHPNDAAEQTRLYQNP
TTYISIGTSTLNQRLVPKIATRSKVNGQSGRMEFFWILKPNDAINFESNGNFIAPEYAYKIVKKGDSAI
MKSELEYGNCNTKCQTPMGAINTSSMPFHNIHPLTIGECPKYVKSNRVLVATGLRNSPQRRESRRRKRGFLG
AIAGFIEGGWQGMVGDWYGYHHSNEQGSGYAADKESTQKAIDGVTNKVNSIIDKMNTQFEAVGREFNNLE
RRIENLNKKMEDGFLDVWTYNAELLVMENERTLDFHDSDNVKNLYDKVRLQLRDNAKELGNGCFEFYHCK
DNECMESIRNGTYNYPQYSEEARLKREEISGVKLESIGTYQILSIYSTVASSLALAIMAGLSLWMCSNG
SLQRCICI

>gi|113497265|gb|ABI36450| /Human/4(HA)/H5N1/Indonesia/2006/07/6/ hemagglutinin [Influenza A virus (A/Indonesia/CDC699/2006(H5N1))]
MEKIVLLAIVSLVSDQICIGYHANNSTEQVDTIMEKNVTVTHAQDILGKTHNGKLCLLDGVKPLILRD
CSVAGWLLGNPMCMDEFINVPEWSYIVEKANPTNDLCYPGSFNDYEELKHLLSRINHFEKIQIIPKSSWSD
HEASSGVSSACPYLGSPSFFRNVVLIKKNSTYPTIKTSYNTTNQEDLLVLWGIIHHSNDAAEQTRLYQNP
TTYISIGTSTLNQRVPKIAITRSKVNQSGRMEFFWTILKPNDAINFESNGNFIAPEYAYKIVKKGDSAI
MKSELEYGNCTKCQTPMGAINSSMPFHNIHPLTIGECPKYVKSNSRLVLTGLRNSPQRESRRKKRGLFG
AIAGFIEGGWQGMVDPGWYGYHHSNEQGSGYAADKESTQKAIDGVTNKVNSIIDKMNTQFEAVGREFNNLE
RRRIENLNKKMEDGFLDVWVNAELLVLMENERTLDFHDSNVKNLYDKVRLQLRDNAKELGNGCFFYHCK
DNECMESIRNGTYNYPQYSEEARLKREEISGVKLESIGTYQILSIYSTVASSLALAIMAGLSLWMCNSG
SLQCRCI
>gi|118864277|gb|ABI49396| /Human/4(HA)/H5N1/Indonesia/2006/08/5/ hemagglutinin [Influenza A virus (A/Indonesia/CDC739/2006(H5N1))]
MEKIVLLAIVSLVSDQICIGYHANNSTEQVDTIMEKNVTVTHAQDILGKTHNGKLCLLDGVKPLILRD
CSVAGWLLGNPMCMDEFINVPEWSYIVEKANPTNDLCYPGSFNDYEELKHLLSRINHFEKIQIIPKSSWSD
HEASSGVSSACPYLGSPSFFRNVVLIKKNSTYPTIKKSYNTTNQEDLLVLWGIIHHPNDAAEQTRLYQNP
TTYISIGTSTLNQRVPKIAITRSKVNQSGRMEFFWTILKPNDAINFESNGNFIAPEYAYKIVKKGDSAI
MKSELEYGNCTKCQTPMGAINSSMPFHNIHPLTIGECPKYVKSNSRLVLTGLRNSPQRESRRKKRGLFG
AIAGFIEGGWQGMVDPGWYGYHHSNEQGSGYAADKESTQKAIDGVTNKVNSIIDKMNTQFEAVGREFNNLE
RRRIENLNKKMEDGFLDVWVNAELLVLMENERTLDFHDSNVKNLYDKVRLQLRDNAKELGNGCFFYHCK
DNECMESIRNGTYNYPQYSEEARLKREEISGVKLESIGTYQILSIYSTVASSLALAIMAGLSLWMCNSG
SLQCRCI
>gi|118864126|gb|ABL31744| /Human/4(HA)/H5N1/Indonesia/2006/09/22/ hemagglutinin [Influenza A virus (A/Indonesia/CDC835/2006(H5N1))]
MEKIVLLAIVSLVSDQICIGYHANNSTEQVDTIMEKNVTVTHAQDILEKTHNGKLCLLDGVKPLILRD
CSVAGWLLGNPMCMDEFINVPEWSYIVEKANPTNDLCYPGSFNDYEELKHLLSRINHFEKIQIIPKSSWSD
HEASSGVSSACPYLGSPSFFRNVVLIKKNSTYPTIKKSYNTTNQEDLLVLWGIIHHPNDAAEQTRLYQNP
TTYISIGTSTLNQRVPKIAITRSKVNQSGRMEFFWTILKPNDAINFESNGNFIAPEYAYKIVKKGDSAI
MKSELEYGNCTKCQTPMGAINSSMPFHNIHPLTIGECPKYVKSNSRLVLTGLRNSPQRESRRKKRGLFG
AIAGFIEGGWQGMVDPGWYGYHHSNEQGSGYAADKESTQKAIDGVTNKVNSIIDKMNTQFEAVGREFNNLE
RRRIENLNKKMEDGFLDVWVNAELLVLMENERTLDFHDSNVKNLYDKVRLQLRDNAKELGNGCFFYHCK
DNECMESIRNGTYNYPQYSEEARLKREEISGVKLESIGTYQILSIYSTVASSLALAIMAGLSLWMCNSG
SLQCRCI
>gi|118864183|gb|ABL31755| /Human/4(HA)/H5N1/Indonesia/2006/09/24/ hemagglutinin [Influenza A virus (A/Indonesia/CDC836/2006(H5N1))]
MEKIVLLAIVSFVSDQICIGYHANNSTEQVDTIMEKNVTVTHAQDILEKTHNGKLCLLDGVKPLILRD
CSVAGWLLGNPMCMDEFINVPEWSYIVEKANPTNDLCYPGSFNDYEELKHLLSRINHFEKIQIIPKSSWSD
HEASSGVSSACPYLGSPSFFRNVVLIKKNSTYPTIKKSYNTTNQEDLLVLWGIIHHPNDAAEQTRLYQNP
TTYISIGTSTLNQRVPKIAITRSKVNQSGRMEFFWTILKPNDAINFESNGNFIAPEYAYKIVKKGDSAI
MKSELEYGNCTKCQTPMGAINSSMPFHNIHPLTIGECPKYVKSNSRLVLTGLRNSPQRESRRKKRGLFG
AIAGFIEGGWQGMVDPGWYGYHHSNEQGSGYAADKESTQKAIDGVTNKVNSIIDKMNTQFEAVGREFNNLE
RRRIENLNKKMEDGFLDVWVNAELLVLMENERTLDFHDSNVKNLYDKVRLQLRDNAKELGNGCFFYHCK
DNECMESIRNGTYNYPQYSEEARLKREEISGVKLESIGTYQILSIYSTVASSLALAIMAGLSLWMCNSG
SLQCRCI
>gi|118864224|gb|ABL31766| /Human/4(HA)/H5N1/Indonesia/2006/09/24/ hemagglutinin [Influenza A virus (A/Indonesia/CDC836T/2006(H5N1))]
MEKIVLLAIVSFVSDQICIGYHANNSTEQVDTIMEKNVTVTHAQDILEKTHNGKLCLLDGVKPLILRD
CSVAGWLLGNPMCMDEFINVPEWSYIVEKANPTNDLCYPGSFNDYEELKHLLSRINHFEKIQIIPKSSWSD
HEASSGVSSACPYLGSPSFFRNVVLIKKNSTYPTIKKSYNTTNQEDLLVLWGIIHHPNDAAEQTRLYQNP
TTYISIGTSTLNQRVPKIAITRSKVNQSGRMEFFWTILKPNDAINFESNGNFIAPEYAYKIVKKGDSAI
MKSELEYGNCTKCQTPMGAINSSMPFHNIHPLTIGECPKYVKSNSRLVLTGLRNSPQRESRRKKRGLFG
AIAGFIEGGWQGMVDPGWYGYHHSNEQGSGYAADKESTQKAIDGVTNKVNSIIDKMNTQFEAVGREFNNLE
RRRIENLNKKMEDGFLDVWVNAELLVLMENERTLDFHDSNVKNLYDKVRLQLRDNAKELGNGCFFYHCK
DNECMESIRNGTYNYPQYSEEARLKREEISGVKLESIGTYQILSIYSTVASSLALAIMAGLSLWMCNSG
SLQCRCI
>gi|118864380|gb|ABL31780| /Human/4(HA)/H5N1/Indonesia/2006/10/14/ hemagglutinin [Influenza A virus (A/Indonesia/CDC887/2006(H5N1))]
MEKIVLLSIVSLVSDQICIGYHANNSTEQVDTIMEKNVTVTHAQDILEKTHNGKLCLLDGVKPLILRD
CSVAGWLLGNPMCMDEFINVPEWSYIVEKANPTNDLCYPGSFNDYEELKHLLSRINHFEKIQIIPKGWSWD
HEASSGVSSACPYLRSPSFFRNVVLIKKNSTYPTIKKSYNTTNQEDLLVLWGIIHPPNEAEQTRLYQNP
TTYISIGTSTLNQRVPKIAITRSKVNQSGRMEFFWTILKPNDAINFESNGNFIAPEYAYKIVKKGDSAI
MKSELEYGNCTKCQTPMGAINSSMPFHNIHPLTIGECPKYVKSNSRLVLTGLRNSPQRESRRKKRGLFG
AIAGFIEGGWQGMVDPGWYGYHHSNEQGSGYAADKESTQKAIDGVTNKVNSIIDKMNTQFEAVGREFNNLE
RRRIENLNKKMEDGFLDVWVNAELLVLMENERTLDFHDSNVKNLYDKVRLQLRDNAKELGNGCFFYHCK
DNECMESIRNGTYNYPQYSEEARLKREEISGVKLESIGTYQILSIYSTVASSLALAIMAGLSLWMCNSG
SLQCRCI

>gi|118574870|gb|ABL07008| /Human/4(HA)/H5N1/Indonesia/2006/11/10/ hemagglutinin [Influenza A virus (A/Indonesia/CDC938/2006(H5N1))]
MEKIVLLLSIVSLVKSDQICIGYHANNSTEQVDTIMEKNVTVTHAQDILEKTHNGKLCDLDGVKPLILRD
CSVAGWLLGNPMCDEFINVPEWSYIVEKANPTNDLCYPGSFNDYEELKHLLSRINHFEKIQIIPKSSWSD
HEASSGVSSACPYLGSPSFRNVVWLTKKNSTYPTIKSYNNTNQEDLLVLWGIHHPNNEAEQTRLYQNP
TTYISIGTSTLNQRLVPKIATRSKVNQSGRMEFFWTILKPNDAINFESNGNFIPEYAYKIVKKGDSAI
MKSELEYNSNCNTKCQTPMGA
AIAGFIEGGWQGMVGDWYGYHHSNEQGSGYAADKESTQKAIDGVTNKVNSIIDKMNTQFEAVGREFNNLE
RRIENLNKKMEDGFLDVWV
DNECMESIRNGTYNYPQYSEEARLKREEISGVKLESIGTYQILSIYSTVASSLALAIMAGLSLWMC
SLQCRICI
>gi|118574889|gb|ABL07019| /Human/4(HA)/H5N1/Indonesia/2006/11/10/ hemagglutinin [Influenza A virus (A/Indonesia/CDC938E/2006(H5N1))]
MEKIVLLLSIVSLVKSDQICIGYHANNSTEQVDTIMEKNVTVTHAQDILEKTHNGKLCDLDGVKPLILRD
CSVAGWLLGNPMCDEFINVPEWSYIVEKANPTNDLCYPGSFNDYEELKHLLSRINHFEKIQIIPKSSWSD
HEASSGVSSACPYLGSPSFRNVVWLTKKNSTYPTIKSYNNTNQEDLLVLWGIHHPNNEAEQTRLYQNP
TTYISIGTSTLNQRLVPKIATRSKVNQSGRMEFFWTILKPNDAINFESNGNFIPEYAYKIVKKGDSAI
MKSELEYNSNCNTKCQTPMGA
AIAGFIEGGWQGMVGDWYGYHHSNEQGSGYAADKESTQKAIDGVTNKVNSIIDKMNTQFEAVGREFNNLE
RRIENLNKKMEDGFLDVWV
DNECMESIRNGTYNYPQYSEEARLKREEISGVKLESIGTYQILSIYSTVASSLALAIMAGLSLWMC
SLQCRICI
>gi|118574908|gb|ABL07030| /Human/4(HA)/H5N1/Indonesia/2006/11/12/ hemagglutinin [Influenza A virus (A/Indonesia/CDC940/2006(H5N1))]
MEKIVLLAIVSLVKSDQICIGYHANNSTEQVDTIMEKNVTVTHAQDILEKTHNGKLCDLDGVKPLILRD
CSVAGWLLGNPMCDEFINVPEWSYIVEKANPTNDLCYPGSFNDYEELKHLLSRINHFEKIQIIPKSSWSD
HEASSGVSSACPYLGSPSFRNVVWLTKKNSTYPTIKSYNNTNQEDLLVLWGIHHPNDAEAEQTRLYQNP
TTYISIGTSTLNQRLVPKIATRSKVNQSGRMEFFWAILKPNDAINFESNGNFIPEYAYKIVKKGDSAI
MKSELEYNSNCNTKCQTPMGA
AIAGFIEGGWQGMVGDWYGYHHSNEQGSGYAADKESTQKAIDGVTNKVNSIIDKMNTQFEAVGREFNNLE
RRIENLNKKMEDGFLDVWV
DNECMESIRNGTYNYPQYSEEARLKREEISGVKLESIGTYQILSIYSTVASSLALAIMAGLSLWMC
SLQCRICI
>gi|124099004|gb|ABM90511| /Human/4(HA)/H5N1/Indonesia/2007/01/11/ hemagglutinin [Influenza A virus (A/Indonesia/CDC1046/2007(H5N1))]
MEKIVLLLSIVSLVKSDQICIGYHANNSTEQVDTIIEKNVTVTHAQDILEKTHNGKLCDLDGVKPLILKD
CSVAGWLLGNPMCDEFINVPEWSYIVEKANPTNDLCYPGSFNDYEELKHLLSRINHFEKIQIIPKSSWSD
HEASSGVSSACPYLGSPSFRNVVWLTKKNSTYPTIKSYNNTNQEDLLVLWGIHHPNNEEEQTRLYQNP
TTYISIGTSTLNQRLVPKIATRSKVNQSGRMEFFWTILKPNDAINFESNGNFIPEYAYKIVKKGDSAI
MKSELEYNSNCNTKCQTPMGA
AIAGFIEGGWQGMVGDWYGYHHSNEQGSGYAADKESTQKAIDGVTNKVNSIIDKMNTQFEAVGREFNNLE
RRIENLNKKMEDGFLDVWV
DNECMESIRNGTYNYPQYSEEARLKREEISGVKLESIGTYQILSIYSTVASSLALAIMAGLSLWMC
SLQCRICI
>gi|124099026|gb|ABM90522| /Human/4(HA)/H5N1/Indonesia/2007/01/11/ hemagglutinin [Influenza A virus (A/Indonesia/CDC1046T/2007(H5N1))]
MEKIVLLLSIVSLVKSDQICIGYHANNSTEQVDTIMEKNVTVTHAQDILEKTHNGKLCDLDGVKPLILKD
CSVAGWLLGNPMCDEFINVPEWSYIVEKANPTNDLCYPGSFNDYEELKHLLSRINHFEKIQIIPKSSWSD
HEASSGVSSACPYLGSPSFRNVVWLTKKNSTYPTIKSYNNTNQEDLLVLWGIHHPNNEEEQTRLYQNP
TTYISIGTSTLNQRLVPKIATRSKVNQSGRMEFFWTILKPNDAINFESNGNFIPEYAYKIVKKGDSAI
MKSELEYNSNCNTKCQTPMGA
AIAGFIEGGWQGMVGDWYGYHHSNEQGSGYAADKESTQKAIDGVTNKVNSIIDKMNTQFEAVGREFNNLE
RRIENLNKKMEDGFLDVWV
DNECMESIRNGTYNYPQYSEEARLKREEISGVKLESIGTYQILSIYSTVASSLALAIMAGLSLWMC
SLQCRICI
>gi|124099052|gb|ABM90533| /Human/4(HA)/H5N1/Indonesia/2007/01/12/ hemagglutinin [Influenza A virus (A/Indonesia/CDC1047/2007(H5N1))]
MEKIVLLLSIVSLVKSDQICIGYHANNSTEQVDTIMEKNVTVTHAQDILEKTHNGKLCDLDGVKPLILKD
CSVAGWLLGNPMCDEFINVPEWSYIVEKANPTNDLCYPGSFNDYEELKHLLSRINHFEKIQIIPKSSWSD
HEASSGVSSACPYLGSPSFRNVVWLTKKNSTYPTIKSYNNTNQEDLLVLWGIHHPNNEEEQTRLYQNP
TTYISIGTSTLNQRLVPKIATRSKVNQSGRMEFFWTILKPNDAINFESNGNFIPEYAYKIVKKGDSAI
MKSELEYNSNCNTKCQTPMGA
AIAGFIEGGWQGMVGDWYGYHHSNEQGSGYAADKESTQKAIDGVTNKVNSIIDKMNTQFEAVGREFNNLE
RRIENLNKKMEDGFLDVWV
DNECMESIRNGTYNYPQYSEEARLKREEISGVKLESIGTYQILSIYSTVASSLALAIMAGLSLWMC
SLQCRICI

>gi|124099078|gb|ABM90544| /Human/4(HA)/H5N1/Indonesia/2007/01/12/ hemagglutinin [Influenza A virus (A/Indonesia/CDC1047S/2007(H5N1))]
MEKIVLLLIVSLVKSQDQCIGYHANNSTEQVDTIMEKNVTVTHAQDILEKTHNGKLCLLDGVVKPLILKD
CSVAGWLLGNPMCMDEFINVPEWSYIVEKANPTNDLCYPGSFNDYEELKHLLSRINHFEKIQIIPKSSWSD
HEASSGVSSACPYLGSPSFFRNVWLKKNSTYPTIKSYNNTNQEDLLVLWGIIHHPNNEEQTRLYQNP
TTYISIGTSTLNQRVPKIASTRSKVNGQSGRMEFFWTILKPNDAINFESNGNFIAPEYAYKIVKKGDSAI
MKSELEYNSNCNTKCQTPMGAINSSMPFHNIHPLTIGECPKYVKSSRLVLATGLRNSPQRESRRKKRGLFG
AIAGFIEGGWQGMVDPGWGYHHSNEQGSGYAADKESTQKAIDGVTNKVNSIIDKMNTQFEAVGREFNNLE
RRRIENLNKKMEDGFLDVWVNAELLVLMENERTLDFHDSNVKNLYDKVRLQLRDNAKELGNGCFFYHCK
DNECMESIRNGTYNYPQYSEEARLKREEISGVKLESIGTYQILSIYSTVASSLALAIMAGLSLWMCNSG
SLQCRCI
>gi|124098903|gb|ABM90467| /Human/4(HA)/H5N1/Indonesia/2007/01/5/ hemagglutinin [Influenza A virus (A/Indonesia/CDC1031RE2/2007(H5N1))]
MEKIVLLLIVSLVKSQDQCIGYHANNSTEQVDTIMEKNVTVTHAQDILEKTHNGKLCLLDGVVKPLILRD
CSVAGWLLGNPMCMDEFINVPEWSYIVEKANPTNDLCYPGSFNDYEELKHLLSRINHFEKIQIIPKSSWSD
HEASSGVSSACPYLGSPSFFRNVWLKKNSTYPTIKSYNNTNQEDLLVLWGIIHHPNNEAEQTRLYQNP
TTYISIGTSTLNQRVPKIASTRSKVNGQSGRMEFFWTILKPNDAINFESNGNFIAPEYAYKIVKKGDSAI
MKSELEYGNCTKCQTPMGAINSSMPFHNIHPLTIGECPKYVKSNRLVLATGLRNSPQRESRRKKRGLFG
AIAGFIEGGWQGMVDPGWGYHHSNEQGSGYAADKESTQKAIDGVTNKVNSIIDKMNTQFEAVGREFNNLE
RRRIENLNKKMEDGFLDVWVNAELLVLMENERTLDFHDSNVKNLYDKVRLQLRDNAKELGNGCFFYHCK
DNECMESIRNGTYNYPQYSEEARLKREEISGVKLESIGTYQILSIYSTVASSLALAIMAGLSLWMCNSG
SLQCRCI
>gi|157955423|gb|ABW06108| /Human/4(HA)/H5N1/Indonesia/2005/// hemagglutinin [Influenza A virus (A/Indonesia/5/2005(H5N1))]
MEKIVLLAIVSLVKSQDQCIGYHANNSTEQVDTIMEKNVTVTHAQDILEKTHNGKLCLLDGVVKPLILRD
CSVAGWLLGNPMCMDEFINVPEWSYIVEKANPTNDLCYPGSFNDYEELKHLLSRINHFEKIQIIPKSSWSD
HEASSGVSSACPYLGSPSFFRNVWLKKNSTYPTIKSYNNTNQEDLLVLWGIIHHPNDAAEQTRLYQNP
TTYISIGTSTLNQRVPKIASTRSKVNGQSGRMEFFWTILKPNDAINFESNGNFIAPEYAYKIVKKGDSAI
MKSELEYGNCTKCQTPMGAINSSMPFHNIHPLTIGECPKYVKSNRLVLATGLRNSPQRESRRKKRGLFG
AIAGFIEGGWQGMVDPGWGYHHSNEQGSGYAADKESTQKAIDGVTNKVNSIIDKMNTQFEAVGREFNNLE
RRRIENLNKKMEDGFLDVWVNAELLVLMENERTLDFHDSNVKNLYDKVRLQLRDNAKELGNGCFFYHCK
DNECMESIRNGTYNYPQYSEEARLKREEISGVKLESIGTYQILSIYSTVASSLALAIMAGLSLWMCNSG
SLQCRCI
>gi|157955864|gb|ABW06358| /Human/4(HA)/H5N1/Indonesia/2005/11/11/ hemagglutinin [Influenza A virus (A/Indonesia/175H/2005(H5N1))]
MEKIVLLAIVSLVKSQDQCIGYHANNSTEQVDTIMEKNVTVTHAQDILEKTHNGKLCLLDGVVKPLILRD
CSVAGWLLGNPMCMDEFINVPEWSYIVEKANPTNDLCYPGSFNDYEELKHLLSRINHFEKIQIIPKSSWSD
HEASSGVSSACPYLGSPSFFRNVWLKKNSTYPTIKSYNNTNQEDLLVLWGIIHHPNDAAEQTRLYQNP
TTYISIGTSTLNQRVPKIASTRSKVNGQSGRMEFFWTILKPNDAINFESNGNFIAPEYAYKIVKKGDSAI
MKSELEYGNCTKCQTPMGAINSSMPFHNIHPLTIGECPKYVKSNRLVLATGLRNSPQRESRRKKRGLFG
AIAGFIEGGWQGMVDPGWGYHHSNEQGSGYAADKESTQKAIDGVTNKVNSIIDKMNTQFEAVGREFNNLE
RRRIENLNKKMEDGFLDVWVNAELLVLMENERTLDFHDSNVKNLYDKVRLQLRDNAKELGNGCFFYHCK
DNECMESIRNGTYNYPQYSEEARLKREEISGVKLESIGTYQILSIYSTVASSLALAIMAGLSLWMCNSG
SLQCRCI
>gi|157955548|gb|ABW06178| /Human/4(HA)/H5N1/Indonesia/2006/05/13/ hemagglutinin [Influenza A virus (A/Indonesia/546H/2006(H5N1))]
MEKIVLLLATVSLVKSQDQCIGYHANNSTEQVDTIMEKNVTVTHAQDILEKTHNGKLCLLDGVVKPLILRD
CSVAGWLLGNPMCMDEFINVPEWSYIVEKANPANGLCYPGNFNDYEELKHLLSRINHFEKLQIIPKSSWSD
HEASLGVSSACPYLGGRSSFFRNVWLKKNNTYPTIKRSYNNNTNQEDLLVLWGIIHHPNDAAEQTRLYQNP
TTYISVGTSTLNQRVPKIASTRSKVNGQSGRMEFFWTILKPNDAINFESNGNFIAPEYAYKIVKKGDSAI
MKSELEYGDCNTKCQTPMGAINSSMPFHNIHPLTIGECPKYVKSNRLVLATGLRNSPQRESRRKKRGLFG
AIAGFIEGGWQGMVDPGWGYHHSNEQGSGYAADKESTQKAIDGVTNKVNSIIDKMNTQFEAVGREFNNLE
RRRIENLNKKMEDGFLDVWVNAELLVLMENERTLDFHDSNVKNLYDKVRLQLRDNAKELGNGCFFYHCK
DNECMESIRNGTYNYPQYSEEARLKREEISGVKLESIGTYQILSIYSTVASSLALAIMAGLSLWMCNSG
SLQCRCI
>gi|157955845|gb|ABW06347| /Human/4(HA)/H5N1/Indonesia/2006/06/13/ hemagglutinin [Influenza A virus (A/Indonesia/160H/2005(H5N1))]
MEKIMLLAIVSLVKSQDQCIGYHANNSTEQVDTIMEKNVTVTHAQDILEKTHNGKLCLLDGVVKPLILRD
CSVAGWLLGNPMCMDEFINVPEWSYIVEKANPTNDLCYPGSFNDYEELKHLLSRINHFEKIQIIPKSSWSD
HEASSGVSSACPYLGSPSFFRNVWLKKNSTYPTIKSYNNTNQEDLLVLWGIIHHPNDAEQTRLYQNP
TTYISIGTSTLNQRVPKIASTRSKVNGQSGRMEFFWTILKPNDAINFESNGNFIAPEYAYKIVKKGDSAI
MKSELEYGNCTKCQTPMGAINSSMPFHNIHPLTIGECPKYVKSNRLVLATGLRNSPQRESRRKKRGLFG
AIAGFIEGGWQGMVDPGWGYHHSNEQGSGYAADKESTQRAIDGVTNKVNSIIDKMNTQFEAVGREFNNLE
RRRIENLNKKMEDGFLDVWVNAELLVLMENERTLDFHDSNVKNLYDKVRLQLRDNAKELGNGCFFYHCK
DNECMESIRNGTYNYPQYSEEARLKREEISGVKLESIGTYQILSIYSTVASSLALAIMAGLSLWMCNSG
SLQCRCI

Neuraminidase (NA)

>gi|157955679|gb|ABW06254| /Human/6(NA)/H5N1/Indonesia/2006/02/10/ neuraminidase [Influenza A virus (A/Indonesia/321H/2006(H5N1))]
MNPNQKIIIGSICMVGVISLMLQIGNMISIWSHSIQTGNQHQAESISNTNPLTEKAVASVTLAGNSS
LCPIRGWAVSKDNNIRIGSKGDVFIREPFISCHLECRTFFLTQGALLNDKHSNGTVKDRSPHRTLMS
CPVGEAPSPYNSRFESVAWSASACHDGTSLTIGISGPDNEAVVLKYNGIITDTIKSWRNNILRTQESE
CACVNGSCFTVMTDGPSNGQASYKIFKMEKGKVVKSVELDAPNYHYEECSCYPDAGEITCVRDNWHGSN
RPWVSFNQNLEYQIGYICSGVFGDNPRNDGTSCGPMSPNGAYGVKGFSFKYGNNGVWIGRTKSTNSRSG
FEMIWDPNGWTGTDSSFSVKQDIVAITDWSGYSGSFVQHPELTGLDCIRPCFWVELIRGRPKESTIWTSG
SSISFCGVNSDTVWSWPDGAE吕布TID
>gi|157955660|gb|ABW06243| /Human/6(NA)/H5N1/Indonesia/2006/02/21/ neuraminidase [Influenza A virus (A/Indonesia/341H/2006(H5N1))]
MNPNQKIIIGSICMVGVISLMLQIGNMISIWSHSIQTGNQHQAESISNTNPLTEKAMASVTLAGNSS
LCPIRGWAVSKDNNIRIGSKGDVFIREPFISCHLECRTFFLTQGALLNDKHSNGTVKDRSPHRTLMS
CPVGEAPSPYNSRFESVAWSASACHDGTSLTIGISGPDNEAVVLKYNGIITDTIKSWRNNILRTQESE
CACVNGSCFTVMTDGPSNGQASYKIFKMEKGKVVKSVELDAPNYHYEECSCYPDAGEITCVRDNWHGSN
RPWVSFNQNLEYQIGYICSGVFGDNPRNDGTSCGPMSPNGAYGVKGFSFKYGNNGVWIGRTKSTNSRSG
FEMIWDPNGWTGTDSSFSVKQDIVAITDWSGYSGSFVQHPELTGLDCIRPCFWVELIRGRPKESTIWTSG
SSISFCGVNSDTVWSWPDGAE吕布TID
>gi|157955584|gb|ABW06199| /Human/6(NA)/H5N1/Indonesia/2006/05/10/ neuraminidase [Influenza A virus (A/Indonesia/535H/2006(H5N1))]
MNPNQKIIIGSICMAIGTVSLSMLQIGNMISIWSHSIQTGNQHQAESISNTNPLTEKAVASVTLAGNSS
LCPIRGWAVHSKDNSIRIGSKGDVFIREPFISCHSECRTFFLTQGALLNDKHSNETVKDRSPHRTLMS
CPVGEAPSPYNSRFESVAWSASACHDGTSLTIGISGPDNGAVAVALKYNGIITDTIKSWRNNILRTQESE
CACVNGSCFTVMTDGPSNGQASYKIFKMEKGKVVKSVELDAPNYHYEECSCYPDAGEITCVRDNWHGSN
RPWVSFNQNLEYQIGYICSGVFGDNPRNDGTSCGPMSSNGAYGVKGFSFKYGNNGVWIGRTKSTNSRSG
FEMIWDPNGWTGTDSSFSVKQDIVAITDWSGYSGSFVQHPELTGLDCIRPCFWVELIRGRPKESTIWTSG
SSISFCGVNSDTVWSWPDGAE吕布TID
>gi|157955546|gb|ABW06177| /Human/6(NA)/H5N1/Indonesia/2006/05/13/ neuraminidase [Influenza A virus (A/Indonesia/546H/2006(H5N1))]
MNPNQKIIIGSICMAIGTVSLSMLQIGNMISIWSHSIQTGNQHQAESISNTNPLTEKAVASVTLAGNSS
LCPIRGWAVHSKDNSIRIGSKGDVFIREPFISCHSECRTFFLTQGALLNDKHSNETVKDRSPHRTLMS
CPVGEAPSPYNSRFESVAWSASACHDGTSLTIGISGPDNGAVAVALKYNGIITDTIKSWRNNILRTQESE
CACVNGSCFTVMTDGPSNGQASYKIFKMEKGKVVKSVELDAPNYHYEECSCYPDAGEITCVRDNWHGSN
RPWVSFNQNLEYQIGYICSGVFGDNPRNDGTSCGPMSSNGAYGVKGFSFKYGNNGVWIGRTKSTNSRSG
FEMIWDPNGWTGTDSSFSVKQDIVAITDWSGYSGSFVQHPELTGLDCIRPCFWVELIRGRPKESTIWTSG
SSISFCGVNSDTVWSWPDGAE吕布TID
>gi|157955787|gb|ABW06314| /Human/6(NA)/H5N1/Indonesia/2005/// neuraminidase [Influenza A virus (A/Indonesia/245H/2005(H5N1))]
MNPNQKIIIGSICMVGVISLMLQIGNMISIWSHSIQTGNQHQAESISNTNPLTEKAVASVTLAGNSS
LCPIRGWAVHSKDNSIRIGSKGDVFIREPFISCHLECRTFFLTQGALLNDKHSNGTVKDRSPHRTLMS
CPVGEAPSPYNSRFESVAWSASACHDGTSLTIGISGPDNEAVVLKYNGIITDTIKSWRNNILRTQESE
CACVNGSCFTVMTDGPSNGQASYKIFKMEKGKVVKSVELDAPNYHYEECSCYPDAGEITCVRDNWHGSN
RPWVSFNQNLEYQIGYICSGVFGDNPRNDGTSCGPMSPNGAYGVKGFSFKYGNNGVWIGRTKSTNSRSG
FEMIWDPNGWTGTDSSFSVKQDIVAITNWSGYSGSFVQHPELTGLDCIRPCFWVELIRGRPKESTIWTSG
SSISFCGVNSDTVWSWPDGAE吕布TID
>gi|157955421|gb|ABW06107| /Human/6(NA)/H5N1/Indonesia/2005/// neuraminidase [Influenza A virus (A/Indonesia/5/2005(H5N1))]
MNPNQKIIIGSICMVGVISLMLQIGNMISIWSHSIQTGNQHQAESISNTNPLTEKAVASVTLAGNSS
LCPIRGWAVHSKDNSIRIGSKGDVFIREPFISCHLECRTFFLTQGALLNDKHSNGTVKDRSPHRTLMS
CPVGEAPSPYNSRFESVAWSASACHDGTSLTIGISGPDNEAVVLKYNGIITDTIKSWRNNILRTQESE
CACVNGSCFTVMTDGPSDGQASYKIFKMEKGKVVKSVELDAPNYHYEECSCYPDAGEITCVRDNWHGSN
RPWVSFNQNLEYQIGYICSGVFGDNPRNDGTSCGPMSPNGAYGVKGFSFKYGNNGVWIGRTKSTNSRSG
FEMIWDPNGWTGTDSSFSVKQDIVAITNWSGYSGSFVQHPELTGLDCIRPCFWVELIRGRPKESTIWTSG
SSISFCGVNSDTVWSWPDGAE吕布TID
>gi|157955897|gb|ABW06376| /Human/6(NA)/H5N1/Indonesia/2005/// neuraminidase [Influenza A virus (A/Indonesia/6/2005(H5N1))]
MNPNQKIIIGSICMVGVISLMLQIGNMISIWSHSIQTGNQHQAESISNTNPLTEKAVASVTLAGNSS
LCPIRGWAVHSKDNSIRIGSKGDVFIREPFISCHLECRTFFLTQGALLNDKHSNGTVKDRSPHRTLMS
CPVGEAPSPYNSRFESVAWSASACHDGTSLTIGISGPDNEAVVLKYNGIITDTIKSWRNNILRTQESE
CACVNGSCFTVMTDGPSNGQASYKIFKMEKGKVVKSVELDAPNYHYEECSCYPDASEITCVRDNWHGSN
RPWVSFNQNLEYQIGYICSGVFGDNPRNDGTSCGPMFPNGAYGKGFSFKYGNNGVWIGRTKSTNSRSG

FEMIWDPNGWTGTDSSFSVKQDIVAITDWSGYSGSFVQHPELTGLDCIRPCFWELIRGRPKESTIWTSG
SSISFCGVNSDTVNWSPDGAEELPFTIDK
>gi|157955879|gb|ABW06366| /Human/6(NA)/H5N1/Indonesia/2005/// neuraminidase [Influenza A virus
(A/Indonesia/7/2005(H5N1))]
MNPNQKIIITIGSICMVGIVSLMLQIGNMISIWVSHSIQTGNQHQAEISNTNPLTEKAVASVTLAGNSS
LCPIRGWAVHSKDNNIRIGSKGDVFIREPFISCHLECRTFFLTQGALLNDKHSNGTVKDRSPHRTLMS
CPVGEAPSPYNSRFESVAWSASACHDGTSLTIGISGPDNEAVAVLKNGIITDTIKSWRNNILRTQESE
CACVNGSCFTVMTDGPSNGQASYKIFKMEKGKVVKSELDAFPNYHYEECSCYPDAGEITCVRCDNWHGSN
RPWVSNQNLEYQIGYICSGVFGDNPRPNDGTGSCGPMSPNGAYGVKGFSFKYGNVWIGRTKSTNSRSG
FEMIWDPNGWTGTDSSFSVKQDIVAITDWSGYSGSFVQHPELTGLDCIRPCFWELIRGRPKESTIWTSG
SSISFCGVNSDTVWSWPDGAEELPFTIDK
>gi|157955862|gb|ABW06357| /Human/6(NA)/H5N1/Indonesia/2005/11/11/ neuraminidase [Influenza A virus
(A/Indonesia/17H/2005(H5N1))]
MNPNQKIIITIGSICMVGIVSLMLQIGNMISIWVSHSIQTGNQHQAEISNTNPLTEKAVASVTLAGNSS
LCPIRGWAVHSKDNNIRIGSKGDVFIREPFISCHLECRTFFLTQGALLNDKHSNGTVKDRSPHRTLMS
CPVGEAPSPYNSRFESVAWSASACHDGTSLTIGISGPDNGAVALKYNGVITDTIKSWRNNILRTQESE
CACVNGSCFTVMTDGPSNGQASYKIFKMEKGKVVKSELDAFPNYHYEECSCYPDAGEITCVRCDNWHGSN
RPWVSNQNLEYQIGYICSGVFGDNPRPNDGTGSCGPMSPNGAYGVKGFSFKYGNVWIGRTKSTNSRSG
FEMIWDPNGWTGTDSSFSVKQDIVAITDWSGYSGSFVQHPELTGLDCIRPCFWELIRGRPKESTIWTSG
SSISFCGVNSDTVWSWPDGAEELPFTIDK
>gi|157955698|gb|ABW06265| /Human/6(NA)/H5N1/Indonesia/2006/// neuraminidase [Influenza A virus
(A/Indonesia/29H/2006(H5N1))]
MNPNQKIIITIGSICMVGIVSLMLQIGNMISIWVSHSIQTGNQHQAEISNTNPLTEKAVASVTLAGNSS
LCPIRGWAVHSKDNNIRIGSKGDVFIREPFISCHLECRTFFLTQGALLNDKHSNGTVKDRSPHRTLMS
CPVGEAPSPYNSRFESVAWSASACHDGTSLTIGISGPDNEAVAVLKNGIITDTIKSWRNNILRTQESE
CACVNGSCFTVMTDGPSNGQASYKIFKMEKGKVVKSELDAFPNYHYEECSCYPDAGEITCVRCDNWHGSN
RPWVSNQNLEYQIGYICSGVFGDNPRPNDGTGSCGPMSPNGAYGVKGFSFKYGNVWIGRTKSTNSRSG
FEMIWDPNGWTGTDSSFSVKQDIVAITDWSGYSGSFVQHPELTGLDCIRPCFWELIRGRPKESTIWTSG
SSISFCGVNSDTVWSWPDGAEELPFTIDK
>gi|113972330|gb|ABI49417| /Human/6(NA)/H5N1/Indonesia/2006/// neuraminidase [Influenza A virus
(A/Indonesia/CDC759/2006(H5N1))]
MNPNQKIIITIGSICMVGIVSLMLQIGNMISIWVSHSIQTGNQHQAEISNTNPLTEKAVASVTLAGNSS
LCPIRGWAVHSKDNNIRIGSKGDVFIREPFISCHLECRTFFLTQGALLNDKHSNGTVKDRSPHRTLMS
CPVGEAPSPYNSRFESVAWSASACHDGTSLTIGISGPDNEAVAVLKNGIITDTIKSWRNNILRTQESE
CACVNGSCFTVMTDGPSNGQASYKIFKMEKGKVVKSELDAFPNYHYEECSCYPDAGEITCVRCDNWHGSN
RPWVSNQNLEYQIGYICSGVFGDNPRPNDGTGSCGPMSPNGAYGVKGFSFKYGNVWIGRTKSTNSRSG
FEMIWDPNGWTGTDSSFSVKQDIVAITDWSGYSGSFVQHPELTGLDCIRPCFWELIRGRPKESTIWTSG
SSISFCGVNSDTVWSWPDGAEELPFTIDK
>gi|157955768|gb|ABW06303| /Human/6(NA)/H5N1/Indonesia/2006/01/14/ neuraminidase [Influenza A virus
(A/Indonesia/28H/2006(H5N1))]
MNPNQKIIITIGSICMVGIVSLMLQIGNMISIWVSHSIQTGNQHQAEISNTNPLTEKAVASVTLTGNS
LCPIRGWAVHSKDNNIRIGSKGDVFIREPFISCHLECRTFFLTQGALLNDKHSNGTVKDRSPHRTLMS
CPVGEAPSPYNSRFESVAWSASACHDGTSLTIGISGPDNEAVAVLKNGIITDTIKSWRNNILRTQESE
CACVNGSCFTVMTDGPSNGQASYKIFKMEKGKVVKSELDAFPNYHYEECSCYPDAGEITCVRCDNWHGSN
RPWVSNQNLEYQIGYICSGVFGDNPRPNDGTGSCGPMSPNGAYGVKGFSFKYGNVWIGRTKSTNSRSG
FEMIWDPNGWTGTDSSFSVKQDIVAITDWSGYSGSFVQHPELTGLDCIRPCFWELIRGRPKESTIWTSG
SSISFCGVNSDTVWSWPDGAEELPFTIDK
>gi|157955751|gb|ABW06294| /Human/6(NA)/H5N1/Indonesia/2006/01/14/ neuraminidase [Influenza A virus
(A/Indonesia/28H/2006(H5N1))]
MNPNQKIIITIGSICMVGIVSLMLQIGNMISIWVSHSIQTGNQHQAEISNTNPLTEKAVASVTLTGNS
LCPIRGWAVHSKDNNIRIGSKGDVFIREPFISCHLECRTFFLTQGALLNDKHSNGTVKDRSPHRTLMS
CPVGEAPSPYNSRFESVAWSASACHDGTSLTIGISGPDNEAVAVLKNGIITDTIKSWRNNILRTQESE
CACVNGSCFTVMTDGPSNGQASYKIFKMEKGKVVKSELDAFPNYHYEECSCYPDAGEITCVRCDNWHGSN
RPWVSNQNLEYQIGYICSGVFGDNPRPNDGTGSCGPMSPNGAYGVKGFSFKYGNVWIGRTKSTNSRSG
FEMIWDPNGWTGTDSSFSVKQDIVAITDWSGYSGSFVQHPELTGLDCIRPCFWELIRGRPKESTIWTSG
SSISFCGVNSDTVWSWPDGAEELPFTIDK
>gi|113496058|gb|ABI36200| /Human/6(NA)/H5N1/Indonesia/2006/03/23/ neuraminidase [Influenza A virus
(A/Indonesia/CDC523/2006(H5N1))]
MNPNQKIIITIGSICMVGIVSLMLQIGNMISIWVSHSIQTGNQHQAEISNTNPLTEKAVASVTLAGNSS
LCPIRGWAVHSKDNNIRIGSKGDVFIREPFISCHLECRTFFLTQGALLNDKHSNGTVKDRSPHRTLMS
CPVGEAPSPYNSRFESVAWSASACHDGTSLTIGISGPDNEAVAVLKNGIITDTIKSWRNNILRTQESE
CACVNGSCFTVMTDGPSNGQASYKIFKMEKGKVVKSELDAFPNYHYEECSCYPDAGEITCVRCDNWHGSN
RPWVSNQNLEYQIGYICSGVFGDNPRPNDGTGSCGPMSPNGAYGVKGFSFKYGNVWIGRTKSTNSRSG
FEMIWDPNGWTGTDSSFSVKQDIVAITDWSGYSGSFVQHPELTGLDCIRPCFWELIRGRPKESTIWTSG
SSISFCGVNSDTVWSWPDGAEELPFTIDK
>gi|113496417|gb|ABI36278| /Human/6(NA)/H5N1/Indonesia/2006/03/23/ neuraminidase [Influenza A virus
(A/Indonesia/CDC523E/2006(H5N1))]

MNPNQKIIIGSICMVGIVSLMLQIGNMISIWVSHSIQKGHNQHQAESISNTNPLTEKAVASVTLAGNSS
LCPIRGWAHSDKNNIRIGSKGDVFIREPFISCSCHECRTFFLTQGALLNDKHSNGTVKDRSPHRTLMS
CPVGEAPSPYNSRFESVAWSASACHDGTSLTIGISGPDNEAVVLKYNGIITDTIKSWRNNILRTQESE
CACVNGSCFTVMTDGPSNGQASYKIFKMEKGKVVKSVELDAPNYHYEECSCYPDAGEITCVRDNWHGSN
RPWVFSFNQNLEYQIGYICSGVFGDNPRNDGTSCGPMSPNGAYGVKGFSFKYGNNGWIGRTKSTNSRSG
FEMIWDPNGWTGTDSSFSVKQDIVAITDWSGYSGSFVQHPELTGLDCIRPCFWVELIRGRPKESTIWTSG
SSISFCGVNSDTVWSWPDGAEKPFTIDK
>gi|113496471|gb|ABI36287| /Human/6(NA)/H5N1/Indonesia/2006/03/23/ neuraminidase [Influenza A virus
(A/Indonesia/CDC523T/2006(H5N1))]
MNPNQKIIIGSICMVGIVSLMLQIGNMISIWVSHSIQKGHNQHQAESISNTNPLTEKAVASVTLAGNSS
LCPIRGWAHSDKNNIRIGSKGDVFIREPFISCSCHECRTFFLTQGALLNDKHSNGTVKDRSPHRTLMS
CPVGEAPSPYNSRFESVAWSASACHDGTSLTIGISGPDNEAVVLKYNGIITDTIKSWRNNILRTQESE
CACVNGSCFTVMTDGPSNGQASYKIFKMEKGKVVKSVELDAPNYHYEECSCYPDAGEITCVRDNWHGSN
RPWVFSFNQNLEYQIGYICSGVFGDNPRNDGTSCGPMSPNGAYGVKGFSFKYGNNGWIGRTKSTNSRSG
FEMIWDPNGWTGTDSSFSVKQDIVAITDWSGYSGSFVQHPELTGLDCIRPCFWVELIRGRPKESTIWTSG
SSISFCGVNSDTVWSWPDGAEKPFTIDK
>gi|113496518|gb|ABI36298| /Human/6(NA)/H5N1/Indonesia/2006/04/26/ neuraminidase [Influenza A virus
(A/Indonesia/CDC582/2006(H5N1))]
MNPNQKIIIGSICMVGIVSLMLQIGNMISIWVSHSIQKGHNQHQAESISNTNPLTEKAVASVTLAGNSS
LCPIRGWAHSDKNNIRIGSKGDVFIREPFISCSCHECRTFFLTQGALLNDKHSNGTVKDRSPHRTLMS
CPVGEAPSPYNSRFESVAWSASACHDGTSLTIGISGPDNEAVVLKYNGIITDTIKSWRNNILRTQESE
CACVNGSCFTVMTDGPSNGQASYKIFKMEKGKVVKSVELDAPNYHYEECSCYPDAGEITCVRDNWHGSN
RPWVFSFNQNLEYQIGYICSGVFGDNPRNDGTSCGPMSPNGAYGVKGFSFKYGNNGWIGRTKSTNSRSG
FEMIWDPNGWTGTDSSFSVKQDIVAITDWSGYSGSFVQHPELTGLDCIRPCFWVELIRGRPKESTIWTSG
SSISFCGVNSDTVWSWPDGAEKPFTIDK
>gi|157955529|gb|ABW06168| /Human/6(NA)/H5N1/Indonesia/2006/05/10/ neuraminidase [Influenza A virus
(A/Indonesia/542H/2006(H5N1))]
MNPNQKIIIGSICMVGIVSLMLQIGNMISIWVSHSIQTNQHQAESISNTNPLTEKAVASVTLAGNSS
LCPIRGWAHSDKNNIRIGSKGDVFIREPFISCSCHECRTFFLTQGALLNDKHSNGTVKDRSPHRTLMS
CPVGEAPSPYNSRFESVAWSASACHDGTSLTIGISGPDNEAVVLKYNGIITDTIKSWRNNILRTQESE
CACVNGSCFTVMTDGPSNGQASYKIFKMEKGKVVKSVELDAPNYHYEECSCYPDAGEITCVRDNWHGSN
RPWVFSFNQNLEYQIGYICSGVFGDNPRNDGTSCGPMSPNGAYGVKGFSFKYGNNGWIGRTKSTNSRSG
FEMIWDPNGWTGTDSSFSVKQDIVAITDWSGYSGSFVQHPELTGLDCIRPCFWVELIRGRPKESTIWTSG
SSISFCGVNSDTVWSWPDGAEKPFTIDK
>gi|113495914|gb|ABI36168| /Human/6(NA)/H5N1/Indonesia/2006/05/10/ neuraminidase [Influenza A virus
(A/Indonesia/CDC596/2006(H5N1))]
MNPNQKIIIGSICMAIGTVSLMLQIGNMISIWVSHSIQTNQHQAESISNTNPLTEKAVASVTLAGNSS
LCPIRGWAHSDKNSIRIGSKGDVFIREPFISCSCHECRTFFLTQGALLNDKHSNETVKDRSPHRTLMS
CPVGEAPSPYNSRFESVAWSASACHDGTSLTIGISGPDNGAVAVLKYNIGIITDTIKSWRNNILRTQESE
CACVNGSCFTVMTDGPSNGQASYKIFKMEKGKVVKSVELDAPNYHYEECSCYPDAGEITCVRDNWHGSN
RPWVFSFNQNLEYQIGYICSGVFGDNPRNDGTSCGPMSSNGAYGVKGFSFKYGNNGWIGRTKSTNSRSG
FEMIWDPNGWTGTDSSFSVKQDIVAITDWSGYSGSFVQHPELTGLDCIRPCFWVELIRGRPKESTIWTSG
SSISFCGVNSDTVWSWPDGAEKPFTIDK
>gi|113495963|gb|ABI36179| /Human/6(NA)/H5N1/Indonesia/2006/05/10/ neuraminidase [Influenza A virus
(A/Indonesia/CDC597/2006(H5N1))]
MNPNQKIIIGSICMAIGTVSLMLQIGNMISIWVSHSIQTNQHQAESISNTNPLTEKAVASVTLAGNSS
LCPIRGWAHSDKNSIRIGSKGDVFIREPFISCSCHECRTFFLTQGALLNDKHSNETVKDRSPHRTLMS
CPVGEAPSPYNSRFESVAWSASACHDGTSLTIGISGPDNGAVAVLKYNIGIITDTIKSWRNNILRTQESE
CACVNGSCFTVMTDGPSNGQASYKIFKMEKGKVVKSVELDAPNYHYEECSCYPDAGEITCVRDNWHGSN
RPWVFSFNQNLEYQIGYICSGVFGDNPRNDGTSCGPMSSNGAYGVKGFSFKYGNNGWIGRTKSTNSRSG
FEMIWDPNGWTGTDSSFSVKQDIVAITDWSGYSGSFVQHPELTGLDCIRPCFWVELIRGRPKESTIWTSG
SSISFCGVNSDTVWSWPDGAEKPFTIDK
>gi|113496008|gb|ABI36189| /Human/6(NA)/H5N1/Indonesia/2006/05/11/ neuraminidase [Influenza A virus
(A/Indonesia/CDC599/2006(H5N1))]
MNPNQKIIIGSICMAIGTVSLMLQIGNMISIWVSHSIQTNQHQAESISNTNPLTEKAVASVTLAGNSS
LCPIRGWAHSDKNSIRIGSKGDVFIREPFISCSCHECRTFFLTQGALLNDKHSNETVKDRSPHRTLMS
CPVGEAPSPYNSRFESVAWSASACHDGTSLTIGISGPDNGAVAVLKYNIGIITDTIKSWRNNILRTQESE
CACVNGSCFTVMTDGPSNGQASYKIFKMEKGKVVKSVELDAPNYHYEECSCYPDAGEITCVRDNWHGSN
RPWVFSFNQNLEYQIGYICSGVFGDNPRNDGTSCGPMSSNGAYGVKGFSFKYGNNGWIGRTKSTNSRSG
FEMIWDPNGWTGTDSSFSVKQDIVAITDWSGYSGSFVQHPELTGLDCIRPCFWVELIRGRPKESTIWTSG
SSISFCGVNSDTVWSWPDGAEKPFTIDK
>gi|113496586|gb|ABI36314| /Human/6(NA)/H5N1/Indonesia/2006/05/11/ neuraminidase [Influenza A virus
(A/Indonesia/CDC610/2006(H5N1))]
MNPNQKIIIGSICMVGIVSLMLQIGNMISIWVSHSIQTNQHQAESISNTNPLTEKAVASVTLAGNSS
LCPIRGWAHSDKNNIRIGSKGDVFIREPFISCSCHECRTFFLTQGALLNDKHSNGTVKDRSPHRTLMS
CPVGEAPSPYNSRFESVAWSASACHDGNWSLTIGISGPDNEAVVLKYNGIITDTIKSWRNNILRTQESE
CACVNGSCFTVMTDGPSNGQASYKIFKMEKGKVVKSVELDAPNYHYEECSCYPDAGEITCVRDNWHGSN

RPWVFSFNQNLEYQIGYICSGVFGDNPRPNDGTGSCGPMSPNGAYGVKGFSFKYGNGVWIGRTKSTNSRSG
FEMIWDPNGWTGDSSFSVKQDIVAITDWSGYSGSFVQHPELTGLDCIRPCFWVELIRGRPKESTIWTSG
SSISFCGVNSDTVSWSPDGAEELPFTIDK
>gi|157955494|gb|ABW06149| /Human/6(NA)/H5N1/Indonesia/2006/05/17/ neuraminidase [Influenza A virus
(A/Indonesia/546bH/2006(H5N1))]
MNPNQKIIITIGSICMAIGTVSLMLQIGNMISIWVSHSIQTGNQHQAESISNTNPLTEKAVASVTLAGNSS
LCPIRGWAVHSKDNSIRIGSKGDVFIREPFISCHSECRTFFLTQGALLNDKHSNETVKDRSPHRTLMS
CPVGEAPSPYNSRFESV равасасачдгтсвltigisgpdнgavaвлkyngiитdtikswrnnilrtqese
CACVNGSCFTVMTDGPSNGQASYKIFKMEKGKVKSVELDAPNYHYEECSCYPDAGEITCVCRDNWHGSN
RPWVFSFNQNLEYQIGYICSGVFGDNPRPNDGTGSCGPMSSNGAYGVKGFSFKYGNGVWIGRTKSTNSRSG
FEMIWDPNGWTGDSSFSVKQDIVAITDWSGYSGSFVQHPELTGLDCIRPCFWVELIRGRPKESTIWTSG
SSISFCGVNSDTVSWSPDGAEELPFTIDK
>gi|113496640|gb|ABI36325| /Human/6(NA)/H5N1/Indonesia/2006/05/18/ neuraminidase [Influenza A virus
(A/Indonesia/CDC623/2006(H5N1))]
MNPNQKIIITIGSICMVIGIVSLMLQIGNMISIWVSHSVQGTGNQHQAESISNTNPLTEKAVASVTLAGNSS
LCPIRGWAVHSKDNIRIGSKGDVFIREPFISCHLECRTFFLTQGALLNDKHSNGTVKDRSPHRTLMS
CPLGEAPSPYNSRFESV равасасачдгтсвltigisgpdнeаavлkyngiитdtikswrnnilrtqese
CACVNGSCFTVMTDGPSNGQASYKIFKMEKGKVKSVELDAPNYHYEECSCYPDAGEITCVCRDNWHGSN
RPWVFSFNQNLEYQIGYICSGVFGDNPRPNDGTGSCGPMSPNGAYGVKGFSFKYGNGVWIGRTKSTNSRSG
FEMIWDPNGWTGDSSFSVKQDIVAITDWSGYSGSFVQHPELTGLDCIRPCFWVELIRGRPKESTIWTSG
SSISFCGVNSDTVSWSPDGAEELPFTIDK
>gi|113496690|gb|ABI36336| /Human/6(NA)/H5N1/Indonesia/2006/05/19/ neuraminidase [Influenza A virus
(A/Indonesia/CDC623E/2006(H5N1))]
MNPNQKIIITIGSICMVIGIVSLMLQIGNMISIWVSHSVQGTGNQHQAESISNTNPLTEKAVASVTLAGNSS
LCPIRGWAVHSKDNIRIGSKGDVFIREPFISCHLECRTFFLTQGALLNDKHSNGTVKDRSPHRTLMS
CPLGEAPSPYNSRFESV равасасачдгтсвltigisgpdнeаavлkyngiитdtikswrnnilrtqese
CACVNGSCFTVMTDGPSNGQASYKIFKMEKGKVKSVELDAPNYHYEECSCYPDAGEITCVCRDNWHGSN
RPWVFSFNQNLEYQIGYICSGVFGDNPRPNDGTGSCGPMSPNGAYGVKGFSFKYGNGVWIGRTKSTNSRSG
FEMIWDPNGWTGDSSFSVKQDIVAITDWSGYSGSFVQHPELTGLDCIRPCFWVELIRGRPKESTIWTSG
SSISFCGVNSDTVSWSPDGAEELPFTIDK
>gi|113496737|gb|ABI36347| /Human/6(NA)/H5N1/Indonesia/2006/05/19/ neuraminidase [Influenza A virus
(A/Indonesia/CDC624/2006(H5N1))]
MNPNQKIIITIGSICMVIGIVSLMLQIGNMISIWVSHSVQGTGNQHQAESISNTNPLTEKAVASVTLAGNSS
LCPIRGWAVHSKDNIRIGSKGDVFIREPFISCHLECRTFFLTQGALLNDKHSNGTVKDRSPHRTLMS
CPVGEAPSPYNSRFESV равасасачдгтсвltigisgpdнeаavлkyngiитdtikswrnnilrtqese
CACVNGSCFTVMTDGPSNGQASYKIFKMEKGKVKSVELDAPNYHYEECSCYPDAGEITCVCRDNWHGSN
RPWVFSFNQNLEYQIGYICSGVFGDNPRPNDGTGSCGPMSPNGAYGVKGFSFKYGNGVWIGRTKSTNSRSG
FEMIWDPNGWTGDSSFSVKQDIVAITDWSGYSGSFVQHPELTGLDCIRPCFWVELIRGRPKESTIWTSG
SSISFCGVNSDTVSWSPDGAEELPFTIDK
>gi|113496824|gb|ABI36358| /Human/6(NA)/H5N1/Indonesia/2006/05/19/ neuraminidase [Influenza A virus
(A/Indonesia/CDC624E/2006(H5N1))]
MNPNQKIIITIGSICMVIGIVSLMLQIGNMISIWVSHSVQGTGNQHQAESISNTNPLTEKAVASVTLAGNSS
LCPIRGWAVHSKDNIRIGSKGDVFIREPFISCHLECRTFFLTQGALLNDKHSNGTVKDRSPHRTLMS
CPVGEAPSPYNSRFESV равасасачдгтсвltigisgpdнeаavлkyngiитdtikswrnnilrtqese
CACVNGSCFTVMTDGPSNGQASYKIFKMEKGKVKSVELDAPNYHYEECSCYPDAGEITCVCRDNWHGSN
RPWVFSFNQNLEYQIGYICSGVFGDNPRPNDGTGSCGPMSPNGAYGVKGFSFKYGNGVWIGRTKSTNSRSG
FEMIWDPNGWTGDSSFSVKQDIVAITDWSGYSGSFVQHPELTGLDCIRPCFWVELIRGRPKESTIWTSG
SSISFCGVNSDTVSWSPDGAEELPFTIDK
>gi|157955512|gb|ABW06159| /Human/6(NA)/H5N1/Indonesia/2006/05/20/ neuraminidase [Influenza A virus
(A/Indonesia/560H/2006(H5N1))]
MNPNQKIIITIGSICMAIGTVSLMLQIGNMISIWVSHSIQTGNQHQAESISNTNPLTEKAVASVTLAGNSS
LCPIRGWAVHSKDNSIRIGSKGDVFIREPFISCHSECRTFFLTQGALLNDKHSNETVKDRSPHRTLMS
CPVGEAPSPYNSRFESV равасасачдгтсвltigisgpdнgavaвлkyngiитdtikswrnnilrtqese
CACVNGSCFTVMTDGPSNGQASYKIFKMEKGKVKSVELDAPNYYYEECSCYPDAGEITCVCRDNWHGSN
RPWVFSFNQNLEYQIGYICSGVFGDNPRPNDGTGSCGPMSSNGAYGVKGFSFKYGNGVWIGRTKSTNSRSG
FEMIWDPNGWTGDSSFSVKQDIVAITDWSGYSGSFVQHPELTGLDCIRPCFWVELIRGRPKESTIWTSG
SSISFCGVNSDTVSWSPDGAEELPFTIDK
>gi|113496873|gb|ABI36369| /Human/6(NA)/H5N1/Indonesia/2006/05/21/ neuraminidase [Influenza A virus
(A/Indonesia/CDC625/2006(H5N1))]
MNPNQKIIITIGSICMAIGTVSLMLQIGNMISIWVSHSIQTGNQHQAESISNTNPLTEKAVASVTLAGNSS
LCPIRGWAVHSKDNSIRIGSKGDVFIREPFISCHSECRTFFLTQGALLNDKHSNETVKDRSPHRTLMS
CPVGEAPSPYNSRFESV равасасачдгтсвltigisgpdнgavaвлkyngiитdtikswrnnilrtqese
CACVNGSCFTVMTDGPSNGQASYKIFKMEKGKVKSVELDAPNYHYEECSCYPDAGEITCVCRDNWHGSN
RPWVFSFNQNLEYQIGYICSGVFGDNPRPNDGTGSCGPMSSNGAYGVKGFSFKYGNGVWIGRTKSTNSRSG
FEMIWDPNGWTGDSSFSVKQDIVAITDWSGYSGSFVQHPELTGLDCIRPCFWVELIRGRPKESTIWTSG
SSISFCGVNSDTVSWSPDGAEELPFTIDK

>gi|113497087|gb|ABI36413| /Human/6(NA)/H5N1/Indonesia/2006/05/22/ neuraminidase [Influenza A virus (A/Indonesia/CDC625L/2006(H5N1))]
MNPNQKIIIGSICMAIGTVSLMLQIGNMISIWSHSIQTGNQHQAEISNTNPLTEKAVASVTLAGNSS
LCPIRGWAHSDKDNNIRIGSKGDVFIREPFISCHSECRTFFLTQGALLNDKHSNETVKDRSPHRTLMS
CPVGEAPSPYNSRFESVAWSASACHDGTSLWTIGISGPDNGAVAVLKYNQITDTIKSWRNNILRTQESE
CACVNGSCFTVMTDGPSNGQASYKIFKMEKGKVVKSVELDAPNYHYEECSCYPDAGEITCVRDNWHGSN
RPWVSFNQNLEYQIGYICSGVFGDNPRNDGTGSCGPMSSNGAYGVKGFSFKYGNNGVWIGRTKSTNSRSG
FEMIWDPNGWTGTDSSFSVKQDIVAITDWSGYSGSFVQHPELTGLDCIRPCFWVELIRGRPKESTIWTSG
SSISFCGVNSDTVSWSPDGAELPFTIDK
>gi|113496924|gb|ABI36380| /Human/6(NA)/H5N1/Indonesia/2006/05/23/ neuraminidase [Influenza A virus (A/Indonesia/CDC634/2006(H5N1))]
MNPNQKIIIGSICMVIGIVSLMLQIGNMISIWSHSTQKGNQHQAEISNTNPLTEKAVASVTLAGNSS
LCPIRGWAHSDKDNNIRIGSKGDVFIREPFISCHLECRTFFLTQGALLNDKHSNGTVKDRSPHRTLMS
CPVGEAPSPYNSRFESVAWSASACHDGTSLWTIGISGPDNEAVAVLKYNQITDTIKSWRNNILRTQESE
CACVNGSCFTVMTDGPSNGQASYKIFKMEKGKVVKSVELDAPNYHYEECSCYPDAGEITCVRDNWHGSN
RPWVSFNQNLEYQIGYICSGIFGDNPRNDGTGSCGPMFPNGAYGVKGFSFKYGNNGVWIGRTKSTNSRSG
FEMIWDPNGWTGTDSSFSVKQDIVAITDWSGYSGSFVQHPELTGLDCIRPCFWVELIRGRPKESTIWTSG
SSISFCGVNSDTVSWSPDGAELPFTIDK
>gi|113496975|gb|ABI36391| /Human/6(NA)/H5N1/Indonesia/2006/05/23/ neuraminidase [Influenza A virus (A/Indonesia/CDC634P/2006(H5N1))]
MNPNQKIIIGSICMVIGIVSLMLQIGNMISIWSHSTQKGNQHQAEISNTNPLTEKAVASVTLAGNSS
LCPIRGWAHSDKDNNIRIGSKGDVFIREPFISCHLECRTFFLTQGALLNDKHSNGTVKDRSPHRTLMS
CPVGEAPSPYNSRFESVAWSASACHDGTSLWTIGISGPDNEAVAVLKYNQITDTIKSWRNNILRTQESE
CACVNGSCFTVMTDGPSNGQASYKIFKMEKGKVVKSVELDAPNYHYEECSCYPDAGEITCVRDNWHGSN
RPWVSFNQNLEYQIGYICSGIFGDNPRNDGTGSCGPMFPNGAYGVKGFSFKYGNNGVWIGRTKSTNSRSG
FEMIWDPNGWTGTDSSFSVKQDIVAITDWSGYSGSFVQHPELTGLDCIRPCFWVELIRGRPKESTIWTSG
SSISFCGVNSDTVSWSPDGAELPFTIDK
>gi|113497028|gb|ABI36402| /Human/6(NA)/H5N1/Indonesia/2006/05/23/ neuraminidase [Influenza A virus (A/Indonesia/CDC634T/2006(H5N1))]
MNPNQKIIIGSICMVIGIVSLMLQIGNMISIWSHSTQKGNQHQAEISNTNPLTEKAVASVTLAGNSS
LCPIRGWAHSDKDNNIRIGSKGDVFIREPFISCHLECRTFFLTQGALLNDKHSNGTVKDRSPHRTLMS
CPVGEAPSPYNSRFESVAWSASACHDGTSLWTIGISGPDNEAVAVLKYNQITDTIKSWRNNILRTQESE
CACVNGSCFTVMTDGPSNGQASYKIFKMEKGKVVKSVELDAPNYHYEECSCYPDAGEITCVRDNWHGSN
RPWVSFNQNLEYQIGYICSGVFGDNPRNDGTGSCGPMSPNGAYGVKGFSFKYGNNGVWIGRTKSTNSRSG
FEMIWDPNGWTGTDSSFSVKQDIVAITDWSGYSGSFVQHPELTGLDCIRPCFWVELIRGRPKESTIWTSG
SSISFCGVNSDTVSWSPDGAELPFTIDK
>gi|157955622|gb|ABW06221| /Human/6(NA)/H5N1/Indonesia/2006/05/29/ neuraminidase [Influenza A virus (A/Indonesia/567H/2006(H5N1))]
MNPNQKIIIGSICMVIGIVSLMLQIGNMISIWSHSTQKGNQHQAEISNTNPLTEKAVASVTLAGNSS
LCPIRGWAHSDKDNNIRIGSKGDVFIREPFISCHLECRTFFLTQGALLNDKHSNGTVKDRSPHRTLMS
CPVGEAPSPYNSRFESVAWSASACHDGTSLWTIGISGPDNEAVAVLKYNQITDTIKSWRNNILRTQESE
CACVNGSCFTVMTDGPSNGQASYKIFKMEKGKVVKSVELDAPNYHYEECSCYPDAGEITCVRDNWHGSN
RPWVSFNQNLEYQIGYICSGVFGDNPRNDGTGSCGPMSPNGAYGVKGFSFKYGNNGVWIGRTKSTNSRSG
FEMIWDPNGWTGTDSSFSVKQDIVAITDWSGYSGSFVQHPELTGLDCIRPCFWVELIRGRPKESTIWTSG
SSISFCGVNSDTVSWSPDGAELPFTIDK
>gi|113497328|gb|ABI36465| /Human/6(NA)/H5N1/Indonesia/2006/05/29/ neuraminidase [Influenza A virus (A/Indonesia/CDC644T/2006(H5N1))]
MNPNQKIIIGSICMVIGIVSLMLQIGNMISIWSHSTQKGNQHQAEISNTNPLTEKAVASVTLAGNSS
LCPIRGWAHSDKDNNIRIGSKGDVFIREPFISCHLECRTFFLTQGALLNDKHSNGTVKDRSPHRTLMS
CPVGEAPSPYNSRFESVAWSASACHDGTSLWTIGISGPDNEAVAVLKYNQITDTIKSWRNNILRTQESE
CACVNGSCFTVMTDGPSNGQASYKIFKMEKGKVVKSVELDAPNYHYEECSCYPDAGEITCVRDNWHGSN
RPWVSFNQNLEYQIGYICSGVFGDNPRNDGTGSCGPMSPNGAYGVKGFSFKYGNNGVWIGRTKSTNSRSG
FEMIWDPNGWTGTDSSFSVKQDIVAITDWSGYSGSFVQHPELTGLDCIRPCFWVELIRGRPKESTIWTSG
SSISFCGVNSDTVSWSPDGAELPFTIDK
>gi|113497374|gb|ABI36476| /Human/6(NA)/H5N1/Indonesia/2006/05/30/ neuraminidase [Influenza A virus (A/Indonesia/CDC644/2006(H5N1))]
MNPNQKIIIGSICMVIGIVSLMLQIGNMISIWSHSTQKGNQHQAEISNTNPLTEKAVASVTLAGNSS
LCPIRGWAHSDKDNNIRIGSKGDVFIREPFISCHSECRTFFLTQGALLNDKHSNGTVKDRSPHRTLMS
CPVGEAPSPYNSRFESVAWSASACHDGTSLWTIGISGPDNEAVAVLKYNQITDTIKSWRNNILRTQESE
CACVNGSCFTVMTDGPSNGQASYKIFKMEKGKVVKSVELDAPNYHYEECSCYPDAGEITCVRDNWHGSN
RPWVSFNQNLEYQIGYICSGVFGDNPRNDGTGSCGPMSPNGAYGVKGFSFKYGNNGVWIGRTKSTNSRSG
FEMIWDPNGWTGTDSSFSVKQDIVAITDWSGYSGSFVQHPELTGLDCIRPCFWVELIRGRPKESTIWTSG
SSISFCGVNSDTVSWSPDGAELPFTIDK
>gi|113495792|gb|ABI36146| /Human/6(NA)/H5N1/Indonesia/2006/05/9/ neuraminidase [Influenza A virus (A/Indonesia/CDC594/2006(H5N1))]
MNPNQKIIIGSICMAIGTVSLMLQIGNMISIWSHSIQTGNQHQAEISNTNPLTEKAVASVTLAGNSS
LCPIRGWAHSDKDNNIRIGSKGDVFIREPFISCHSECRTFFLTQGALLNDKHSNETVKDRSPHRTLMS

CPVGEAPSPYNSRFESVAWSASACHDGTSLTIGISGPNGAVAVLKYNQIITDTIKSWRNNILRTQESE
CACVNGSCFTVMTDGPSNGQASYKIFKMEKGKV/KSVELDAPNYHYEECSCYPDAGEITCVRDNWHGSN
RPWVFSFNQNLEYQIGYICSGVFGDNPRPNDGTGSCGPMSSNGAYGVKGFSFKYGNGVWIGRTKSTNSRSG
FEMIWDPNGWTGTSSFSVKQDIVAITDWSGYSGSFVQHPELTGLDCIRPCFWVELIRGRPKESTIWTSG
SSISFCGVNSDTVWSWPDGAEELPTIDK
>gi|113495851|gb|ABI36157| /Human/6(NA)/H5N1/Indonesia/2006/05/9/ neuraminidase [Influenza A virus
(A/Indonesia/CDC595/2006(H5N1))]
MNPNQKIIITIGSICMAIGTVSLMLQIGNMISIWSHSIQTGNQHQAESISNTNPLTEKAVASVTLAGNSS
LCPIRGWAHSKDNIRIGSKGDVFIREPFISCHSECRTFFLTQGALLNDKHSNETVKDRSPHRTLMS
CPVGEAPSPYNSRFESVAWSASACHDGTSLTIGISGPNGAVAVLKYNQIITDTIKSWRNNILRTQESE
CACVNGSCFTVMTDGPSNGQASYKIFKMEKGKV/KSVELDAPNYHYEECSCYPDAGEITCVRDNWHGSN
RPWVFSFNQNLEYQIGYICSGVFGDNPRPNDGTGSCGPMSSNGAYGVKGFSFKYGNGVWIGRTKSTNSRSG
FEMIWDPNGWTGTSSFSVKQDIVAITDWSGYSGSFVQHPELTGLDCIRPCFWVELIRGRPKESTIWTSG
SSISFCGVNSDTVWSWPDGAEELPTIDK
>gi|113497198|gb|ABI36435| /Human/6(NA)/H5N1/Indonesia/2006/06/13/ neuraminidase [Influenza A virus
(A/Indonesia/CDC669/2006(H5N1))]
MNPNQKIIITIGSICMVIGIVSLMLQIGNMISIWSHSIQTGNQHQAESISNTNPLTEKAVASVTLAGNSS
LCPIRGWAHSKDNIRIGSKGDVFIREPFISCHSECRTFFLTQGALLNDKHSNGTVKDRSPHRTLMS
CPVGEAPSPYNSRFESVAWSASACHDGTSLTIGISGPDENEAVAVLKYNQIITDTIKSWRNNILRTQESE
CACVNGSCFTVMTDGPSNGQASYKIFKMEKGKV/KSVELDAPNYHYEECSCYPDAGEITCVRDNWHGSN
RPWISFNQNLEYQIGYICSGVFGDNPRPNDGTGSCGPMSPNGAYGVKGFSFKYGNGVWIGRTKSTNSRSG
FEMIWDPNGWTGTSSFSVKQDIVAITDWSGYSGSFVQHPELTGLDCIRPCFWVELIRGRPKESTIWTSG
SSISFCGVNSDTVWSWPDGAEELPTIDK
>gi|113497245|gb|ABI36446| /Human/6(NA)/H5N1/Indonesia/2006/06/13/ neuraminidase [Influenza A virus
(A/Indonesia/CDC669P/2006(H5N1))]
MNPNQKIIITIGSICMVIGIVSLMLQIGNMISIWSHSIQTGNQHQAESISNTNPLTEKAVASVTLAGNSS
LCPIRGWAHSKDNIRIGSKGDVFIREPFISCHSECRTFFLTQGALLNDKHSNGTVKDRSPHRTLMS
CPVGEAPSPYNSRFESVAWSASACHDGTSLTIGISGPDENEAVAVLKYNQIITDTIKSWRNNILRTQESE
CACVNGSCFTVMTDGPSNGQASYKIFKMEKGKV/KSVELDAPNYHYEECSCYPDAGEITCVRDNWHGSN
RPWISFNQNLEYQIGYICSGVFGDNPRPNDGTGSCGPMSPNGAYGVKGFSFKYGNGVWIGRTKSTNSRSG
FEMIWDPNGWTGTSSFSVKQDIVAITDWSGYSGSFVQHPELTGLDCIRPCFWVELIRGRPKESTIWTSG
SSISFCGVNSDTVWSWPDGAEELPTIDK
>gi|113497296|gb|ABI36457| /Human/6(NA)/H5N1/Indonesia/2006/07/6/ neuraminidase [Influenza A virus
(A/Indonesia/CDC669/2006(H5N1))]
MNPNQKIIITIGSICMVIGIVSLMLQIGNMISIWSHSIQTGNQHQAESISNTNPLTEKAVASVTLAGNSS
LCPIRGWAHSKDNIRIGSKGDVFIREPFISCHSECRTFFLTQGALLNDKHSNGTVKDRSPHRTLMS
CPVGEAPSPYNSRFESVAWSASACHDGTSLTIGISGPDENEAVAVLKYNQIITDTIKSWRNNILRTQESE
CACVNGSCFTVMTDGPSNGQASYKIFKMEKGKV/KSVELDAPNYHYEECSCYPDAGEITCVRDNWHGSN
RPWVFSFNQNLEYQIGYICSGVFGDNPRPNDGTGSCGPMSPNGAYGVKGFSFKYGNGVWIGRTKSTNSRSG
FEMIWDPNGWTGTSSFSVKQDIVAITDWSGYSGSFVQHPELTGLDCIRPCFWVELIRGRPKESTIWTSG
SSISFCGVNSDTVWSWPDGAEELPTIDK
>gi|113972297|gb|ABI49398| /Human/6(NA)/H5N1/Indonesia/2006/08/5/ neuraminidase [Influenza A virus
(A/Indonesia/CDC739/2006(H5N1))]
MNPNQKIIITIGSICMVIGIVSLMLQIGNMISIWSHSIQTGNQHQAESISNTNPLTEKAVASVTLAGNSS
LCPIRGWAHSKDNIRIGSKGDVFIREPFISCHSECRTFFLTQGALLNDKHSNGTVKDRSPHRTLMS
CPVGEAPSPYNSRFESVAWSASACHDGTSLTIGISGPDENEAVAVLKYNQIITDTIKSWRNNILRTQESE
CACVNGSCFTVMTDGPSNGQASYKIFKMEKGKV/KSVELDAPNYHYEECSCYPDAGEITCVRDNWHGSN
RPWVFSFNQNLEYQIGYICSGVFGDNPRPNDGTGSCGPMSPNGAYGVKGFSFKYGNGVWIGRTKSTNSRSG
FEMIWDPNGWTGTSSFSVKQDIVAITDWSGYSGSFVQHPELTGLDCIRPCFWVELIRGRPKESTIWTSG
SSISFCGVNSDTVWSWPDGAEELPTIDK
>gi|113972316|gb|ABI49409| /Human/6(NA)/H5N1/Indonesia/2006/08/7/ neuraminidase [Influenza A virus
(A/Indonesia/CDC742/2006(H5N1))]
MNPNRKIIITIGSICMVIGIVSLMLQIGNMISIWSHSIQTGNQHQAESISNTNPLTEKAVASVTLAGNSS
LCPIRGWAHSKDNIRIGSKGDVFIREPFISCHSECRTFFLTQGALLNDKHSNGTVKDRSPHRTLMS
CPVGEAPSPYNSRFESVAWSASACHDGTSLTIGISGPDENEAVAVLKYNQIITDTIKSWRNNILRTQESE
CACVNGSCFTVMTDGPSNGQASYKIFKMEKGKV/KSVELVAPNYHYEECSCYPDAGEITCVRDNWHGSN
RPWVFSFNQNLEYQIGYICSGVFGDNPRPNDGTGSCGPMSPNGAYGVKGFSFKYGNGVWIGRTKSTNSRSG
FEMIWDPNGWTGTSSFSVKQDIVAITDWSGYSGSFVQHPELTGLDCIRPCFWVELIRGRPKESTIWTSG
SSISFCGVNSDTVWSWPDGAEELPTIDK
>gi|118864141|gb|ABL31746| /Human/6(NA)/H5N1/Indonesia/2006/09/22/ neuraminidase [Influenza A virus
(A/Indonesia/CDC835/2006(H5N1))]
MNPNQKIIITIGSICMVIGIVSLMLQIGNMISIWSHSIQTGNQHQAESISNTNPLTEKAVASVTLAGNSS
LCPIRGWAHSKDNIRIGSKGDVFIREPFISCHSECRTFFLTQGALLNDKHSNGTVKDRSPHRTLMS
CPVGEAPSPYNSRFESVAWSASACHDGNSLTIGISGPDENEAVAVLKYNQIITDTIKSWRKNILRTQESE
CACVNGSCFTVMTDGPSNGQASYKIFKMEKGKV/KSVELDAPNYHYEECSCYPDAGEITCVRDNWHGSN
RPWVFSFNQNLEYQIGYICSGVFGDNPRPNDGTGSCGPMSPNGAYGVKGFSFKYGNGVWIGRTKSTNSRSG
FEMIWDPNGWTGTSSFSVKQDIVAITDWSGYSGSFVQHPELTGLDCIRPCFWVELIRGRPKESTIWTSG

SSISFCGVNSDTVWSWPDGAEELPFTIDK
>gi|118864192|gb|ABL31757| /Human/6(NA)/H5N1/Indonesia/2006/09/24/ neuraminidase [Influenza A virus (A/Indonesia/CDC836/2006(H5N1))]
MNPQNQKIIIGSICMVIGIVSLMLQIGNMISIWSHSIQTGNQHQAESISNTNPLTEKAVASVTLAGNSS
LCPIRGWAHSKDNNIRIGSKGDVFIREPFFISCHLECRTFFLTQGALLNDKHSNGTVKDRSPHRTLMS
CPVGEAPSPYNSRFESVAWSASACHDGTSLWTIGISGPDNEAVAVLKYNIGITDTIKSWRNNILRTQESE
CACVNGSCFTVMTDGPSNGQASYKIFKMEKGKVVKSVELDAPNYHYEECSCYPDAGEITCVRDNWHGSN
RPWVSFNQNLEYQIGYICSGVFGDNPRNDGTSCGPMSPNGAYGVKGFSFKYGNQGWIGRTKSTNSRSG
FEMIWDPNGWTGTDSSFSVKQDIVAITDWSGYSGSFVQHPELTGLDCIRPCFWVELIRGRPKESTIWTSG
SSISFCGVNSDTVWSWPDGAEELPFTIDK
>gi|118864235|gb|ABL31768| /Human/6(NA)/H5N1/Indonesia/2006/09/24/ neuraminidase [Influenza A virus (A/Indonesia/CDC836T/2006(H5N1))]
MNPQNQKIIIGSICMVIGIVSLMLQIGNMISIWSHSIQTGNQHQAESISNTNPLTEKAVASVTLAGNSS
LCPIRGWAHSKDNNIRIGSKGDVFIREPFFISCHLECRTFFLTQGALLNDKHSNGTVKDRSPHRTLMS
CPVGEAPSPYNSRFESVAWSASACHDGTSLWTIGISGPDNEAVAVLKYNIGITDTIKSWRNNILRTQESE
CACVNGSCFTVMTDGPSNGQASYKIFKMEKGKVVKSVELDAPNYHYEECSCYPDAGEITCVRDNWHGSN
RPWVSFNQNLEYQIGYICSGVFGDNPRNDGTSCGPMSPNGAYGVKGFSFKYGNQGWIGRTKSTNSRSG
FEMIWDPNGWTGTDSSFSVKQDIVAITDWSGYSGSFVQHPELTGLDCIRPCFWVELIRGRPKESTIWTSG
SSISFCGVNSDTVWSWPDGAEELPFTIDK
>gi|118864393|gb|ABL31782| /Human/6(NA)/H5N1/Indonesia/2006/10/14/ neuraminidase [Influenza A virus (A/Indonesia/CDC887/2006(H5N1))]
MNPQNQKIIIGSICMVIGIVSLMLQIGNMISIWSHSIQKGNQHQAESISNTNPLTEKAVASVTLAGNSS
LCPIRGWAHSKDNNIRIGSKGDVFIREPFFISCHLECRTFFLTQGALLNDKHSNGTVKDRSPHRTLMS
CPVGEAPSPYNSRFESVAWSASACHDGTSLWTIGISGPDNEAVAVLKYNIGITDTIKSWRNNILRTQESE
CACVNGSCFTVMTDGPSNGQASYKIFKMKKGKVVKSVELDAPNYHYEECSCYPDAGEITCVRDNWHGSN
RPWVSFNQNLEYQIGYICSGVFGDNPRNDGTSCGPMSPNGAYGVKGFSFKYGNQGWIGRTKSTNSRSG
FEMIWDPNGWTGTDSSFSVKQDIVAITDWSGYSGSFVQHPELTGLDCIRPCFWVELIRGRPKESTIWTSG
SSISFCGVNSDTVWSWPDGAEELPFTIDK
>gi|157955843|gb|ABW06346| /Human/6(NA)/H5N1/Indonesia/2006/11/08/ neuraminidase [Influenza A virus (A/Indonesia/160H/2005(H5N1))]
MNPQNQKIIIGSICMVIGIVSLMLQIGNMISIWSHSIQKGNQHQAESISNTNPLTEKAVASVTLAGNSS
LCPIRGWAHSKDNNIRIGSKGDVFIREPFFISCHLECRTFFLTQGALLNDKHSNGTVKDRSPHRTLMS
CPVGEAPSPYNSRFESVAWSASACHDGTSLWTIGISGPDNEAVAVLKYNIGITDTIKSWRNNILRTQESE
CACVNGSCFTVMTDGPSNGQASYKIFKMKKGKVVKSVELDAPNYHYEECSCYPDAGEITCVRDNWHGSN
RPWVSFNQNLEYQIGYICSGVFGDNPRNDGTSCGPMSPNGAYGVKGFSFKYGNQGWIGRTKSTNSRSG
FEMIWDPNGWTGTDSSFSVKQDIVAITDWSGYSGSFVQHPELTGLDCIRPCFWVELIRGRPKESTIWTSG
SSISFCGVNSDTVWSWPDGAEELPFTIDK
>gi|118574874|gb|ABL07010| /Human/6(NA)/H5N1/Indonesia/2006/11/10/ neuraminidase [Influenza A virus (A/Indonesia/CDC938/2006(H5N1))]
MNPQNQKIIIGSICMVIGIVSLMLQIGNMISIWSHSIQKGNQHQAESISNTNPLTEKAVASITLAGNSS
LCPIRGWAHSKDNNIRIGSKGDVFIREPFFISCHLECRTFFLTQGALLNDKHSNGTVKDRSPHRTLMS
CPVGEAPSPYNSRFESVAWSASACHDGTSLWTIGISGPDNEAVAVLKYNIGITDTIKSWRNNILRTQESE
CACVNGSCFTVMTDGPSNGQASYKIFKMKKGKVVKSVELDAPNYHYEECSCYPDAGEITCVRDNWHGSN
RPWVSFNQNLEYQIGYICSGVFGDNPRNDGTSCGPMSPNGAYGVKGFSFKYGNQGWIGRTKSTNSRSG
FEMIWDPNGWTGTDSSFSVKQDIVAITDWSGYSGSFVQHPELTGLDCIRPCFWVELIRGRPKESTIWTSG
SSISFCGVNSDTVWSWPDGAEELPFTIDK
>gi|118574893|gb|ABL07021| /Human/6(NA)/H5N1/Indonesia/2006/11/10/ neuraminidase [Influenza A virus (A/Indonesia/CDC938E/2006(H5N1))]
MNPQNQKIIIGSICMVIGIVSLMLQIGNMISIWSHSIQKGNQHQAESISNTNPLTEKAVASITLAGNSS
LCPIRGWAHSKDNNIRIGSKGDVFIREPFFISCHLECRTFFLTQGALLNDKHSNGTVKDRSPHRTLMS
CPVGEAPSPYNSRFESVAWSASACHDGTSLWTIGISGPDNEAVAVLKYNIGITDTIKSWRNNILRTQESE
CACVNGSCFTVMTDGPSNGQASYKIFKMKKGKVVKSVELDAPNYHYEECSCYPDAGEITCVRDNWHGSN
RPWVSFNQNLEYQIGYICSGVFGDNPRNDGTSCGPMSPNGAYGVKGFSFKYGNQGWIGRTKSTNSRSG
FEMIWDPNGWTGTDSSFSVKQDIVAITDWSGYSGSFVQHPELTGLDCIRPCFWVELIRGRPKESTIWTSG
SSISFCGVNSDTVWSWPDGAEELPFTIDK
>gi|118574912|gb|ABL07032| /Human/6(NA)/H5N1/Indonesia/2006/11/12/ neuraminidase [Influenza A virus (A/Indonesia/CDC940/2006(H5N1))]
MNPQNQKIIIGSICMVIGIVSLMLQIGNMIVSTWVSHSIQTNQYQAESISNTNPLTEKAVASVTLAGNSS
LCPIRGWAHSKDNNIRIGSKGDVFIREPFFISCHLECRTFFLTQGALLNDKHSNGTVKDRSPHRTLMS
CPVGEAPSPYNSRFESVAWSASACHDGTSLWTIGISGPDNEAVAVLKYNIGITDTIKSWRNNILRTQESE
CACVNGSCFTVMTDGPSNGQASYKIFKMEKGKVVKSVELDAPNYHYEECSCYPDAGEITCVRDNWHGSN
RPWVSFNQNLEYQIGYICSGVFGDNPRNDGTSCGPMSPNGAYGVKGFSFKYGNQGWIGRTKSTNSRSG
FEMIWDPNGWTGTDSSFSVKQDIVAITDWSGYSGSFVQHPELTGLDCIRPCFWVELIRGRPKESTIWTSG
SSISFCGVNSDTVWSWPDGAEELPFTIDK
>gi|124099009|gb|ABM90513| /Human/6(NA)/H5N1/Indonesia/2007/01/11/ neuraminidase [Influenza A virus (A/Indonesia/CDC1046/2007(H5N1))]
MNPQNQKIIIGSICMVIGIVSLMLQIGNMISIWSHSIQTGNQHQAESISNTNPLTEKAVSVTLAGNSS

LCPIRGWAVHSKDNIRIGSKGDVFIREPFISCHLECRTFFLTQGALLNDKHSNGTVKDRSPHRTLMS
CPVGEAPSPYNSRFESVAWSASACHDGTSLTIGISGPDNEAVAVLKNGIITDTIKSWRNNILRTQESE
CACVNGSCFTVMTDGPSNGQASYKIFKMEKGKVKSVELDAPNYHYEECSCYPDAGEITCVCRDNWHGSN
RPWVSFQNLEYQIGYICSGVFGDNPRPNDGTGSCGPMSPNGAYGVKGFSFKYGNNGVWIGRTKSTNSRSG
FEMIWDPNGWTGTSSFSVKQDIVAITDWSGYSGSFVQHPELTGLDCIRPCFWVELIRGRPKESTIWTSG
SSISFCGVNSDTV/SWSWPDGAEELPFTIDK
>gi|124099031|gb|ABM90524| /Human/6(NA)/H5N1/Indonesia/2007/01/11/ neuraminidase [Influenza A virus
(A/Indonesia/CDC1046T/2007(H5N1))]
MNPNQKIIITGSICMVIGVSLMLQIGNMISIWVSHSIQTGNQHQAESISNTNPLTEKAVSVTLAGNSS
LCPIRGWAVHSKDNIRIGSKGDVFIREPFISCHLECRTFFLTQGALLNDKHSNGTVKDRSPHRTLMS
CPVGEAPSPYNSRFESVAWSASACHDGTSLTIGISGPDNEAVAVLKNGIITDTIKSWRNNILRTQESE
CACVNGSCFTVMTDGPSNGQASYKIFKMEKGKVKSVELDAPNYHYEECSCYPDAGEITCVCRDNWHGSN
RPWVSFQNLEYQIGYICSGVFGDNPRPNDGTGSCGPMSPNGAYGVKGFSFKYGNNGVWIGRTKSTNSRSG
FEMIWDPNGWTGTSSFSVKQDIVAITDWSGYSGSFVQHPELTGLDCIRPCFWVELIRGRPKESTIWTSG
SSISFCGVNSDTV/SWSWPDGAEELPFTIDK
>gi|124099058|gb|ABM90535| /Human/6(NA)/H5N1/Indonesia/2007/01/12/ neuraminidase [Influenza A virus
(A/Indonesia/CDC1047/2007(H5N1))]
MNPNQKIIITGSICMVIGVSLMLQIGNMISIWVSHSIQTGNQHQAESISNTNPLTEKAVSVTLAGNSS
LCPIRGWAVHSKDNIRIGSKGDVFIREPFISCHLECRTFFLTQGALLNDKHSNGTVKDRSPHRTLMS
CPVGEAPSPYNSRFESVAWSASACHDGTSLTIGISGPDNEAVAVLKNGIITDTIKSWRNNILRTQESE
CACVNGSCFTVMTDGPSNGQASYKIFKMEKGKVKSVELDAPNYHYEECSCYPDAGEITCVCRDNWHGSN
RPWVSFQNLEYQIGYICSGVFGDNPRPNDGTGSCGPMSPNGAYGVKGFSFKYGNNGVWIGRTKSTNSRSG
FEMIWDPNGWTGTSSFSVKQDIVAITDWSGYSGSFVQHPELTGLDCIRPCFWVELIRGRPKESTIWTSG
SSISFCGVNSDTV/SWSWPDGAEELPFTIDK
>gi|124099084|gb|ABM90546| /Human/6(NA)/H5N1/Indonesia/2007/01/12/ neuraminidase [Influenza A virus
(A/Indonesia/CDC1047S/2007(H5N1))]
MNPNQKIIITGSICMVIGVSLMLQIGNMISIWVSHSIQTGNQHQAESISNTNPLTEKAVSVTLAGNSS
LCPIRGWAVHSKDNIRIGSKGDVFIREPFISCHLECRTFFLTQGALLNDKHSNGTVKDRSPHRTLMS
CPVGEAPSPYNSRFESVAWSASACHDGTSLTIGISGPDNEAVAVLKNGIITDTIKSWRNNILRTQESE
CACVNGSCFTVMTDGPSNGQASYKIFKMEKGKVKSVELDAPNYHYEECSCYPDAGEITCVCRDNWHGSN
RPWVSFQNLEYQIGYICSGVFGDNPRPNDGTGSCGPMSPNGAYGVKGFSFKYGNNGVWIGRTKSTNSRSG
FEMIWDPNGWTGTSSFSVKQDIVAITDWSGYSGSFVQHPELTGLDCIRPCFWVELIRGRPKESTIWTSG
SSISFCGVNSDTV/SWSWPDGAEELPFTIDK
>gi|124098582|gb|ABM90436| /Human/6(NA)/H5N1/Indonesia/2007/01/5/ neuraminidase [Influenza A virus
(A/Indonesia/CDC1031/2007(H5N1))]
MNPNQKIIITGSICMVIGVSLMLQIGNMISIWVSHSIQKGNQHQAESISNTNPLTEKAVASVTLAGNSS
LCPIRGWAVHSKDNIRIGSKGDVFIREPFISCHLECRTFFLTQGALLNDKHSNGTVKDRSPHRTLMS
CPVGEAPSPYNSRFESVAWSASACHDGTSLTIGISGPDNEAVAVLKNGIITDTIKSWRNNILRTQESE
CACVNGSCFTVMTDGPSNGQASYKIFKMKKGKVKSVELDAPNYHYEECSCYPDAGEITCVCRDNWHGSN
RPWVSFQNLEYQIGYICSGVFGDNPRPNDGTGSCGPMSPNGAYGVKGFSFKYGNNGVWIGRTKSTNSRSG
FEMIWDPNGWTGTSSFSVKQDIVAITDWSGYSGSFVQHPELTGLDCIRPCFWVELIRGRPKESTIWTSG
SSISFCGVNSDTV/SWSWPDGAEELPFTIDK
>gi|124098908|gb|ABM90469| /Human/6(NA)/H5N1/Indonesia/2007/01/5/ neuraminidase [Influenza A virus
(A/Indonesia/CDC1031RE2/2007(H5N1))]
MNPNQKIIITGSICMVIGVSLMLQIGNMISIWVSHSIQKGNQHQAESISNTNPLTEKAVASVTLAGNSS
LCPIRGWAVHSKDNIRIGSKGDVFIREPFISCHLECRTFFLTQGALLNDKHSNGTVKDRSPHRTLMS
CPVGEAPSPYNSRFESVAWSASACHDGTSLTIGISGPDNEAVAVLKNGIITDTIKSWRNNILRTQESE
CACVNGSCFTVMTDGPSNGQASYKIFKMKKGKVKSVELDAPNYHYEECSCYPDAGEITCVCRDNWHGSN
RPWVSFQNLEYQIGYICSGVFGDNPRPNDGTGSCGPMSPNGAYGVKGFSFKYGNNGVWIGRTKSTNSRSG
FEMIWDPNGWTGTSSFSVKQDIVAITDWSGYSGSFVQHPELTGLDCIRPCFWVELIRGRPKESTIWTSG
SSISFCGVNSDTV/SWSWPDGAEELPFTIDK
>gi|124098853|gb|ABM90447| /Human/6(NA)/H5N1/Indonesia/2007/01/5/ neuraminidase [Influenza A virus
(A/Indonesia/CDC1031T/2007(H5N1))]
MNPNQKIIITGSICMVIGVSLMLQIGNMISIWVSHSIQKGNQHQAESISNTNPLTEKAVASVTLAGNSS
LCPIRGWAVHSKDNIRIGSKGDVFIREPFISCHLECRTFFLTQGALLNDKHSNGTVKDRSPHRTLMS
CPVGEAPSPYNSRFESVAWSASACHDGTSLTIGISGPDNEAVAVLKNGIITDTIKSWRNNILRTQESE
CACVNGSCFTVMTDGPSNGQASYKIFKMKKGKVKSVELDAPNYHYEECSCYPDAGEITCVCRDNWHGSN
RPWVSFQNLEYQIGYICSGVFGDNPRPNDGTGSCGPMSPNGAYGVKGFSFKYGNNGVWIGRTKSTNSRSG
FEMIWDPNGWTGTSSFSVKQDIVAITDWSGYSGSFVQHPELTGLDCIRPCFWVELIRGRPKESTIWTSG
SSISFCGVNSDTV/SWSWPDGAEELPFTIDK
>gi|124098881|gb|ABM90458| /Human/6(NA)/H5N1/Indonesia/2007/01/6/ neuraminidase [Influenza A virus
(A/Indonesia/CDC1031T2/2007(H5N1))]
MNPNQKIIITGSICMVIGVSLMLQIGNMISIWVSHSIQKGNQHQAESISNTNPLTEKAVASVTLAGNSS
LCPIRGWAVHSKDNIRIGSKGDVFIREPFISCHLECRTFFLTQGALLNDKHSNGTVKDRSPHRTLMS
CPVGEAPSPYNSRFESVAWSASACHDGTSLTIGISGPDNEAVAVLKNGIITDTIKSWRNNILRTQESE
CACVNGSCFTVMTDGPSNGQASYKIFKMKKGKVKSVELDAPNYHYEECSCYPDAGEITCVCRDNWHGSN
RPWVSFQNLEYQIGYICSGVFGDNPRPNDGTGSCGPMSPNGAYGVKGFSFKYGNNGVWIGRTKSTNSRSG

FEMIWDPNGWTGTDSSFSVKQDIVAITDWSGYSGSFVQHPELTGLDCIRPCFWVELIRGRPKESTIWTSG
SSISFCGVNSDTVSWSPDGAELPFTIDK
>gi|124098932|gb|ABM90480| /Human/6(NA)/H5N1/Indonesia/2007/01/6/ neuraminidase [Influenza A virus
(A/Indonesia/CDC1032/2007(H5N1))]
MNPNQKIITIGSICMVIGIVSLMLQIGNMISIWSHSIQKGHNQHQAESISNTNPLTEKAVASVTLAGNSS
LCPIRGWAHVSKDNNIRIGSKGDVFVIREPFFSCSHLECRTFFLTQGALLNDKHSNGTVKDRSPHRTLMS
CPVGEAPSPYNSRFESVAWSASACHDGTSLTIGISGPDNEAVAVLKYNIGITDTIKSWRNNILRTQESE
CACVNGSCFTVMTDGPSNGQASYKIFKMKKGKVKSVELDATNYHYEECSCYPDAGEITCVCRDNWHGSN
RPWVSNQNLEYQIGYICSGVFGDNPRNDGTGSCGPMSPNGAYGVKGFSFKYGNNGWIGRTKSTNSRSG
FEMIWDPNGWTGTDSSFSVKQDIVAITDWSGYSGSFVQHPELTGLDCIRPCFWVELIRGRPKESTIWTSG
SSISFCGVNSDTVSWSPDGAELPFTIDK
>gi|124098957|gb|ABM90491| /Human/6(NA)/H5N1/Indonesia/2007/01/7/ neuraminidase [Influenza A virus
(A/Indonesia/CDC1032N/2007(H5N1))]
MNPNQKIITIGSICMVIGIVSLMLQIGNMISIWSHSIQKGHNQHQAESISNTNPLTEKAVASVTLAGNSS
LCPIRGWAHVSKDNNIRIGSKGDVFVIREPFFSCSHLECRTFFLTQGALLNDKHSNGTVKDRSPHRTLMS
CPVGEAPSPYNSRFESVAWSASACHDGTSLTIGISGPDNEAVAVLKYNIGITDTIKSWRNNILRTQESE
CACVNGSCFTVMTDGPSNGQASYKIFKMKKGKVKSVELDATNYHYEECSCYPDAGEITCVCRDNWHGSN
RPWVSNQNLEYQIGYICSGVFGDNPRNDGTGSCGPMSPNGAYGVKGFSFKYGNNGWIGRTKSTNSRSG
FEMIWDPNGWTGTDSSFSVKQDIVAITDWSGYSGSFVQHPELTGLDCIRPCFWVELIRGRPKESTIWTSG
SSISFCGVNSDTVSWSPDGAELPFTIDK
>gi|124098984|gb|ABM90502| /Human/6(NA)/H5N1/Indonesia/2007/01/7/ neuraminidase [Influenza A virus
(A/Indonesia/CDC1032T/2007(H5N1))]
MNPNQKIITIGSICMVIGIVSLMLQIGNMISIWSHSIQKGHNQHQAESISNTNPLTEKAVASVTLAGNSS
LCPIRGWAHVSKDNNIRIGSKGDVFVIREPFFSCSHLECRTFFLTQGALLNDKHSNGTVKDRSPHRTLMS
CPVGEAPSPYNSRFESVAWSASACHDGTSLTIGISGPDNEAVAVLKYNIGITDTIKSWRNNILRTQESE
CACVNGSCFTVMTDGPSNGQASYKIFKMKKGKVKSVELDATNYHYEECSCYPDAGEITCVCRDNWHGSN
RPWVSNQNLEYQIGYICSGVFGDNPRNDGTGSCGPMSPNGAYGVKGFSFKYGNNGWIGRTKSTNSRSG
FEMIWDPNGWTGTDSSFSVKQDIVAITDWSGYSGSFVQHPELTGLDCIRPCFWVELIRGRPKESTIWTSG
SSISFCGVNSDTVSWSPDGAELPFTIDK

Protein Matrik 2 (M2)

>gi|157955811|gb|ABW06328| /Human/7(MP)/H5N1/Indonesia/2005// matrix protein 2 [Influenza A virus
(A/Indonesia/239H/2005(H5N1))]
MSLLTEVETPTRNEWECKCIDSSDPLAVAASIIGILHILWILDRLFFKFIYRRLKYGKRGPSKTGVPE
SMREEYRQEQQNAVDDGHFVNIELE
>gi|157955792|gb|ABW06317| /Human/7(MP)/H5N1/Indonesia/2005// matrix protein 2 [Influenza A virus
(A/Indonesia/245H/2005(H5N1))]
MSLLTEVETPTRNEWECKCIDSSDPLAVAASIIGILHILWILDRLFFKFIYRRLKYGKRGPSKTGVPE
SMREEYRQEQQNAVDDGHFVNIELE
>gi|151336851|gb|ABS00905| /Human/7(MP)/H5N1/Indonesia/2005// M2 protein [Influenza A virus
(A/Indonesia/CDC177/2005(H5N1))]
MSLLTEVETPTRNEWECRCSDDPLVVAASIIGILHILWILDRLFFKCIYRRLKYGKRGPSKTGVPE
SMREEYRQEQQSAVDVDDGHFVNIELE
>gi|151336857|gb|ABS00908| /Human/7(MP)/H5N1/Indonesia/2005// M2 protein [Influenza A virus
(A/Indonesia/CDC298/2005(H5N1))]
MSLLTEVETPTRNEWECKCSDDPLVIAASIIGILHILWILDRLFFKCIYRRLKYGKRGPSKTGVPE
SMREEYRQEQQSAVDVDDGHFVNIELE
>gi|113494145|gb|ABI36005| /Human/7(MP)/H5N1/Indonesia/2005/07/8/ matrix protein 2 [Influenza A virus
(A/Indonesia/5/2005(H5N1))]
MSLLTEVETPTRNEWECRCSDDPLVVAASIIGILHILWILDRLFFKCIYRRLKYGKRGPSKTGVPE
SMREEYRQEQQSAVDVDDGHFVNIELE
>gi|157955867|gb|ABW06360| /Human/7(MP)/H5N1/Indonesia/2005/11/11/ matrix protein 2 [Influenza A virus
(A/Indonesia/175H/2005(H5N1))]
MSLLTEVETPTRNEWECRCSDDPLVVAASIIGILHILWILDRLFFKCIYRRLKYGKRGPSKTGVPE
SMREEYRQEQQSAVDVDDGHFVNIELE
>gi|113495471|gb|ABI36081| /Human/7(MP)/H5N1/Indonesia/2005/11/12/ matrix protein 2 [Influenza A virus
(A/Indonesia/CDC194P/2005(H5N1))]
MSLLTEVETPTRNEWECRCSDDPLVVAASIIGILHILWILDRLFFKCIYRRLKYGKRGPSKTGVPE
SMREEYRQEQQSAVDVDDGHFVNIELE
>gi|113495254|gb|ABI36059| /Human/7(MP)/H5N1/Indonesia/2005/11/8/ matrix protein 2 [Influenza A virus
(A/Indonesia/CDC184/2005(H5N1))]
MSLLTEVETPTRNEWECRCSDDPLVVAANIIGILHILWILDRLFFKCIYRRLKYGKRGPSKTGVPE

SMREEEYRQEQQSAVDVDDGHFVNIELE
>gi|113495477|gb|ABI36083| /Human/7(MP)/H5N1/Indonesia/2005/12/13/ matrix protein 2 [Influenza A virus (A/Indonesia/CDC287E/2005(H5N1))]
MSLLTEVETPTRNEWEEKCIDSSDPLAVAASIIGILHLILWILDRLFFKFIYRRRLKYGLKRGPSMAGVPE
SMREEEYRQEQQNAVDVDDGHFVNIELE
>gi|113495262|gb|ABI36061| /Human/7(MP)/H5N1/Indonesia/2005/12/15/ matrix protein 2 [Influenza A virus (A/Indonesia/CDC292T/2005(H5N1))]
MSLLTEVETPTRNEWEEKCIDSSDPLAVAASIIGILHLILWILDRLFFKFIYRRRLKYGLKRGPSMAGAPE
SMREEEYRQEQQNAVDVDDGHFVNIELE
>gi|157955703|gb|ABW06268| /Human/7(MP)/H5N1/Indonesia/2006// matrix protein 2 [Influenza A virus (A/Indonesia/292H/2006(H5N1))]
MSLLTEVETPTRNEWEEKCIDSSDPLAVAASIIGILHLILWILDRLFFKFIYRRRLKYGLKRGPSMAGVPE
SMREEEYRQEQQNAVDVDDGHFVNIELE
>gi|151336853|gb|ABS00906| /Human/7(MP)/H5N1/Indonesia/2006// M2 protein [Influenza A virus (A/Indonesia/CDC485/2006(H5N1))]
MSLLTEVETPTRNEWECRCSIDSSDPLVAASIIGILHLILWILDRLFFKCIYRRRLKYGLKRGPSKTGVPE
SMREEEYRQEQQSAVDVDDGHFVNIDLE
>gi|151336849|gb|ABS00904| /Human/7(MP)/H5N1/Indonesia/2006// M2 protein [Influenza A virus (A/Indonesia/CDC530/2006(H5N1))]
MSLLTEVETPTRNEWEEKCSDSSDPLVIAASIIGILHLILWIIDRLFFKCIYRRRLKYGLKRGPSTEGVPE
SMREEEYRQEQQSAVDVDDGHFVNIELE
>gi|151336847|gb|ABS00903| /Human/7(MP)/H5N1/Indonesia/2006// M2 protein [Influenza A virus (A/Indonesia/CDC535/2006(H5N1))]
MSLLTEVETPTRNEWEEKCSDSSDPLVIAASIIGILHLILWIIDRLFFKCIYRRRLKYGLKRGPSTEGVPE
SMREEEYRQEQQSAVDVDDGHFVNIELE
>gi|151336845|gb|ABS00902| /Human/7(MP)/H5N1/Indonesia/2006// M2 protein [Influenza A virus (A/Indonesia/CDC540/2006(H5N1))]
MSLLTEVETPTRNEWEEKCSDSSDPLVIAASIIGILHLILWIIDRLFFKCIYRRRLKYGLKRGPSTEGVPE
SMREEEYRQEQQSAVDVDDGHFVNIELE
>gi|151336855|gb|ABS00907| /Human/7(MP)/H5N1/Indonesia/2006// M2 protein [Influenza A virus (A/Indonesia/CDC561/2006(H5N1))]
MSLLTEVETPTRNEWEEKCIDSSDPLAVAASIIGILHLILWILDRLFFKFIYRRRLKYGLKRGPSMAGVPE
SMREEEYRQEQQNAVDVDDGHFVNIELE
>gi|113972333|gb|ABI49419| /Human/7(MP)/H5N1/Indonesia/2006// matrix protein 2 [Influenza A virus (A/Indonesia/CDC759/2006(H5N1))]
MSLLTEVETPTRNEWEEKCIDSSDPLAVAASIIGILHLILWILDRLFFKFIYRRRLKYGLKRGPSMAGVPE
SMREEEYRQEQQNAVDVDDGHFVNIELE
>gi|157955773|gb|ABW06306| /Human/7(MP)/H5N1/Indonesia/2006/01/14/ matrix protein 2 [Influenza A virus (A/Indonesia/283H/2006(H5N1))]
MSLLTEVETPTRNEWEEKCIDSSDPLAVAASIIGILHLILWILDRLFFKFIYRRRLKYGLKRGPSMAGVPE
SMREEEYRQEQQNAVDVDDGHFVNIELE
>gi|157955756|gb|ABW06297| /Human/7(MP)/H5N1/Indonesia/2006/01/14/ matrix protein 2 [Influenza A virus (A/Indonesia/286H/2006(H5N1))]
MSLLTEVETPTRNEWEEKCIDSSDPLAVAASIIGILHLILWILDRLFFKFIYRRRLKYGLKRGPSMAGVPE
SMREEEYRQEQQNAVDVDDGHFVNIELE
>gi|113495433|gb|ABI36069| /Human/7(MP)/H5N1/Indonesia/2006/01/14/ matrix protein 2 [Influenza A virus (A/Indonesia/CDC329/2006(H5N1))]
MSLLTEVETPTRNEWEEKCIDSSDPLAVAASIIGILHLILWILDRLFFKFIYRRRLKYGLKRGPSMAGVPE
SMREEEYRQEQQNAVDVDDGHFVNIELE
>gi|113495268|gb|ABI36063| /Human/7(MP)/H5N1/Indonesia/2006/01/15/ matrix protein 2 [Influenza A virus (A/Indonesia/CDC326/2006(H5N1))]
MSLLTEVETPTRNEWEEKCIDSSDPLAVAASIIGILHLILWILDRLFFKFIYRRRLKYGLKRGPSMAGVPE
SMREEEYRQEQQNAVDVDDGHFVNIELE
>gi|113495275|gb|ABI36065| /Human/7(MP)/H5N1/Indonesia/2006/01/16/ matrix protein 2 [Influenza A virus (A/Indonesia/CDC326T/2006(H5N1))]
MSLLTEVETPTRNEWEEKCIDSSDPLAVAASIIGILHLILWILDRLFFKFIYRRRLKYGLKRGPSMAGVPE
SMREEEYRQEQQNAVDVDDGHFVNIELE
>gi|113495427|gb|ABI36067| /Human/7(MP)/H5N1/Indonesia/2006/01/17/ matrix protein 2 [Influenza A virus (A/Indonesia/CDC326N/2006(H5N1))]
MSLLTEVETPTRNEWEEKCIDSSDPLAVAASIIGILHLILWILDRLFFKFIYRRRLKYGLKRGPSMAGVPE
SMREEEYRQEQQNAVDVDDGHFVNIELE
>gi|157955721|gb|ABW06278| /Human/7(MP)/H5N1/Indonesia/2006/01/30/ matrix protein 2 [Influenza A virus (A/Indonesia/304H/2006(H5N1))]
MSLLTEVETPTRNEWEEKCIDSSDPLAVAASIIGILHLILWILDRLFFKFIYRRRLKYGLKRGPSMAGVPE
SMREEEYRQEQQNAVDVDDGHFVNIELE
>gi|113495439|gb|ABI36071| /Human/7(MP)/H5N1/Indonesia/2006/01/30/ matrix protein 2 [Influenza A virus (A/Indonesia/CDC357/2006(H5N1))]

MSLLTEVETPTRNEWECKCIDSSDPLAVAANIIIGILHILWILDRLFFKFIYRRLKYGKRGPSKTGVPE
SMREEYRQEQQNAVDVDDGHFVNIELE
>gi|157955740|gb|ABW06289| /Human/7(MP)/H5N1/Indonesia/2006/02/03/ matrix protein 2 [Influenza A virus
(A/Indonesia/298H/2006(H5N1))]
MSLLTEVETPTRNEWECRCSDNDPLVAASIIGILHILWILDRLFFKCIYRRLKYGKRGPSKTGVPE
SMREEYRQEQQSAVDVDDGHFVNIELE
>gi|157955684|gb|ABW06257| /Human/7(MP)/H5N1/Indonesia/2006/02/10/ matrix protein 2 [Influenza A virus
(A/Indonesia/321H/2006(H5N1))]
MSLLTEVETPTRNEWECRCSDSSDPLVAASIIGILHILWILDRLFFKCIYRRLKYGKRGPSKTGVPE
SMREEYRQEQQSAVDVDDGHFVNIELE
>gi|113495452|gb|ABI36075| /Human/7(MP)/H5N1/Indonesia/2006/02/10/ matrix protein 2 [Influenza A virus
(A/Indonesia/CDC370/2006(H5N1))]
MSLLTEVETPTRNEWECRCSDSSDPLVAASIIGILHILWILDRLFFKCIYRRLKYGKRGPSKTGVPE
SMREEYRQEQQSAVDVDDGHFVNIELE
>gi|113495460|gb|ABI36077| /Human/7(MP)/H5N1/Indonesia/2006/02/10/ matrix protein 2 [Influenza A virus
(A/Indonesia/CDC370E/2006(H5N1))]
MSLLTEVETPTRNEWECRCSDSSDPLVAASIIGILHILWILDRLFFKCIYRRLKYGKRGPSKTGVPE
SMREEYRQEQQSAVDVDDGHFVNIELE
>gi|113495465|gb|ABI36079| /Human/7(MP)/H5N1/Indonesia/2006/02/20/ matrix protein 2 [Influenza A virus
(A/Indonesia/CDC390/2006(H5N1))]
MSLLTEVETPTRNEWECRCSDSSDPLVAASIIGILHILWILDRLFFKCIYRRLKYGKRGPSKTGVPE
SMREEYRQEQQSAVDVDDGHFVNIELE
>gi|157955665|gb|ABW06246| /Human/7(MP)/H5N1/Indonesia/2006/02/21/ matrix protein 2 [Influenza A virus
(A/Indonesia/341H/2006(H5N1))]
MSLLTEVETPTRNEWECRCSDSSDPLVAASIIGILHILWILDRLFFKCIYRRLKYGKRGPSKTGVPE
SMREEYRQEQQSAVDVDDGHFVNIELE
>gi|113496065|gb|ABI36202| /Human/7(MP)/H5N1/Indonesia/2006/03/23/ matrix protein 2 [Influenza A virus
(A/Indonesia/CDC523/2006(H5N1))]
MSLLTEVETPTRNEWECKCIDSSDPLAVAASIIGILHILWILDRLFFKFIYRRLKYGKRGPSKTGVPE
SMREEYRQEQQNAVDVDDGHFVNIELE
>gi|113496411|gb|ABI36277| /Human/7(MP)/H5N1/Indonesia/2006/03/23/ matrix protein 2 [Influenza A virus
(A/Indonesia/CDC523E/2006(H5N1))]
MSLLTEVETPTRNEWECKCIDSSDPLAVAASIIGILHILWILDRLFFKFIYRRLKYGKRGPSKTGVPE
SMREEYRQEQQNAVDVDDGHFVNIELE
>gi|113496512|gb|ABI36297| /Human/7(MP)/H5N1/Indonesia/2006/04/26/ matrix protein 2 [Influenza A virus
(A/Indonesia/CDC582/2006(H5N1))]
MSLLTEVETPTRNEWECKCIDSSDPLAVAASIIGILHILWILDRLFFKCIYRRLKYGKRGPSKTGVPE
SMREEYRQEQQNAVDVDDGHFVNIELE
>gi|157955646|gb|ABW06235| /Human/7(MP)/H5N1/Indonesia/2006/05/09/ matrix protein 2 [Influenza A virus
(A/Indonesia/534H/2006(H5N1))]
MSLLTEVETPTRNEWECRCSDSSDPLVAANIIIGILHILWILDRLFFKFIYRRLKYGKRGPSKTGVPE
SMREEYRQEQQSAVDVDDGHFVNIELE
>gi|157955570|gb|ABW06191| /Human/7(MP)/H5N1/Indonesia/2006/05/09/ matrix protein 2 [Influenza A virus
(A/Indonesia/536H/2006(H5N1))]
MSLLTEVETPTRNEWECRCSDSSDPLVAANIIIGILHILWILDRLFFKFIYRRLKYGKRGPSKTGVPE
SMREEYRQEQQSAVDVDDGHFVNIELE
>gi|157955608|gb|ABW06213| /Human/7(MP)/H5N1/Indonesia/2006/05/09/ matrix protein 2 [Influenza A virus
(A/Indonesia/538H/2006(H5N1))]
MSLLTEVETPTRNEWECRCSDSSDPLVAANIIIGILHILWILDRLFFKFIYRRLKYGKRGPSKTGVPE
SMREEYRQEQQSAVDVDDGHFVNIELE
>gi|157955534|gb|ABW06171| /Human/7(MP)/H5N1/Indonesia/2006/05/10/ matrix protein 2 [Influenza A virus
(A/Indonesia/542H/2006(H5N1))]
MSLLTEVETPTRNEWECKCIDSSDPLAVAASIIGILHILWILDRLFFKFIYRRLKYGKRGPSMAGVPE
SMREEYRQEQQNAVDVDDGHFVNIELE
>gi|113495920|gb|ABI36170| /Human/7(MP)/H5N1/Indonesia/2006/05/10/ matrix protein 2 [Influenza A virus
(A/Indonesia/CDC596/2006(H5N1))]
MSLLTEVETPTRNEWECRCSDSSDPLVAANIIIGILHILWILDRLFFKFIYRRLKYGKRGPSKTGVPE
SMREEYRQEQQSAVDVDDGHFVNIELE
>gi|113495971|gb|ABI36181| /Human/7(MP)/H5N1/Indonesia/2006/05/10/ matrix protein 2 [Influenza A virus
(A/Indonesia/CDC597/2006(H5N1))]
MSLLTEVETPTRNEWECRCSDSSDPLVAANIIIGILHILWILDRLFFKFIYRRLKYGKRGPSKTGVPE
SMREEYRQEQQSAVDVDDGHFVNIELE
>gi|113496014|gb|ABI36191| /Human/7(MP)/H5N1/Indonesia/2006/05/11/ matrix protein 2 [Influenza A virus
(A/Indonesia/CDC599/2006(H5N1))]
MSLLTEVETPTRNEWECRCSDSSDPLVAANIIIGILHILWILDRLFFKFIYRRLKYGKRGPSKTGVPE
SMREEYRQEQQSAVDVDDGHFVNIELE

>gi|113496580|gb|ABI36313| /Human/7(MP)/H5N1/Indonesia/2006/05/11/ matrix protein 2 [Influenza A virus (A/Indonesia/CDC610/2006(H5N1))]
MSLLTEVETPTRNEWECKCIDSSDPLAVAASIIGILHLILWIDLRLFFKFIYRRLKYGKRGPSMAGVPE
SMREEYRQEQQNAVDVDDGHFVNIELE
>gi|113497139|gb|ABI36425| /Human/7(MP)/H5N1/Indonesia/2006/05/12/ matrix protein 2 [Influenza A virus (A/Indonesia/CDC599N/2006(H5N1))]
MSLLTEVETPTRNEWECRCSDSSDPLVVAANIIGILHLILWIDLRLFFKFIYRRLKYGKRGPSKTGVPE
SMREEYRQEQQSAVDVDDGHFVNIELE
>gi|113496634|gb|ABI36324| /Human/7(MP)/H5N1/Indonesia/2006/05/18/ matrix protein 2 [Influenza A virus (A/Indonesia/CDC623/2006(H5N1))]
MSLLTEVETPTRNEWECRCSDSSDPLVVAASIIGILHLILWIDLRLFFKCIYRRLKYGKRGPSKTGVPE
SMREEYRQEQQSAVDVDDGHFVNIELE
>gi|113496684|gb|ABI36335| /Human/7(MP)/H5N1/Indonesia/2006/05/19/ matrix protein 2 [Influenza A virus (A/Indonesia/CDC623E/2006(H5N1))]
MSLLTEVETPTRNEWECRCSDSSDPLVVAASIIGILHLILWIDLRLFFKCIYRRLKYGKRGPSKTGVPE
SMREEYRQEQQSAVDVDDGHFVNIELE
>gi|113496731|gb|ABI36346| /Human/7(MP)/H5N1/Indonesia/2006/05/19/ matrix protein 2 [Influenza A virus (A/Indonesia/CDC624/2006(H5N1))]
MSLLTEVETPTRNEWECRCSDSSDPLVVAASIIGILHLILWIDLRLFFKCIYRRLKYGKRGPSKTGVPE
SMREEYRQEQQSAVDVDDGHFVNIELE
>gi|113496787|gb|ABI36357| /Human/7(MP)/H5N1/Indonesia/2006/05/19/ matrix protein 2 [Influenza A virus (A/Indonesia/CDC624E/2006(H5N1))]
MSLLTEVETPTRNEWECRCSDSSDPLVVAASIIGILHLILWIDLRLFFKCIYRRLKYGKRGPSKTGVPE
SMREEYRQEQQSAVDVDDGHFVNIELE
>gi|15795517|gb|ABW06162| /Human/7(MP)/H5N1/Indonesia/2006/05/20/ matrix protein 2 [Influenza A virus (A/Indonesia/560H/2006(H5N1))]
MSLLTEVETPTRNEWECRCSDSSDPLVVAANIIGILHLILWIDLRLFFKFIYRRLKYGKRGPSTAGVPE
SMREEYQEQQQSAVDVDDGHFVNIELE
>gi|113496868|gb|ABI36368| /Human/7(MP)/H5N1/Indonesia/2006/05/21/ matrix protein 2 [Influenza A virus (A/Indonesia/CDC625/2006(H5N1))]
MSLLTEVETPTRNEWECRCSDSSDPLVVAANIIGILHLILWIDLRLFFKFIYRRLKYGKRGPSTAGVPE
SMREEYRQEQQSAVDVDDGHFVNIELE
>gi|113497080|gb|ABI36412| /Human/7(MP)/H5N1/Indonesia/2006/05/22/ matrix protein 2 [Influenza A virus (A/Indonesia/CDC625L/2006(H5N1))]
MSLLTEVETPTRNEWECRCSDSSDPLVVAANIIGILHLILWIDLRLFFKCIYRRLKYGKRGPSTAGVPE
SMREEYRQEQQSAVDVDDGHFVNIELE
>gi|113496919|gb|ABI36379| /Human/7(MP)/H5N1/Indonesia/2006/05/23/ matrix protein 2 [Influenza A virus (A/Indonesia/CDC634/2006(H5N1))]
MSLLTEVETPTRNEWECKCIDSSDPLAVAASIIGILHLILWIDLRLFFKFIYRRLKYGKRGPSTAGVPE
SMREEYRQEQQNAVDVDDGHFVNIELE
>gi|113496970|gb|ABI36390| /Human/7(MP)/H5N1/Indonesia/2006/05/23/ matrix protein 2 [Influenza A virus (A/Indonesia/CDC634P/2006(H5N1))]
MSLLTEVETPTRNEWECKCIDSSDPLAVAASIIGILHLILWIDLRLFFKFIYRRLKYGKRGPSTAGVPE
SMREEYRQEQQNAVDVDDGHFVNIELE
>gi|113497022|gb|ABI36401| /Human/7(MP)/H5N1/Indonesia/2006/05/23/ matrix protein 2 [Influenza A virus (A/Indonesia/CDC634T/2006(H5N1))]
MSLLTEVETPTRNEWECKCIDSSDPLAVAASIIGILHLILWIDLRLFFKFIYRRLKYGKRGPSTAGVPE
SMREEYRQEQQNAVDVDDGHFVNIELE
>gi|157955627|gb|ABW06224| /Human/7(MP)/H5N1/Indonesia/2006/05/29/ matrix protein 2 [Influenza A virus (A/Indonesia/567H/2006(H5N1))]
MSLLTEVETPTRNEWECKCIDSSDPLAVAASIIGILHLILWIDLRLFFKFIYRRLKYGKRGPSTAGVPE
SMREEYRQEQQNAVDVDDGHFVNIELE
>gi|113497322|gb|ABI36464| /Human/7(MP)/H5N1/Indonesia/2006/05/29/ matrix protein 2 [Influenza A virus (A/Indonesia/CDC644T/2006(H5N1))]
MSLLTEVETPTRNEWECKCIDSSDPLAVAASIIGILHLILWIDLRLFFKFIYRRLKYGKRGPSTAGVPE
SMREEYRQEQQNAVDVDDGHFVNIELE
>gi|113497369|gb|ABI36475| /Human/7(MP)/H5N1/Indonesia/2006/05/30/ matrix protein 2 [Influenza A virus (A/Indonesia/CDC644/2006(H5N1))]
MSLLTEVETPTRNEWECRCSDSSDPLAVAASIIGILHLILWIDLRLFFKFIYRRLKYGKRGPSTAGVPE
SMREEYRQEQQNAVDVDDGHFVNIELE
>gi|113495802|gb|ABI36148| /Human/7(MP)/H5N1/Indonesia/2006/05/9/ matrix protein 2 [Influenza A virus (A/Indonesia/CDC594/2006(H5N1))]
MSLLTEVETPTRNEWECRCSDSSDPLVVAANIIGILHLILWIDLRLFFKFIYRRLKYGKRGPSTAGVPE
SMREEYRQEQQSAVDVDDGHFVNIELE
>gi|113495863|gb|ABI36159| /Human/7(MP)/H5N1/Indonesia/2006/05/9/ matrix protein 2 [Influenza A virus (A/Indonesia/CDC595/2006(H5N1))]
MSLLTEVETPTRNEWECRCSDSSDPLVVAANIIGILHLILWIDLRLFFKFIYRRLKYGKRGPSTAGVPE

SMREEYRQEQQSAVDVDDGHFVNIELE
>gi|157955461|gb|ABW06130| /Human/7(MP)/H5N1/Indonesia/2006/06/01/ matrix protein 2 [Influenza A virus (A/Indonesia/569H/2006(H5N1))]
MSLLTEVETPTRNEWECRCSDSSDPLVVAASIIGILHLILWILDRLFFKCIYRRLKYGKRGPSKTGVPE
SMREEYRQEQQSAVDVDDGHFVNIELE
>gi|157955442|gb|ABW06119| /Human/7(MP)/H5N1/Indonesia/2006/06/13/ matrix protein 2 [Influenza A virus (A/Indonesia/583H/2006(H5N1))]
MSLLTEVETPTRNEWEC CIDSSDPLAVAASIIGILHLILWILDRLFFKFIYRRLKYGKRGPSMAGVPE
SMREEYRQEQQNAVDVDDGHFVNIELE
>gi|113497189|gb|ABI36434| /Human/7(MP)/H5N1/Indonesia/2006/06/13/ matrix protein 2 [Influenza A virus (A/Indonesia/CDC669/2006(H5N1))]
MSLLTEVETPTRNEWEC CIDSSDPLAVAASIIGILHLILWILDRLFFKFIYRRLKYGKRGPSMAGVPE
SMREEYRQEQQNAVDVDDGHFVNIELE
>gi|113497239|gb|ABI36445| /Human/7(MP)/H5N1/Indonesia/2006/06/13/ matrix protein 2 [Influenza A virus (A/Indonesia/CDC669P/2006(H5N1))]
MSLLTEVETPTRNEWEC CIDSSDPLAVAASIIGILHLILWILDRLFFKFIYRRLKYGKRGPSMAGVPE
SMREEYRQEQQNAVDVDDGHFVNIELE
>gi|113497291|gb|ABI36456| /Human/7(MP)/H5N1/Indonesia/2006/07/6/ matrix protein 2 [Influenza A virus (A/Indonesia/CDC669/2006(H5N1))]
MSLLTEVETPTRNEWEC CIDSSDPLAVAASIIGILHLILWILDRLFFKFIYRRLKYGKRGPSMAGVPE
SMREEYRQEQQNAVDVDDGHFVNIELE
>gi|113972300|gb|ABI49400| /Human/7(MP)/H5N1/Indonesia/2006/08/5/ matrix protein 2 [Influenza A virus (A/Indonesia/CDC739/2006(H5N1))]
MSLLTEVETPTRNEWEC CIDSSDPLAVAASIIGILHLILWILDRLFFKFIYRRLKYGKRGPSMAGVPE
SMREEYRQEQQNAVDVDDGHFVNIELE
>gi|118864148|gb|ABL31748| /Human/7(MP)/H5N1/Indonesia/2006/09/22/ matrix protein 2 [Influenza A virus (A/Indonesia/CDC835/2006(H5N1))]
MSLLTEVETPTRNEWEC CIDSSDPLAVAASIVIGILHLILWILDRLFFKFIYRRLKYGKRGPSMAGVPE
SMREEYRQEQQNAVDVDDGHFVNIELE
>gi|118864196|gb|ABL31759| /Human/7(MP)/H5N1/Indonesia/2006/09/24/ matrix protein 2 [Influenza A virus (A/Indonesia/CDC836/2006(H5N1))]
MSLLTEVETPTRNEWEC CIDSSDPLAVAASIIGILHLILWILDRLFFKFIYRRLKYGKRGPSMAGVPE
SMREEYRQEQQNAVDVDDGHFVNIELE
>gi|118864243|gb|ABL31770| /Human/7(MP)/H5N1/Indonesia/2006/09/24/ matrix protein 2 [Influenza A virus (A/Indonesia/CDC836T/2006(H5N1))]
MSLLTEVETPTRNEWEC CIDSSDPLAVAASIIGILHLILWILDRLFFKFIYRRLKYGKRGPSMAGVPE
SMREEYRQEQQNAVDVDDGHFVNIELE
>gi|118864401|gb|ABL31784| /Human/7(MP)/H5N1/Indonesia/2006/10/14/ matrix protein 2 [Influenza A virus (A/Indonesia/CDC887/2006(H5N1))]
MSLLTEVETPTRNEWEC CIDSSDPLAVAASIIGILHLILWILDRLFFKFIYRRLKYGDLKRGPSTAGVPE
SMREEYRQEQQNAVDVDDGHFVNIELE
>gi|118574877|gb|ABL07012| /Human/7(MP)/H5N1/Indonesia/2006/11/10/ matrix protein 2 [Influenza A virus (A/Indonesia/CDC938/2006(H5N1))]
MSLLTEVETPTRNEWEC CIDSSDPLAVAASIIGILHLILWIIDRLFFKFIYRRLKYGDLKRGPSTAGVPE
SMREEYRQEQQNAVDVDDGHFVNIELE
>gi|118574896|gb|ABL07023| /Human/7(MP)/H5N1/Indonesia/2006/11/10/ matrix protein 2 [Influenza A virus (A/Indonesia/CDC938E/2006(H5N1))]
MSLLTEVETPTRNEWEC CIDSSDPLAVAASIIGILHLILWIIDRLFFKFIYRRLKYGDLKRGPSTAGVPE
SMREEYRQEQQNAVDVDDGHFVNIELE
>gi|118574915|gb|ABL07034| /Human/7(MP)/H5N1/Indonesia/2006/11/12/ matrix protein 2 [Influenza A virus (A/Indonesia/CDC940/2006(H5N1))]
MSLLTEVETPTRNEWEC CIDSSDPLAVAASIIGILHLILWIIDRLFFKFIYRRLKYGKRGPSMAGVPE
SMREEYRQEQQNAVDVDDGHFVNIELE
>gi|124099013|gb|ABM90515| /Human/7(MP)/H5N1/Indonesia/2007/01/11/ matrix protein 2 [Influenza A virus (A/Indonesia/CDC1046/2007(H5N1))]
MSLLTEVETPTRNEWEC CIDSSDPLAVAANIIGILHLILWILDRLFFKFIYRRLKYGKRGPSTAGVPE
SMREEYRQEQQNAVDVDDGHFVNIELE
>gi|124099035|gb|ABM90526| /Human/7(MP)/H5N1/Indonesia/2007/01/11/ matrix protein 2 [Influenza A virus (A/Indonesia/CDC1046T/2007(H5N1))]
MSLLTEVETPTRNEWEC CIDSSDPLAVAANIIGILHLILWILDRLFFKFIYRRLKYGKRGPSTAGVPE
SMREEYRQEQQNAVDVDDGHFVNIELE
>gi|124099062|gb|ABM90537| /Human/7(MP)/H5N1/Indonesia/2007/01/12/ matrix protein 2 [Influenza A virus (A/Indonesia/CDC1047/2007(H5N1))]
MSLLTEVETPTRNEWEC CIDSSDPLAVAANIIGILHLILWILDRLFFKFIYRRLKYGKRGPSTAGVPE
SMREEYRQEQQNAVDVDDGHFVNIELE
>gi|124099087|gb|ABM90548| /Human/7(MP)/H5N1/Indonesia/2007/01/12/ matrix protein 2 [Influenza A virus (A/Indonesia/CDC1047S/2007(H5N1))]

MSLLTEVETPTRNEWECRCIDSSDPLAVAANIIGILHLILWILDRLFFKFIYRRLKYGLKRGPSTAGVPE
SMREEYRQEQQNAVDVDDGHFVNIELE
>gi|124098586|gb|ABM90438| /Human/7(MP)/H5N1/Indonesia/2007/01/5/ matrix protein 2 [Influenza A virus
(A/Indonesia/CDC1031/2007(H5N1))]
MSLLTEVETPTRNEWECCKCIDSSDPLAVAASIIGILHLILWILDRLFFKFIYRRLKYDLKRGPSTAGVPE
SMREEYRQEQQNAVDVDDGHFVNIELE
>gi|124098911|gb|ABM90471| /Human/7(MP)/H5N1/Indonesia/2007/01/5/ matrix protein 2 [Influenza A virus
(A/Indonesia/CDC1031RE2/2007(H5N1))]
MSLLTEVETPTRNEWECCKCIDSSDPLAVAASIIGILHLILWILDRLFFKFIYRRLKYDLKRGPSTAGVPE
SMREEYRQEQQNAVDVDDGHFVNIELE
>gi|124098857|gb|ABM90449| /Human/7(MP)/H5N1/Indonesia/2007/01/5/ matrix protein 2 [Influenza A virus
(A/Indonesia/CDC1031T/2007(H5N1))]
MSLLTEVETPTRNEWECCKCIDSSDPLAVAASIIGILHLILWILDRLFFKFIYRRLKYDLKRGPSTAGVPE
SMREEYRQEQQNAVDVDDGHFVNIELE
>gi|124098886|gb|ABM90460| /Human/7(MP)/H5N1/Indonesia/2007/01/6/ matrix protein 2 [Influenza A virus
(A/Indonesia/CDC1031T2/2007(H5N1))]
MSLLTEVETPTRNEWECCKCIDSSDPLAVAASIIGILHLILWILDRLFFKFIYRRLKYDLKRGPSTAGVPE
SMREEYRQEQQNAVDVDDGHFVNIELE
>gi|124098961|gb|ABM90493| /Human/7(MP)/H5N1/Indonesia/2007/01/7/ matrix protein 2 [Influenza A virus
(A/Indonesia/CDC1032N/2007(H5N1))]
MSLLTEVETPTRNEWECCKCIDSSDPLAVAASIIGILHLILWILDRLFFKFIYRRLKYDLKRGPSTAGVPE
SMREEYRQEQQNAVDVDDGHFVNIELE
>gi|124098988|gb|ABM90504| /Human/7(MP)/H5N1/Indonesia/2007/01/7/ matrix protein 2 [Influenza A virus
(A/Indonesia/CDC1032T/2007(H5N1))]
MSLLTEVETPTRNEWECCKCIDSSDPLAVAASIIGILHLILWILDRLFFKFIYRRLKYDLKRGPSTAGVPE
SMREEYRQEQQNAVDVDDGHFVNIELE



Lampiran 4. *Multiple Sequence Alignments Hemagglutinin (HA), Neuraminidase (NA), dan matrik 2 (M2)*

Hemagglutinin (HA)

gi	1188643	RRI ENLNKKM	EDGFLDWWTY	NAELLVLMEN	ERTLDFHDSN	VKNLYDKVRL	QLRDNAKELG
gi	1240989	RRI ENLNKKM	EDGFLDWWTY	NAELLVLMEN	ERTLDFHDSN	VKNLYDKVRL	QLRDNAKELG
gi	1134960	RRI ENLNKKM	EDGFLDWWTY	NAELLVLMEN	ERTLDFHDSN	VKNLYDKVRL	QLRDNAKELG
gi	1188641	RRI ENLNKKM	EDGFLDWWTY	NAELLVLMEN	ERTLDFHDSN	VKNLYDKVRL	QLRDNAKELG
gi	1188642	RRI ENLNKKM	EDGFLDWWTY	NAELLVLMEN	ERTLDFHDSN	VKNLYDKVRL	QLRDNAKELG
gi	1188643	RRI ENLNKKM	EDGFLDWWTY	NAELLVLMEN	ERTLDFHDSN	VKNLYDKVRL	QLRDNAKELG
gi	1134971	RRI ENLNKKM	EDGFLDWWTY	NAELLVLMEN	ERTLDFHDSN	VKNLYDKVRL	QLRDNAKELG
gi	1134972	RRI ENLNKKM	EDGFLDWWTY	NAELLVLMEN	ERTLDFHDSN	VKNLYDKVRL	QLRDNAKELG
gi	1185749	RRI ENLNKKM	EDGFLDWWTY	NAELLVLMEN	ERTLDFHDSN	VKNLYDKVRL	QLRDNAKELG
gi	1134972	RRI ENLNKKM	EDGFLDWWTY	NAELLVLMEN	ERTLDFHDSN	VKNLYDKVRL	QLRDNAKELG
gi	1188642	RRI ENLNKKM	EDGFLDWWTY	NAELLVLMEN	ERTLDFHDSN	VKNLYDKVRL	QLRDNAKELG
gi	1579557	RRI ENLNKKM	EDGFLDWWTY	NAELLVLMEN	ERTLDFHDSN	VKNLYDKVRL	QLRDNAKELG
gi	1579557	RRI ENLNKKM	EDGFLDWWTY	NAELLVLMEN	ERTLDFHDSN	VKNLYDKVRL	QLRDNAKELG
gi	1586048	RRI ENLNKKM	EDGFLDWWTY	NAELLVLMEN	ERTLDFHDSN	VKNLYDKVRL	QLRDNAKELG
gi	1452844	RRI ENLNKKM	EDGFLDWWTY	NAELLVLMEN	ERTLDFHDSN	VKNLYDKVRL	QLRDNAKELG
gi	1586048	RRI ENLNKKM	EDGFLDWWTY	NAELLVLMEN	ERTLDFHDSN	VKNLYDKVRL	QLRDNAKELG
gi	1579554	RRI ENLNKKM	EDGFLDWWTY	NAELLVLMEN	ERTLDFHDSN	VKNLYDKVRL	QLRDNAKELG
gi	1586048	RRI ENLNKKM	EDGFLDWWTY	NAELLVLMEN	ERTLDFHDSN	VKNLYDKVRL	QLRDNAKELG
gi	1586048	RRI ENLNKKM	EDGFLDWWTY	NAELLVLMEN	ERTLDFHDSN	VKNLYDKVRL	QLRDNAKELG
gi	1579558	RRI ENLNKKM	EDGFLDWWTY	NAELLVLMEN	ERTLDFHDSN	VKNLYDKVRL	QLRDNAKELG
gi	1579558	RRI ENLNKKM	EDGFLDWWTY	NAELLVLMEN	ERTLDFHDSN	VKNLYDKVRL	QLRDNAKELG
gi	1579558	RRI ENLNKKM	EDGFLDWWTY	NAELLVLMEN	ERTLDFHDSN	VKNLYDKVRL	QLRDNAKELG
gi	1579555	RRI ENLNKKM	EDGFLDWWTY	NAELLVLMEN	ERTLDFHDSN	VKNLYDKVRL	QLRDNAKELG
gi	1579556	RRI ENLNKKM	EDGFLDWWTY	NAELLVLMEN	ERTLDFHDSN	VKNLYDKVRL	QLRDNAKELG
gi	1134958	RRI ENLNKKM	EDGFLDWWTY	NAELLVLMEN	ERTLDFHDSN	VKNLYDKVRL	QLRDNAKELG
gi	1134959	RRI ENLNKKM	EDGFLDWWTY	NAELLVLMEN	ERTLDFHDSN	VKNLYDKVRL	QLRDNAKELG
gi	1579554	RRI ENLNKKM	EDGFLDWWTY	NAELLVLMEN	ERTLDFHDSN	VKNLYDKVRL	QLRDNAKELG
gi	1134957	RRI ENLNKKM	EDGFLDWWTY	NAELLVLMEN	ERTLDFHDSN	VKNLYDKVRL	QLRDNAKELG
gi	1134970	RRI ENLNKKM	EDGFLDWWTY	NAELLVLMEN	ERTLDFHDSN	VKNLYDKVRL	QLRDNAKELG
gi	1134958	RRI ENLNKKM	EDGFLDWWTY	NAELLVLMEN	ERTLDFHDSN	VKNLYDKVRL	QLRDNAKELG
gi	1579555	RRI ENLNKKM	EDGFLDWWTY	NAELLVLMEN	ERTLDFHDSN	VKNLYDKVRL	QLRDNAKELG
Cl ustal Co		*****	*****	*****	*****	*****	*****

Neuraminidase (NA)

			5	15	25	35	45	55
gi 1579556	MNPNQK1	I	TI	GSI CMVVGIV	SLMLOI GNM	SI WVSHSI OT	GNOHOAESI S	NTNPLTEKAV
gi 1579556	MNPNQK1	I	TI	GSI CMVI GI V	SLMLOI GNM	SI WVSHSI OT	GNOHOAESI S	NTNPLTEKAV
gi 1579558	MNPNQK1	I	TI	GSI CMVI GI V	SLMLOI GNM	SI WVSHSI OT	GNOHOAESI S	NTNPLTEKAV
gi 1579556	MNPNQK1	I	TI	GSI CMVI GI V	SLMLOI GNM	SI WVSHSI OT	GNOHOAESI S	NTNPLTEKAV
gi 1579555	MNPNQK1	I	TI	GSI CMVI GI V	SLMLOI GNM	SI WVSHSI OT	GNOHOAESI S	NTNPLTEKAV
gi 1139722	MNPNQK1	I	TI	GSI CMVI GI V	SLMLOI GNM	SI WVSHSI OT	GNOHOAESI S	NTNPLTEKAV
gi 1188641	MNPNQK1	I	TI	GSI CMVI GI V	SLMLOI GNM	SI WVSHSI OT	GNOHOAESI S	NTNPLTEKAV
gi 1188642	MNPNQK1	I	TI	GSI CMVI GI V	SLMLOI GNM	SI WVSHSI OT	GNOHOAESI S	NTNPLTEKAV
gi 1579558	MNPNQK1	I	TI	GSI CMVI GI V	SLMLOI GNM	SI WVSHSI OT	GNOHOAESI S	NTNPLTEKAV
gi 1579557	MNPNQK1	I	TI	GSI CMVI GI V	SLMLOI GNM	SI WVSHSI OT	GNOHOAESI S	NTNPLTEKAV
gi 1579554	MNPNQK1	I	TI	GSI CMVI GI V	SLMLOI GNM	SI WVSHSI OT	GNOHOAESI S	NTNPLTEKAV

		65	75	85	95	105	115
gi 1579556	ASVTLAGNSS	LCPI RGWAVY	SKDNNI RI GS	KGDVFVI REP	FI SCSHLECR	FFLTOGALL	
gi 1579556	ASVTLAGNSS	LCPI RGWAVH	SKDNNI RI GS	KGDVFVI REP	FI SCSHLECR	FFLTOGALL	
gi 1579558	ASVTLAGNSS	LCPI RGWAHV	SKDNNI RI GS	KGDVFVI REP	FI SCSHLECR	FFLTOGALL	
gi 1579556	ASVTLAGNSS	LCPI RGWAVH	SKDNNI RI GS	KGDVFVI REP	FI SCSHLECR	FFLTOGALL	
gi 1579555	ASVTLAGNSS	LCPI RGWAVH	SKDNNI RI GS	KGDVFVI REP	FI SCSHLECR	FFLTOGALL	
gi 1139722	ASVTLAGNSS	LCPI RGWAVH	SKDNNI RI GS	KGDVFVI REP	FI SCSHLECR	FFLTOGALL	
gi 1188641	ASVTLAGNSS	LCPI RGWAVH	SKDNNI RI GS	KGDVFVI REP	FI SCSHLECR	FFLTOGALL	
gi 1188642	ASVTLAGNSS	LCPI RGWAVH	SKDNNI RI GS	KGDVFVI REP	FI SCSHLECR	FFLTOGALL	
gi 1579558	ASVTLAGNSS	LCPI RGWAVH	SKDNNI RI GS	KGDVFVI REP	FI SCSHLECR	FFLTOGALL	
gi 1579557	ASVTLAGNSS	LCPI RGWAVH	SKDNNI RI GS	KGDVFVI REP	FI SCSHLECR	FFLTOGALL	
gi 1579554	ASVTLAGNSS	LCPI RGWAVH	SKDNNI RI GS	KGDVFVI REP	FI SCSHLECR	FFLTOGALL	
gi 1134971	ASVTLAGNSS	LCPI RGWAVH	SKDNNI RI GS	KGDVFVI REP	FI SCSHLECR	FFLTOGALL	
gi 1134972	ASVTLAGNSS	LCPI RGWAVH	SKDNNI RI GS	KGDVFVI REP	FI SCSHLECR	FFLTOGALL	
gi 1240990	VSVTLAGNSS	LCPI RGWAVH	SKDNNI RI GS	KGDVFVI REP	FI SCSHLECR	FFLTOGALL	
gi 1240990	VSVTLAGNSS	LCPI RGWAVH	SKDNNI RI GS	KGDVFVI REP	FI SCSHLECR	FFLTOGALL	
gi 1240990	VSVTLAGNSS	LCPI RGWAVH	SKDNNI RI GS	KGDVFVI REP	FI SCSHLECR	FFLTOGALL	
gi 1579557	ASVTLTGNSS	LCPI RGWAVH	SKDNNI RI GS	KGDVFVI REP	FI SCSHLECR	FFLTOGALL	
gi 1579557	ASVTLTGNSS	LCPI RGWAVH	SKDNNI RI GS	KGDVFVI REP	FI SCSHLECR	FFLTOGALL	
gi 1134965	ASVTLAGNSS	LCPI RGWAVH	SKDNNI RI GS	KGDVFVI REP	FI SCSHLECR	FFLTOGALL	
gi 1188641	ASVTLAGNSS	LCPI RGWAVH	SKDNNI RI GS	KGDVFVI REP	FI SCSHLECR	FFLTOGALL	
gi 1139723	ASVTLAGNSS	LCPI RGWAVH	SKDNNI RI GS	KGDVFVI REP	FI SCSHLECR	FFLTRGALL	

185 195 205 215 225 235

...|365|...|375|...|385|...|395|...|405|...|415|...

		425	435	445
gi	1579556	SSI SF CGVNS	DTVSWSPDG	AELPFTMT-
gi	1579556	SSI SF CGVNS	DTVSWSPDG	AELPFTI D-
gi	1579558	SSI SF CGVNS	DTVSWSPDG	AELPFTI DK
gi	1579556	SSI SF CGVNS	DTVSWSPDG	AELPFTI DK
gi	1579555	SSI SF CGVNS	DTVSWSPDG	AELPFTI DK
gi	1139722	SSI SF CGVNS	DTVSWSPDG	AELPFTI DK
gi	1188641	SSI SF CGVNS	DTVSWSPDG	AELPFTI DK
gi	1188642	SSI SF CGVNS	DTVSWSPDG	AELPFTI DK
gi	1579558	SSI SF CGVNS	DTVSWSPDG	AELPFTI DK
gi	1579557	SSI SF CGVNS	DTVSWSPDG	AELPFTI DK
gi	1579554	SSI SF CGVNS	DTVSWSPDG	AELPFTI DK

Protein Matrik 2 (M2)

gi 1134969	RGPSTAGVPE	SMREEYRQE	QNAVDVDDGH	FVNI ELE
gi 1134970	RGPSTAGVPE	SMREEYRQE	QNAVDVDDGH	FVNI ELE
gi 1579556	RGPSTAGVPE	SMREEYRQE	QNAVDVDDGH	FVNI ELE
gi 1134973	RGPSTAGVPE	SMREEYRQE	QNAVDVDDGH	FVNI ELE
gi 1134972	RGPSTAGVPE	SMREEYRQE	QNAVDVDDGH	FVNI ELE
gi 1579557	RGPSTAGAPE	SMREEYRQE	QNAVDVDDGH	FVNI ELE
gi 1134952	RGPSTAGAPE	SMREEYRQE	QNAVDVDDGH	FVNI ELE
gi 1188642	RGPSTMAGVPE	SMREEYRQE	QNAVDVDDGH	FVNI ELE
gi 1185749	RGPSTMAGVPE	SMREEYRQE	QNAVDVDDGH	FVNI ELE
gi 1188641	RGPSTMAGVPE	SMREEYRQE	QNAVDVDDGH	FVNI ELE
gi 1139723	RGPSTMAGVPE	SMREEYRQE	QNAVDVDDGH	FVNI ELE
gi 1134972	RGPSTMAGVPE	SMREEYRQE	QNAVDVDDGH	FVNI ELE
gi 1134971	RGPSTMAGVPE	SMREEYRQE	QNAVDVDDGH	FVNI ELE
gi 1579554	RGPSTMAGVPE	SMREEYRQE	QNAVDVDDGH	FVNI ELE
gi 1579557	RGPSTMAGVPE	SMREEYRQE	QNAVDVDDGH	FVNI ELE
gi 1579557	RGPSTMAGVPE	SMREEYRQE	QNAVDVDDGH	FVNI ELE
gi 1134954	RGPSTMAGVPE	SMREEYRQE	QNAVDVDDGH	FVNI ELE
gi 1134952	RGPSTMAGVPE	SMREEYRQE	QNAVDVDDGH	FVNI ELE
gi 1134954	RGPSTMAGVPE	SMREEYRQE	QNAVDVDDGH	FVNI ELE
gi 1579555	RGPSTMAGVPE	SMREEYRQE	QNAVDVDDGH	FVNI ELE
gi 1134965	RGPSTMAGVPE	SMREEYRQE	QNAVDVDDGH	FVNI ELE
gi 1139723	RGPSTMAGVPE	SMREEYRQE	QNAVDVDDGH	FVNI ELE
gi 1579557	RGPSTMAGVPE	SMREEYRQE	QNAVDVDDGH	FVNI ELE
gi 1188641	RGPSTMAGVPE	SMREEYRQE	QNAVDVDDGH	FVNI ELE
gi 1188644	RGPSTAGVPE	SMREEYRQE	QNAVDVDDGH	FVNI ELE
gi 1240985	RGPSTAGVPE	SMREEYRQE	QNAVDVDDGH	FVNI ELE
gi 1240989	RGPSTAGVPE	SMREEYRQE	QNAVDVDDGH	FVNI ELE
gi 1240988	RGPSTAGVPE	SMREEYRQE	QNAVDVDDGH	FVNI ELE
gi 1240988	RGPSTAGVPE	SMREEYRQE	QNAVDVDDGH	FVNI ELE
gi 1240989	RGPSTAGVPE	SMREEYRQE	QNAVDVDDGH	FVNI ELE
gi 1240989	RGPSTAGVPE	SMREEYRQE	QNAVDVDDGH	FVNI ELE
gi 1185748	RGPSTAGVPE	SMREEYRQE	QNAVDVDDGH	FVNI ELE
gi 1185748	RGPSTAGVPE	SMREEYRQE	QNAVDVDDGH	FVNI ELE
gi 1134954	RGPSTAGVPE	SMREEYRQE	QNAVDVDDGH	FVNI ELE
gi 1240990	RGPSTAGVPE	SMREEYRQE	QNAVDVDDGH	FVNI ELE
gi 1240990	RGPSTAGVPE	SMREEYRQE	QNAVDVDDGH	FVNI ELE
gi 1240990	RGPSTAGVPE	SMREEYRQE	QNAVDVDDGH	FVNI ELE
gi 1513368	RGPSTKTVPE	SMREEYRQE	OSAVDVDDGH	FVNI ELE
gi 1134941	RGPSTKTVPE	SMREEYRQE	OSAVDVDDGH	FVNI ELE
gi 1579558	RGPSTKTVPE	SMREEYRQE	OSAVDVDDGH	FVNI ELE
gi 1134954	RGPSTKTVPE	SMREEYRQE	OSAVDVDDGH	FVNI ELE
gi 1513368	RGPSTKTVPE	SMREEYRQE	OSAVDVDDGH	FVNI ELE
gi 1579556	RGPSTKTVPE	SMREEYRQE	OSAVDVDDGH	FVNI ELE
gi 1134954	RGPSTKTVPE	SMREEYRQE	OSAVDVDDGH	FVNI ELE
gi 1240990	RGPSTKTVPE	SMREEYRQE	OSAVDVDDGH	FVNI ELE
gi 1240990	RGPSTKTVPE	SMREEYRQE	OSAVDVDDGH	FVNI ELE
gi 1240990	RGPSTKTVPE	SMREEYRQE	OSAVDVDDGH	FVNI ELE
gi 1134966	RGPSTKTVPE	SMREEYRQE	OSAVDVDDGH	FVNI ELE
gi 1134966	RGPSTKTVPE	SMREEYRQE	OSAVDVDDGH	FVNI ELE
gi 1134967	RGPSTKTVPE	SMREEYRQE	OSAVDVDDGH	FVNI ELE
gi 1134967	RGPSTKTVPE	SMREEYRQE	OSAVDVDDGH	FVNI ELE
gi 1579554	RGPSTKTVPE	SMREEYRQE	OSAVDVDDGH	FVNI ELE
gi 1134952	RGPSTKTVPE	SMREEYRQE	OSAVDVDDGH	FVNI ELE
gi 1513368	RGPSTEGVPE	SMREEYRQE	OSAVDVDDGH	FVNI ELE
gi 1513368	RGPSTEGVPE	SMREEYRQE	OSAVDVDDGH	FVNI ELE
gi 1513368	RGPSTEGVPE	SMREEYRQE	OSAVDVDDGH	FVNI ELE
gi 1513368	RGPSTEGVPE	SMREEYRQE	OSAVDVDDGH	FVNI ELE
gi 1579556	RGPSTAGVPE	SMREEYRQE	OSAVDVDDGH	FVNI ELE
gi 1134959	RGPSTAGVPE	SMREEYRQE	OSAVDVDDGH	FVNI ELE
gi 1134959	RGPSTAGVPE	SMREEYRQE	OSAVDVDDGH	FVNI ELE
gi 1134960	RGPSTAGVPE	SMREEYRQE	OSAVDVDDGH	FVNI ELE
gi 1134971	RGPSTAGVPE	SMREEYRQE	OSAVDVDDGH	FVNI ELE
gi 1134968	RGPSTAGVPE	SMREEYRQE	OSAVDVDDGH	FVNI ELE
gi 1134970	RGPSTAGVPE	SMREEYRQE	OSAVDVDDGH	FVNI ELE
gi 1134958	RGPSTAGVPE	SMREEYRQE	OSAVDVDDGH	FVNI ELE
gi 1134958	RGPSTAGVPE	SMREEYRQE	OSAVDVDDGH	FVNI ELE
gi 1579555	RGPSTAGVPE	SMREEYRQE	OSAVDVDDGH	FVNI ELE
Cl ustal Co	*****	***	*****	***

Lampiran 5. **Conserved Region Hemagglutinin (HA), Neuraminidase (NA), dan Protein Matrik 2 (M2)**

Hemagglutinin (HA)

BioEdit versi on 5. 0. 9
Conserved region search
Alignment file: G:\balai rung_aku datang\sekuens_M2\FASTA_HA_full.aln
02/04/2008 11:06:29

Minimum segment length (actual for each sequence): 15
Maximum average entropy: 0. 2
Maximum entropy per position: 0. 2
Gaps limited to 2 per segment
Contiguous gaps limited to 1 in any segment

16 conserved regions found

Region 1: Position 14 to 35
Consensus:
14 VKSDQI CI GYHANNSTEQVDTI 35

Segment Length: 22
Average entropy (Hx): 0, 1013
Position 14 : 0, 1013
Position 15 : 0, 1013
Position 16 : 0, 1013
Position 17 : 0, 1013
Position 18 : 0, 1013
Position 19 : 0, 1013
Position 20 : 0, 1013
Position 21 : 0, 1013
Position 22 : 0, 1013
Position 23 : 0, 1013
Position 24 : 0, 1013
Position 25 : 0, 1013
Position 26 : 0, 1013
Position 27 : 0, 1013
Position 28 : 0, 1013
Position 29 : 0, 1013
Position 30 : 0, 1013
Position 31 : 0, 1013
Position 32 : 0, 1013
Position 33 : 0, 1013
Position 34 : 0, 1013
Position 35 : 0, 1013

Region 2: Position 37 to 68
Consensus:
37 EKNVTVTHAQDI LEKTHNGKLCDLDGVVKPLI L 68

Segment Length: 32
Average entropy (Hx): 0, 1041
Position 37 : 0, 1013
Position 38 : 0, 1013
Position 39 : 0, 1013
Position 40 : 0, 1013
Position 41 : 0, 1013
Position 42 : 0, 1013
Position 43 : 0, 1013
Position 44 : 0, 1013
Position 45 : 0, 1013
Position 46 : 0, 1013
Position 47 : 0, 1013
Position 48 : 0, 1013
Position 49 : 0, 1013
Position 50 : 0, 1929
Position 51 : 0, 1013
Position 52 : 0, 1013
Position 53 : 0, 1013
Position 54 : 0, 1013

Position 55	:	0, 1013
Position 56	:	0, 1013
Position 57	:	0, 1013
Position 58	:	0, 1013
Position 59	:	0, 1013
Position 60	:	0, 1013
Position 61	:	0, 1013
Position 62	:	0, 1013
Position 63	:	0, 1013
Position 64	:	0, 1013
Position 65	:	0, 1013
Position 66	:	0, 1013
Position 67	:	0, 1013
Position 68	:	0, 1013

Region 3: Position 70 to 101

Consensus:
70 DCSVAGWLLGNPMCDEFINVPEWSYI VEKANP 101

Segment Length:	32	
Average entropy (Hx):	0, 1019	
Position 70	:	0, 1013
Position 71	:	0, 1013
Position 72	:	0, 1013
Position 73	:	0, 1013
Position 74	:	0, 1013
Position 75	:	0, 1013
Position 76	:	0, 1013
Position 77	:	0, 1013
Position 78	:	0, 1013
Position 79	:	0, 1013
Position 80	:	0, 1013
Position 81	:	0, 1013
Position 82	:	0, 1013
Position 83	:	0, 1013
Position 84	:	0, 1013
Position 85	:	0, 1013
Position 86	:	0, 1013
Position 87	:	0, 1214
Position 88	:	0, 1013
Position 89	:	0, 1013
Position 90	:	0, 1013
Position 91	:	0, 1013
Position 92	:	0, 1013
Position 93	:	0, 1013
Position 94	:	0, 1013
Position 95	:	0, 1013
Position 96	:	0, 1013
Position 97	:	0, 1013
Position 98	:	0, 1013
Position 99	:	0, 1013
Position 100	:	0, 1013
Position 101	:	0, 1013

Region 4: Position 111 to 129

Consensus:
111 FNDYEEELKHLLSRI NHFEK 129

Segment Length:	19	
Average entropy (Hx):	0, 1013	
Position 111	:	0, 1013
Position 112	:	0, 1013
Position 113	:	0, 1013
Position 114	:	0, 1013
Position 115	:	0, 1013
Position 116	:	0, 1013
Position 117	:	0, 1013
Position 118	:	0, 1013
Position 119	:	0, 1013
Position 120	:	0, 1013
Position 121	:	0, 1013
Position 122	:	0, 1013
Position 123	:	0, 1013
Position 124	:	0, 1013
Position 125	:	0, 1013

Position 126 : 0, 1013
Position 127 : 0, 1013
Position 128 : 0, 1013
Position 129 : 0, 1013

Region 5: Position 179 to 193

Consensus:
179 SYNNTNQEDLLVLWG 193

Segment Length: 15
Average entropy (Hx): 0, 1013
Position 179 : 0, 1013
Position 180 : 0, 1013
Position 181 : 0, 1013
Position 182 : 0, 1013
Position 183 : 0, 1013
Position 184 : 0, 1013
Position 185 : 0, 1013
Position 186 : 0, 1013
Position 187 : 0, 1013
Position 188 : 0, 1013
Position 189 : 0, 1013
Position 190 : 0, 1013
Position 191 : 0, 1013
Position 192 : 0, 1013
Position 193 : 0, 1013

Region 6: Position 230 to 246

Consensus:
230 ATRSKVNGQSGRMEFFW 246

Segment Length: 17
Average entropy (Hx): 0, 1013
Position 230 : 0, 1013
Position 231 : 0, 1013
Position 232 : 0, 1013
Position 233 : 0, 1013
Position 234 : 0, 1013
Position 235 : 0, 1013
Position 236 : 0, 1013
Position 237 : 0, 1013
Position 238 : 0, 1013
Position 239 : 0, 1013
Position 240 : 0, 1013
Position 241 : 0, 1013
Position 242 : 0, 1013
Position 243 : 0, 1013
Position 244 : 0, 1013
Position 245 : 0, 1013
Position 246 : 0, 1013

Region 7: Position 256 to 287

Consensus:
256 NFESNGNFI APEYAYKI VKKGDSAI MKSELEY 287

Segment Length: 32
Average entropy (Hx): 0, 1013
Position 256 : 0, 1013
Position 257 : 0, 1013
Position 258 : 0, 1013
Position 259 : 0, 1013
Position 260 : 0, 1013
Position 261 : 0, 1013
Position 262 : 0, 1013
Position 263 : 0, 1013
Position 264 : 0, 1013
Position 265 : 0, 1013
Position 266 : 0, 1013
Position 267 : 0, 1013
Position 268 : 0, 1013
Position 269 : 0, 1013
Position 270 : 0, 1013
Position 271 : 0, 1013
Position 272 : 0, 1013

Position 273 : 0, 1013
Position 274 : 0, 1013
Position 275 : 0, 1013
Position 276 : 0, 1013
Position 277 : 0, 1013
Position 278 : 0, 1013
Position 279 : 0, 1013
Position 280 : 0, 1013
Position 281 : 0, 1013
Position 282 : 0, 1013
Position 283 : 0, 1013
Position 284 : 0, 1013
Position 285 : 0, 1013
Position 286 : 0, 1013
Position 287 : 0, 1013

Region 8: Position 290 to 306

Consensus:
290 CNTKCQTPMGAI NSSMP 306

Segment Length: 17
Average entropy (Hx): 0, 1013
Position 290 : 0, 1013
Position 291 : 0, 1013
Position 292 : 0, 1013
Position 293 : 0, 1013
Position 294 : 0, 1013
Position 295 : 0, 1013
Position 296 : 0, 1013
Position 297 : 0, 1013
Position 298 : 0, 1013
Position 299 : 0, 1013
Position 300 : 0, 1013
Position 301 : 0, 1013
Position 302 : 0, 1013
Position 303 : 0, 1013
Position 304 : 0, 1013
Position 305 : 0, 1013
Position 306 : 0, 1013

Region 9: Position 308 to 324

Consensus:
308 HNI HPLTIGECPKYVKS 324

Segment Length: 17
Average entropy (Hx): 0, 1025
Position 308 : 0, 1013
Position 309 : 0, 1013
Position 310 : 0, 1013
Position 311 : 0, 1013
Position 312 : 0, 1013
Position 313 : 0, 1013
Position 314 : 0, 1013
Position 315 : 0, 1214
Position 316 : 0, 1013
Position 317 : 0, 1013
Position 318 : 0, 1013
Position 319 : 0, 1013
Position 320 : 0, 1013
Position 321 : 0, 1013
Position 322 : 0, 1013
Position 323 : 0, 1013
Position 324 : 0, 1013

Region 10: Position 326 to 340

Consensus:
326 RLVLATGLRNSPORE 340

Segment Length: 15
Average entropy (Hx): 0, 1026
Position 326 : 0, 1013
Position 327 : 0, 1214
Position 328 : 0, 1013
Position 329 : 0, 1013

Position 330 : 0, 1013
Position 331 : 0, 1013
Position 332 : 0, 1013
Position 333 : 0, 1013
Position 334 : 0, 1013
Position 335 : 0, 1013
Position 336 : 0, 1013
Position 337 : 0, 1013
Position 338 : 0, 1013
Position 339 : 0, 1013
Position 340 : 0, 1013

Region 11: Position 342 to 388

Consensus:

342 RKKRGLFGAI AGFI EGGWQGMVDGWWYGHHSNEQGSGYAADKESTQ 388

Segment Length: 47

Average entropy (Hx): 0, 1013

Position 342 : 0, 1013
Position 343 : 0, 1013
Position 344 : 0, 1013
Position 345 : 0, 1013
Position 346 : 0, 1013
Position 347 : 0, 1013
Position 348 : 0, 1013
Position 349 : 0, 1013
Position 350 : 0, 1013
Position 351 : 0, 1013
Position 352 : 0, 1013
Position 353 : 0, 1013
Position 354 : 0, 1013
Position 355 : 0, 1013
Position 356 : 0, 1013
Position 357 : 0, 1013
Position 358 : 0, 1013
Position 359 : 0, 1013
Position 360 : 0, 1013
Position 361 : 0, 1013
Position 362 : 0, 1013
Position 363 : 0, 1013
Position 364 : 0, 1013
Position 365 : 0, 1013
Position 366 : 0, 1013
Position 367 : 0, 1013
Position 368 : 0, 1013
Position 369 : 0, 1013
Position 370 : 0, 1013
Position 371 : 0, 1013
Position 372 : 0, 1013
Position 373 : 0, 1013
Position 374 : 0, 1013
Position 375 : 0, 1013
Position 376 : 0, 1013
Position 377 : 0, 1013
Position 378 : 0, 1013
Position 379 : 0, 1013
Position 380 : 0, 1013
Position 381 : 0, 1013
Position 382 : 0, 1013
Position 383 : 0, 1013
Position 384 : 0, 1013
Position 385 : 0, 1013
Position 386 : 0, 1013
Position 387 : 0, 1013
Position 388 : 0, 1013

Region 12: Position 390 to 417

Consensus:

390 AI DGVTNKVNSI IDKMNTQFEAVGREFN 417

Segment Length: 28

Average entropy (Hx): 0, 1013

Position 390 : 0, 1013
Position 391 : 0, 1013
Position 392 : 0, 1013

Position 393	:	0, 1013
Position 394	:	0, 1013
Position 395	:	0, 1013
Position 396	:	0, 1013
Position 397	:	0, 1013
Position 398	:	0, 1013
Position 399	:	0, 1013
Position 400	:	0, 1013
Position 401	:	0, 1013
Position 402	:	0, 1013
Position 403	:	0, 1013
Position 404	:	0, 1013
Position 405	:	0, 1013
Position 406	:	0, 1013
Position 407	:	0, 1013
Position 408	:	0, 1013
Position 409	:	0, 1013
Position 410	:	0, 1013
Position 411	:	0, 1013
Position 412	:	0, 1013
Position 413	:	0, 1013
Position 414	:	0, 1013
Position 415	:	0, 1013
Position 416	:	0, 1013
Position 417	:	0, 1013

Region 13: Position 419 to 494

Consensus:

419 LERRI ENLNKKMEDGFLDVWTYNAELLVLMENERTLDFHDSNVKNLYDKVRLQLRDNAELGNGCFEFYHKCDNEC 494

Segment Length:	76	
Average entropy (Hx):	0, 1013	
Position 419	:	0, 1013
Position 420	:	0, 1013
Position 421	:	0, 1013
Position 422	:	0, 1013
Position 423	:	0, 1013
Position 424	:	0, 1013
Position 425	:	0, 1013
Position 426	:	0, 1013
Position 427	:	0, 1013
Position 428	:	0, 1013
Position 429	:	0, 1013
Position 430	:	0, 1013
Position 431	:	0, 1013
Position 432	:	0, 1013
Position 433	:	0, 1013
Position 434	:	0, 1013
Position 435	:	0, 1013
Position 436	:	0, 1013
Position 437	:	0, 1013
Position 438	:	0, 1013
Position 439	:	0, 1013
Position 440	:	0, 1013
Position 441	:	0, 1013
Position 442	:	0, 1013
Position 443	:	0, 1013
Position 444	:	0, 1013
Position 445	:	0, 1013
Position 446	:	0, 1013
Position 447	:	0, 1013
Position 448	:	0, 1013
Position 449	:	0, 1013
Position 450	:	0, 1013
Position 451	:	0, 1013
Position 452	:	0, 1013
Position 453	:	0, 1013
Position 454	:	0, 1013
Position 455	:	0, 1013
Position 456	:	0, 1013
Position 457	:	0, 1013
Position 458	:	0, 1013
Position 459	:	0, 1013
Position 460	:	0, 1013
Position 461	:	0, 1013
Position 462	:	0, 1013

Position 463 : 0, 1013
Position 464 : 0, 1013
Position 465 : 0, 1013
Position 466 : 0, 1013
Position 467 : 0, 1013
Position 468 : 0, 1013
Position 469 : 0, 1013
Position 470 : 0, 1013
Position 471 : 0, 1013
Position 472 : 0, 1013
Position 473 : 0, 1013
Position 474 : 0, 1013
Position 475 : 0, 1013
Position 476 : 0, 1013
Position 477 : 0, 1013
Position 478 : 0, 1013
Position 479 : 0, 1013
Position 480 : 0, 1013
Position 481 : 0, 1013
Position 482 : 0, 1013
Position 483 : 0, 1013
Position 484 : 0, 1013
Position 485 : 0, 1013
Position 486 : 0, 1013
Position 487 : 0, 1013
Position 488 : 0, 1013
Position 489 : 0, 1013
Position 490 : 0, 1013
Position 491 : 0, 1013
Position 492 : 0, 1013
Position 493 : 0, 1013
Position 494 : 0, 1013

Region 14: Position 496 to 528

Consensus:
496 ESI RNGTYNYPQYSEEARLKREEI SGVKLESIG 528

Segment Length: 33
Average entropy (Hx): 0, 1013
Position 496 : 0, 1013
Position 497 : 0, 1013
Position 498 : 0, 1013
Position 499 : 0, 1013
Position 500 : 0, 1013
Position 501 : 0, 1013
Position 502 : 0, 1013
Position 503 : 0, 1013
Position 504 : 0, 1013
Position 505 : 0, 1013
Position 506 : 0, 1013
Position 507 : 0, 1013
Position 508 : 0, 1013
Position 509 : 0, 1013
Position 510 : 0, 1013
Position 511 : 0, 1013
Position 512 : 0, 1013
Position 513 : 0, 1013
Position 514 : 0, 1013
Position 515 : 0, 1013
Position 516 : 0, 1013
Position 517 : 0, 1013
Position 518 : 0, 1013
Position 519 : 0, 1013
Position 520 : 0, 1013
Position 521 : 0, 1013
Position 522 : 0, 1013
Position 523 : 0, 1013
Position 524 : 0, 1013
Position 525 : 0, 1013
Position 526 : 0, 1013
Position 527 : 0, 1013
Position 528 : 0, 1013

Region 15: Position 530 to 548

Consensus:

530 YQI LSI YSTVASSLALAI M 548

Segment Length: 19
Average entropy (Hx): 0, 1013
Position 530 : 0, 1013
Position 531 : 0, 1013
Position 532 : 0, 1013
Position 533 : 0, 1013
Position 534 : 0, 1013
Position 535 : 0, 1013
Position 536 : 0, 1013
Position 537 : 0, 1013
Position 538 : 0, 1013
Position 539 : 0, 1013
Position 540 : 0, 1013
Position 541 : 0, 1013
Position 542 : 0, 1013
Position 543 : 0, 1013
Position 544 : 0, 1013
Position 545 : 0, 1013
Position 546 : 0, 1013
Position 547 : 0, 1013
Position 548 : 0, 1013

Region 16: Position 550 to 565

Consensus:
550 AGLSLWMCSNGSLOCR 565

Segment Length: 16
Average entropy (Hx): 0, 1013
Position 550 : 0, 1013
Position 551 : 0, 1013
Position 552 : 0, 1013
Position 553 : 0, 1013
Position 554 : 0, 1013
Position 555 : 0, 1013
Position 556 : 0, 1013
Position 557 : 0, 1013
Position 558 : 0, 1013
Position 559 : 0, 1013
Position 560 : 0, 1013
Position 561 : 0, 1013
Position 562 : 0, 1013
Position 563 : 0, 1013
Position 564 : 0, 1013
Position 565 : 0, 1013

Neuraminidase (NA)

BioEdit version 5.0.9
Conserved region search
Alignment file: G:\balai rung_aku\datang\sekuens_M2\FASTA_NA_full.aln
02/04/2008 11:07:55

Minimum segment length (actual for each sequence): 15
Maximum average entropy: 0.2
Maximum entropy per position: 0.2
Gaps limited to 2 per segment
Contiguous gaps limited to 1 in any segment

12 conserved regions found

Region 1: Position 20 to 37
Consensus:
20 VSLMLQIGNMI SI WSHS 37

Segment Length: 18
Average entropy (Hx): 0, 0959
Position 20 : 0, 0815
Position 21 : 0, 0815
Position 22 : 0, 0815

Position 23	:	0, 1628
Position 24	:	0, 0815
Position 25	:	0, 0815
Position 26	:	0, 0815
Position 27	:	0, 0815
Position 28	:	0, 0815
Position 29	:	0, 0815
Position 30	:	0, 1628
Position 31	:	0, 0815
Position 32	:	0, 0970
Position 33	:	0, 0815
Position 34	:	0, 1628
Position 35	:	0, 0815
Position 36	:	0, 0815
Position 37	:	0, 0815

Region 2: Position 41 to 60
Consensus:
41 GNOHOAESI SNTNPLTEKAV 60

Segment Length:	20	
Average entropy (Hx):	0, 0896	
Position 41	:	0, 0815
Position 42	:	0, 0815
Position 43	:	0, 0815
Position 44	:	0, 1628
Position 45	:	0, 0815
Position 46	:	0, 0815
Position 47	:	0, 0815
Position 48	:	0, 0815
Position 49	:	0, 0815
Position 50	:	0, 0815
Position 51	:	0, 0815
Position 52	:	0, 0815
Position 53	:	0, 0815
Position 54	:	0, 0815
Position 55	:	0, 0815
Position 56	:	0, 0815
Position 57	:	0, 0815
Position 58	:	0, 0815
Position 59	:	0, 0815
Position 60	:	0, 1628

Region 3: Position 67 to 84
Consensus:
67 GNSSLCP1 RGWAVHSKD1 84

Segment Length:	18	
Average entropy (Hx):	0, 0860	
Position 67	:	0, 0815
Position 68	:	0, 0815
Position 69	:	0, 0815
Position 70	:	0, 0815
Position 71	:	0, 0815
Position 72	:	0, 0815
Position 73	:	0, 0815
Position 74	:	0, 0815
Position 75	:	0, 0815
Position 76	:	0, 0815
Position 77	:	0, 0815
Position 78	:	0, 0815
Position 79	:	0, 0815
Position 80	:	0, 1628
Position 81	:	0, 0815
Position 82	:	0, 0815
Position 83	:	0, 0815
Position 84	:	0, 0815

Region 4: Position 86 to 106
Consensus:
86 I RI GSKGDFVVI REPFI SCSH 106

Segment Length:	21
Average entropy (Hx):	0, 0815

Position 86	:	0,0815
Position 87	:	0,0815
Position 88	:	0,0815
Position 89	:	0,0815
Position 90	:	0,0815
Position 91	:	0,0815
Position 92	:	0,0815
Position 93	:	0,0815
Position 94	:	0,0815
Position 95	:	0,0815
Position 96	:	0,0815
Position 97	:	0,0815
Position 98	:	0,0815
Position 99	:	0,0815
Position 100	:	0,0815
Position 101	:	0,0815
Position 102	:	0,0815
Position 103	:	0,0815
Position 104	:	0,0815
Position 105	:	0,0815
Position 106	:	0,0815

Region 5: Position 108 to 126

Consensus:
108 ECRTFFLTOGALLNDKHSN 126

Segment Length:	19	
Average entropy (Hx):	0,0858	
Position 108	:	0,0815
Position 109	:	0,0815
Position 110	:	0,0815
Position 111	:	0,0815
Position 112	:	0,0815
Position 113	:	0,0815
Position 114	:	0,0815
Position 115	:	0,0815
Position 116	:	0,1628
Position 117	:	0,0815
Position 118	:	0,0815
Position 119	:	0,0815
Position 120	:	0,0815
Position 121	:	0,0815
Position 122	:	0,0815
Position 123	:	0,0815
Position 124	:	0,0815
Position 125	:	0,0815
Position 126	:	0,0815

Region 6: Position 128 to 142

Consensus:
128 TVKDRSPHRTLMSCP 142

Segment Length:	15	
Average entropy (Hx):	0,0815	
Position 128	:	0,0815
Position 129	:	0,0815
Position 130	:	0,0815
Position 131	:	0,0815
Position 132	:	0,0815
Position 133	:	0,0815
Position 134	:	0,0815
Position 135	:	0,0815
Position 136	:	0,0815
Position 137	:	0,0815
Position 138	:	0,0815
Position 139	:	0,0815
Position 140	:	0,0815
Position 141	:	0,0815
Position 142	:	0,0815

Region 7: Position 182 to 238

Consensus:
182 AVAVLKYNGLTDTIKSWRNNILRTQESECACVNGSCFTVMDGPSNGOASYKI FKM 238

Segment Length: 57
Average entropy (Hx): 0, 0858
Position 182 : 0, 0815
Position 183 : 0, 0815
Position 184 : 0, 0815
Position 185 : 0, 0815
Position 186 : 0, 0815
Position 187 : 0, 0815
Position 188 : 0, 0815
Position 189 : 0, 0815
Position 190 : 0, 0815
Position 191 : 0, 1628
Position 192 : 0, 0815
Position 193 : 0, 0815
Position 194 : 0, 0815
Position 195 : 0, 0815
Position 196 : 0, 0815
Position 197 : 0, 0815
Position 198 : 0, 0815
Position 199 : 0, 0815
Position 200 : 0, 0815
Position 201 : 0, 1628
Position 202 : 0, 0815
Position 203 : 0, 0815
Position 204 : 0, 0815
Position 205 : 0, 0815
Position 206 : 0, 0815
Position 207 : 0, 0815
Position 208 : 0, 0815
Position 209 : 0, 0815
Position 210 : 0, 0815
Position 211 : 0, 0815
Position 212 : 0, 0815
Position 213 : 0, 0815
Position 214 : 0, 0815
Position 215 : 0, 0815
Position 216 : 0, 0815
Position 217 : 0, 0815
Position 218 : 0, 0815
Position 219 : 0, 0815
Position 220 : 0, 0815
Position 221 : 0, 0815
Position 222 : 0, 0815
Position 223 : 0, 0815
Position 224 : 0, 0815
Position 225 : 0, 0815
Position 226 : 0, 0815
Position 227 : 0, 0815
Position 228 : 0, 1628
Position 229 : 0, 0815
Position 230 : 0, 0815
Position 231 : 0, 0815
Position 232 : 0, 0815
Position 233 : 0, 0815
Position 234 : 0, 0815
Position 235 : 0, 0815
Position 236 : 0, 0815
Position 237 : 0, 0815
Position 238 : 0, 0815

Region 8: Position 267 to 283
Consensus:
267 EITCVCRDNWHGSNRPW 283

Segment Length: 17
Average entropy (Hx): 0, 0815
Position 267 : 0, 0815
Position 268 : 0, 0815
Position 269 : 0, 0815
Position 270 : 0, 0815
Position 271 : 0, 0815
Position 272 : 0, 0815
Position 273 : 0, 0815
Position 274 : 0, 0815
Position 275 : 0, 0815
Position 276 : 0, 0815

Position 277 : 0,0815
Position 278 : 0,0815
Position 279 : 0,0815
Position 280 : 0,0815
Position 281 : 0,0815
Position 282 : 0,0815
Position 283 : 0,0815

Region 9: Position 285 to 300

Consensus:
285 SFNQNLEYQI GYI CSG 300

Segment Length: 16
Average entropy (Hx): 0,0815
Position 285 : 0,0815
Position 286 : 0,0815
Position 287 : 0,0815
Position 288 : 0,0815
Position 289 : 0,0815
Position 290 : 0,0815
Position 291 : 0,0815
Position 292 : 0,0815
Position 293 : 0,0815
Position 294 : 0,0815
Position 295 : 0,0815
Position 296 : 0,0815
Position 297 : 0,0815
Position 298 : 0,0815
Position 299 : 0,0815
Position 300 : 0,0815

Region 10: Position 302 to 318

Consensus:
302 FGDNPRPNDGTGSCGPM 318

Segment Length: 17
Average entropy (Hx): 0,0815
Position 302 : 0,0815
Position 303 : 0,0815
Position 304 : 0,0815
Position 305 : 0,0815
Position 306 : 0,0815
Position 307 : 0,0815
Position 308 : 0,0815
Position 309 : 0,0815
Position 310 : 0,0815
Position 311 : 0,0815
Position 312 : 0,0815
Position 313 : 0,0815
Position 314 : 0,0815
Position 315 : 0,0815
Position 316 : 0,0815
Position 317 : 0,0815
Position 318 : 0,0815

Region 11: Position 321 to 345

Consensus:
321 NGAYGVKGFSFKYGNGVWI GRTKST 345

Segment Length: 25
Average entropy (Hx): 0,0848
Position 321 : 0,0815
Position 322 : 0,0815
Position 323 : 0,0815
Position 324 : 0,0815
Position 325 : 0,0815
Position 326 : 0,1628
Position 327 : 0,0815
Position 328 : 0,0815
Position 329 : 0,0815
Position 330 : 0,0815
Position 331 : 0,0815
Position 332 : 0,0815
Position 333 : 0,0815

Position 334	:	0,0815
Position 335	:	0,0815
Position 336	:	0,0815
Position 337	:	0,0815
Position 338	:	0,0815
Position 339	:	0,0815
Position 340	:	0,0815
Position 341	:	0,0815
Position 342	:	0,0815
Position 343	:	0,0815
Position 344	:	0,0815
Position 345	:	0,0815

Region 12: Position 347 to 432

Consensus:

347

SRSGFEMI WDPNGWTGTDSSFSVKODIVAI TDWSGYSGSFVQHPELTGLDCI RPCFWVELI RGRPKESTI WTSGSSI SFCGVNSD
T 432

Segment Length:	86	
Average entropy (Hx):	0,0843	
Position 347	:	0,0815
Position 348	:	0,0815
Position 349	:	0,0815
Position 350	:	0,0815
Position 351	:	0,0815
Position 352	:	0,0815
Position 353	:	0,0815
Position 354	:	0,0815
Position 355	:	0,0815
Position 356	:	0,0815
Position 357	:	0,0815
Position 358	:	0,0815
Position 359	:	0,0815
Position 360	:	0,0815
Position 361	:	0,0815
Position 362	:	0,0815
Position 363	:	0,0815
Position 364	:	0,0815
Position 365	:	0,0815
Position 366	:	0,0815
Position 367	:	0,0815
Position 368	:	0,0815
Position 369	:	0,0815
Position 370	:	0,0815
Position 371	:	0,0815
Position 372	:	0,0815
Position 373	:	0,0815
Position 374	:	0,0815
Position 375	:	0,0815
Position 376	:	0,0815
Position 377	:	0,0815
Position 378	:	0,1628
Position 379	:	0,0815
Position 380	:	0,0815
Position 381	:	0,0815
Position 382	:	0,0815
Position 383	:	0,0815
Position 384	:	0,0815
Position 385	:	0,0815
Position 386	:	0,0815
Position 387	:	0,0815
Position 388	:	0,0815
Position 389	:	0,0815
Position 390	:	0,0815
Position 391	:	0,0815
Position 392	:	0,0815
Position 393	:	0,0815
Position 394	:	0,0815
Position 395	:	0,0815
Position 396	:	0,0815
Position 397	:	0,0815
Position 398	:	0,0815
Position 399	:	0,0815
Position 400	:	0,0815
Position 401	:	0,0815

Position 402	:	0,0815
Position 403	:	0,0815
Position 404	:	0,0815
Position 405	:	0,0815
Position 406	:	0,0815
Position 407	:	0,0815
Position 408	:	0,0815
Position 409	:	0,0815
Position 410	:	0,1628
Position 411	:	0,0815
Position 412	:	0,0815
Position 413	:	0,0815
Position 414	:	0,0815
Position 415	:	0,0815
Position 416	:	0,0815
Position 417	:	0,0815
Position 418	:	0,0815
Position 419	:	0,0815
Position 420	:	0,0815
Position 421	:	0,0815
Position 422	:	0,1560
Position 423	:	0,0815
Position 424	:	0,0815
Position 425	:	0,0815
Position 426	:	0,0815
Position 427	:	0,0815
Position 428	:	0,0815
Position 429	:	0,0815
Position 430	:	0,0815
Position 431	:	0,0815
Position 432	:	0,0815

Protein Matrik 2 (M2)

BioEdit Version 7.0.8.0 (6/17/07)
Conserved region search
Alignment file: C:\Documents and Settings\BiomedikarDirvisison\My
Documents\aku_hudan\balairung_aku.datang\sekvens_M2\FASTA_full.flext.aln
25/02/2008 10:45:22

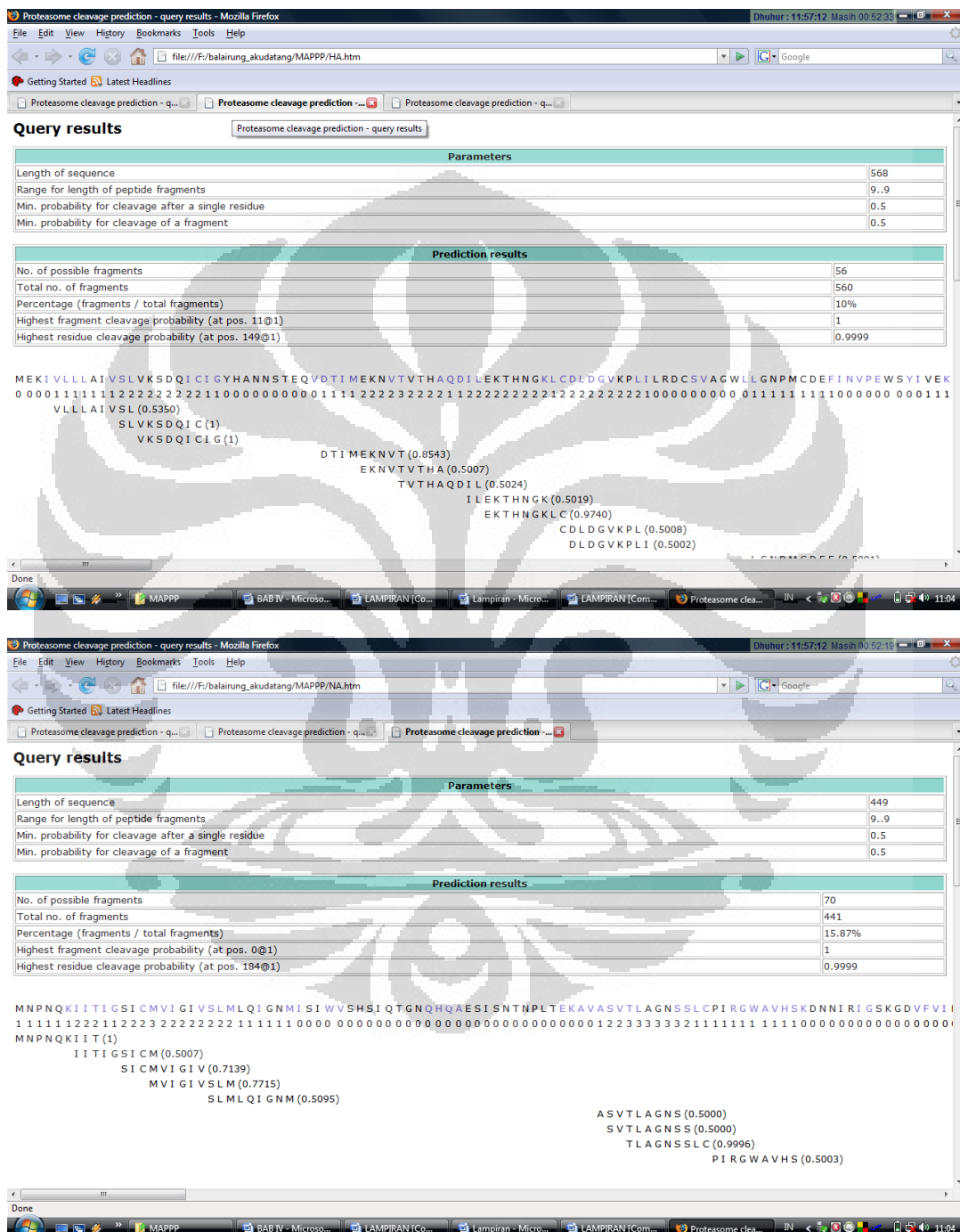
Minimum segment length (actual for each sequence): 15
Maximum average entropy: 0.2
Maximum entropy per position: 0.2
Gaps limited to 2 per segment
Contiguous gaps limited to 1 in any segment

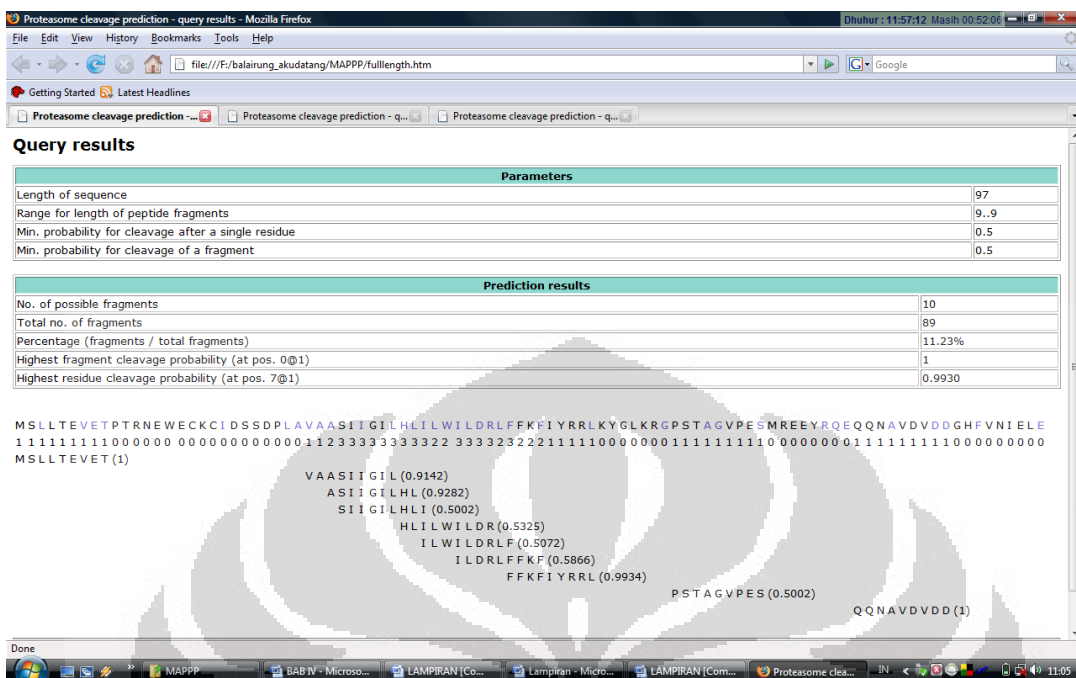
1 conserved regions found

Region 1: Position 1 to 17
Consensus:
1 MSLLTEVETPTRNEWEC 17

Segment Length: 17
Average entropy (Hx): 0,0659
Position 1 : 0,0659
Position 2 : 0,0659
Position 3 : 0,0659
Position 4 : 0,0659
Position 5 : 0,0659
Position 6 : 0,0659
Position 7 : 0,0659
Position 8 : 0,0659
Position 9 : 0,0659
Position 10 : 0,0659
Position 11 : 0,0659
Position 12 : 0,0659
Position 13 : 0,0659
Position 14 : 0,0659
Position 15 : 0,0659
Position 16 : 0,0659
Position 17 : 0,0659

Lampiran 6. *Proteasomal Cleavage Protein Hemagglutinin (HA), Neuraminidase (NA), dan matrik 2 (M2) Virus H5N1 (MAPPP)*





Lampiran 7. TAP Binding Protein Hemagglutinin (HA), Neuraminidase (NA), dan matrik 2 (M2) Virus H5N1 (TAPPred)

The screenshot shows two browser windows. The top window displays the 'Prediction Results' for the HA peptide sequence:

```

1 MEKIVLLAIVSLKSDQICIGYHANNSIEQVDTIMERKIVTVIADQLKTHPAGKLCDDGKPLINDSASWLLQNPMDPDIINDEWSYIVECN 100
101 PRNTLCPDSDNDLKLKLSISINFIDITPKSSVSHESSSGISACDYGSPSFRIVWLKLNSTPTIKSYINCDRLILWVGHRPNDA 200
201 AQTTRYQNTITYISIGSTLNORLPSAATRCKVNGQGRMEFWTTEKPNDAIFENVNIAPEYAIVVKKODRAIMGESEYSNQTKCQTPMG 300
301 ITsSgRCHHIIHNTGEGDPAVKNLYLVLAGTRNAPORESRKKRLGFGATAEGSWLGMVGDWYYGYHHSNFGGGYADKESTOKAIDGTTKNS 400

```

The bottom window displays a 'Tabular Display' of predicted affinity scores for various peptides:

Peptide Rank	Start Position	Sequence	Score	Predicted Affinity
1	380	DKKDNWQWA	9.215	XUph
2	636	RKQDNFKKUL	9.363	XUph
3	282	NOYAPDQSY	9.219	XUph
4	279	ZLDMRQHRY	9.020	XUph
5	99	ZDMDRQHRY	7.916	XUph
6	322	DKDQDQYRQ	7.978	XUph
7	206	RQYDQDQYRQ	7.899	XUph
8	313	DKDQDQYRQ	7.337	XUph
9	314	DKDQDQYRQ	7.077	XUph
10	344	DKDQDQYRQ	6.923	XUph
11	325	DKDQDQYRQ	6.810	XUph
12	528	DKDQDQYRQ	6.736	XUph
13	338	DKDQDQYRQ	6.598	XUph
14	315	DKDQDQYRQ	6.516	XUph
15	819	DKXKVQGRRG	6.303	XUph
16	862	DKDQDQYRQ	6.303	XUph
17	546	ZLDMRQHRY	6.384	XUph
18	314	DKDQDQYRQ	6.315	XUph
19	240	DKDQDQYRQ	6.235	XUph
20	560	DKDQDQYRQ	6.196	XUph
21	242	DKDQDQYRQ	6.114	XUph
22	363	DKDQDQYRQ	6.160	XUph

The screenshot shows two instances of the TAPPred website running in Mozilla Firefox. Both instances have the URL [file:///F:/balairung_akudatang/TAPPred/NA-cascade-svm.htm](http://F:/balairung_akudatang/TAPPred/NA-cascade-svm.htm).

Prediction Results:

Prediction Approach: Cascade SVM
Antigen Name: NA
Scanned on: Mon Apr 7 13:01:10 2006
Length of input sequence: 449 amino acids
Number of nonamers from input sequence: 441

Display I:

Sequence 1: M N Q K I I T G I C M V G I V S L L Q I G M I S T I N V D I E T O N Q H A Q E S I T H T E K A V A V H S K D N N I R G S C D V P V I R E 100

Sequence 101: F I C S H M L E C R T F L T Q A L L D K S N O T V K D S P H R I L I S C G E A P S P Y N R F E S V A S A C H G T S W L I T G S D P D C A V A V L K Y N G I I T O T I K S W R 200

Sequence 201: M I L K T I E S R C A V C G S C T M I D P S I N Q Q A S Y K I P K M E K G K W K S V E D A P N Y H Y E C S P D A G E I T C V C R D N W H G S M R P W V S P C N I L E Y O I Y I S C 300

Sequence 301: T C H R I R A G G S C G M V H N G N A C V C F S P K C H N Q W I G R T K C T N S R S G F E M I N D I N G T C E S S F V K O D I V A T D W R C S G S E Y A H P T R R L C D R P 400

Tabular Display:

Peptide Rank	Start Position	Sequence	Score	Predicted Affinity
1	86	I R I G S K G D V	8.647	High
2	399	R P C E W E L I	8.645	High
3	114	L T Q G A L L N D	8.645	High
4	277	H G S N R P W V S	8.642	High
5	439	D G A E L P F T I	8.642	High
6	118	A L L N D K H S N	8.641	High
7	242	K V V K S V E L D	8.637	High
8	341	R T K S T N S R S	8.633	High
9	81	S K D N N I R I G	8.629	High
10	47	E S I S N T N P L	8.628	High
11	168	T S W L T I G I S	8.626	High
12	428	V I N S D T V S W S	8.623	High
13	273	R D N W H G S M R	8.619	High
14	148	S P Y N S R F E S	8.618	High
15	366	S F S V K Q D I V	8.617	High
16	354	I N D B N G W T G	8.612	High
17	98	S I S N T N F L T	8.605	High
18	26	I G N N I S I W W	8.603	High
19	369	V K Q D I V A T	8.602	High
20	123	K H S N G T V K D	8.599	High
21	222	M T D G P S N S Q	8.594	High
22	55	L T E K A V A S V	8.578	High
23	115	T Q G A L L N D K	8.577	High

The screenshot shows two instances of the TAPPred web application running in Mozilla Firefox. Both instances have the URL file:///F:/balairung_akudatang/TAPPred/fulllength-cascade-svm.htm.

Prediction Results Display:

- Prediction Approach:** Cascade SVM
- Antigen Name:** full_length
- Scanned on:** Thu Feb 26 13:35:55 2008
- Length of input sequence:** 97 amino acids
- Number of nonamers from input sequence:** 69

Display I:

Sequence: 1 MELDTVTPTRNWKCKCQDSDLAVAASIGITHEILWILDRLFFKTVYRLKIGLKGPSTAIVPEMIMTYRQEONAVDVDSGHFVNITLE 97

Tabular Display:

Peptide Rank	Start Position	Sequence	Score	Predicted Affinity
1	64	STAGVPESM	8.640	High
2	43	LDRFLFKRFI	8.615	High
3	78	QEQQNAVDV	8.612	High
4	54	RLKYGLKRG	8.574	High
5	17	CKCIDDSDP	8.537	High
6	21	DSSDELVA	8.427	High
7	9	TPTRNEWC	8.278	High
8	66	VDDGIFVNI	8.243	High
9	58	GLKRGPSTA	8.235	High
10	19	CIDSSDPLA	7.704	High
11	76	YRQEQQNAV	7.640	High
12	2	SLLIVEETP	7.524	High
13	70	ESMRREYRQ	7.489	High
14	68	VPESMRPEY	7.273	High
15	72	MREYVRQEQ	7.021	High
16	59	LKRGPSLAG	6.793	High
17	4	LTEVEETPTR	6.614	High
18	22	SSOPTAVAA	6.547	High
19	73	REYTRQEQQ	6.282	High
20	77	RQEQQNAVD	6.147	High
21	85	DVDGHFVN	6.107	High
22	65	TAGVPESNR	6.027	High
23	74	EYRQEQQN	5.875	Intermediate

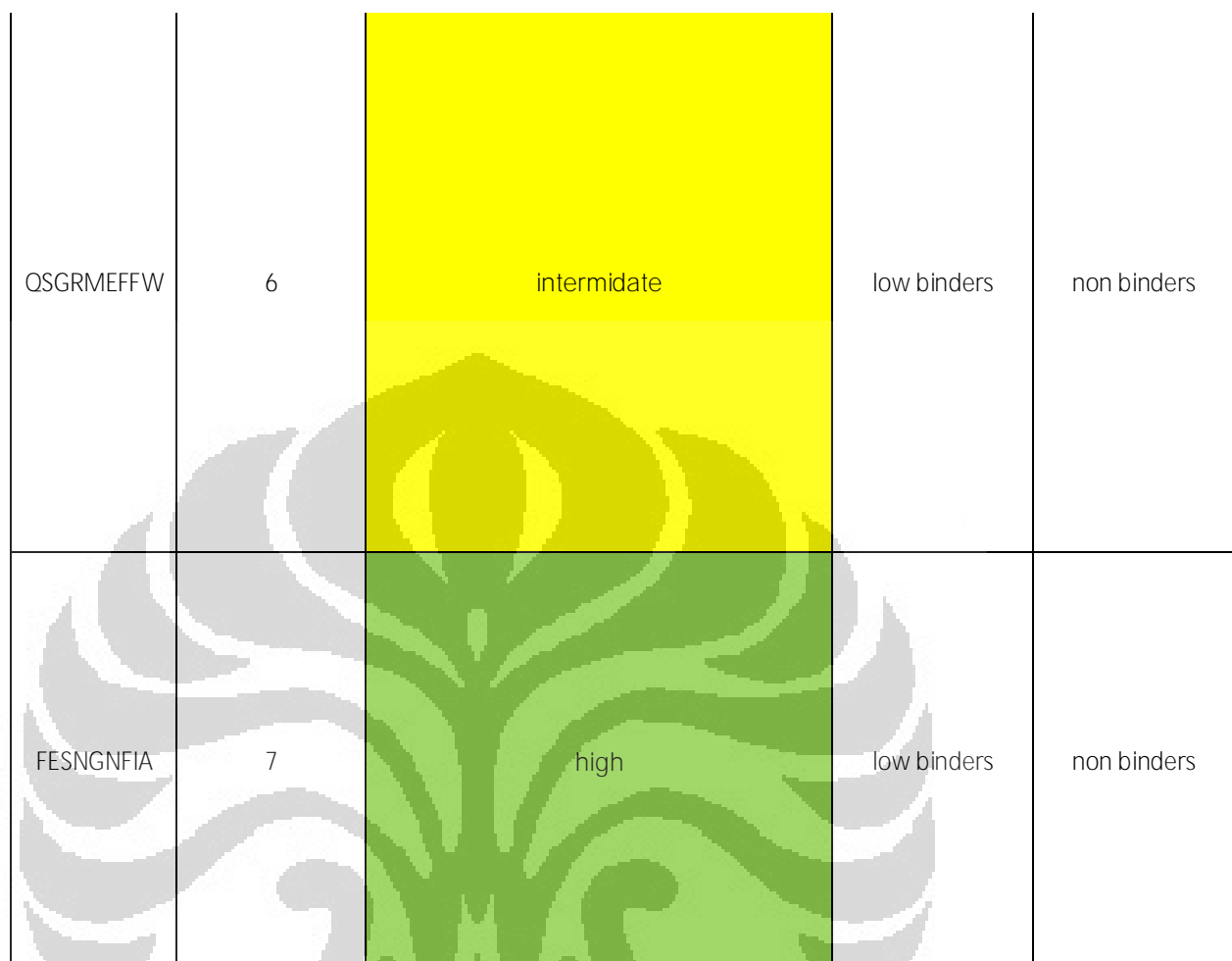
Lampiran 8. Prediksi Epitope T-cell Protein Hemagglutinin (HA), Neuraminidase (NA), dan

Prediksi Epitope Conserved Region Hemagglutinin (HA)

Epitope ^a	Conserved region	Prediction of binding affinity of TAP binders ^b	prediction of HLA class I A2		prediction of HLA class I A3	
			MULTIPRED ^c			
			HLA class I A2	HLA class I A3		
VKSDDQICIG	1	high	low binders	non binders	non binders	
EKNVTVTTHA	2	intermidate	low binders	low binders	low binders	
TVTHAQDIL	2	high	moderate binders	low binders	low binders	
ILEKTHNGK	2	high	moderate binders	moderate binders	moderate binders	

EKTHNGKLC	2	low	low binders	non binders
CDLDGVKPL	2	intermidate	low binders	non binders
DLDGVKPLI	2	low	low binders	non binders
LGNPMCDEF	3	high	low binders	non binders

YEELKHLLS	4	high	low binders	non binders
HLLSRINHF	4	intermediate	moderate binders	low binders
YNNNTNOEDL	5	low	low binders	low binders



YKIVKKGDS	7	low	low binders	low binders
HNIHPLTIG	9	low	low binders	non binders
VLATGLRNS	10	low	low binders	low binders
LATGLRNSP	10	intermidate	low binders	non binders
IENLNKKME	13	low	low binders	low binders
NKKMEDGFL	13	intermidate	low binders	non binders

LDVWTYNAE	13	low	non binders	non binders
DVWTYNAEL	13	intermidate	moderate binders	low binders
VWWTYNAELL	13	high	low binders	non binders
WTYNAELLV	13	intermidate	moderate binders	low binders

ELLVLMENE	13	intermidate	low binders	low binders
LLVLMENER	13	intermidate	low binders	moderate binders
LVLMENERT	13	high	low binders	low binders
VLMENERTL	13	intermidate	high binders	low binders

YDKVRLQLR	13	high	low binders	low binders
QLRDNAKEL	13	intermidate	high binders	low binders
LKREEISGV	14	intermidate	moderate binders	non binders

SIYSTVASS	15	high	moderate binders	low binders	
ASSLALAIM	15	high	low binders	non binders	

^a diperoleh berdasarkan prediksi *proteasome cleavage* dengan MAPPP

^b diperoleh menggunakan TAPPred dengan metode cascade svm

^c diperoleh menggunakan MULTIPRED dengan metode HMM

^d diperoleh menggunakan Immune epitope dengan metode smm

Prediksi Epitope Conserved Region Neuraminidase (NA)

Epitope ^a	Conserved region	Prediction of binding affinity of TAP binders ^b	prediction of HLA class I A2	
			MULTIPRED ^c	
			HLA class I A2	HLA class I A3
SLMLQIGNM	1	high	moderate binders	low binders
PIRGWAVHS	3	high	low binders	low binders

	FLTQGALLN	5	low	low binders	low binders
	LTOQGALLND	5	high	low binders	low binders
	VKDRSPHRT	6	intermidate	low binders	low binders
	KDRSPHRTL	6	intermidate	low binders	low binders
	DRSPHRTLM	6	intermidate	low binders	low binders

AVLKYNGLI	7	high	moderate binders	low binders	
VLKYNGIIT	7	high	low binders	low binders	
LKYNGIITD	7	intermediate	low binders	low binders	
KYNGIITDT	7	intermediate	moderate binders	low binders	
IKSWRNNIL	7	intermediate	low binders	non binders	

RNNILRTQE	7	intermidate	low binders	low binders
NGSCFTVMT	7	low	low binders	low binders
GSCFTVMTD	7	high	low binders	low binders
GPSNGQASY	7	low	low binders	low binders
YQIGYICSG	9	high	low binders	non binders

DGTGSCGPM	10	low	non binders	non binders
NGAYGVKGF	11	intermediate	low binders	non binders
AYGVKGFSF	11	intermediate	low binders	non binders

SFKYGNGVW	11	high	non binders	non binders
WDPNGWTGT	12	low	non binders	non binders
WTGTDSSFS	12	low	low binders	non binders
DSSFSVKQD	12	low	low binders	low binders
SSFSVKQDI	12	high	moderate binders	low binders

VKQDIVAIT	12	high	moderate binders	non binders
KQDIVAITD	12	high	low binders	low binders
DWSGYSGSF	12	high	low binders	non binders
WSGYSGSFV	12	low	low binders	non binders

SGSFVQHPE	12	intermediate	non binders	low binders
VQHPELTGL	12	intermediate	low binders	non binders
DCIRPCFWV	12	intermediate	moderate binders	non binders

LIRGRPKES	12	high	low binders	low binders
SSISFCGVN	12	low	low binders	non binders

^a diperoleh berdasarkan prediksi *proteasome cleavage* dengan MAPPP

^b diperoleh menggunakan TAPPred dengan metode cascade svm

^c diperoleh menggunakan MULTIPRED dengan metode HMM

^d diperoleh menggunakan Immuneepitope dengan metode smm

Prediksi Epitope Conserved Region Matriks Protein 2 (M2)

Epitope ^a	Conserved region	Prediction of binding affinity of TAP binders ^b	prediction of HLA class I A2		prediction of HLA class I A3	
			MULTIPRED ^c		HLA class I A2	HLA class I A3
MSLLTEVET	1	low	low binders	low binders	low binders	low binders



^a diperoleh berdasarkan prediksi *proteasome cleavage* dengan MAPPP

^b diperoleh menggunakan TAPPred dengan metode cascade svm

^c diperoleh menggunakan MULTIPRED dengan metode HMM

^d diperoleh menggunakan Immuneepitope dengan metode smm



Lampiran 9. Reverse Translasi Conserved Region 13 Hemagglutinin (HA), Conserved Region 12 Neuraminidase (NA), dan Conserved Region 1Protein matrik 2 (M2)

Conserved Region 13 Hemagglutinin (HA)

CTGGAGCGCCGCATCGAGAACCTGAACAAAGAAGATGGAGGACGGCTTC
CTGGACGTGTGGACCTACAACGCCGAGCTGCTGGTGCTGATGGAGAAC
GAGCGCACCCCTGGACTTCCACGACAGCAACGTGAAGAACCTGTACGAC
AAGGTGCGCCTGCAGCTGCGCACAACGCCAAGGAGCTGGCAACGG
CTGCTTCGAGTTCTACCACAAGTGCAGACAACGAGTGC

Conserved Region 12 Neuraminidase (NA)

AGCCGCAGCGGCTTCGAGATGATCTGGACCCCAACGGCTGGACCGGC
ACCGACAGCAGCTTCAGCGTGAAGCAGGACATCGTGGCCATACCGAC
TGGAGCGGCTACAGCGGCAGCTTCGTGCAGCACCCCCGAGCTGACCGG
CCTGGACTGCATCCGCCCTGCTCTGGGTGGAGCTGATCCGGCGCCG
CCCCAAGGAGAGCACCATCTGGACCAGCGGCAGCAGCATCAGCTTCTG
CGGCGTGAACAGCGACACC

Conserved Region 1Protein matrik 2 (M2)

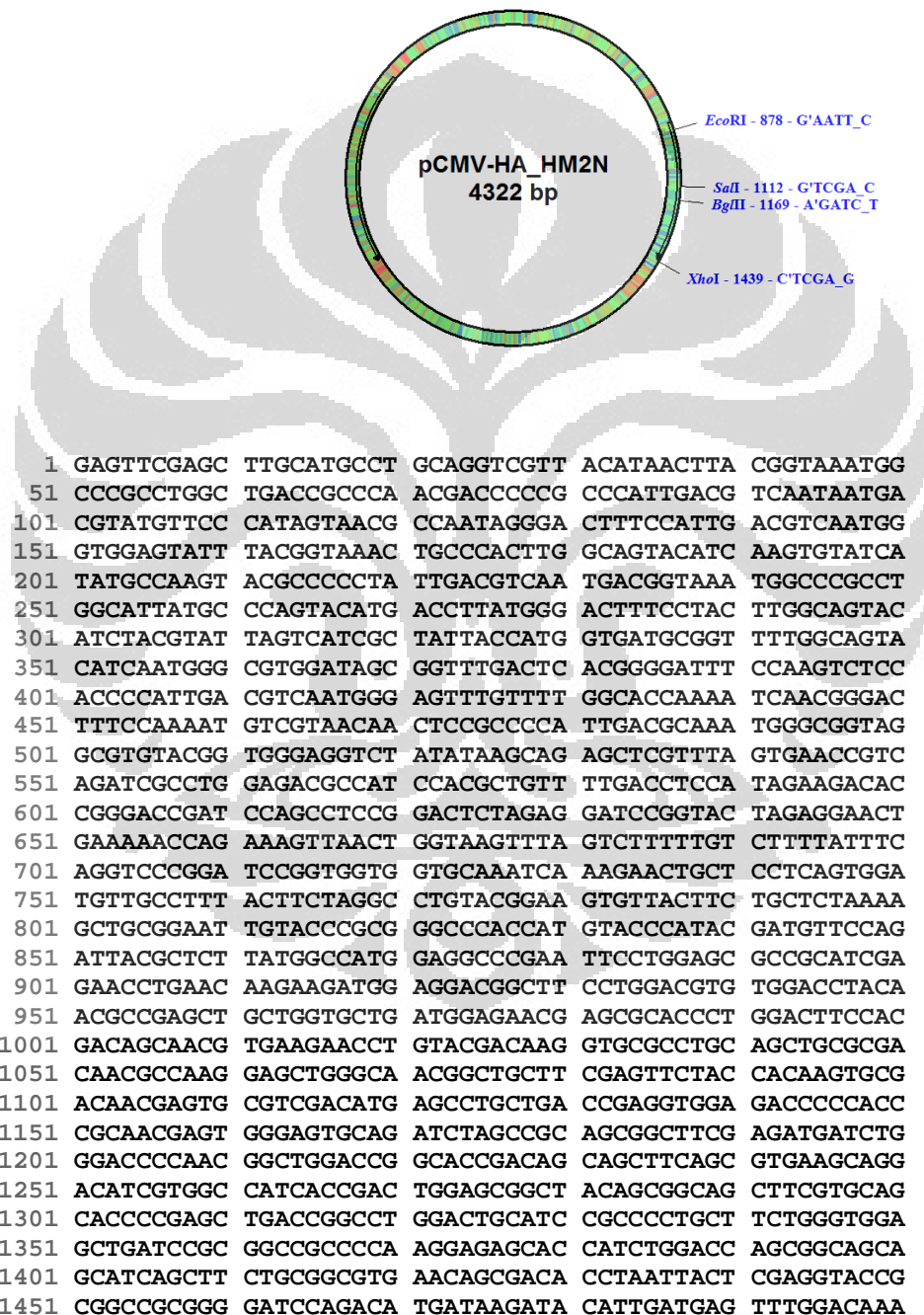
ATGAGCCTGCTGACCGAGGTGGAGACCCCCACCGAACGAGTGGGAG
TGC

Lampiran 10. Sekuen pCMV-HA

>Addgene_Vectorpedi_a: pCMV-HA Sequence sequence, 3782 bp
GAGTTCGAGCTTGATGCCTGCAGGCTGTTACATAACTACGGTAATGGCCGCCCTGGCTGACCGCCCAACGACCCCCG
CCCATTGACGTCATAATGACGTATGTCCTAGTAACGCAATAGGGACTTCCATTGACGTCATAATGGTGGAGTATT
TACGGTAAACTGCCCCACTTGGCAGTACATCAAGTGTATCATATGCCAAGTAGCCCTATTGACGTCATAATGACGGTAAA
TGGCCGCGCTGGCATTATGCCAGTACATGACCTTGGACTTCCACTTGGCAGTACATCTACGTATTAGTCATCGC
TATTACCATGGTATGCGGTTTGGCAGTACATCAATGGCGTGGATAGCGGTTTGGACTCACGGGATTTCACAATGCTCC
ACCCCATGGCAGTCAATGGGAGTTGGCAGCAACAAAATCAACGGGACTTCCAAAATGCTGAAACAACCTCCGCCCC
TTGACGCAATGGGGGTAGGGTGTACGGTGGGAGGTCTATAAGCAGAGCTGGTTAGTGACCGTCAGATCGCCTG
GAGACGCCATCACCGCTTTGACCTCAAGAACACGGGAGCAGTCCAGGACTAGAGGATCCGGTAC
TAGAGGAAGTAAAAACAGAAAAGTAACTGGTAAGTTAGTCTTTGTCTTTTTCAGGCCCCGATCCGGTGGT
GTGCAAATCAAAGAAACTGCTCCTAGTGGATGTTGCTTACTCTAGGCTGTACGGAAGTGTACTTCTGCTCTAAA
GCTGGGAAATTGACCCGGGCCCCACATGACCCATAGCTGGTGGCTTACGGCTTACGGCTTATGGCCATGGAGGGCCGAA
TTCGGTGCAGGAGACATCTCGAGGTGGCCGG
CCACAACTAGAATGAGTGGAAAAAAATGCTTTATGGTGAATTTGTGATGCTTATGGTAAACATTATAAGC
TGCAATAAACAAAGTTAACACAAACATTGATTATGTTAGTTCAGGTTCAAGGGGAGGTGGGAGGTTTTTCGGA
TCCTCTAGAGTCATGCGAGCATGCTAGCTGGCGTAATCATGGTCAAGTGTGTTCTCTGTGAAATTGTTATCCGC
TCACAATTCCACACACATAGCGCCGGAAGCATAAAGTGAAGGCTGGGCTTAATGAGTGGACTAACCTCACATTA
ATTGCGTTCGCGTCACTGCCGCTTCCAGTCGGAAACCTGCTGCGCAGCTGCTTAATGAATCGGCAACCGCGGG
GAGAGCGGGTTGCGTATTGGCGCTTCCCGTCTCGTCACTGACTCGCTGCGCTCGGTCGCGTGGCGAG
CGGTATCAGCTACTAACAGGCTTAACAGGTTACCGGTTACCCAGAATCAGGGATAACCGAGGAAGAACATGTGAGCAAA
GGCCAGCAAAGGCGAGAACCGTAAAAGGCCGGTGTGGCTTCCATAGGCTCCGGGGGGGGGGGGGGGGGGGGGGGGGG
CAAACATGACGCTCAAGTCAGGGTGGCGAAACCGACAGGACTATAAAGATACAGGCGTTCCCCCTGAGGAGCTCCC
TCGTGCGCTCTCTGTTCCGACCCCTGCCGTTACCGGATACCTGCTCCGCCCTCCCTCGGGAGCGTGGCGTTCT
CATAGTCACGCTGTAGGTATCTAGTTCGGTGTAGGTCGCTCCAGCTGGGCTGTGTCACGAACCCCCCGGTTCA
GCCGGACCGCTGGCGTTACCGTAACTATCGCTTGGTGAAGTCAACCCGGTAAGACAGGACTATCGCCACTTGGCAGCAG
CCACTGGTAACAGGATTAGCAGAGCGAGGTATGAGCGGTGTCAGAGTTCTGAAGTGTGGCTTAACACTACGGCTAC
ACTAGAAGGAGACGATTGGTATCTGCGCTCTGCTGAAGGCAAGTACCTTGGGAAAGAGTGGTAGCTTGTGATCCGG
CAAACAAACACCGCTGGTGTAGCGGTTTGTGCAAGCAGCAGATTACGCGCAGAAAAAAAGGATCTCAAGAAG
ATCCTTGTATTTTACCGGGTGTGCGCTAGTGGAAACGAAAACGTTACGTTAAGGGATTGTTGATGAGATTATCA
AAAAGGATCTTACCTAGATCCTTTAAATTAAAATGAAGTTAAATCAATCTAAAGTATATGAGTAAACTTGGTC
TGACAGTTACCAATGCTTAATCAGTGAGGCACCTATCTCGCGATCTGTGTTATTCGTTATCCATAGTGGCTGACTCC
CCGCGTGTAGATAACTACGATACGGGAGGGTACCATCTGGGGGGGGGGGGGGGGGGGGGGGGGGGGGGGGGGGGGG
CCGGCTCCAGATTATCAGCAATAACACAGCCAGCGGGGAAGGGGGGGAGCGCAGAGTGGCTCTGCAACTTTACCGCCTC
CATCCAGCTATTAAATTGTTGCCGGGAAGCTAGAGTAAGTAGTTGCGCAGTTAATAGTTGCCAAGCTTGTGCGATTG
CTACAGGCGATCGTGTGTCAGCTCGTGTGGTATGGCTTATCCAGCTCCGGGCTCAACGGGATAACGGGAGTTACA
TGATCCCCCATGTTGCAAAAAGGGGTTAGCTCCTCCGGTCTCGATGTTGAGAAGTAAAGTTGGCCAGTGT
ATCACTCATGGTTATGCCGCACTGCATAATTCTTACTGTCATGCCATCGTAAAGATGCTTCTGTGACTGGTAGT
ACTCAACCAAGTCATTGAGAATAGTGTAGCGGGGACCGAGTTGCTCTTGCCGGCGTCAACGGGATAATACCGCG
CCGCGTCCAGATTACGAGGAGCTTACGATTCGGGAAACGGTCTCATGGGAAACGGGAGGGGGGGGGGGGGGGGGGGGG
GAGATCGATGTAACCCACTCGTCACCGGAACTGATCTCAGCATCTTACTTCCAGGCTTACCGGCTGGGTGAG
CAAACACAGGAGGCAAAATGCCGAAAAAGGGATAAGGGCGACACGGGAAATGTTGAATACTCATACTCTTCTT
CAATATTATGAAAGCATTATCAGGGTATTGTCATGAGCGGATACATATTGAATGTTAGAAAAATAACAAAT
AGGGGTTCCCGCAGCATTCCGAAAAGTGGCACCTGACGCTTAAGGAAACCTTATTATGACATTAACCTATAAAA
ATAGGGTATCAGAGGCCCTTCTCGCGGTTTGGGTGAGACGGGTGAAAACCTCTGACACATGCAGCTCCGGAG
ACGGTCACAGCTTGTGTAAGCGGATGCCGGGAGCAGACAGCCGTCAGGGCGTCAAGGGGTGTTGGGGGTGCG
GGGGTGGCTTAACATGCGGATCAGAGCAGATTGACTGAGAGTGCACCATACTGGGTGTAAGGAAATACCGCACAGATGCG
TAAGGAGAAAATACCGCATCAGGCCATTGCCATTGCCACTCAGGCTGCCAACTGTTGGGAAGGGGAGTCGGTGGGGCTCT
TCGTATTACGCCAGCTGGCAGAAGGGGGATGTCGCAAGGCAGTTAGTGGGTAACGCCAGGGTTTCCAGTCACG
ACGTTGAAAACGACGGCAGT

Lampiran 11. Hasil Perancangan Vaksin DNA

Vaksin pCMV-HA_HM2N



1501 CCACAACTAG AATGCAGTGA AAAAAATGCT TTATTTGTGA AATTGTGAT
1551 GCTATTGCTT TATTTGTAAC CATTATAAGC TGCAATAAAC AAGTTAACAA
1601 CAACAATTGC ATTCAATTAA TGTTTCAGGT TCAGGGGGAG GTGTGGGAGG
1651 TTTTTCGGA TCCTCTAGAG TCGATCTGCA GGCATGCTAG CTTGGCGTAA
1701 TCATGGTCAT AGCTGTTCC TGTGTGAAAT TGTTATCCGC TCACAATTCC
1751 ACACAACATA CGAGCCGGAA GCATAAAAGTG TAAAGCCTGG GGTGCCTAAT
1801 GAGTGAGCTA ACTCACATTA ATTGCCTTGC GCTCACTGCC CGCTTCCAG
1851 TCGGGAAACC TGTCGTGCCA GCTGCATTA TGAAATCGGCC AACGCGGGG
1901 GAGAGGCAGGT TTGCGTATTG GGCGCTCTTC CGCTTCCTCG CTCACTGACT
1951 CGCTGCGCTC GGTCCGTCGG CTGCGGCGAG CGGTATCAGC TCACTCAAAG
2001 GCGGTAATAC GGTTATCCAC AGAATCAGGG GATAACGCAG GAAAGAACAT
2051 GTGAGCAAAA GGCCAGCAA AGGCCAGGAA CCGTAAAAAG GCCCGTTCG
2101 TGGCGTTTT CCATAGGCTC CGCCCCCCTG ACGAGCATCA CAAAATCGA
2151 CGCTCAAGTC AGAGGTGGCG AAACCCGACA GGACTATAAA GATACCAGGC
2201 GTTTCCCCCCT GGAAGCTCCC TCGTGCCTC TCCTGTTCCG ACCCTGCCG
2251 TTACCGGATA CCTGTCCGCC TTTCTCCCTT CGGGAAGCGT GGCGCTTCT
2301 CATAGCTCAC GCTGTAGGTA TCTCAGTTCG GTGTAGGTCG TTCGCTCAA
2351 GCTGGGCTGT GTGCACGAAC CCCCCGTTCA GCCCGACCGC TGCGCTTAT
2401 CCGGTAACTA TCGTCTTGAG TCCAACCCGG TAAGACACGA CTTATGCCA
2451 CTGGCAGCAG CCACTGGTAA CAGGATTAGC AGAGCGAGGT ATGTAGGCCG
2501 TGCTACAGAG TTCTTGAAGT GGTGGCCTAA CTACGGCTAC ACTAGAACAGA
2551 CAGTATTGAG TATCTGCGCT CTGCTGAAGC CAGTACCTT CGGAAAAAGA
2601 GTTGGTAGCT CTTGATCCGG CAAACAAACC ACCGCTGGTA GCGGTGGTT
2651 TTTTGTTCG AAGCAGCAGA TTACGCGCAG AAAAAAAGGA TCTCAAGAAC
2701 ATCCTTTGAT CTTTTCTACG GGGTCTGACG CTCAGTGGAA CGAAAACCTCA
2751 CGTTAAGGGA TTTTGGTCAT GAGATTATCA AAAAGGATCT TCACCTAGAT
2801 CCTTTAAAT TAAAAATGAA GTTTAAATC AATCTAAAGT ATATATGAGT
2851 AAACCTGGTC TGACAGTTAC CAATGCTTAA TCAGTGAGGC ACCTATCTCA
2901 GCGATCTGTC TATTCGTTTC ATCCATAGTT GCCTGACTCC CCGTCGTGTA
2951 GATAACTACG ATACGGGAGG GCTTACCATC TGGCCCCAGT GCTGCAATGA
3001 TACCGCGAGA CCCACGCTCA CCGGCTCCAG ATTTATCAGC AATAAACCAAG
3051 CCAGCCGGAA GGGCCGAGCG CAGAAGTGGT CCTGCAACTT TATCCGCTC
3101 CATCCAGTCT ATTAATTGTT GCCGGGAAGC TAGAGTAAGT AGTCGCCAG
3151 TTAATAGTT GCGCAACGTT GTTGCCTATT CTACAGGCAT CGTGGGTGTC
3201 CGCTCGTCGT TTGGTATGGC TTCATTCAAGC TCCGTTCCC AACGATCAAG
3251 GCGAGTTACA TGATCCCCCA TGTTGTGCAA AAAAGCGGTT AGCTCCTTCG
3301 GTCCTCCGAT CGTTGTCAGA AGTAAGTTGG CCGCAGTGGT ATCACTCATG
3351 GTTATGGCAG CACTGCATAA TTCTCTTACT GTCATGCCAT CCGTAAGATG
3401 CTTTCTGTG ACTGGTGAGT ACTCAACCAA GTCATTCTGA GAATAGTGT
3451 TGCAGCGACC GAGTTGCTCT TGCCCGGGT CAATACGGGA TAATACCGCG
3501 CCACATAGCA GAACTTTAAA AGTGCTCATC ATTGGAAAAC GTTCTTCGGG
3551 GCGAAAACTC TCAAGGATCT TACCGCTGTT GAGATCCAGT TCGATGTAAC
3601 CCACTCGTGC ACCCAACTGA TCTTCAGCAT CTTTACTTT CACCAGCGTT
3651 TCTGGGTGAG CAAAAACAGG AAGGCAAAAT GCCGAAAAA AGGGAAATAAG
3701 GGCGACACGG AAATGTTGAA TACTCATACT CTTCTTTTT CAATATTATT
3751 GAAGCATTAA TCAGGGTTAT TGTCTCATGA GCGGATACAT ATTTGAATGT
3801 ATTTAGAAAA ATAAACAAAT AGGGGTTCCG CGCACATTTC CCCGAAAAGT
3851 GCCACCTGAC GTCTAAAGAAA CCATTATTAT CATGACATTA ACCTATAAAA
3901 ATAGGCGTAT CACGAGGCC TTTCGTCTCG CGCGTTTCGG TGATGACGGT
3951 GAAAACCTCT GACACATGCA GCTCCCGGAG ACGGTACAG CTTGTCTGTA
4001 AGCGGATGCC GGGAGCAGAC AAGCCCGTCA GGGCGCGTCA GCGGGTGTG
4051 GCGGGTGTGCG GGGCTGGCTT AACTATGCGG CATCAGAGCA GATTGTACTG
4101 AGAGTGCACC ATATGCGGTG TGAAATACCG CACAGATGCG TAAGGAGAAA
4151 ATACCGCATIC AGGCGCCATT CGCCATTCAAG GCTGCGCAAC TGTTGGGAAG

4201 GGCGATCGGT GCAGGCTCT TCGCTATTAC GCCAGCTGGC GAAAGGGGG
4251 TGTGCTGCAA GGCGATTAAG TTGGGTAACG CCAGGGTTTT CCCAGTCACG
4301 ACGTTGTAAA ACGACGGCCA GT

pCMV-HA_HM2N, 4322 bp. (CIRCULAR)
Restriction analysis 21/05/2008
pDRAW32 revision 1.1.97
Rebase containing 262 enzymes.
4 enzymes match enzyme selection criteria.

BglII (A'GATC_T)

Cuts 1 time.
Cuts at position 1169.

ECORI (G'AATT_C) [FunII]

Cuts 1 time.
Cuts at position 878.

SalI (G'TCGA_C)

Cuts 1 time.
Cuts at position 1112.

XbaI (C'TCGA_G) [BssHI,PaeR7I,Sfr274I,SlaI,StrI,TliI]

Cuts 1 time.
Cuts at position 1439.

pCMV-HA_HM2N, 4322 bp. (CIRCULAR)

ORF analysis 21/05/2008

pDRAW32 revision 1.1.97

Minimum Orf length = 400

Genetic code = Standard genetic code

Alternative initiation codons = None

Orf# = 1

Frame = 2

Start = 842

End = 1433

Length = 591 bp

MFQITLLWPWRPEFLERRIENLNKKMEDGFLDVWTYNAELLVLMENERTL 50

DFHDSNVKNLYDKVRLQLDNAKELGNGCFEFYHKCDNECVDMSLLTEVE 100

TPTRNEWECRSSRSGFEMIWDPNGWTGTDSSFSVKQDIVAITDWSGYSGS 150

FVQHPELTGLDCIRPCFWVELIRGRPKESTIWTSGSSISFCGVNSDT*

Orf# = 2

Frame = 5

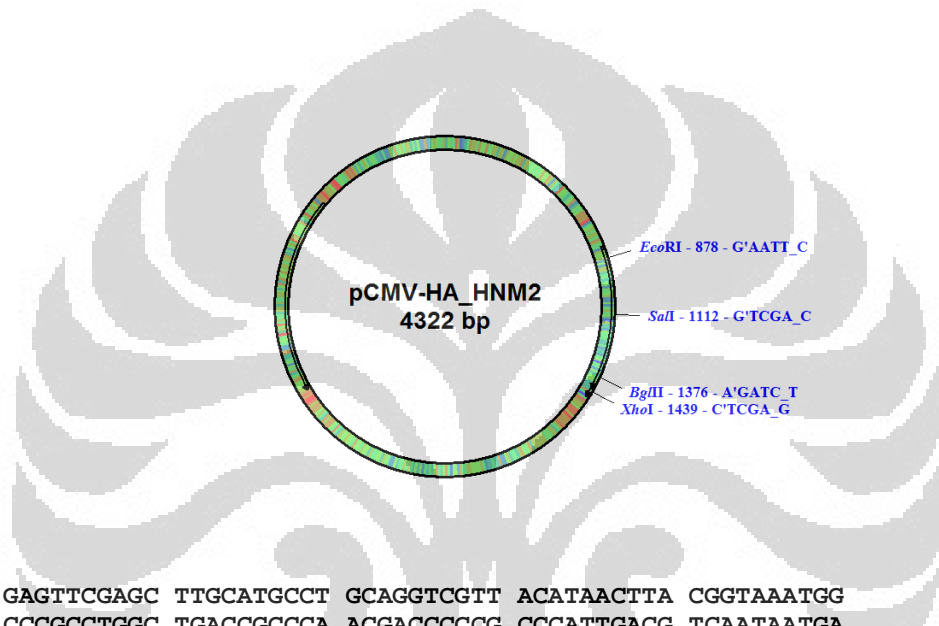
Start = 3725

End = 2867

Length = 858 bp

```
MSIQHFRVALIPFFAAFCLPVAHPETLVKVKDAEDQLGARVGYIELDLN 50
SGKILESFRPEERFPMMSTFKVLLCGAVLSRIDAGQEQLGRRIHYSQNDL 100
VEYSPVTEKHLTDGMTVRELCSAAITMSDNTAANLLTTIGGPKELTAFL 150
HNMGDHVTRLDRWEELNAIPNDERDTTMPVAMATTLRKLLTGELLTLA 200
SRQQLIDWMEADKVAGPLLRSAPAGWFIADKSGGAGERGSRGIAALGPD 250
GKPSRIVVIYTTGSQATMDERNRQIAEIGASLIKHW*
*****
```

Vaksin pCMV-HA_HNM2



```
1 GAGTCGAGC TTGCATGCCT GCAGGTCGTT ACATAACTTA CGGTAAATGG
51 CCCGCCTGGC TGACCCGCCA ACGACCCCCG CCCATTGACG TCAATAATGA
101 CGTATGTTCC CATAGTAACG CCAATAGGGA CTTTCCATTG ACGTCAATGG
151 GTGGAGTATT TACGGTAAAC TGCCCACTTG GCAGTACATC AAGTGTATCA
201 TATGCCAAGT ACGCCCCCTA TTGACGTCAA TGACGGTAAA TGGCCCGCCT
251 GGCATTATGC CCAGTACATG ACCTTATGGG ACTTCCCTAC TTGGCAGTAC
301 ATCTACGTAT TAGTCATCGC TATTACCATG GTGATGCGGT TTTGGCAGTA
351 CATCAATGGG CGTGGATAGC GGTTTGACTC ACGGGGATT CCAAGTCTCC
401 ACCCCATTGA CGTCAATGGG AGTTTGTTT GGCACCAAAA TCAACGGGAC
451 TTTCCAAAAT GTCGTAACAA CTCCGCCCCA TTGACGCAAA TGGGCGGTAG
501 GCGTGTACGG TGGGAGGTCT ATATAAGCAG AGCTCGTTA GTGAACCGTC
551 AGATCGCCTG GAGACGCCAT CCACGCTGTT TTGACCTCCA TAGAAGACAC
601 CGGGACCGAT CCAGCCTCCG GACTCTAGAG GATCCGGTAC TAGAGGAAC
651 GAAAAACCAAG AAAGTTAACT GGTAAAGTTA GTCTTTTGT CTTTTATTTC
701 AGGTCCCGGA TCCGGTGGTG GTGCAAATCA AAGAACTGCT CCTCAGTGG
751 TGTTGCCTTT ACTTCTAGGC CTGTACGGAA GTGTTACTTC TGCTCTAAAA
801 GCTCGGAAT TGTACCCCGC GGCCCACCAT GTACCCATAC GATGTTCCAG
851 ATTACGCTCT TATGGCCATG GAGGCCCGAA TTCCTGGAGC GCCGCATCGA
901 GAACCTGAAC AAGAACATGG AGGACGGCTT CCTGGACGTG TGGACCTACA
951 ACGCCGAGCT GCTGGTGCTG ATGGAGAACG AGCGCACCCCT GGACTTCCAC
1001 GACAGCAACG TGAAGAACCT GTACGACAAG GTGCGCCTGC AGCTGCGCGA
1051 CAACGCCAAG GAGCTGGCA ACGGCTGCTT CGAGTTCTAC CACAAGTGC
1101 ACAACGAGTG CGTCGACAGC CGCAGCGGCT TCGAGATGAT CTGGGACCCC
1151 AACGGCTGGA CCGGCACCGA CAGCAGCTTC AGCGTGAAGC AGGACATCGT
```

1201 GGCCATCACC GACTGGAGCG GCTACAGCGG CAGCTTCGTG CAGCACCCG
 1251 AGCTGACCGG CCTGGACTGC ATCCGCCCT GCTTCTGGT GGAGCTGATC
 1301 CGCGGCCGCC CCAAGGAGAG CACCATCTGG ACCAGCGGCA GCAGCATCAG
 1351 CTTCTGCGGC GTGAACAGCG ACACCAAGATC TATGAGCCTG CTGACCGAGG
 1401 TGGAGACCCC CACCCGCAAC GAGTGGGAGT GCTAATTACT CGAGGTACCG
 1451 CGGCCGCGGG GATCCAGACA TGATAAGATA CATTGATGAG TTTGGACAAA
 1501 CCACAACTAG AATGCAGTGA AAAAATGCT TTATTTGTGA AATTGATGAT
 1551 GCTATTGCTT TATTTGTAAC CATTATAAGC TGCAATAAAC AAGTTAACAA
 1601 CAACAAATTGC ATTCAATTAA TGTTTCAGGT TCAGGGGGAG GTGTGGGAGG
 1651 TTTTTTCGGA TCCTCTAGAG TCGATCTGCA GGCATGCTAG CTTGGCGTAA
 1701 TCATGGTCAT AGCTGTTCC TGTTGTGAAAT TGTTATCCGC TCACAATTCC
 1751 ACACAACATA CGAGCCGAA GCATAAAAGTG TAAAGCCTGG GGTGCCTAAT
 1801 GAGTGAGCTA ACTCACATTA ATTGCGTTGC GCTCACTGCC CGCTTTCCAG
 1851 TCGGGAAACC TGCGTGCCTA GCTGCATTAA TGAATCGGCC AACGCGCGGG
 1901 GAGAGGCGGT TTGCGTATTG GGCCTCTTC CGCTTCCTCG CTCACTGACT
 1951 CGCTCGCTC GGTCGTTCGG CTGCGGCGAG CGGTATCAGC TCACCTCAAAG
 2001 GCGGTAATAC GGTTATCCAC AGAATCAGGG GATAACCGAG GAAAGAACAT
 2051 GTGAGCAAAA GGCCAGCAAA AGGCCAGGAA CCGTAAAAG GCCGCGTTGC
 2101 TGGCGTTTT CCATAGGCTC CGCCCCCTG ACGAGCATCA CAAAATCGA
 2151 CGCTCAAGTC AGAGGTGGCG AAACCCGACA GGACTATAAA GATACCAGGC
 2201 GTTCCCCCTT GGAAGCTCCC TCGTGCCTC TCCTGTTCCG ACCCTGCCGC
 2251 TTACCGGATA CCTGTCCGCC TTTCTCCCTT CGGGAAGCGT GGGCGTTCT
 2301 CATAGCTCAC GCTGTAGGTA TCTCAGTTCG GTGTAGGTCG TTCGCTCAA
 2351 GCTGGGCTGT GTGCACGAAC CCCCCGTTCA GCCCGACCGC TGCCTTAT
 2401 CCGGTAACTA TCGTCTTGAG TCCAACCCGG TAAGACACGA CTTATGCCA
 2451 CTGGCAGCAG CCACTGGTAA CAGGATTAGC AGAGCGAGGT ATGTAGGCAG
 2501 TGCTACAGAG TTCTTGAAGT GGTGGCTAA CTACGGCTAC ACTAGAAGGA
 2551 CAGTATTG TATCTGGCT CTGCTGAAGC CAGTTACCTT CGGAAAAAGA
 2601 GTTGGTAGCT CTTGATCCGG CAAACAAACC ACCGCTGGTA GCGGTGGTT
 2651 TTTTGGTGC AAGCAGCAGA TTACGCGCAG AAAAAAAGGA TCTCAAGAAG
 2701 ATCCTTTGAT CTTTCTACG GGGTCTGACG CTCAGTGGAA CGAAAACCTCA
 2751 CGTTAAGGGA TTTTGGTCAT GAGATTATCA AAAAGGATCT TCACCTAGAT
 2801 CCTTTAAAT TAAAAATGAA GTTTTAAATC AATCTAAAGT ATATATGAGT
 2851 AAACCTGGTC TGACAGTTAC CAATGCTTAA TCAGTGAGGC ACCTATCTCA
 2901 GCGATCTGTC TATTCGTT ATCCATAGTT GCCTGACTCC CCGCTGTGA
 2951 GATAACTACG ATACGGGAGG GCTTACCATC TGGCCCCAGT GCTGCAATGA
 3001 TACCGCGAGA CCCACGCTCA CCGGCTCCAG ATTTATCAGC AATAAACCAAG
 3051 CCAGCCGGAA GGGCGAGCG CAGAAGTGGT CCTGCAACTT TATCCGCTC
 3101 CATCCAGTCT ATTAATTGTT GCGGGGAAGC TAGAGTAAGT AGTCGCCAG
 3151 TTAATAGTTT GCGCAACGTT GTGCCATTG CTACAGGCAT CGTGGTGTCA
 3201 CGCTCGTCGT TTGGTATGGC TTCATTCAAGC TCCGGTCTCCC AACGATCAAG
 3251 GCGAGTTACA TGATCCCCCA TGTGTGCAA AAAAGCGGTT AGCTCCTTCG
 3301 GTCCTCCGAT CGTTGTCAAGA AGTAAGTTGG CCGCAGTGTGTT ATCACTCATG
 3351 GTTATGGCAG CACTGCATAA TTCTCTTACT GTCATGCCAT CCGTAAGATG
 3401 CTTTCTGTG ACTGGTGAGT ACTCAACCAA GTCATTCTGA GAATAGTGT
 3451 TGCGGCGACC GAGTTGCTCT TGCCCGCGT CAATACGGGA TAATACCGCG
 3501 CCACATAGCA GAACTTTAAA AGTGCTCATC ATTGGAAAAGC GTTCTTCGGG
 3551 GCGAAAACTC TCAAGGATCT TACCGCTGTT GAGATCCAGT TCGATGTAAC
 3601 CCACTCGTGC ACCCAACTGA TCTCAGCAT CTTTACTTT CACCAGCGTT
 3651 TCTGGGTGAG CAAAAACAGG AAGGCAAAT GCGCAAAAA AGGAATAAG
 3701 GCGGACACGG AAATGTTGAA TACTCATACT CTTCTTTTTT CAATATTATT
 3751 GAAGCATTAA TCAGGGTTAT TGTCTCATGA GCGGATAACAT ATTTGAATGT
 3801 ATTTAGAAAA ATAACAAAT AGGGGTTCCG CGCACATTTC CCCGAAAAGT
 3851 GCCACCTGAC GTCTAAGAAA CCATTATTAT CATGACATTA ACCTATAAAA

```
3901 ATAGGCGTAT CACGAGGCC CTTCGTCTCG CGCGTTTCGG TGATGACGGT
3951 GAAAACCTCT GACACATGCA GCTCCCGGAG ACGGTACAG CTTGTCTGTA
4001 AGCGGATGCC GGGAGCAGAC AAGCCCCTCA GGGCGCGTCA GCGGGTGTTG
4051 GCGGGTGTGCG GGGCTGGCTT AACTATGCGG CATCAGAGCA GATTGTACTG
4101 AGAGTGCACC ATATGCGGTG TGAAATAACCG CACAGATGCG TAAGGAGAAA
4151 ATACCGCATC AGGCGCCATT CGCCATTCAAG GCTGCGCAAC TGTTGGGAAG
4201 GGCATCGGT GCGGGCCTCT TCGCTATTAC GCCAGCTGGC GAAAGGGGGA
4251 TGTGCTGCAA GGCGATTAAG TTGGGTAACG CCAGGGTTT CCCAGTCACG
4301 ACGTTGTAAA ACGACGGCCA GT
```

pCMV-HA_HNM2, 4322 bp. (CIRCULAR)

Restriction analysis 21/05/2008

pDRAW32 revision 1.1.97

Rebase containing 262 enzymes.

4 enzymes match enzyme selection criteria.

BglII (A'GATC_T)

Cuts 1 time.

Cuts at position 1376.

ECORI (G' AATT_C) [FunII]

Cuts 1 time.

Cuts at position 878.

SalI (G' TCGA_C)

Cuts 1 time.

Cuts at position 1112.

XbaI (C' TCGA_G) [BssHI,PaeR7I,Sfr274I,SlaI,StrI,TliI]

Cuts 1 time.

Cuts at position 1439.

pCMV-HA_HNM2, 4322 bp. (CIRCULAR)

ORF analysis 21/05/2008

pDRAW32 revision 1.1.97

Minimum Orf length = 400

Genetic code = Standard genetic code

Alternative initiation codons = None

Orf# = 1

Frame = 1

Start = 829

End = 1471

Length = 642 bp

MYPYDVPDYALMAMEARIPGAPHREPEQEDGGRLPGRVDLQRRAAGADGE 50

RAHPGLPQQREEPVRQGAPAAARQRQGAGQRLLRVLPQVRQRVRQPQR 100

LRDDLGPKQLDRHQQLQREAGHGHHLERLQRQLRAAPRADPGLHPP 150

LLLGGADPRPPQGEHHLDQRQQHQQLLRRERHQIYE PADRGGDPHPQRVG 200

VLITRGTAAGIQT*

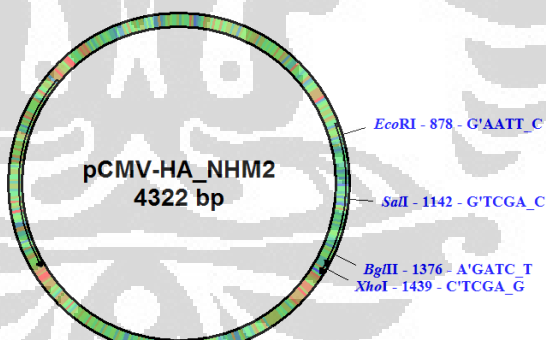
```

Orf# = 2
Frame = 2
Start = 842
End = 1433
Length = 591 bp
MFQITLLWPWRPEFLERRIENLNKKMEDGFLDVWTYNAELLVLMENERTL 50
DFHDSNVKNLYDKVRLQLRDNAKELGNNGCFEFYHKCDNECVDSRSGFEMI 100
WDPNGWTGTDSSFSVKQDIVAITDWSGYSGSFVQHPELTGLDCIRPCFWV 150
ELIRGRPKESTIWTSGSSISFCGVNSDTRSMSLLTEVEPTPRNEWEC*
*****  

Orf# = 3
Frame = 5
Start = 3725
End = 2867
Length = 858 bp
MSIQHFRVALIPFFAAFFCLPVFAHPETLVKVKAEDQLGARVGYIELDLN 50
SGKILESFRPEERFPMMSTFKVLLCGAVLSRIDAGQEQLGRRIHYSQNDL 100
VEYSPVTTEKHLTDGMTVRELCSAAITMSDNTAANLLLTTIGGPKELTAFL 150
HNMGDHVTRLDWRPEPLNEAIPNDERDTTTPVAMATTLRKLLTGELTLA 200
SRQQLIDWMEADKVAGPLLRSALPAGWFIADKSGAGERGSRGIIAALGPD 250
GKPSRIVVIYTTGSQATMDERNRQIAEIGASLIKHW*
*****  


```

Vaksin pCMV-HA_NHM2



```

1 GAGTCGAGC TTGCATGCCT GCAGGTCGTT ACATAACTTA CGGTAAATGG
51 CCCGCCGGC TGACCGCCCA ACGACCCCCG CCCATTGACG TCAATAATGA
101 CGTATGTTCC CATAGTAACG CCAATAGGGA CTTTCCATTG ACGTCAATGG
151 GTGGAGTATT TACGGTAAAC TGCCCACCTTG GCAGTACATC AAGTGTATCA
201 TATGCCAAGT ACGCCCCCTA TTGACGTCAA TGACGGTAAA TGGCCCGCCT
251 GGCATTATGC CCAGTACATG ACCTTATGGG ACTTTCTAC TTGGCAGTAC
301 ATCTACGTAT TAGTCATCGC TATTACCATG GTGATGCGGT TTTGGCAGTA
351 CATCAATGGG CGTGGATAGC GGTTTGACTC ACGGGGATTT CCAAGTCTCC
401 ACCCCATTGA CGTCAATGGG AGTTTGTGTTT GGCACCAAAA TCAACGGGAC

```

451 TTTCCAAAAT GTCGTAACAA CTCCGCCCA TTGACGCAA TGGGCGGTAG
501 GCGTGTACGG TGGGAGGTCT ATATAAGCAG AGCTGTTA GTGAACCGTC
551 AGATCGCCTG GAGACGCCAT CCACGCTGTT TTGACCTCCA TAGAAGACAC
601 CGGGACCGAT CCAGCCTCCG GACTCTAGAG GATCCGGTAC TAGAGGAAC
651 GAAAAACCGAG AAAGTTAACT GGTAAGTTA GTCTTTTGTT CTTTATTTC
701 AGGTCCCAGA TCCGGTGGTG GTGCAAATCA AAGAACTGCT CCTCAGTGG
751 TGTTGCCTT ACTTCTAGGC CTGTACGGAA GTGTTACTTC TGCTCTAAA
801 GCTGCGGAAT TGTACCCCGG GGCCCCACCAT GTACCCATAC GATGTTCCAG
851 ATTACGCTCT TATGGCCATG GAGGCCCGA TTCAAGCCGA GCGGCTTCGA
901 GATGATCTGG GACCCCAACG GCTGGACCGG CACCGACAGC AGCTTCAGCG
951 TGAAGCAGGA CATCGTGGCC ATCACCGACT GGAGCGGCTA CAGCGGCAGC
1001 TTCGTGCAGC ACCCGAGCT GACCGGCCTG GACTGCATCC GCCCCCTGCTT
1051 CTGGGTGGAG CTGATCCCGC GCCGCCCAA GGAGAGCACC ATCTGGACCA
1101 GCGGCAGCAG CATCAGCTTC TGCGGCGTGA ACAGCGACAC CGTCGACCTG
1151 GAGCGCCGCA TCGAGAACCT GAACAAGAAG ATGGAGGAGC GCTTCTGG
1201 CGTGTGGACC TACAACGCCG AGCTGCTGGT GCTGATGGAG AACGAGCGCA
1251 CCCTGGACTT CCACGACAGC AACGTGAAGA ACCTGTACGA CAAGGTGCGC
1301 CTGCAGCTGC GCGACAACGC CAAGGAGCTG GGCAACGGCT GCTTCGAGTT
1351 CTACCACAAG TGCAGACAACG AGTGCAGATC TATGAGCCTG CTGACCGAGG
1401 TGGAGACCCC CACCCGCAAC GAGTGGGAGT GCTAATTACT CGAGGTACCG
1451 CGGCCGCGGG GATCCAGACA TGATAAGATA CATTGATGAG TTTGGACAAA
1501 CCACAACCTAG AATGCAGTGA AAAAATGCT TTATTGTTGA AATTGAGT
1551 GCTATTGCTT TATTGTAAC CATTATAAGC TGCAATAAAC AAGTTAACAA
1601 CAACAATTGC ATTCAATTTC TGTTTCAGGT TCAGGGGGAG GTGTGGGAGG
1651 TTTTTTCGGA TCCTCTAGAG TCGATCTGCA GGCATGCTAG CTTGGCGTAA
1701 TCATGGTCAT AGCTGTTTC TGTGTGAAAT TGTTATCCGC TCACAATTCC
1751 ACACAACATA CGAGCCGGAA GCATAAAAGTG TAAAGCCTGG GGTGCCTAAT
1801 GAGTGAGCTA ACTCACATTA ATTGCCTTGC GCTCACTGCC CGCTTTCCAG
1851 TCGGGAAACC TGTCGTGCCA GCTGCATTAA TGAATCGGCC AACGCGCGGG
1901 GAGAGGCAGGT TTGCGTATTG GGCCTCTTC CGCTCCCTCG CTCACTGACT
1951 CGCTGCGCTC GGTGCGTTCGG CTGCGGCGAG CGGTATCAGC TCACTCAAAG
2001 GCGGTAATAC GGTTATCCAC AGAATCAGGG GATAACGCAG GAAAGAACAT
2051 GTGAGCAAAA GGCCAGCAA AGGCCAGGAA CCGTAAAAG GCGCGTTGC
2101 TGGCGTTTTT CCATAGGCTC CGCCCCCCTG ACGAGCCTCA CAAAATCGA
2151 CGCTCAAGTC AGAGGTGGCG AAACCCGACA GGACTATAAA GATACCAGGC
2201 GTTCCCCCTT GGAAGCTCCC TCGTGCCTC TCCTGTTCCG ACCCTGCC
2251 TTACCGGATA CCTGTCCGCC TTTCTCCCTT CGGGAAAGCGT GGCCTTTCT
2301 CATAGCTCAC GCTGTAGGTA TCTCAGTTCG GTGTAGGTCG TTCGCTCAA
2351 GCTGGGCTGT GTGCACGAAC CCCCCGTTCA GCCCGACCGC TGCGCTTAT
2401 CCGGTAACCA TCGTCTTGAG TCCAACCCGG TAAGACACGA CTTATGCCA
2451 CTGGCAGCAG CCACTGGTAA CAGGATTAGC AGAGCGAGGT ATGTAGGCGG
2501 TGCTACAGAG TTCTTGAAGT GGTGGCCTAA CTACGGCTAC ACTAGAAC
2551 CAGTATTGG TATCTGCGCT CTGCTGAAGC CAGTACCTT CGGAAAAAGA
2601 GTTGGTAGCT CTTGATCCGG CAAACAAACC ACCGCTGGTA GCGGTGGTT
2651 TTTTGGTTGC AAGCAGCAGA TTACGCGCAG AAAAAGGA TCTCAAGAAC
2701 ATCCTTGAT CTTTCTACG GGGTCTGACG CTCAGTGGAA CGAAACTCA
2751 CGTTAAGGGA TTTTGGTCAT GAGATTATCA AAAAGGATCT TCACCTAGAT
2801 CCTTTAAAT TAAAAATGAA GTTTAAATC AATCTAAAGT ATATATGAGT
2851 AAACCTGGTC TGACAGTTAC CAATGCTTAA TCAGTGAGGC ACCTATCTCA
2901 GCGATCTGTC TATTCGTTT ATCCATAGTT GCCTGACTCC CCGTCGTGTA
2951 GATAACTACG ATACGGGAGG GCTTACCATC TGGCCCCAGT GCTGCAATGA
3001 TACCGCGAGA CCCACGCTCA CCGGCTCCAG ATTTATCAGC AATAAAC
3051 CCAGCCGGAA GGGCCGAGCG CAGAAGTGGT CCTGCAACTT TATCCGCC
3101 CATCCAGTCT ATTAATTGTT GCCGGGAAGC TAGAGTAAGT AGTCGCCAG

3151 TTAATAGTTT GCGCAACGTT GTGCCATTG CTACAGGCAT CGTGGTGTCA
3201 CGCTCGTCGT TTGGTATGGC TTCATTCAGC TCCGGTCCC AACGATCAAG
3251 GCGAGTTACA TGATCCCCA TGTTGTCAA AAAAGCGGTT AGCTCCTTCG
3301 GTCCTCCGAT CGTTGTCAA AGTAAGTTGG CCGCAGTGTGTT ATCACTCATG
3351 GTTATGGCAG CACTGCATAA TTCTCTTACT GTCATGCCAT CCGTAAGATG
3401 CTTTCTGTG ACTGGTGAGT ACTCAACCAA GTCATTCTGA GAATAGTGTG
3451 TGCGGCAGC GAGTTGCTCT TGCCCGCGT CAATACGGGA TAATACCGCG
3501 CCACATAGCA GAACTTTAAA AGTGCTCATC ATTGGAAAAC GTTCTTCGGG
3551 GCGAAAACTC TCAAGGATCT TACCGCTGTT GAGATCCAGT TCGATGTAAC
3601 CCACTCGTGC ACCCAACTGA TCTTCAGCAT CTTTACTTT CACCAGCGTT
3651 TCTGGGTGAG CAAAAACAGG AAGGCAAAAT GCGCAAAAAA AGGGAATAAG
3701 GGCACACGG AAATGTTGAA TACTCATACT CTTCTTTTT CAATATTATT
3751 GAAGCATTAA TCAGGGTTAT TGTCTCATGA GCGGATACAT ATTGAAATGT
3801 ATTTAGAAAA ATAAACAAAT AGGGGTTCCG CGCACATTTC CCCGAAAAGT
3851 GCCACCTGAC GTCTAAGAAA CCATTATTAT CATGACATTA ACCTATAAAA
3901 ATAGGCGTAT CACGAGGCC CTTCTGTCTCG CGCGTTTCGG TGATGACGGT
3951 GAAAACCTCT GACACATGCA GCTCCCGGAG ACGGTACACAG CTTGTCTGTA
4001 AGCGGATGCC GGGAGCAGAC AAGCCCGTCA GGGCGCGTCA GCGGGTGTG
4051 GCGGGTGTGCG GGGCTGGCTT AACTATGCGG CATCAGAGCA GATTGTACTG
4101 AGAGTGCACC ATATGCGGTG TGAAATACCG CACAGATGCG TAAGGAGAAA
4151 ATACCGCATT AGGCGCCATT CGCCATTCAAG GTCGCGAAC TGTTGGGAAG
4201 GGCGATCGGT GCGGGCCTCT TCGCTATTAC GCCAGCTGGC GAAAGGGGGA
4251 TGTGCTGCAA GGCGATTAAG TTGGGTAACG CCAGGGTTTT CCCAGTCACG
4301 ACGTTGTTAA ACACGGCCA GT

pCMV-HA_NHM2, 4322 bp. (CIRCULAR)

Restriction analysis 21/05/2008

pDRAW32 revision 1.1.97

Rebase containing 262 enzymes.

4 enzymes match enzyme selection criteria.

BglII (A'GATC_T)

Cuts 1 time.

Cuts at position 1376.

ECORI (G'AATT_C) [FnuII]

Cuts 1 time.

Cuts at position 878.

SalI (G'TCGA_C)

Cuts 1 time.

Cuts at position 1142.

XbaI (C'TCGA_G) [BssHI,PaeR7I,Sfr274I,SlaI,StrI,TliI]

Cuts 1 time.

Cuts at position 1439.

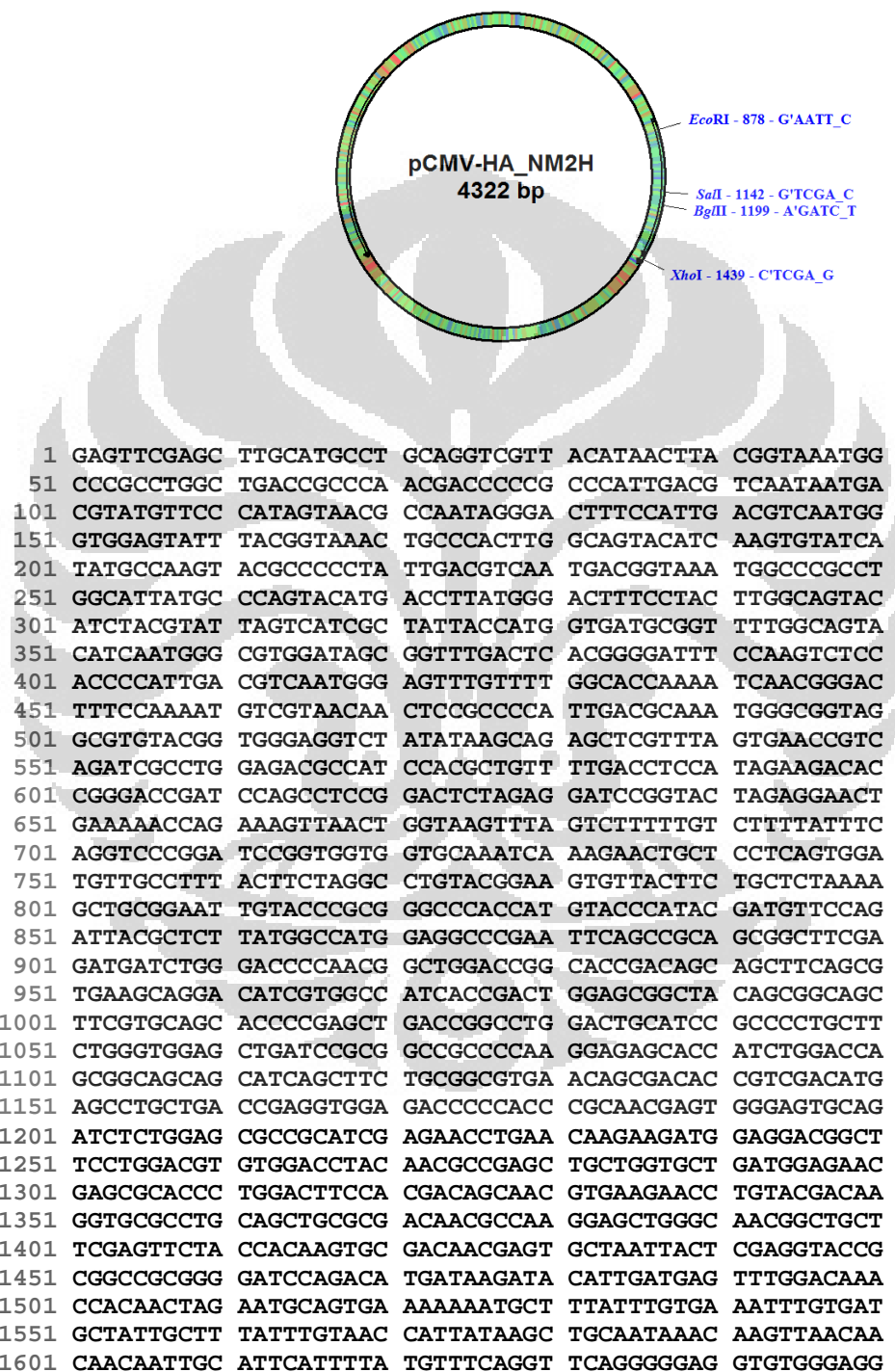
pCMV-HA_NHM2, 4322 bp. (CIRCULAR)

ORF analysis 21/05/2008

pDRAW32 revision 1.1.97

```
Minimum Orf length = 400
Genetic code = Standard genetic code
Alternative initiation codons = None
*****
Orf# = 1
Frame = 1
Start = 829
End = 1471
Length = 642 bp
MYPYDVPDYALMAMEARIQPQQLRDDLGPQQLDRHRQQLQREAGHRGHHR 50
LERLQRQLRAAPRADRPGLHPPLLLGGADPRPPQGEHHLIDQRQQHQQLLRR 100
EQRHRRPGAPHREPEQEDGGRLPGRVDLQRRAAGADGERAHPGLPQQRE 150
EPVRQGAPAAARQRQGAGQRLLRVLPQVRQRVQIYE PADRGGDPHPQRVG 200
VLITRGTAAGIQT*
*****
Orf# = 2
Frame = 2
Start = 842
End = 1433
Length = 591 bp
MFQITLLWPWRPEFSRSGFEMIWDPNGWTGTSSFSVKQDIVAITDWSGY 50
SGSFVQHPPELTGLDCIRPCFWELIRGRPKESTIWTSGSSISFCGVNSDT 100
VDLERRIENLNKKMEDGFLDVWTYNAELLVLMENERTLDFHDSNVKNLYD 150
KVRLQLRDNAKELGNGCFEFYHKCDNECRSMSLLTEVETPTRNEWEC*
*****
Orf# = 3
Frame = 5
Start = 3725
End = 2867
Length = 858 bp
MSIQHFRVALIPFFAACFCLPVFAHPETLVKVKDAEDQLGARVGYIELDLN 50
SGKILESFPEERFPMMSTFKVLLCGAVLSRIDAGQEQLGRRIHYSQNDL 100
VEYSPVTIEKHLTDGMTVRELCSAITMSDNTAANLLTTIGGPKELTAFL 150
HNMGDHVTRLDRWEPELNEAIIPNDERDTTTPVAMATTLRKLLTGELLTLA 200
SRQQLIDWMEADKVAGPLLRSALPAGWFIADKSGAGERGSRGIATAALGPD 250
GKPSRIVVIYTTGSQATMDERNRQIAEIGASLIKHW*
*****
```

Vaksin pCMV-HA_NM2H



1651 TTTTTTCGGA TCCTCTAGAG TCGATCTGCA GGCATGCTAG CTTGGCGTAA
1701 TCATGGTCAT AGCTGTTCC TGTGTGAAAT TGTTATCCGC TCACAATTCC
1751 ACACAACATA CGAGCCGGAA GCATAAAGTG TAAAGCCTGG GGTGCCTAAT
1801 GAGTGAGCTA ACTCACATTA ATTGCCTTGC GCTCACTGCC CGCTTCCAG
1851 TCGGGAAACC TGTGGTGCCTA GCTGCATTAA TGAATCGGCC AACGCGGGG
1901 GAGAGGCGGT TTGCGTATTG GGCGCTCTTC CGCTTCCCTCG CTCACTGACT
1951 CGCTGCGCTC GGTGGTCCGG CTGCGGCGAG CGGTATCAGC TCACCAAAG
2001 GCGGTAATAC GGTTATCCAC AGAACATCAGGG GATAACGCAG GAAAGAACAT
2051 GTGAGCAAAA GGCCAGCAA AGGCCAGGAA CCGTAAAAAG GCCGCGTTGC
2101 TGGCGTTTT CCATAGGCTC CGCCCCCCCCTG ACGAGCATCA CAAAATCGA
2151 CGCTCAAGTC AGAGGTGGCG AAACCCGACA GGACTATAAA GATACCAGGC
2201 GTTTCCTCCCT GGAAGCTCCC TCGTGCCTC TCCTGTTCCG ACCCTGCCGC
2251 TTACCGGATA CCTGTCCGCC TTTCTCCCTT CGGGAAAGCGT GGCGCTTCT
2301 CATAGCTCAC GCTGTAGGTA TCTCAGTTCG GTGTTAGGTCG TTCGCTCAA
2351 GCTGGGCTGT GTGCACGAAC CCCCCGTTCA GCCCGACCGC TGCGCCTTAT
2401 CCGGTAACTA TCGTCTTGAG TCCAACCCGG TAAGACACGA CTTATGCCA
2451 CTGGCAGCAG CCACTGGTAA CAGGATTAGC AGAGCGAGGT ATGTTAGGCG
2501 TGCTACAGAG TTCTTGAAGT GGTGGCCTAA CTACGGCTAC ACTAGAAGGA
2551 CAGTATTTGG TATCTGCGCT CTGCTGAAGC CAGTTACCTT CGGAAAAAGA
2601 GTTGGTAGCT CTTGATCCGG CAAACAAACC ACCGCTGGTA GCGGTGGTTT
2651 TTTTGGTTGC AAGCAGCAGA TTACGCGCAG AAAAAAAAGGA TCTCAAGAAG
2701 ATCCTTGTAT CTTTCTACG GGGTCTGACG CTCAGTGGAA CGAAAACCTCA
2751 CGTTAAGGGA TTTTGGTCAT GAGATTATCA AAAAGGATCT TCACCTAGAT
2801 CTTTTAAAT TAAAAATGAA GTTTTAAATC AATCTAAAGT ATATATGAGT
2851 AAACTTGGTC TGACAGTTAC CAATGCTTAA TCAGTGAGGC ACCTATCTCA
2901 GCGATCTGTC TATTCGTTT ATCCATAGTT GCCTGACTCC CCGTCGTGTA
2951 GATAACTACG ATACGGGAGG GCTTACCATC TGCCCGCCAGT GCTGCAATGA
3001 TACCCGGAGA CCCACGCTCA CCGGCTCCAG ATTTATCAGC AATAAACAG
3051 CCAGCCGGAA GGGCCGAGCG CAGAAGTGGT CCTGCAACTT TATCCGCC
3101 CATCCAGTCT ATTAATTGTT GCCGGGAAGC TAGAGTAAGT AGTCGCCAG
3151 TTAATAGTTT GCGCAACGTT GTTGCCTATTG CTACAGGCAT CGTGGGTGCA
3201 CGCTCGTCGT TTGGTATGGC TTCATTCAAGC TCCGGTTCCC AACGATCAAG
3251 GCGAGTTACA TGATCCCCCA TGTTGTGCAA AAAAGCGGTT AGCTCCTTCG
3301 GTCCTCCGAT CGTTGTAGA AGTAAGTTGG CCGCAGTGTG ATCACTCATG
3351 GTTATGGCAG CACTGCATAA TTCTCTTACT GTCATGCCAT CCGTAAGATG
3401 CTTTCTGTG ACTGGTGAGT ACTCAACCAA GTCATTCTGA GAATAGTGT
3451 TGCAGCGACC GAGTTGCTCT TGCCCGCGT CAATACGGGA TAATACCGC
3501 CCACATAGCA GAACTTTAAA AGTGCTCATC ATTGGAAAAC GTTCTTCGGG
3551 GCGAAAACTC TCAAGGATCT TACCGCTGTT GAGATCCAGT TCGATGTAAC
3601 CCACTCGTC ACCCAACTGA TCTTCAGCAT CTTTACTTT CACCAGCGTT
3651 TCTGGGTGAG CAAAAACAGG AAGGCAAAAT GCCGCAAAAA AGGGATAAAG
3701 GGCGACACGG AAATGTTGAA TACTCATACT CTTCTTTTT CAATATTATT
3751 GAAGCATTAA TCAGGGTTAT TGTCTCATGA GCGGATACAT ATTTGAATGT
3801 ATTTAGAAAA ATAAACAAAT AGGGGTTCCG CGCACATTTC CCCGAAAAGT
3851 GCCACCTGAC GTCTAAGAAA CCATTATTAT CATGACATTA ACCTATAAAA
3901 ATAGGCGTAT CACGAGGCC TTTCGTCTCG CGCGTTTCGG TGATGACGGT
3951 GAAAACCTCT GACACATGCA GCTCCCGGAG ACGGTACAG CTTGTCTGTA
4001 AGCGGATGCC GGGAGCAGAC AAGCCCGTCA GGGCGCGTCA GCGGGTGTG
4051 GCGGGTGTGCG GGGCTGGCTT AACTATGCGG CATCAGAGCA GATTGTACTG
4101 AGAGTGCACC ATATGCGGTG TGAAATACCG CACAGATGCG TAAGGAGAAA
4151 ATACCGCATT AGGCGCCATT CGCCATTCAAG GCTGCACAC TGTTGGGAAG
4201 GCGGATCGGT GCGGGCCTCT TCGCTATTAC GCCAGCTGGC GAAAGGGGGA
4251 TGTGCTGCAA GGCGATTAAG TTGGGTAACG CCAGGGTTT CCCAGTCACG
4301 ACGTTGTAAA ACGACGGCCA GT

pCMV-HA_NM2H, 4322 bp. (CIRCULAR)
Restriction analysis 21/05/2008
pDRAW32 revision 1.1.97
Rebase containing 262 enzymes.
4 enzymes match enzyme selection criteria.

BglII (A'GATC_T)

Cuts 1 time.
Cuts at position 1199.

ECORI (G'AATT_C) [FunII]

Cuts 1 time.
Cuts at position 878.

SalI (G'TCGA_C)

Cuts 1 time.
Cuts at position 1142.

XhoI (C'TCGA_G) [BssHI,PaeR7I,Sfr274I,SlaI,StrI,TliI]

Cuts 1 time.
Cuts at position 1439.

pCMV-HA_NM2H, 4322 bp. (CIRCULAR)
ORF analysis 21/05/2008
pDRAW32 revision 1.1.97
Minimum Orf length = 400
Genetic code = Standard genetic code
Alternative initiation codons = None

Orf# = 1

Frame = 1

Start = 829

End = 1471

Length = 642 bp

MYPYDVPDYALMAMEARIQPQLRLDDLGQPQLDRHQQQLQREAGHRGHHR 50

LERLQRQLRAAPRADRPGLHPPLLLGGADPRPPQGEHHILDQRQQHQQLLRR 100

EQRHRRHEPADRGGDPHPQRVGVQISGAPHREPEQEDGGRLLPGRVDLQRR 150

AAGADGERAHPGLPRQQREEPVRQGAPAAAQRQGAGQRLLRVLPQVRQR 200

VLITRGTAAGIQT*

Orf# = 2

Frame = 2

Start = 842

End = 1433

Length = 591 bp

MFQITLLWPWRPEFSRSGFEMIWDPNGWTGTDSFSVKQDIVAITDWSGY 50

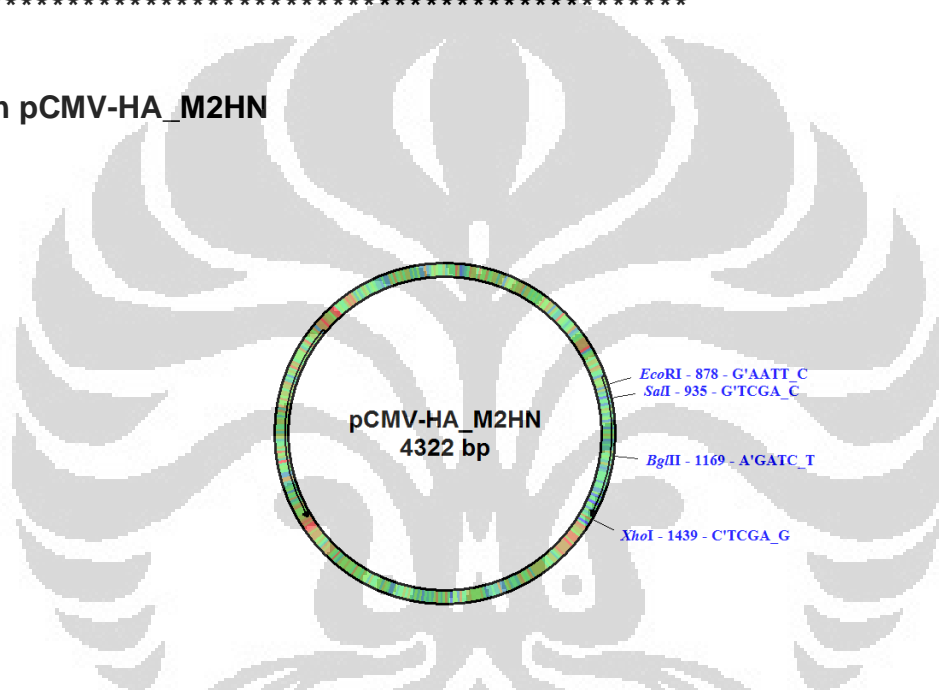
SGSFVQHPELTGLDCIRPCFWVELIRGRPKESTIWTSGSSISFCGVNSDT 100

VDMSSLTEVETPTRNEWECRSLERRIEENLNKKMEDGFLDVWTYNAELLVL 150

MENERTLDFHDSNVKNLYDKVRLQLRDNAKELGNGCFEFYHKCDNEC*

```
*****
Orf# = 3
Frame = 5
Start = 3725
End = 2867
Length = 858 bp
MSIQHFRVALIPFFAAFCLPVFAHPETLVKVKDAEDQLGARVGYIELDLN 50
SGKILESFRPEERFPMMSTFKVLLCGAVLSRIDAGQEQLGRRIHYSQNDL 100
VEYSPVTEKHLTDGMTVRELCSAITMSDNTAANLLTTIGGPKELTAFL 150
HNMGDHVTRRLDRWEELNEAIPNDERDTTMPVAMATTLRKLLTGELLTLA 200
SRQQLIDWMEADKVAGPLLRSALPAGWFIADKSGAGERGSRGIIAALGPD 250
GKPSRIVVIYTGSQATMDERNQIAEIGASLIKHW*
*****
```

Vaksin pCMV-HA_M2HN



```
1 GAGTCGAGC TTGCATGCCT GCAGGTCGTT ACATAACTTA CGGTAAATGG
51 CCCGCCTGGC TGACCGCCCA ACGACCCCCG CCCATTGACG TCAATAATGA
101 CGTATGTTCC CATAGTAACG CCAATAGGGACTTCCATTG ACGTCAATGG
151 GTGGAGTATT TACGGTAAAC TGCCCACTTG GCAGTACATC AAGTGTATCA
201 TATGCCAAGT ACGCCCCCTA TTGACGTCAA TGACGGTAAA TGGCCCGCCT
251 GGCATTATGC CCAGTACATG ACCTTATGGG ACTTCCTAC TTGGCAGTAC
301 ATCTACGTAT TAGTCATCGC TATTACCATG GTGATGCGGT TTTGGCAGTA
351 CATCAATGGG CGTGGATAGC GGTTTGACTC ACGGGGATTT CCAAGTCTCC
401 ACCCCATTGA CGTCAATGGG AGTTTGTTT GGCACCAAAA TCAACGGGAC
451 TTTCCAAAAT GTCGTAACAA CTCCGCCCCA TTGACGCAA TGGGCGGTAG
501 GCGTGTACGG TGGGAGGTCT ATATAAGCAG AGCTCGTTA GTGAACCGTC
551 AGATCGCCTG GAGACGCCAT CCACGCTGTT TTGACCTCCA TAGAAGACAC
601 CGGGACCGAT CCAGCCTCCG GACTCTAGAG GATCCGGTAC TAGAGGAACT
651 GAAAAACCAG AAAGTTAACTT GGTAAGTTA GTCTTTTGT CTTTATTTC
701 AGGTCCCGGA TCCGGTGGTG GTGCAAATCA AAGAACTGCT CCTCAGTGGA
751 TGTTGCCTTT ACTTCTAGGC CTGTACGGAA GTGTTACTTC TGCTCTAAAA
801 GCTGCGGAAT TGTACCCGCG GGCCCACCAT GTACCCCATAC GATGTTCCAG
851 ATTACGCTCT TATGCCATG GAGGCCGAA TTCATGAGCC TGCTGACCGA
```

901	GGTGGAGACC	CCCACCCGCA	ACGAGTGGGA	GTGCGTCGAC	CTGGAGCGCC
951	GCATCGAGAA	CCTGAACAAG	AAGATGGAGG	ACGGCTTCCT	GGACGTGTGG
1001	ACCTACAACG	CCGAGCTGCT	GGTGCTGATG	GAGAACCGAGC	GCACCCCTGGA
1051	CTTCCACGAC	AGCAACGTGA	AGAACCTGTA	CGACAAGGTG	CGCCTGCAGC
1101	TGCCGACAA	CGCCAAGGAG	CTGGGCAACG	GCTGCTTCGA	GTTCTACCAC
1151	AAGTGCACA	ACGAGTGCAG	ATCTAGCCGC	AGCGGCTTCG	AGATGATCTG
1201	GGACCCCAAC	GGCTGGACCG	GCACCGACAG	CAGCTTCAGC	GTGAAGCAGG
1251	ACATCGTGGC	CATCACCGAC	TGGAGCGGCT	ACAGCGGCAG	CTTCGTGCAG
1301	CACCCCCGAGC	TGACCGGCCT	GGACTGCATC	CGCCCCCTGCT	TCTGGGTGGA
1351	GCTGATCCGC	GGCCGCCCCA	AGGAGAGCAC	CATCTGGACC	AGCGGCAGCA
1401	GCATCAGCTT	CTGCGGCGTG	AACAGCGACA	CCTAATTACT	CGAGGTACCG
1451	CGGCCGCGGG	GATCCAGACA	TGATAAGATA	CATTGATGAG	TTTGGACAAA
1501	CCACAACTAG	AATGCAGTGA	AAAAAAATGCT	TTATTTGTGA	AATTTGTGAT
1551	GCTATTGCTT	TATTTGTAAC	CATTATAAGC	TGCAATAAAC	AAGTTAACAA
1601	CAACAATTGC	ATTCACTTTA	TGTTTCAGGT	TCAGGGGAG	GTGTGGGAGG
1651	TTTTTCGGA	TCCTCTAGAG	TCGATCTGCA	GGCATGCTAG	CTTGGCGTAA
1701	TCATGGTCAT	AGCTGTTCC	TGTGTGAAAT	TGTTATCCGC	TCACAATTCC
1751	ACACAACATA	CGAGCCGGA	GCATAAAAGTG	TAAAGCCTGG	GGTGCCTAAT
1801	GAGTGAGCTA	ACTCACATTA	ATTGCGTTGC	GCTCACTGCC	CGCTTTCCAG
1851	TCGGGAAACC	TGTCGTGCCA	GCTGCATTAA	TGAATCGGCC	AACCGCGGGG
1901	GAGAGGCGGT	TTGCGTATTG	GGCGCTCTTC	CGCTTCCCTCG	CTCACTGACT
1951	CGCTGCGCTC	GGTCGTTCGG	CTGCGCGAG	CGGTATCAGC	TCACTCAAAG
2001	GC GGTAATAC	GGTTATCCAC	AGAATCAGGG	GATAACCGAG	GAAAGAACAT
2051	GTGAGCAAA	GGCCAGCAA	AGGCCAGGAA	CCGTA AAAAG	GCCGCGTTGC
2101	TGGCGTTTT	CCATAGGCTC	CGCCCCCCTG	ACGAGCATCA	CAAAAATCGA
2151	CGCTCAAGTC	AGAGGTGGCG	AAACCCGACA	GGACTATAAA	GATACCAGGC
2201	GT TCCCCCT	GGAAAGCTCCC	TCGTGCGCTC	TCCTGTTCCG	ACCTGCCGC
2251	TTACCGGATA	CCTGTCCGCC	TTTCTCCCTT	CGGGAAAGCGT	GGCGCTTTCT
2301	CATAGCTCAC	GCTGTAGGT	TCTCAGTTCG	GTGTAGGTG	TTCGCTCCAA
2351	GCTGGGCTGT	GTGCACGAAC	CCCCCGTTCA	GCCCCGACCGC	TGCGCCTTAT
2401	CCGGTAACTA	TCGTCTTGAG	TCCAACCCGG	TAAGACACGA	CTTATGCCCA
2451	CTGGCAGCAG	CCACTGGTAA	CAGGATTAGC	AGAGCGAGGT	ATGTAGGCAG
2501	TGCTACAGAG	TTCTTGAAGT	GGTGGCCTAA	CTACGGCTAC	ACTAGAAGGA
2551	CAGTATTTGG	TATCTCGCT	CTGCTGAAGC	CAGTTACCTT	CGGAAAAAGA
2601	GTTGGTAGCT	CTTGATCCGG	CAAACAAACC	ACCGCTGGTA	CGGGTGGTTT
2651	TTTTGTTGC	AAGCAGCAGA	TTACGCGCAG	AAAAAAAGGA	TCTCAAGAAG
2701	ATCCTTTGAT	CTTTTCTACG	GGGTCTGACG	CTCAGTGGAA	CGAAAACCTCA
2751	CGTTAAGGG	TTTTGGTCAT	GAGATTATCA	AAAAGGATCT	TCACCTAGAT
2801	CCTTTAAAT	AAAAATGAA	GT TAAATC	AATCTAAAGT	ATATATGAGT
2851	AAACTTGGTC	TGACAGTTAC	CAATGCTAA	TCAGTGAGGC	ACCTATCTCA
2901	GCGATCTGTC	TATTTCTGTT	ATCCATAGTT	GCCTGACTCC	CCGTCGTGTA
2951	GATAACTACG	ATACGGGAGG	GCTTACCATC	TGGCCCCAGT	GCTGCAATGA
3001	TACCGCGAGA	CCCACGCTCA	CCGGCTCCAG	ATTTATCAGC	AATAAACAG
3051	CCAGCCGAA	GGGCGAGCG	CAGAAGTGGT	CCTGCAACTT	TATCCGCTC
3101	CATCCAGTCT	ATTAATTGTT	GCCGGGAAGC	TAGAGTAAGT	AGTCGCCAG
3151	TTAATAGTT	GCGCAACGTT	GTTGCCATTG	CTACAGGCAT	CGTGGTGTCA
3201	CGCTCGTCGT	TTGGTATGGC	TTCAATTAGC	TCCGGTCTCC	AACGATCAAG
3251	GCGAGTTACA	TGATCCCCCA	TGTTGTGCAA	AAAAGCGGTT	AGCTCCTTCG
3301	GTCCTCCGAT	CGTTGTCAGA	AGTAAGTTGG	CCGCAGTGT	ATCACTCATG
3351	GTTATGGCAG	CACTGCATAA	TTCTCTTACT	GTCATGCCAT	CCGTAAGATG
3401	CTTTCTGTG	ACTGGTGAGT	ACTCAACCAA	GTCATTCTGA	GAATAGTGT
3451	TGCGGCAGC	GAGTTGCTCT	TGCCCGGCAGT	CAATACGGGA	TAATACCGCG
3501	CCACATAGCA	GAACTTAAA	AGTGCTCATC	ATTGGAAAAC	GTTCTCGGG
3551	GCGAAAACTC	TCAAGGATCT	TACCGCTGTT	GAGATCCAGT	TCGATGTAAC

```
3601 CCACTCGTGC ACCCAACTGA TCTTCAGCAT CTTTACTTT CACCAGCGTT
3651 TCTGGGTGAG CAAAAACAGG AAGGCAAAT GCCGCAAAA AGGAATAAG
3701 GGCACACGG AAATGTTGAA TACTCATACT CTTCTTTTT CAATATTATT
3751 GAAGCATTAA TCAGGGTTAT TGTCTCATGA GCGGATACAT ATTTGAATGT
3801 ATTTAGAAAA ATAACAAAT AGGGGTTCCG CGCACATTTC CCCGAAAAGT
3851 GCCACCTGAC GTCTAAGAAA CCATTATTAT CATGACATTA ACCTATAAAA
3901 ATAGGCGTAT CACGAGGCC CTTCGTCTCG CGCGTTCGG TGATGACGGT
3951 GAAAACCTCT GACACATGCA GCTCCCAGAG ACGGTACAG CTTGTCTGTA
4001 AGCGGATGCC GGGAGCAGAC AAGCCCGTCA GGGCGCGTCA GCGGGTGTG
4051 GCGGGTGTGCG GGGCTGGCTT AACTATGCGG CATCAGAGCA GATTGTACTG
4101 AGAGTGCACC ATATGCGGTG TGAAAATACCG CACAGATGCG TAAGGAGAAA
4151 ATACCGCATT AGGCGCCATT CGCCATTCA GCTGCGAAC TGTTGGGAAG
4201 GGCGATCGGT GCGGGCCTCT TCGCTATTAC GCCAGCTGGC GAAAGGGGGA
4251 TGTGCTGCAA GGCGATTAAG TTGGGTAACG CCAGGGTTT CCCAGTCACG
4301 ACGTTGTAAA ACGACGGCCA GT
```

pCMV-HA_M2HN, 4322 bp. (CIRCULAR)

Restriction analysis 21/05/2008

pDRAW32 revision 1.1.97

Rebase containing 262 enzymes.

4 enzymes match enzyme selection criteria.

BglII (A'GATC_T)

Cuts 1 time.

Cuts at position 1169.

ECORI (G'AATT_C) [FunII]

Cuts 1 time.

Cuts at position 878.

SalI (G'TCGA_C)

Cuts 1 time.

Cuts at position 935.

XbaI (C'TCGA_G) [BssHI,PaeR7I,Sfr274I,SlaI,StrI,TliI]

Cuts 1 time.

Cuts at position 1439.

pCMV-HA_M2HN, 4322 bp. (CIRCULAR)

ORF analysis 21/05/2008

pDRAW32 revision 1.1.97

Minimum Orf length = 400

Genetic code = Standard genetic code

Alternative initiation codons = None

Orf# = 1

Frame = 2

Start = 842

End = 1433

Length = 591 bp

```

MFQITLLWPWRPEFMSLLTEVETPTRNEWECVDLERRIENLNKKMEDGFL 50
DVWTYNAELLVLMENERTLDFHDSNVKNLYDKVRLQLRDNAKELGNGCFE 100
FYHKCDNECRSSRSGFEMIWDPNGWTGTDSSFSVKQDIVAITDWSGYSGS 150
FVQHPELTGLDCIRPCFWVELIRGPKESTIWTSGSSISFCGVNSDT*
*****  

Orf# = 2  

Frame = 5  

Start = 3725  

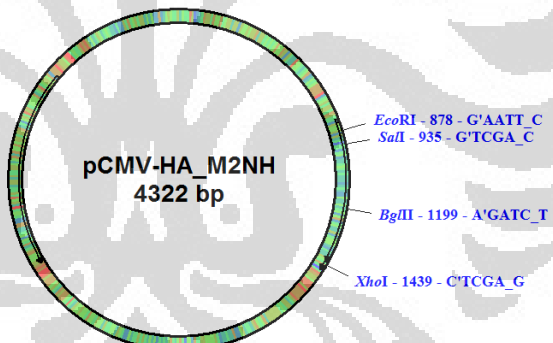
End = 2867  

Length = 858 bp  

MSIQHFRVALIPFFAAFCLPVFAHPETLVKVDAEDQLGARVGYIELDLN 50
SGKILESFRPEERFPMMSTFKVLLCGAVLSRIDAGQEQLGRRIHYSQNDL 100
VEYSPVTEKHILTDGMTVRELCSAITMSDNTAANLLLTTIGGPKELTAFL 150
HNMGDHVTRLDRWEPELINEAIPNDEDTMPVAMATTLRKLLTGELTLA 200
SRQQLIDWMEADKVAGPLLRSALPAGWFIADKSGAGERGSRGIIAALGPD 250
GKPSRIVVIYTTGSQATMDERNRQIAEIGASLIKHW*
*****

```

Vaksin pCMV-HA_M2NH



```

1 GAGTCGAGC TTGCATGCCT GCAGGTCGTT ACATAACTTA CGGTAAATGG
51 CCCGCCTGGC TGACCGCCCA ACGACCCCCG CCCATTGACG TCAATAATGA
101 CGTATGTTCC CATAGTAACG CCAATAGGGA CTTTCCATTG ACGTCAATGG
151 GTGGAGTATT TACGGTAAAC TGCCCACTTG GCAGTACATC AAGTGTATCA
201 TATGCCAAGT ACGCCCCTTTGACGTCAA TGACGGTAAA TGGCCCGCCT
251 GGCATTATGC CCAGTACATG ACCTTATGGG ACTTTCTTAC TTGGCAGTAC
301 ATCTACGTAT TAGTCATCGC TATTACCATG GTGATGCGGT TTTGGCAGTA
351 CATCAATGGG CGTGGATAGC GGTTTGACTC ACGGGGATTT CCAAGTCTCC
401 ACCCCATTGA CGTCAATGGG AGTTTGTTGG GCACCAAAA TCAACGGGAC
451 TTTCCAAAAT GTCGTAACAA CTCCGCCCA TTGACGAAA TGGGCGGTAG
501 GCGTGTACGG TGGGAGGTCT ATATAAGCAG AGCTCGTTA GTGAACCGTC
551 AGATCGCCTG GAGACGCCAT CCACGCTGTT TTGACCTCCA TAGAAGACAC
601 CGGGACCGAT CCAGCCTCCG GACTCTAGAG GATCCGGTAC TAGAGGAACT
651 GAAAAACCAG AAAGTTAACT GGTAAGTTA GTCTTTTGT CTTTATTTC

```

701 AGGTCCCCGA TCCGGTGGTG GTGCAAATCA AAGAACTGCT CCTCAGTGGA
751 TGTTGCCATT ACTTCTAGGC CTGTACGGAA GTGTTACTTC TGCTCTAAAA
801 GCTGCGGAAT TGTACCCGCG GGCCCACCAT GTACCCATAC GATGTTCCAG
851 ATTACGCTCT TATGCCATG GAGGCCCGAA TTCATGAGCC TGCTGACCGA
901 GGTGGAGACC CCCACCCGCA ACGAGTGGGA GTGCGTCGAC AGCCGCAGCG
951 GCTTCGAGAT GATCTGGAC CCCAACGGCT GGACCGGCAC CGACAGCAGC
1001 TTCAGCGTGA AGCAGGACAT CGTGGCCATC ACCGACTGGA GCGGCTACAG
1051 CGGCAGCTTC GTGCAGCAC CCGAGCTGAC CGGCCTGGAC TGCACTCCGC
1101 CCTGCTTCTG GGTGGAGCTG ATCCGCGGCC GCCCCAAGGA GAGCACCATC
1151 TGGACCAGCG GCAGCAGCAT CAGCTCTGC GGCCTGAACA GCGACACCAG
1201 ATCTCTGGAG CGCCGCATCG AGAACCTGAA CAAGAACATG GAGGACGGCT
1251 TCCCTGGACGT GTGGACCTAC AACGCGGAGC TGCTGGTGCT GATGGAGAAC
1301 GAGCGCACCC TGGACTTCCA CGACAGCAAC GTGAAGAACCG TGTACGACAA
1351 GGTGCGCCTG CAGCTGCGCG ACAACGCCAA GGAGCTGGC AACGGCTGCT
1401 TCGAGTTCTA CCACAAGTGC GACAACGAGT GCTAATTACT CGAGGTACCG
1451 CGGCCGCGGG GATCCAGACA TGATAAGATA CATTGATGAG TTTGGACAAA
1501 CCACAACTAG AATGCAGTGA AAAAAATGCT TTATTTGTGA AATTTGTGAT
1551 GCTATTGCTT TATTTGTAAC CATTATAAGC TGCAATAAAC AAGTTAACAA
1601 CAACAATTGC ATTCACTTTA TGTTTCAGGT TCAGGGGGAG GTGTGGGAGG
1651 TTTTTCGGA TCCTCTAGAG TCGATCTGCA GGCATGCTAG CTTGGCGTAA
1701 TCATGGTCAT AGCTGTTTCC TGTGTGAAAT TGTTATCCGC TCACAATTCC
1751 ACACAACATA CGAGCCGGAA GCATAAAAGTG TAAAGCCTGG GGTGCCCTAAT
1801 GAGTGAGCTA ACTCACATTA ATTGCGTTGC GCTCACTGCC CGCTTTCCAG
1851 TCGGGAAACC TGTCGTGCCA GCTGCATTAAG TGAATCGGCC AACGCGGGG
1901 GAGAGGCGGT TTGCGTATTG GGCCTCTTC CGCTCCTCG CTCACTGACT
1951 CGCTGCGCTC GGTGCGTTCGG CTGCGCGAG CGGTATCAGC TCACTCAAAG
2001 GCGGTAATAC GGTTATCCAC AGAACATCAGGG GATAACGCG GAAAGAACAT
2051 GTGAGCAAAA GGCCAGCAAAGGCCAGGGAA CGCTAAAAAG GCGCGTGTGC
2101 TGGCGTTTT CCATAGGCTC CGCCCCCCCCTG ACGAGCCTCA CAAAAATCGA
2151 CGCTCAAGTC AGAGGTGGCG AAACCCGACA GGACTATAAA GATACCAGGC
2201 GTTCCCCCTT GGAAGCTCCC TCGTGCCTC TCCTGTTCCG ACCCTGCCGC
2251 TTACCGGATA CCTGTCCGCC TTTCTCCCTT CGGGAAAGCGT GGCGCTTTCT
2301 CATAGCTCAC GCTGTAGGTA TCTCAGTTGC GTGTAGGTGC TTCGCTCCAA
2351 GCTGGGCTGT GTGCACGAAC CCCCCGTTCA GCCCGACCGC TGCGCCTTAT
2401 CCGGTAACTA TCGTCTTGAG TCCAACCCGG TAAGACACGA CTTATGCCA
2451 CTGGCAGCAG CCACTGGTAA CAGGATTAGC AGAGCGAGGT ATGTAGGCGG
2501 TGCTACAGAG TTCTTGAAGT GGTGGCCTAA CTACGGCTAC ACTAGAACAG
2551 CAGTATTGCG TATCTGCGCT CTGCTGAAGC CAGTACCTT CGGAAAAAGA
2601 GTTGGTAGCT CTTGATCCGG CAAACAAACC ACCGCTGGTA GCGGTGGTTT
2651 TTTTGGTGC AAGCAGCAGA TTACGCGCAG AAAAAAGGA TCTCAAGAACAG
2701 ATCCTTGTAT CTTTCTACG GGGTCTGACG CTCAGTGGAA CGAAAACCTCA
2751 CGTTAAGGGA TTTTGGTCAT GAGATTATCA AAAAGGATCT TCACCTAGAT
2801 CCTTTAAAT TAAAAATGAA GTTTAAATC AATCTAAAGT ATATATGAGT
2851 AAACCTGGTC TGACAGTTAC CAATGCTTAA TCAGTGAGGC ACCTATCTCA
2901 GCGATCTGTC TATTCGTTT ATCCATAGT GCCTGACTCC CGTCGTGTA
2951 GATAACTACG ATACGGGAGG GCTTACCATC TGGCCCCAGT GCTGCAATGA
3001 TACCGCGAGA CCCACGCTCA CCGGCTCCAG ATTTATCAGC AATAAACAG
3051 CCAGCCGGAA GGGCCGAGCG CAGAAGTGGT CCTGCAACTT TATCCGCTC
3101 CATCCAGTCT ATTAATTGTT GCCGGGAAGC TAGAGTAAGT AGTCGCCAG
3151 TTAATAGTTT GCGCAACGTT GTGCCATTG CTACAGGCAT CGTGGTGTCA
3201 CGCTCGTCGT TTGGTATGGC TTCAATTAGC TCCGGTCCC AACGATCAAG
3251 GCGAGTTACA TGATCCCCCA TGTTGTGCAA AAAAGCGGTT AGCTCCTTCG
3301 GTCCTCCGAT CGTTGTCAGA AGTAAGTTGG CCGCAGTGGT ATCACTCATG
3351 GTTATGGCAG CACTGCATAA TTCTCTTACT GTCATGCCAT CCGTAAGATG

3401 CTTTTCTGTG ACTGGTGAGT ACTCAACCAA GTCATTCTGA GAATAGTGT
3451 TGCGGCGACC GAGTTGCTCT TGCCCGGCGT CAATACGGGA TAATACCGCG
3501 CCACATAGCA GAACCTTAAA AGTGCTCATC ATTGGAAAAC GTTCTTCGGG
3551 GCGAAAACTC TCAAGGATCT TACCGCTGTT GAGATCCAGT TCGATGTAAC
3601 CCACTCGTGC ACCCAACTGA TCTTCAGCAT CTTTTACTTT CACCAGCGTT
3651 TCTGGGTGAG CAAAAACAGG AAGGCAAAT GCGGCAAAAAGGAAATAAG
3701 GGCACACCGG AAATGTTGAA TACTCATACT CTTCCCTTTT CAATATTATT
3751 GAAGCATTAA TCAGGGTTAT TGTCTCATGA GCGGATACAT ATTGAATGT
3801 ATTTAGAAAA ATAACAAAT AGGGGTTCCG CGCACATTTC CCCGAAAAGT
3851 GCCACCTGAC GTCTAAGAAA CCATTATTAT CATGACATTA ACCTATAAAA
3901 ATAGGCGTAT CACGAGGCC CTTCGTCTCG CGCGTTTCGG TGATGACGGT
3951 GAAAACCTCT GACACATGCA GCTCCCGGAG ACGGTACAG CTTGTCTGTA
4001 AGCGGATGCC GGGAGCAGAC AAGCCCGTCA GGGCGCGTCA GCGGGTGTTG
4051 GCGGGTGTG GGGCTGGCTT AACTATGCGG CATCAGAGCA GATTGTACTG
4101 AGAGTGCACC ATATGCGGTG TGAAATACCG CACAGATGCG TAAGGAGAAA
4151 ATACCGCATT AGGCGCCATT CGCCATTCA GCTGCGAAC TGTTGGGAAG
4201 GCGATCGGT GCGGGCTCT TCGTATTAC GCCAGCTGGC GAAAGGGGGA
4251 TGTGCTGCAA GCGATTAAG TTGGGTAACG CCAGGGTTT CCCAGTCACG
4301 ACGTTGTAAC ACGACGGCCA GT

pCMV-HA_M2NH, 4322 bp. (CIRCULAR)

Restriction analysis 21/05/2008

pDRAW32 revision 1.1.97

Rebase containing 262 enzymes.

4 enzymes match enzyme selection criteria.

BglII (A'GATC_T)

Cuts 1 time.

Cuts at position 1199.

ECORI (G'AATT_C) [FunII]

Cuts 1 time.

Cuts at position 878.

SalI (G'TCGA_C)

Cuts 1 time.

Cuts at position 935.

XbaI (C'TCGA_G) [BssHI,PaeR7I,Sfr274I,SlaI,StrI,TliI]

Cuts 1 time.

Cuts at position 1439.

pCMV-HA_M2NH, 4322 bp. (CIRCULAR)

ORF analysis 21/05/2008

pDRAW32 revision 1.1.97

Minimum Orf length = 400

Genetic code = Standard genetic code

Alternative initiation codons = None

Orf# = 1

Frame = 1
Start = 829
End = 1471
Length = 642 bp
MYPYDVPDYALMAMEARIHEPADRGGDPHPQRVGVRQQPQLRDDLGPQR 50
LDRHRQQLQREAGHGHRLERLQRQLRAAPRADRPGHLHPPLLLGGADPR 100
PPQGEHHILDQRQQHQQLLREQRHQISGAPHREPEEQEDGGRLPGRVDLQRR 150
AAGADGERAHPGLPQQREEPVRQGAPAAARQRQGAGQRLLRVLQPQRQ 200
VLITRGTAAGIQT*

Orf# = 2
Frame = 2
Start = 842
End = 1433
Length = 591 bp
MFQITLLWPWRPEFMSLLTEVETPTRNEWECVDSRSGFEMIWDPNGWTGT 50
DSSFSVKQDIVAITDWSGYSGSFVQHPELTGLDCIRPCFWVELIRGRPKE 100
STIWTSGSSISFCGVNSDTRSLERRIENLNKKMEDGFLDVWTYNAELLVL 150
MENERTLDFHDSNVKNLYDKVRLQLRDNAKELGNGCFEFYHKCDNEC*

Orf# = 3
Frame = 5
Start = 3725
End = 2867
Length = 858 bp
MSIQHF RVALIPFFAAFCLPVFAHPETLVKVKAEDQLGARVGYIELDLN 50
SGKILESRPEERFPMMSTFKVLLCGAVLSRIDAGQEQLGRRIHYSQNDL 100
VEYSPVTEKHLTDGMTVRELCSAAITMSDNTAANLLLTIGGPKELTAFL 150
HNMGDHVTRLDRWEPELNEAI PNDERDTTMPVAMATTTLRKLLTGELLTLA 200
SROQLIDWMEADKVAGPLLRSALPAGWFIADKGAGERGSRGIIAALGPD 250
GKPSRIVVIYTTGSQATMDERNQIAEIGASLIKHW*

Lampiran 12. Alignment Protein Translasi Vaksin DNA

pCMV-HA_HM2N

Alignment: F:\balai_rung_akudatang\sekuens_M2\test_HA1.txt

Sequence alignment of pCMV-HA_HM and pCMV-HA_HM mutants:

Position	pCMV-HA_HM	pCMV-HA_HM conserved-Cl ustal Co			
5	M	T	T	T	T
15	I	L	E	E	E
25	R	R	K	K	K
35	D	W	T	T	T
45	V	L	M	M	M
55	F	H	S	N	N
65	Y	D	K	K	K
75	D	V	A	E	E
85	E	F	Y	H	H
95	F	D	M	S	S
105	V	P	T	R	R
115	S	T	N	E	E
125	D	P	N	G	G
135	P	S	S	K	K
145	G	T	W	S	S
155	F	V	O	H	H
165	D	C	I	R	R
175	L	I	R	G	G
185	I	W	T	S	S
195	S	T	G	N	S

Alignment: F:\balai_rung_akudatang\sekuens_M2\test_M21.txt

Alignment: F:\balai_rung_akudatang\sekuens_M2\test_NA1.txt

pCMV-HA_HNM2

	185	195
pCMV-HA_HN conserved- Cl ustal Co	MSLLTEVEVTP MSLLTEVEVTP *****	TRNEWEC TRNEWEC *****

Alignment: F:\balai_rung_akudatang\sekvens_M2\test_NA2.txt

Sequence alignment of pCMV-HA_HN across four conditions:

- conserved-ClustalCo**
- conserved-ClustalCo**
- conserved-ClustalCo**
- conserved-ClustalCo**

Key positions labeled: 5, 15, 25, 35, 45, 55, 65, 75, 85, 95, 105, 115, 125, 135, 145, 155, 165, 175, 185, 195.

pCMV-HA_NHM2

Alignment: F:\balai_rung_akudatang\sekvens_M2\test_HA3.txt

Sequence logo showing the conservation of amino acids across three pCMV-HA_NH variants. The x-axis represents positions 5, 15, 25, 35, 45, 55, 65, 75, 85, 95, 105, 115, 125, 135, 145, 155, 165, and 175. The y-axis lists positions 1 to 20. The legend indicates: I (grey), V (light blue), L (yellow), F (orange), M (green), T (red), S (purple), C (dark blue), D (pink), E (brown), G (light green), H (light purple), N (medium purple), P (light yellow), R (dark red), K (dark purple), W (dark orange), Y (dark pink).

Position	1	2	3	4	5	6	7	8	9	10	11	12	13	14	15	16	17	18	19	20
pCMV-HA_NH conserved- Cl ustal Co	I	V	L	F	M	T	S	C	D	E	G	H	N	P	R	K	W	Y		
pCMV-HA_NH conserved- Cl ustal Co	I	V	L	F	M	T	S	C	D	E	G	H	N	P	R	K	W	Y		
pCMV-HA_NH conserved- Cl ustal Co	I	V	L	F	M	T	S	C	D	E	G	H	N	P	R	K	W	Y		

Alignment: F:\balai_rung_akudatang\sekuens_M2\test_M23.txt

AI i gnment: F:\bal ai rung_aku datang\sekuens_M2\test_NA3.txt

pCMV-HA_NM2H

Alignment: F:\balai_rung_aku\datang\sekuens_M2\test_HA4.txt

Alignment: F:\balai_rung_akudatang\sekvens_M2\test_M24.txt

Alignment: F:\balai_rung_akudatang\sekuens_M2\test_NA4.txt

```

pCMV-HA_NM           5          15          25          35          45          55
MFOI TLLWPW RPEFSRSGFE MI WDPNGWTG TDSSFSVKQD I VAI TDWSGY SGSGFVOHPEL
----- -----SRSGFE----- *----- *----- *----- *----- *----- *----- *----- *
pCMV-HA_NM           65         75          85          95          105         115
TGLDCI RPCF WVELI RGRPK ESTI WTSGSS | SFCGVNSDT VDMSLLTEVE TPTRNEWECR
TGLDCI RPCF WVELI RGRPK ESTI WTSGSS | SFCGVNSDT ----- -----
----- *----- *----- *----- *----- *----- *----- *----- *
pCMV-HA_NM           125        135         145         155         165         175
SLERRI ENLN KKMEGFLDV WTYNAELLVL MENERTLDFH DSNVKNLYDK VRQLQRLDNAK
----- -----
pCMV-HA_NM           185        195
ELNGNCFEFY HKCDNEC
----- -----

```

pCMV-HA_M2HN

Alignment: F:\balai_rung_akudatang\sekvens_M2\test_HA5.txt

Sequence alignment showing the conserved regions of pCMV-HA_M2 and its mutants. The alignment highlights conserved residues with asterisks (*).

Region	pCMV-HA_M2	MFOI	TLLWPW	RPEFMSLLTE	VETPTRNEWE	CVDLERRI	EN	LNKKMEDGFL	DWWTYNAELL	
5-15	conserved	-	-	-	-	-	-	-	-	
15-25	Clustal Co	5	15	25	35	45	55			
25-35		MFOI	TLLWPW	RPEFMSLLTE	VETPTRNEWE	CVDLERRI	EN	LNKKMEDGFL	DWWTYNAELL	
35-45		-	-	-	-	-LERRI	EN	LNKKMEDGFL	DWWTYNAELL	
45-55		-	-	-	-	*****	*****	*****	*****	
55-65										
Region	pCMV-HA_M2	VLMENERTLD	FHDSNVKNLY	DKVRLOLRDN	AKELGNGCFE	FYHKCDNECR	SSRSGFEMI	W		
65-75	conserved	-	-	-	-	-	-	-		
75-85	Clustal Co	65	75	85	95	105	115			
85-95		VLMENERTLD	FHDSNVKNLY	DKVRLOLRDN	AKELGNGCFE	FYHKCDNECR	SSRSGFEMI	W		
95-105		-	-	-	-	-	-	-		
105-115		*****	*****	*****	*****	*****	*****	*****		
115-125										
Region	pCMV-HA_M2	DPNGWTGTDS	SFSVKQDI	VA	TDWSGYSGS	FVQHPELTGL	DCI	RPCFWVE	LI	RGRPKEST
125-135	conserved	-	-	-	-	-	-	-	-	
135-145	Clustal Co	125	135	145	155	165	175			
145-155		DPNGWTGTDS	SFSVKQDI	VA	TDWSGYSGS	FVQHPELTGL	DCI	RPCFWVE	LI	RGRPKEST
155-165		-	-	-	-	-	-	-	-	
165-175		-	-	-	-	-	-	-	-	
175-185										
Region	pCMV-HA_M2	I	WTSGSSI	SF	CGVNSDT					
185-195	conserved	-	-	-	-	-	-	-	-	
195-205	Clustal Co	185	195							
205-215		I	WTSGSSI	SF	CGVNSDT					

Alignment: F:\balai rung_aku datang\sekvens_M2\test_M25.txt

```

pCMV-HA_M2
conserved-Cl ustal Co
      5.....15.....25.....35.....45.....55
MFQITLLWPW RPEFMSLLE VETPTRNEW E CVDLERRI EN LNKKMEDGFL DWWTYNAELL
              -MSLLTE VETPTRNEW E C-
              ***** ****** * *
      65.....75.....85.....95.....105.....115
VLMENERTLD FHDSNVKNLY DKVRLOLRDN AKELNGNCFE FYHKCDNECR SSRSGFEMI W
      125.....135.....145.....155.....165.....175
DPNGWTGTD SFSVKQDI VA ITDWSGYSGS FVQHPELTGL DCI RPCFWVE LI RGRPKEST
      185.....195
I WTSGSSI SF CGVNSDT

```

Alignment: F:\balai_rung_akudatang\sekvens_M2\test_NA5.txt

Sequence alignment showing conserved regions across three variants:

- pCMV-HA_M2**: MFQITLLWPW RPEFMSLLTE VETPTRNEWE CVDLERRI EN LNKKMEDGFL DVWTYNAELL
- pCMV-HA_M2 conserved**: VLMENERTL D FHDSNVKNLY DKVRLOLRDN AKELGNGCFE FYHKCDNECR SSRSRGFEMI W -SRSGFEMI W *****
- pCMV-HA_M2 ustal Co**: DPNGWTGTDS SFSVKODI VA ITDWSGYSGS FVQHPELTGL DCI RPCFWVE LI RGRPKEST DPNGWTGTDS SFSVKODI VA ITDWSGYSGS FVQHPELTGL DCI RPCFWVE LI RGRPKEST *****

	185	195
pCMV-HA_M2	I WTSGSSI SF	CGVNSDT
conserved-	I WTSGSSI SF	CGVNSDT
CI ustal Co	*****	*****

pCMV-HA_M2NH

Alignment: F:\balai_rung_akudatang\sekvens_M2\test_HA6.txt

Sequence alignment of pCMV-HA_M2 and pCMV-HA_M2'保守序列 (conserved sequence) across various domains.

Region	pCMV-HA_M2	pCMV-HA_M2'保守序列
5-15	MFOI TLLWPW	MFOI TLLWPW
15-25	RPEFMSLLE	RPEFMSLLE
25-35	VETPTRNEW	VETPTRNEW
35-45	CVDSRSGFEM	CVDSRSGFEM
45-55	I WDPNGWTGT	I WDPNGWTGT
55-65	DSSFSVKQDI	DSSFSVKQDI
65-75	VAI TDWSGYS	VAI TDWSGYS
75-85	GSFVQHPELT	GSFVQHPELT
85-95	GLDCI RPCFW	GLDCI RPCFW
95-105	VELI RGRPKE	VELI RGRPKE
105-115	STI WTSGSSI	STI WTSGSSI
115-125	SFCGVNSDTR	SFCGVNSDTR
125-135	SLERRI ENLN	SLERRI ENLN
135-145	KKMEDGFLDV	KKMEDGFLDV
145-155	WTYNAELLVL	WTYNAELLVL
155-165	MENERTLDFH	MENERTLDFH
165-175	DSNVKNLYDK	DSNVKNLYDK
175-185	VRLOLRDNAK	VRLOLRDNAK
185-195	ELGNGCFEFY	ELGNGCFEFY

Alignment: F:\balai_rung_akudatang\sekvens_M2\test_M26.txt

Panel 1 (residues 5-55):

Residue	pCMV-HA_M2	conserved-Cl ustal	Co
5	MFOI	TLLWPW	
15	RPEFMSLLTE	VETPTRNNEW	E
25	-MSLLTE	VETPTRNNEW	C
35	CVDSRSGFEM	I	WDPNGWTGT
45		DSSFSVKQDI	
55			

Panel 2 (residues 65-115):

Residue	pCMV-HA_M2	conserved-Cl ustal	Co
65	VAI	TDWSGYS	
75		GSFVQHPELT	
85	GLDC	RPCFW	
95	VELI	RGRPKE	
105	STI	WTSGSSI	
115	SFCGVNSDTR		

Panel 3 (residues 125-175):

Residue	pCMV-HA_M2	conserved-Cl ustal	Co
125	SLERRI	ENLN	
135	KKMEDGFLDV	WTYNAELLVL	
145		MENERTLDFH	
155		DSNVKNLYDK	
165		VRLOLRDNAK	
175			

Panel 4 (residues 185-195):

Residue	pCMV-HA_M2	conserved-Cl ustal	Co
185	ELNGNCFEFY		
195	HKCDNEC		

Alignment: F:\balai_rung_akudatang\sekvens_M2\test_NA6.txt

Lampiran 13. BLASTp Protein Translasi Vaksin DNA

```
> gb|ABW06357.1| neuraminidase [Influenza A virus (A/Indonesia/175H/2005(H5N1))]  
Length=449  
  
Score = 182 bits (463), Expect = 8e-45, Method: Compositional matrix adjust.  
Identities = 87/87 (100%), Positives = 87/87 (100%), Gaps = 0/87 (0%)  
  
Query 111 SSRSGFEMIWDPNGWTGTDSSFSVKQDIVAITDWSGYSGSFVQHPELTGLDCIRPCFWVE 170  
SSRSGFEMIWDPNGWTGTDSSFSVKQDIVAITDWSGYSGSFVQHPELTGLDCIRPCFWVE  
Sbjct 346 SSRSGFEMIWDPNGWTGTDSSFSVKQDIVAITDWSGYSGSFVQHPELTGLDCIRPCFWVE 405  
  
Query 171 LIRGRPKESTIWTSGSSISFCGVNSDT 197  
LIRGRPKESTIWTSGSSISFCGVNSDT  
Sbjct 406 LIRGRPKESTIWTSGSSISFCGVNSDT 432  
  
  
> gb|ABI36097.1| neuraminidase [Influenza A virus  
(A/Indonesia/CDC194P/2005(H5N1))]  
Length=444  
  
Score = 182 bits (463), Expect = 9e-45, Method: Compositional matrix adjust.  
Identities = 87/87 (100%), Positives = 87/87 (100%), Gaps = 0/87 (0%)  
  
Query 111 SSRSGFEMIWDPNGWTGTDSSFSVKQDIVAITDWSGYSGSFVQHPELTGLDCIRPCFWVE 170  
SSRSGFEMIWDPNGWTGTDSSFSVKQDIVAITDWSGYSGSFVQHPELTGLDCIRPCFWVE  
Sbjct 346 SSRSGFEMIWDPNGWTGTDSSFSVKQDIVAITDWSGYSGSFVQHPELTGLDCIRPCFWVE 405  
  
Query 171 LIRGRPKESTIWTSGSSISFCGVNSDT 197  
LIRGRPKESTIWTSGSSISFCGVNSDT  
Sbjct 406 LIRGRPKESTIWTSGSSISFCGVNSDT 432  
  
  
> gb|ABO47848.1| neuraminidase [Influenza A virus (A/chicken/Egypt/1129N3-HK9/2007(H5N1))]  
Length=449  
  
Score = 182 bits (462), Expect = 1e-44, Method: Compositional matrix adjust.  
Identities = 87/87 (100%), Positives = 87/87 (100%), Gaps = 0/87 (0%)  
  
Query 111 SSRSGFEMIWDPNGWTGTDSSFSVKQDIVAITDWSGYSGSFVQHPELTGLDCIRPCFWVE 170  
SSRSGFEMIWDPNGWTGTDSSFSVKQDIVAITDWSGYSGSFVQHPELTGLDCIRPCFWVE  
Sbjct 346 SSRSGFEMIWDPNGWTGTDSSFSVKQDIVAITDWSGYSGSFVQHPELTGLDCIRPCFWVE 405  
  
Query 171 LIRGRPKESTIWTSGSSISFCGVNSDT 197  
LIRGRPKESTIWTSGSSISFCGVNSDT  
Sbjct 406 LIRGRPKESTIWTSGSSISFCGVNSDT 432  
  
  
> gb|ABU99064.1| neuraminidase [Influenza A virus  
(A/Duck/Madiun/BBVW1358/2005(H5N1))]  
Length=433  
  
Score = 182 bits (461), Expect = 1e-44, Method: Compositional matrix adjust.  
Identities = 86/86 (100%), Positives = 86/86 (100%), Gaps = 0/86 (0%)  
  
Query 112 SRSGFEMIWDPNGWTGTDSSFSVKQDIVAITDWSGYSGSFVQHPELTGLDCIRPCFWVEL 171  
SRSGFEMIWDPNGWTGTDSSFSVKQDIVAITDWSGYSGSFVQHPELTGLDCIRPCFWVEL  
Sbjct 347 SRSGFEMIWDPNGWTGTDSSFSVKQDIVAITDWSGYSGSFVQHPELTGLDCIRPCFWVEL 406  
  
Query 172 IRGRPKESTIWTSGSSISFCGVNSDT 197  
IRGRPKESTIWTSGSSISFCGVNSDT
```

Sbjct 407 IRGRPKESTIWTSGSSISFCGVNSDT 432

> [gb|ABU99051.1](#) neuraminidase [Influenza A virus
(A/Chicken/Salam/BPPV11/2005(H5N1))]
[gb|ABU99054.1](#) neuraminidase [Influenza A virus (A/Chicken/Rokan
Hilli/BPPV11/2005(H5N1))]
Length=432

Score = 182 bits (461), Expect = 1e-44, Method: Compositional matrix adjust.
Identities = 86/86 (100%), Positives = 86/86 (100%), Gaps = 0/86 (0%)

Query 112 SRSGFEMIWDPNGWTGTDSSFSVKQDIVAITDWSGYSGSFVQHPELTGLDCIRPCFWVEL 171
SRSGFEMIWDPNGWTGTDSSFSVKQDIVAITDWSGYSGSFVQHPELTGLDCIRPCFWVEL
Sbjct 347 SRSGFEMIWDPNGWTGTDSSFSVKQDIVAITDWSGYSGSFVQHPELTGLDCIRPCFWVEL 406

Query 172 IRGRPKESTIWTSGSSISFCGVNSDT 197
IRGRPKESTIWTSGSSISFCGVNSDT
Sbjct 407 IRGRPKESTIWTSGSSISFCGVNSDT 432

> [gb|ABU99047.1](#) neuraminidase [Influenza A virus (A/Chicken/Medan/BPPV1-
534/2005(H5N1))]
[gb|ABU99048.1](#) neuraminidase [Influenza A virus (A/Chicken/Pidie/BPPV1/2005(H5N1))]
Length=432

Score = 182 bits (461), Expect = 1e-44, Method: Compositional matrix adjust.
Identities = 86/86 (100%), Positives = 86/86 (100%), Gaps = 0/86 (0%)

Query 112 SRSGFEMIWDPNGWTGTDSSFSVKQDIVAITDWSGYSGSFVQHPELTGLDCIRPCFWVEL 171
SRSGFEMIWDPNGWTGTDSSFSVKQDIVAITDWSGYSGSFVQHPELTGLDCIRPCFWVEL
Sbjct 347 SRSGFEMIWDPNGWTGTDSSFSVKQDIVAITDWSGYSGSFVQHPELTGLDCIRPCFWVEL 406

Query 172 IRGRPKESTIWTSGSSISFCGVNSDT 197
IRGRPKESTIWTSGSSISFCGVNSDT
Sbjct 407 IRGRPKESTIWTSGSSISFCGVNSDT 432

> [gb|ABU99055.1](#) neuraminidase [Influenza A virus
(A/Chicken/Siak/BPPV11/2005(H5N1))]
Length=433

Score = 182 bits (461), Expect = 1e-44, Method: Compositional matrix adjust.
Identities = 86/86 (100%), Positives = 86/86 (100%), Gaps = 0/86 (0%)

Query 112 SRSGFEMIWDPNGWTGTDSSFSVKQDIVAITDWSGYSGSFVQHPELTGLDCIRPCFWVEL 171
SRSGFEMIWDPNGWTGTDSSFSVKQDIVAITDWSGYSGSFVQHPELTGLDCIRPCFWVEL
Sbjct 347 SRSGFEMIWDPNGWTGTDSSFSVKQDIVAITDWSGYSGSFVQHPELTGLDCIRPCFWVEL 406

Query 172 IRGRPKESTIWTSGSSISFCGVNSDT 197
IRGRPKESTIWTSGSSISFCGVNSDT
Sbjct 407 IRGRPKESTIWTSGSSISFCGVNSDT 432

> [gb|ABU99053.1](#) neuraminidase [Influenza A virus
(A/chicken/Duma/BPPV11/2005(H5N1))]
Length=433

Score = 182 bits (461), Expect = 1e-44, Method: Compositional matrix adjust.
Identities = 86/86 (100%), Positives = 86/86 (100%), Gaps = 0/86 (0%)

Query 112 SRSGFEMIWDPNGWTGTDSSFSVKQDIVAITDWSGYSGSFVQHPELTGLDCIRPCFWVEL 171
SRSGFEMIWDPNGWTGTDSSFSVKQDIVAITDWSGYSGSFVQHPELTGLDCIRPCFWVEL

```
Sbjct  347  SRSGFEMIWDPNGWTGTDSSFSVKQDIVAITDWSGYSGSFVQHPELTGLDCIRPCFWVEL  406
Query  172  IRGRPKESTIWTSGSSISFCGVNSDT  197
          IRGRPKESTIWTSGSSISFCGVNSDT
Sbjct  407  IRGRPKESTIWTSGSSISFCGVNSDT  432
```

> [gb|ABU99046.1|](#) neuraminidase [Influenza A virus (A/Chicken/Deli
Derdang/BPPV1/2005(H5N1))]
Length=432

Score = 182 bits (461), Expect = 1e-44, Method: Compositional matrix adjust.
Identities = 86/86 (100%), Positives = 86/86 (100%), Gaps = 0/86 (0%)

```
Query  112  SRSGFEMIWDPNGWTGTDSSFSVKQDIVAITDWSGYSGSFVQHPELTGLDCIRPCFWVEL  171
          SRSGFEMIWDPNGWTGTDSSFSVKQDIVAITDWSGYSGSFVQHPELTGLDCIRPCFWVEL
Sbjct  347  SRSGFEMIWDPNGWTGTDSSFSVKQDIVAITDWSGYSGSFVQHPELTGLDCIRPCFWVEL  406
Query  172  IRGRPKESTIWTSGSSISFCGVNSDT  197
          IRGRPKESTIWTSGSSISFCGVNSDT
Sbjct  407  IRGRPKESTIWTSGSSISFCGVNSDT  432
```

> [gb|ABH09781.1|](#) neuraminidase [Influenza A virus
(A/chicken/Indonesia/77/2005(H5N1))]
[gb|ABU98996.1|](#) neuraminidase [Influenza A virus
(A/Chicken/Indonesia/Wates77/2005(H5N1))]
Length=435

Score = 182 bits (461), Expect = 1e-44, Method: Compositional matrix adjust.
Identities = 86/86 (100%), Positives = 86/86 (100%), Gaps = 0/86 (0%)

```
Query  112  SRSGFEMIWDPNGWTGTDSSFSVKQDIVAITDWSGYSGSFVQHPELTGLDCIRPCFWVEL  171
          SRSGFEMIWDPNGWTGTDSSFSVKQDIVAITDWSGYSGSFVQHPELTGLDCIRPCFWVEL
Sbjct  347  SRSGFEMIWDPNGWTGTDSSFSVKQDIVAITDWSGYSGSFVQHPELTGLDCIRPCFWVEL  406
Query  172  IRGRPKESTIWTSGSSISFCGVNSDT  197
          IRGRPKESTIWTSGSSISFCGVNSDT
Sbjct  407  IRGRPKESTIWTSGSSISFCGVNSDT  432
```

> [gb|ABU99052.1|](#) neuraminidase [Influenza A virus (A/Chicken/Murao
Jambi/BPPV11/2005(H5N1))]
Length=432

Score = 182 bits (461), Expect = 1e-44, Method: Compositional matrix adjust.
Identities = 86/86 (100%), Positives = 86/86 (100%), Gaps = 0/86 (0%)

```
Query  112  SRSGFEMIWDPNGWTGTDSSFSVKQDIVAITDWSGYSGSFVQHPELTGLDCIRPCFWVEL  171
          SRSGFEMIWDPNGWTGTDSSFSVKQDIVAITDWSGYSGSFVQHPELTGLDCIRPCFWVEL
Sbjct  347  SRSGFEMIWDPNGWTGTDSSFSVKQDIVAITDWSGYSGSFVQHPELTGLDCIRPCFWVEL  406
Query  172  IRGRPKESTIWTSGSSISFCGVNSDT  197
          IRGRPKESTIWTSGSSISFCGVNSDT
Sbjct  407  IRGRPKESTIWTSGSSISFCGVNSDT  432
```

> [gb|ABU99012.1|](#) neuraminidase [Influenza A virus
(A/Duck/IBufeleng/BPPV1/2005(H5N1))]
Length=433

Score = 182 bits (461), Expect = 2e-44, Method: Compositional matrix adjust.
Identities = 86/86 (100%), Positives = 86/86 (100%), Gaps = 0/86 (0%)

```
Query 112 SRSGFEMIWDPNGWTGTDSSFSVKQDIVAITDWSGYSGSFVQHPELTGLDCIRPCFWVEL 171
       SRSGFEMIWDPNGWTGTDSSFSVKQDIVAITDWSGYSGSFVQHPELTGLDCIRPCFWVEL
Sbjct  347 SRSGFEMIWDPNGWTGTDSSFSVKQDIVAITDWSGYSGSFVQHPELTGLDCIRPCFWVEL 406
       SRSGFEMIWDPNGWTGTDSSFSVKQDIVAITDWSGYSGSFVQHPELTGLDCIRPCFWVEL
Query 172 IRGRPKESTIWTSGSSISFCGVNSDT 197
       IRGRPKESTIWTSGSSISFCGVNSDT
Sbjct  407 IRGRPKESTIWTSGSSISFCGVNSDT 432
```

gb|ACA28788.1| neuraminidase [Influenza A virus (A/Cygnus olor/Czech Republic/10662/06(H5N1))]
gb|ACA28789.1| neuraminidase [Influenza A virus (A/Cygnus olor/Czech Republic/10814/06(H5N1))]
Length=430

Score = 182 bits (461), Expect = 2e-44, Method: Compositional matrix adjust.
Identities = 86/86 (100%), Positives = 86/86 (100%), Gaps = 0/86 (0%)

```
Query 112 SRSGFEMIWDPNGWTGTDSSFSVKQDIVAITDWSGYSGSFVQHPELTGLDCIRPCFWVEL 171
       SRSGFEMIWDPNGWTGTDSSFSVKQDIVAITDWSGYSGSFVQHPELTGLDCIRPCFWVEL
Sbjct  344 SRSGFEMIWDPNGWTGTDSSFSVKQDIVAITDWSGYSGSFVQHPELTGLDCIRPCFWVEL 403
       SRSGFEMIWDPNGWTGTDSSFSVKQDIVAITDWSGYSGSFVQHPELTGLDCIRPCFWVEL
Query 172 IRGRPKESTIWTSGSSISFCGVNSDT 197
       IRGRPKESTIWTSGSSISFCGVNSDT
Sbjct  404 IRGRPKESTIWTSGSSISFCGVNSDT 429
```

gb|ABU99062.1| neuraminidase [Influenza A virus (A/Chicken/Bandar Lampung/BPPV111/2006(H5N1))]
Length=440

Score = 181 bits (460), Expect = 2e-44, Method: Compositional matrix adjust.
Identities = 86/86 (100%), Positives = 86/86 (100%), Gaps = 0/86 (0%)

```
Query 112 SRSGFEMIWDPNGWTGTDSSFSVKQDIVAITDWSGYSGSFVQHPELTGLDCIRPCFWVEL 171
       SRSGFEMIWDPNGWTGTDSSFSVKQDIVAITDWSGYSGSFVQHPELTGLDCIRPCFWVEL
Sbjct  347 SRSGFEMIWDPNGWTGTDSSFSVKQDIVAITDWSGYSGSFVQHPELTGLDCIRPCFWVEL 406
       SRSGFEMIWDPNGWTGTDSSFSVKQDIVAITDWSGYSGSFVQHPELTGLDCIRPCFWVEL
Query 172 IRGRPKESTIWTSGSSISFCGVNSDT 197
       IRGRPKESTIWTSGSSISFCGVNSDT
Sbjct  407 IRGRPKESTIWTSGSSISFCGVNSDT 432
```

gb|ABU99042.1| neuraminidase [Influenza A virus (A/Chicken/Taput/BBPV1/2005(H5N1))]
Length=436

Score = 181 bits (460), Expect = 2e-44, Method: Compositional matrix adjust.
Identities = 86/86 (100%), Positives = 86/86 (100%), Gaps = 0/86 (0%)

```
Query 112 SRSGFEMIWDPNGWTGTDSSFSVKQDIVAITDWSGYSGSFVQHPELTGLDCIRPCFWVEL 171
       SRSGFEMIWDPNGWTGTDSSFSVKQDIVAITDWSGYSGSFVQHPELTGLDCIRPCFWVEL
Sbjct  347 SRSGFEMIWDPNGWTGTDSSFSVKQDIVAITDWSGYSGSFVQHPELTGLDCIRPCFWVEL 406
       SRSGFEMIWDPNGWTGTDSSFSVKQDIVAITDWSGYSGSFVQHPELTGLDCIRPCFWVEL
Query 172 IRGRPKESTIWTSGSSISFCGVNSDT 197
       IRGRPKESTIWTSGSSISFCGVNSDT
Sbjct  407 IRGRPKESTIWTSGSSISFCGVNSDT 432
```

gb|ABU99059.1| neuraminidase [Influenza A virus (A/Chicken/Palembang/BPPV111/2005(H5N1))]
Length=432

Score = 181 bits (460), Expect = 2e-44, Method: Compositional matrix adjust.
Identities = 86/86 (100%), Positives = 86/86 (100%), Gaps = 0/86 (0%)

Query	112	SRSGFEMIWDPNGWTGTDSSFSVKQDIVAITDWSGYSGSFVQHPELTGLDCIRPCFWVEL	171
		SRSGFEMIWDPNGWTGTDSSFSVKQDIVAITDWSGYSGSFVQHPELTGLDCIRPCFWVEL	
Sbjct	347	SRSGFEMIWDPNGWTGTDSSFSVKQDIVAITDWSGYSGSFVQHPELTGLDCIRPCFWVEL	406
Query	172	IRGRPKESTIWTSGSSISFCGVNSDT	197
		IRGRPKESTIWTSGSSISFCGVNSDT	
Sbjct	407	IRGRPKESTIWTSGSSISFCGVNSDT	432

> [gb|ABO13922.1|](#) neuraminidase [Influenza A virus
(A/goose/Hungary/3413/2007(H5N1))]
Length=429

Score = 181 bits (460), Expect = 2e-44, Method: Compositional matrix adjust.
Identities = 86/86 (100%), Positives = 86/86 (100%), Gaps = 0/86 (0%)

Query	112	SRSGFEMIWDPNGWTGTDSSFSVKQDIVAITDWSGYSGSFVQHPELTGLDCIRPCFWVEL	171
		SRSGFEMIWDPNGWTGTDSSFSVKQDIVAITDWSGYSGSFVQHPELTGLDCIRPCFWVEL	
Sbjct	342	SRSGFEMIWDPNGWTGTDSSFSVKQDIVAITDWSGYSGSFVQHPELTGLDCIRPCFWVEL	401
Query	172	IRGRPKESTIWTSGSSISFCGVNSDT	197
		IRGRPKESTIWTSGSSISFCGVNSDT	
Sbjct	402	IRGRPKESTIWTSGSSISFCGVNSDT	427

> [gb|ABI94755.1|](#) neuraminidase [Influenza A virus
(A/chicken/Hubei/wh/1997(H5N1))]
Length=469

Score = 181 bits (460), Expect = 2e-44, Method: Compositional matrix adjust.
Identities = 86/86 (100%), Positives = 86/86 (100%), Gaps = 0/86 (0%)

Query	112	SRSGFEMIWDPNGWTGTDSSFSVKQDIVAITDWSGYSGSFVQHPELTGLDCIRPCFWVEL	171
		SRSGFEMIWDPNGWTGTDSSFSVKQDIVAITDWSGYSGSFVQHPELTGLDCIRPCFWVEL	
Sbjct	367	SRSGFEMIWDPNGWTGTDSSFSVKQDIVAITDWSGYSGSFVQHPELTGLDCIRPCFWVEL	426
Query	172	IRGRPKESTIWTSGSSISFCGVNSDT	197
		IRGRPKESTIWTSGSSISFCGVNSDT	
Sbjct	427	IRGRPKESTIWTSGSSISFCGVNSDT	452

> [gb|ABW06210.1|](#) neuraminidase [Influenza A virus (A/Indonesia/538H/2006(H5N1))]
[gb|ABW06232.1|](#) neuraminidase [Influenza A virus (A/Indonesia/534H/2006(H5N1))]
Length=446

Score = 181 bits (460), Expect = 2e-44, Method: Compositional matrix adjust.
Identities = 86/86 (100%), Positives = 86/86 (100%), Gaps = 0/86 (0%)

Query	112	SRSGFEMIWDPNGWTGTDSSFSVKQDIVAITDWSGYSGSFVQHPELTGLDCIRPCFWVEL	171
		SRSGFEMIWDPNGWTGTDSSFSVKQDIVAITDWSGYSGSFVQHPELTGLDCIRPCFWVEL	
Sbjct	347	SRSGFEMIWDPNGWTGTDSSFSVKQDIVAITDWSGYSGSFVQHPELTGLDCIRPCFWVEL	406
Query	172	IRGRPKESTIWTSGSSISFCGVNSDT	197
		IRGRPKESTIWTSGSSISFCGVNSDT	
Sbjct	407	IRGRPKESTIWTSGSSISFCGVNSDT	432

> [gb|ABU99136.1|](#) neuraminidase [Influenza A virus
(A/Chicken/Indonesia/Padang1631-1/2006(H5N1))]

gb|ABU99138.1| neuraminidase [Influenza A virus (A/Chicken/Indonesia/Agam1631-3/2006(H5N1))]
gb|ABU99139.1| neuraminidase [Influenza A virus (A/Pigeon/Indonesia/Rohkit1631-6/2006(H5N1))]
Length=446

Score = 181 bits (460), Expect = 2e-44, Method: Compositional matrix adjust.
Identities = 86/86 (100%), Positives = 86/86 (100%), Gaps = 0/86 (0%)

Query 112 SRSGFEMIWDPNGWTGTDSSFSVKQDIVAITDWSGYSGSFVQHPELTGLDCIRPCFWVEL 171
SRSGFEMIWDPNGWTGTDSSFSVKQDIVAITDWSGYSGSFVQHPELTGLDCIRPCFWVEL
Sbjct 347 SRSGFEMIWDPNGWTGTDSSFSVKQDIVAITDWSGYSGSFVQHPELTGLDCIRPCFWVEL 406

Query 172 IRGRPKESTIWTSGSSISFCGVNSDT 197
IRGRPKESTIWTSGSSISFCGVNSDT
Sbjct 407 IRGRPKESTIWTSGSSISFCGVNSDT 432

> gb|ABU99145.1| neuraminidase [Influenza A virus (A/Chicken/Indonesia/Lampung1631-23/2006(H5N1))]
Length=436

Score = 181 bits (460), Expect = 2e-44, Method: Compositional matrix adjust.
Identities = 86/86 (100%), Positives = 86/86 (100%), Gaps = 0/86 (0%)

Query 112 SRSGFEMIWDPNGWTGTDSSFSVKQDIVAITDWSGYSGSFVQHPELTGLDCIRPCFWVEL 171
SRSGFEMIWDPNGWTGTDSSFSVKQDIVAITDWSGYSGSFVQHPELTGLDCIRPCFWVEL
Sbjct 347 SRSGFEMIWDPNGWTGTDSSFSVKQDIVAITDWSGYSGSFVQHPELTGLDCIRPCFWVEL 406

Query 172 IRGRPKESTIWTSGSSISFCGVNSDT 197
IRGRPKESTIWTSGSSISFCGVNSDT
Sbjct 407 IRGRPKESTIWTSGSSISFCGVNSDT 432

> gb|ABU99144.1| neuraminidase [Influenza A virus (A/Chicken/Indonesia/Rejang Lebong1631-22/2006(H5N1))]
Length=446

Score = 181 bits (460), Expect = 2e-44, Method: Compositional matrix adjust.
Identities = 86/86 (100%), Positives = 86/86 (100%), Gaps = 0/86 (0%)

Query 112 SRSGFEMIWDPNGWTGTDSSFSVKQDIVAITDWSGYSGSFVQHPELTGLDCIRPCFWVEL 171
SRSGFEMIWDPNGWTGTDSSFSVKQDIVAITDWSGYSGSFVQHPELTGLDCIRPCFWVEL
Sbjct 347 SRSGFEMIWDPNGWTGTDSSFSVKQDIVAITDWSGYSGSFVQHPELTGLDCIRPCFWVEL 406

Query 172 IRGRPKESTIWTSGSSISFCGVNSDT 197
IRGRPKESTIWTSGSSISFCGVNSDT
Sbjct 407 IRGRPKESTIWTSGSSISFCGVNSDT 432

> gb|ABU99141.1| neuraminidase [Influenza A virus (A/Chicken/Indonesia/Belitung Timor1631-18/2006(H5N1))]
Length=446

Score = 181 bits (460), Expect = 2e-44, Method: Compositional matrix adjust.
Identities = 86/86 (100%), Positives = 86/86 (100%), Gaps = 0/86 (0%)

Query 112 SRSGFEMIWDPNGWTGTDSSFSVKQDIVAITDWSGYSGSFVQHPELTGLDCIRPCFWVEL 171
SRSGFEMIWDPNGWTGTDSSFSVKQDIVAITDWSGYSGSFVQHPELTGLDCIRPCFWVEL
Sbjct 347 SRSGFEMIWDPNGWTGTDSSFSVKQDIVAITDWSGYSGSFVQHPELTGLDCIRPCFWVEL 406

Query 172 IRGRPKESTIWTSGSSISFCGVNSDT 197
IRGRPKESTIWTSGSSISFCGVNSDT
Sbjct 407 IRGRPKESTIWTSGSSISFCGVNSDT 432

>  [gb|ABO44225.1|](#) neuraminidase [Influenza A virus (A/chicken/Afghanistan/1573-92/2006(H5N1))]
 [gb|ABO52723.1|](#) neuraminidase [Influenza A virus (A/chicken/Afghanistan/1573-7/2006(H5N1))]
Length=449

Score = 181 bits (460), Expect = 2e-44, Method: Compositional matrix adjust.
Identities = 86/87 (98%), Positives = 87/87 (100%), Gaps = 0/87 (0%)

Query	111	SSRSGFEMIWDPNGWTGTDSSFSVKQDIVAITDWSGYSGSFVQHPELTGLDCIRPCFWVE	170
		+SRSGFEMIWDPNGWTGTDSSFSVKQDIVAITDWSGYSGSFVQHPELTGLDCIRPCFWVE	
Sbjct	346	TSRSGFEMIWDPNGWTGTDSSFSVKQDIVAITDWSGYSGSFVQHPELTGLDCIRPCFWVE	405
Query	171	LIRGRPKESTIWTSGSSISFCGVNSDT	197
		LIRGRPKESTIWTSGSSISFCGVNSDT	
Sbjct	406	LIRGRPKESTIWTSGSSISFCGVNSDT	432

>  [gb|ABW06177.1|](#) neuraminidase [Influenza A virus (A/Indonesia/546H/2006(H5N1))]
 [gb|ABW06199.1|](#) neuraminidase [Influenza A virus (A/Indonesia/535H/2006(H5N1))]
Length=448

Score = 181 bits (460), Expect = 2e-44, Method: Compositional matrix adjust.
Identities = 86/86 (100%), Positives = 86/86 (100%), Gaps = 0/86 (0%)

Query	112	SRSGFEMIWDPNGWTGTDSSFSVKQDIVAITDWSGYSGSFVQHPELTGLDCIRPCFWVEL	171
		SRSGFEMIWDPNGWTGTDSSFSVKQDIVAITDWSGYSGSFVQHPELTGLDCIRPCFWVEL	
Sbjct	347	SRSGFEMIWDPNGWTGTDSSFSVKQDIVAITDWSGYSGSFVQHPELTGLDCIRPCFWVEL	406
Query	172	IRGRPKESTIWTSGSSISFCGVNSDT	197
		IRGRPKESTIWTSGSSISFCGVNSDT	
Sbjct	407	IRGRPKESTIWTSGSSISFCGVNSDT	432

>  [gb|ABW73799.1|](#) neuraminidase [Influenza A virus
(A/chicken/Korea/IS2/2006(H5N1))]
Length=449

Score = 181 bits (460), Expect = 2e-44, Method: Compositional matrix adjust.
Identities = 86/86 (100%), Positives = 86/86 (100%), Gaps = 0/86 (0%)

Query	112	SRSGFEMIWDPNGWTGTDSSFSVKQDIVAITDWSGYSGSFVQHPELTGLDCIRPCFWVEL	171
		SRSGFEMIWDPNGWTGTDSSFSVKQDIVAITDWSGYSGSFVQHPELTGLDCIRPCFWVEL	
Sbjct	347	SRSGFEMIWDPNGWTGTDSSFSVKQDIVAITDWSGYSGSFVQHPELTGLDCIRPCFWVEL	406
Query	172	IRGRPKESTIWTSGSSISFCGVNSDT	197
		IRGRPKESTIWTSGSSISFCGVNSDT	
Sbjct	407	IRGRPKESTIWTSGSSISFCGVNSDT	432

>  [gb|ABW06159.1|](#) neuraminidase [Influenza A virus (A/Indonesia/560H/2006(H5N1))]
Length=449

Score = 181 bits (460), Expect = 2e-44, Method: Compositional matrix adjust.
Identities = 86/86 (100%), Positives = 86/86 (100%), Gaps = 0/86 (0%)

Query	112	SRSGFEMIWDPNGWTGTDSSFSVKQDIVAITDWSGYSGSFVQHPELTGLDCIRPCFWVEL	171
		SRSGFEMIWDPNGWTGTDSSFSVKQDIVAITDWSGYSGSFVQHPELTGLDCIRPCFWVEL	
Sbjct	347	SRSGFEMIWDPNGWTGTDSSFSVKQDIVAITDWSGYSGSFVQHPELTGLDCIRPCFWVEL	406
Query	172	IRGRPKESTIWTSGSSISFCGVNSDT	197

Sbjct 407 IRGRPKESTIWTSGSSISFCGVNSDT 432

> [gb|ABU99147.1|](#) neuraminidase [Influenza A virus (A/Quail/Indonesia/Sleman1631-25/2006(H5N1))]
Length=446

Score = 181 bits (460), Expect = 2e-44, Method: Compositional matrix adjust.
Identities = 86/86 (100%), Positives = 86/86 (100%), Gaps = 0/86 (0%)

Query 112 SRSGFEMIWDPNGWTGTDSSFSVKQDIVAITDWSGYSGSFVQHPELTGLDCIRPCFWVEL 171
SRSGFEMIWDPNGWTGTDSSFSVKQDIVAITDWSGYSGSFVQHPELTGLDCIRPCFWVEL

Sbjct 347 SRSGFEMIWDPNGWTGTDSSFSVKQDIVAITDWSGYSGSFVQHPELTGLDCIRPCFWVEL 406

Query 172 IRGRPKESTIWTSGSSISFCGVNSDT 197

IRGRPKESTIWTSGSSISFCGVNSDT

Sbjct 407 IRGRPKESTIWTSGSSISFCGVNSDT 432

> [gb|ABU99142.1|](#) neuraminidase [Influenza A virus (A/Chicken/Indonesia/Bangka Seletan1631-20/2006(H5N1))]
[gb|ABU99143.1|](#) neuraminidase [Influenza A virus (A/Chicken/Indonesia/Bangka Seletan1631-21/2006(H5N1))]
Length=446

Score = 181 bits (460), Expect = 2e-44, Method: Compositional matrix adjust.
Identities = 86/86 (100%), Positives = 86/86 (100%), Gaps = 0/86 (0%)

Query 112 SRSGFEMIWDPNGWTGTDSSFSVKQDIVAITDWSGYSGSFVQHPELTGLDCIRPCFWVEL 171
SRSGFEMIWDPNGWTGTDSSFSVKQDIVAITDWSGYSGSFVQHPELTGLDCIRPCFWVEL

Sbjct 347 SRSGFEMIWDPNGWTGTDSSFSVKQDIVAITDWSGYSGSFVQHPELTGLDCIRPCFWVEL 406

Query 172 IRGRPKESTIWTSGSSISFCGVNSDT 197

IRGRPKESTIWTSGSSISFCGVNSDT

Sbjct 407 IRGRPKESTIWTSGSSISFCGVNSDT 432

> [gb|ABL07032.1|](#) neuraminidase [Influenza A virus
(A/Indonesia/CDC940/2006(H5N1))]
Length=449

Score = 181 bits (460), Expect = 2e-44, Method: Compositional matrix adjust.
Identities = 86/86 (100%), Positives = 86/86 (100%), Gaps = 0/86 (0%)

Query 112 SRSGFEMIWDPNGWTGTDSSFSVKQDIVAITDWSGYSGSFVQHPELTGLDCIRPCFWVEL 171

SRSGFEMIWDPNGWTGTDSSFSVKQDIVAITDWSGYSGSFVQHPELTGLDCIRPCFWVEL

Sbjct 347 SRSGFEMIWDPNGWTGTDSSFSVKQDIVAITDWSGYSGSFVQHPELTGLDCIRPCFWVEL 406

Query 172 IRGRPKESTIWTSGSSISFCGVNSDT 197

IRGRPKESTIWTSGSSISFCGVNSDT

Sbjct 407 IRGRPKESTIWTSGSSISFCGVNSDT 432

> [gb|ABI36146.1|](#) neuraminidase [Influenza A virus
(A/Indonesia/CDC594/2006(H5N1))]
[gb|ABI36157.1|](#) neuraminidase [Influenza A virus (A/Indonesia/CDC595/2006(H5N1))]
[gb|ABI36168.1|](#) neuraminidase [Influenza A virus (A/Indonesia/CDC596/2006(H5N1))]
[gb|ABI36179.1|](#) neuraminidase [Influenza A virus (A/Indonesia/CDC597/2006(H5N1))]
[gb|ABI36189.1|](#) neuraminidase [Influenza A virus (A/Indonesia/CDC599/2006(H5N1))]
[gb|ABI36369.1|](#) neuraminidase [Influenza A virus (A/Indonesia/CDC625/2006(H5N1))]
[gb|ABI36413.1|](#) neuraminidase [Influenza A virus (A/Indonesia/CDC625L/2006(H5N1))]
[gb|ABW06149.1|](#) neuraminidase [Influenza A virus (A/Indonesia/546bH/2006(H5N1))]

Length=449

Score = 181 bits (460), Expect = 2e-44, Method: Compositional matrix adjust.
Identities = 86/86 (100%), Positives = 86/86 (100%), Gaps = 0/86 (0%)

Query	112	SRSGFEMIWDPNGWTGTDSSFSVKQDIVAITDWSGYSGSFVQHPELTGLDCIRPCFWVEL	171
		SRSGFEMIWDPNGWTGTDSSFSVKQDIVAITDWSGYSGSFVQHPELTGLDCIRPCFWVEL	
Sbjct	347	SRSGFEMIWDPNGWTGTDSSFSVKQDIVAITDWSGYSGSFVQHPELTGLDCIRPCFWVEL	406
		SRSGFEMIWDPNGWTGTDSSFSVKQDIVAITDWSGYSGSFVQHPELTGLDCIRPCFWVEL	
Query	172	IRGRPKESTIWTSGSSISFCGVNSDT	197
		IRGRPKESTIWTSGSSISFCGVNSDT	
Sbjct	407	IRGRPKESTIWTSGSSISFCGVNSDT	432

> [gb|ABU99146.1|](#) neuraminidase [Influenza A virus (A/Muscovy Duck/Indonesia/Kedri1631-24/2006(H5N1))]
Length=446

Score = 181 bits (460), Expect = 2e-44, Method: Compositional matrix adjust.
Identities = 86/86 (100%), Positives = 86/86 (100%), Gaps = 0/86 (0%)

Query	112	SRSGFEMIWDPNGWTGTDSSFSVKQDIVAITDWSGYSGSFVQHPELTGLDCIRPCFWVEL	171
		SRSGFEMIWDPNGWTGTDSSFSVKQDIVAITDWSGYSGSFVQHPELTGLDCIRPCFWVEL	
Sbjct	347	SRSGFEMIWDPNGWTGTDSSFSVKQDIVAITDWSGYSGSFVQHPELTGLDCIRPCFWVEL	406
		SRSGFEMIWDPNGWTGTDSSFSVKQDIVAITDWSGYSGSFVQHPELTGLDCIRPCFWVEL	
Query	172	IRGRPKESTIWTSGSSISFCGVNSDT	197
		IRGRPKESTIWTSGSSISFCGVNSDT	
Sbjct	407	IRGRPKESTIWTSGSSISFCGVNSDT	432

> [gb|ABU99041.1|](#) neuraminidase [Influenza A virus (A/Chicken/Karo/BBPV1/2006(H5N1))]
Length=441

Score = 181 bits (460), Expect = 2e-44, Method: Compositional matrix adjust.
Identities = 86/86 (100%), Positives = 86/86 (100%), Gaps = 0/86 (0%)

Query	112	SRSGFEMIWDPNGWTGTDSSFSVKQDIVAITDWSGYSGSFVQHPELTGLDCIRPCFWVEL	171
		SRSGFEMIWDPNGWTGTDSSFSVKQDIVAITDWSGYSGSFVQHPELTGLDCIRPCFWVEL	
Sbjct	347	SRSGFEMIWDPNGWTGTDSSFSVKQDIVAITDWSGYSGSFVQHPELTGLDCIRPCFWVEL	406
		SRSGFEMIWDPNGWTGTDSSFSVKQDIVAITDWSGYSGSFVQHPELTGLDCIRPCFWVEL	
Query	172	IRGRPKESTIWTSGSSISFCGVNSDT	197
		IRGRPKESTIWTSGSSISFCGVNSDT	
Sbjct	407	IRGRPKESTIWTSGSSISFCGVNSDT	432

> [gb|ABI49409.1|](#) neuraminidase [Influenza A virus (A/Indonesia/CDC742/2006(H5N1))]
Length=449

Score = 181 bits (460), Expect = 2e-44, Method: Compositional matrix adjust.
Identities = 86/86 (100%), Positives = 86/86 (100%), Gaps = 0/86 (0%)

Query	112	SRSGFEMIWDPNGWTGTDSSFSVKQDIVAITDWSGYSGSFVQHPELTGLDCIRPCFWVEL	171
		SRSGFEMIWDPNGWTGTDSSFSVKQDIVAITDWSGYSGSFVQHPELTGLDCIRPCFWVEL	
Sbjct	347	SRSGFEMIWDPNGWTGTDSSFSVKQDIVAITDWSGYSGSFVQHPELTGLDCIRPCFWVEL	406
		SRSGFEMIWDPNGWTGTDSSFSVKQDIVAITDWSGYSGSFVQHPELTGLDCIRPCFWVEL	
Query	172	IRGRPKESTIWTSGSSISFCGVNSDT	197
		IRGRPKESTIWTSGSSISFCGVNSDT	
Sbjct	407	IRGRPKESTIWTSGSSISFCGVNSDT	432

> [gb|ABI36087.1|](#) neuraminidase [Influenza A virus
(A/Indonesia/CDC357/2006(H5N1))]
Length=444

Score = 181 bits (460), Expect = 2e-44, Method: Compositional matrix adjust.
Identities = 86/86 (100%), Positives = 86/86 (100%), Gaps = 0/86 (0%)

Query 112 SRSGFEMIWDPNGWTGTDSSFSVKQDIVAITDWSGYSGSFVQHPELTGLDCIRPCFWVEL 171
SRSGFEMIWDPNGWTGTDSSFSVKQDIVAITDWSGYSGSFVQHPELTGLDCIRPCFWVEL
Sbjct 347 SRSGFEMIWDPNGWTGTDSSFSVKQDIVAITDWSGYSGSFVQHPELTGLDCIRPCFWVEL 406

Query 172 IRGRPKESTIWTSGSSISFCGVNSDT 197
IRGRPKESTIWTSGSSISFCGVNSDT
Sbjct 407 IRGRPKESTIWTSGSSISFCGVNSDT 432

> [gb|ABW73755.1|](#) neuraminidase [Influenza A virus (A/quail/Korea/KJ4/2006(H5N1))]
[gb|ABW73810.1|](#) neuraminidase [Influenza A virus (A/chicken/Korea/IS/2006(H5N1))]
Length=449

Score = 181 bits (460), Expect = 2e-44, Method: Compositional matrix adjust.
Identities = 86/86 (100%), Positives = 86/86 (100%), Gaps = 0/86 (0%)

Query 112 SRSGFEMIWDPNGWTGTDSSFSVKQDIVAITDWSGYSGSFVQHPELTGLDCIRPCFWVEL 171
SRSGFEMIWDPNGWTGTDSSFSVKQDIVAITDWSGYSGSFVQHPELTGLDCIRPCFWVEL
Sbjct 347 SRSGFEMIWDPNGWTGTDSSFSVKQDIVAITDWSGYSGSFVQHPELTGLDCIRPCFWVEL 406

Query 172 IRGRPKESTIWTSGSSISFCGVNSDT 197
IRGRPKESTIWTSGSSISFCGVNSDT
Sbjct 407 IRGRPKESTIWTSGSSISFCGVNSDT 432

> [gb|ABU99056.1|](#) neuraminidase [Influenza A virus
(A/Chicken/Pakunbaru/BPPV11/2005(H5N1))]
Length=436

Score = 181 bits (460), Expect = 2e-44, Method: Compositional matrix adjust.
Identities = 86/86 (100%), Positives = 86/86 (100%), Gaps = 0/86 (0%)

Query 112 SRSGFEMIWDPNGWTGTDSSFSVKQDIVAITDWSGYSGSFVQHPELTGLDCIRPCFWVEL 171
SRSGFEMIWDPNGWTGTDSSFSVKQDIVAITDWSGYSGSFVQHPELTGLDCIRPCFWVEL
Sbjct 347 SRSGFEMIWDPNGWTGTDSSFSVKQDIVAITDWSGYSGSFVQHPELTGLDCIRPCFWVEL 406

Query 172 IRGRPKESTIWTSGSSISFCGVNSDT 197
IRGRPKESTIWTSGSSISFCGVNSDT
Sbjct 407 IRGRPKESTIWTSGSSISFCGVNSDT 432

> [gb|ABU99140.1|](#) neuraminidase [Influenza A virus
(A/Chicken/Indonesia/Pekenbarul631-11/2006(H5N1))]
Length=446

Score = 181 bits (460), Expect = 2e-44, Method: Compositional matrix adjust.
Identities = 86/86 (100%), Positives = 86/86 (100%), Gaps = 0/86 (0%)

Query 112 SRSGFEMIWDPNGWTGTDSSFSVKQDIVAITDWSGYSGSFVQHPELTGLDCIRPCFWVEL 171
SRSGFEMIWDPNGWTGTDSSFSVKQDIVAITDWSGYSGSFVQHPELTGLDCIRPCFWVEL
Sbjct 347 SRSGFEMIWDPNGWTGTDSSFSVKQDIVAITDWSGYSGSFVQHPELTGLDCIRPCFWVEL 406

Query 172 IRGRPKESTIWTSGSSISFCGVNSDT 197
IRGRPKESTIWTSGSSISFCGVNSDT
Sbjct 407 IRGRPKESTIWTSGSSISFCGVNSDT 432

> [gb|ABI36465.1|](#) neuraminidase [Influenza A virus
(A/Indonesia/CDC644T/2006(H5N1))]
[gb|ABI36476.1|](#) neuraminidase [Influenza A virus (A/Indonesia/CDC644/2006(H5N1))]
[gb|ABW06221.1|](#) neuraminidase [Influenza A virus (A/Indonesia/567H/2006(H5N1))]
Length=449

Score = 181 bits (460), Expect = 2e-44, Method: Compositional matrix adjust.
Identities = 86/86 (100%), Positives = 86/86 (100%), Gaps = 0/86 (0%)

Query 112	SRSGFEMIWDPNGWTGTDSSFSVKQDIVAITDWSGYSGSFVQHPELTGLDCIRPCFWVEL	171
	SRSGFEMIWDPNGWTGTDSSFSVKQDIVAITDWSGYSGSFVQHPELTGLDCIRPCFWVEL	
Sbjct 347	SRSGFEMIWDPNGWTGTDSSFSVKQDIVAITDWSGYSGSFVQHPELTGLDCIRPCFWVEL	406

Query 172	IRGRPKESTIWTSGSSISFCGVNSDT	197
	IRGRPKESTIWTSGSSISFCGVNSDT	
Sbjct 407	IRGRPKESTIWTSGSSISFCGVNSDT	432

> [gb|ABP51965.1|](#) neuraminidase [Influenza A virus (A/Indonesia/5/2005(H5N1))]
Length=436

Score = 181 bits (460), Expect = 2e-44, Method: Compositional matrix adjust.
Identities = 86/86 (100%), Positives = 86/86 (100%), Gaps = 0/86 (0%)

Query 112	SRSGFEMIWDPNGWTGTDSSFSVKQDIVAITDWSGYSGSFVQHPELTGLDCIRPCFWVEL	171
	SRSGFEMIWDPNGWTGTDSSFSVKQDIVAITDWSGYSGSFVQHPELTGLDCIRPCFWVEL	
Sbjct 347	SRSGFEMIWDPNGWTGTDSSFSVKQDIVAITDWSGYSGSFVQHPELTGLDCIRPCFWVEL	406

Query 172	IRGRPKESTIWTSGSSISFCGVNSDT	197
	IRGRPKESTIWTSGSSISFCGVNSDT	
Sbjct 407	IRGRPKESTIWTSGSSISFCGVNSDT	432

> [gb|ABI36314.1|](#) neuraminidase [Influenza A virus
(A/Indonesia/CDC610/2006(H5N1))]
Length=449

Score = 181 bits (460), Expect = 2e-44, Method: Compositional matrix adjust.
Identities = 86/86 (100%), Positives = 86/86 (100%), Gaps = 0/86 (0%)

Query 112	SRSGFEMIWDPNGWTGTDSSFSVKQDIVAITDWSGYSGSFVQHPELTGLDCIRPCFWVEL	171
	SRSGFEMIWDPNGWTGTDSSFSVKQDIVAITDWSGYSGSFVQHPELTGLDCIRPCFWVEL	
Sbjct 347	SRSGFEMIWDPNGWTGTDSSFSVKQDIVAITDWSGYSGSFVQHPELTGLDCIRPCFWVEL	406

Query 172	IRGRPKESTIWTSGSSISFCGVNSDT	197
	IRGRPKESTIWTSGSSISFCGVNSDT	
Sbjct 407	IRGRPKESTIWTSGSSISFCGVNSDT	432

> [gb|ABW06254.1|](#) neuraminidase [Influenza A virus (A/Indonesia/321H/2006(H5N1))]
Length=448

Score = 181 bits (460), Expect = 2e-44, Method: Compositional matrix adjust.
Identities = 86/86 (100%), Positives = 86/86 (100%), Gaps = 0/86 (0%)

Query 112	SRSGFEMIWDPNGWTGTDSSFSVKQDIVAITDWSGYSGSFVQHPELTGLDCIRPCFWVEL	171
	SRSGFEMIWDPNGWTGTDSSFSVKQDIVAITDWSGYSGSFVQHPELTGLDCIRPCFWVEL	
Sbjct 347	SRSGFEMIWDPNGWTGTDSSFSVKQDIVAITDWSGYSGSFVQHPELTGLDCIRPCFWVEL	406

Query 172	IRGRPKESTIWTSGSSISFCGVNSDT	197
	IRGRPKESTIWTSGSSISFCGVNSDT	
Sbjct 407	IRGRPKESTIWTSGSSISFCGVNSDT	432

> [gb|ABW06188.1|](#) neuraminidase [Influenza A virus (A/Indonesia/536H/2006(H5N1))]
Length=440

Score = 181 bits (460), Expect = 2e-44, Method: Compositional matrix adjust.
Identities = 86/86 (100%), Positives = 86/86 (100%), Gaps = 0/86 (0%)

Query	112	SRSGFEMIWDPNGWTGTDSSFSVKQDIVAITDWSGYSGSFVQHPELTGLDCIRPCFWVEL	171
		SRSGFEMIWDPNGWTGTDSSFSVKQDIVAITDWSGYSGSFVQHPELTGLDCIRPCFWVEL	
Sbjct	347	SRSGFEMIWDPNGWTGTDSSFSVKQDIVAITDWSGYSGSFVQHPELTGLDCIRPCFWVEL	406
Query	172	IRGRPKESTIWTSGSSISFCGVNSDT	197
		IRGRPKESTIWTSGSSISFCGVNSDT	
Sbjct	407	IRGRPKESTIWTSGSSISFCGVNSDT	432

> [gb|ABO30348.1|](#) neuraminidase [Influenza A virus
(A/chicken/Indonesia/7/2003(H5N1))]
Length=449

Score = 181 bits (460), Expect = 2e-44, Method: Compositional matrix adjust.
Identities = 86/86 (100%), Positives = 86/86 (100%), Gaps = 0/86 (0%)

Query	112	SRSGFEMIWDPNGWTGTDSSFSVKQDIVAITDWSGYSGSFVQHPELTGLDCIRPCFWVEL	171
		SRSGFEMIWDPNGWTGTDSSFSVKQDIVAITDWSGYSGSFVQHPELTGLDCIRPCFWVEL	
Sbjct	347	SRSGFEMIWDPNGWTGTDSSFSVKQDIVAITDWSGYSGSFVQHPELTGLDCIRPCFWVEL	406
Query	172	IRGRPKESTIWTSGSSISFCGVNSDT	197
		IRGRPKESTIWTSGSSISFCGVNSDT	
Sbjct	407	IRGRPKESTIWTSGSSISFCGVNSDT	432

> [gb|ACA47683.1|](#) neuraminidase [Influenza A virus
(A/chicken/Shantou/3900/2002(H5N1))]
Length=442

Score = 181 bits (460), Expect = 2e-44, Method: Compositional matrix adjust.
Identities = 86/86 (100%), Positives = 86/86 (100%), Gaps = 0/86 (0%)

Query	112	SRSGFEMIWDPNGWTGTDSSFSVKQDIVAITDWSGYSGSFVQHPELTGLDCIRPCFWVEL	171
		SRSGFEMIWDPNGWTGTDSSFSVKQDIVAITDWSGYSGSFVQHPELTGLDCIRPCFWVEL	
Sbjct	347	SRSGFEMIWDPNGWTGTDSSFSVKQDIVAITDWSGYSGSFVQHPELTGLDCIRPCFWVEL	406
Query	172	IRGRPKESTIWTSGSSISFCGVNSDT	197
		IRGRPKESTIWTSGSSISFCGVNSDT	
Sbjct	407	IRGRPKESTIWTSGSSISFCGVNSDT	432

> [gb|ABL31746.1|](#) neuraminidase [Influenza A virus
(A/Indonesia/CDC835/2006(H5N1))]
Length=449

Score = 181 bits (460), Expect = 2e-44, Method: Compositional matrix adjust.
Identities = 86/86 (100%), Positives = 86/86 (100%), Gaps = 0/86 (0%)

Query	112	SRSGFEMIWDPNGWTGTDSSFSVKQDIVAITDWSGYSGSFVQHPELTGLDCIRPCFWVEL	171
		SRSGFEMIWDPNGWTGTDSSFSVKQDIVAITDWSGYSGSFVQHPELTGLDCIRPCFWVEL	
Sbjct	347	SRSGFEMIWDPNGWTGTDSSFSVKQDIVAITDWSGYSGSFVQHPELTGLDCIRPCFWVEL	406
Query	172	IRGRPKESTIWTSGSSISFCGVNSDT	197
		IRGRPKESTIWTSGSSISFCGVNSDT	
Sbjct	407	IRGRPKESTIWTSGSSISFCGVNSDT	432

```
>  gb|ABI36200.1| neuraminidase [Influenza A virus  
(A/Indonesia/CDC523/2006(H5N1))]  
gb|ABI36278.1| neuraminidase [Influenza A virus (A/Indonesia/CDC523E/2006(H5N1))]  
gb|ABI36287.1| neuraminidase [Influenza A virus (A/Indonesia/CDC523T/2006(H5N1))]  
gb|ABI36298.1| neuraminidase [Influenza A virus (A/Indonesia/CDC582/2006(H5N1))]  
gb|ABI36457.1| neuraminidase [Influenza A virus (A/Indonesia/CDC699/2006(H5N1))]  
Length=449
```

Score = 181 bits (460), Expect = 2e-44, Method: Compositional matrix adjust.
Identities = 86/86 (100%), Positives = 86/86 (100%), Gaps = 0/86 (0%)

Query	112	SRSGFEMIWDPNGWTGTDSSFSVKQDIVAITDWSGYSGSFVQHPELTGLDCIRPCFWVEL	171
		SRSGFEMIWDPNGWTGTDSSFSVKQDIVAITDWSGYSGSFVQHPELTGLDCIRPCFWVEL	
Sbjct	347	SRSGFEMIWDPNGWTGTDSSFSVKQDIVAITDWSGYSGSFVQHPELTGLDCIRPCFWVEL	406
		SRSGFEMIWDPNGWTGTDSSFSVKQDIVAITDWSGYSGSFVQHPELTGLDCIRPCFWVEL	
Query	172	IRGRPKESTIWTSGSSISFCGVNSDT	197
		IRGRPKESTIWTSGSSISFCGVNSDT	
Sbjct	407	IRGRPKESTIWTSGSSISFCGVNSDT	432

```
>  gb|ABM90480.1| neuraminidase [Influenza A virus  
(A/Indonesia/CDC1032/2007(H5N1))]  
gb|ABM90491.1| neuraminidase [Influenza A virus (A/Indonesia/CDC1032N/2007(H5N1))]  
gb|ABM90502.1| neuraminidase [Influenza A virus (A/Indonesia/CDC1032T/2007(H5N1))]  
Length=449
```

Score = 181 bits (460), Expect = 2e-44, Method: Compositional matrix adjust.
Identities = 86/86 (100%), Positives = 86/86 (100%), Gaps = 0/86 (0%)

Query	112	SRSGFEMIWDPNGWTGTDSSFSVKQDIVAITDWSGYSGSFVQHPELTGLDCIRPCFWVEL	171
		SRSGFEMIWDPNGWTGTDSSFSVKQDIVAITDWSGYSGSFVQHPELTGLDCIRPCFWVEL	
Sbjct	347	SRSGFEMIWDPNGWTGTDSSFSVKQDIVAITDWSGYSGSFVQHPELTGLDCIRPCFWVEL	406
		SRSGFEMIWDPNGWTGTDSSFSVKQDIVAITDWSGYSGSFVQHPELTGLDCIRPCFWVEL	
Query	172	IRGRPKESTIWTSGSSISFCGVNSDT	197
		IRGRPKESTIWTSGSSISFCGVNSDT	
Sbjct	407	IRGRPKESTIWTSGSSISFCGVNSDT	432

```
>  gb|ABW06243.1| neuraminidase [Influenza A virus (A/Indonesia/341H/2006(H5N1))]  
Length=448
```

Score = 181 bits (460), Expect = 2e-44, Method: Compositional matrix adjust.
Identities = 86/86 (100%), Positives = 86/86 (100%), Gaps = 0/86 (0%)

Query	112	SRSGFEMIWDPNGWTGTDSSFSVKQDIVAITDWSGYSGSFVQHPELTGLDCIRPCFWVEL	171
		SRSGFEMIWDPNGWTGTDSSFSVKQDIVAITDWSGYSGSFVQHPELTGLDCIRPCFWVEL	
Sbjct	347	SRSGFEMIWDPNGWTGTDSSFSVKQDIVAITDWSGYSGSFVQHPELTGLDCIRPCFWVEL	406
		SRSGFEMIWDPNGWTGTDSSFSVKQDIVAITDWSGYSGSFVQHPELTGLDCIRPCFWVEL	
Query	172	IRGRPKESTIWTSGSSISFCGVNSDT	197
		IRGRPKESTIWTSGSSISFCGVNSDT	
Sbjct	407	IRGRPKESTIWTSGSSISFCGVNSDT	432

```
>  gb|ABW06127.1| neuraminidase [Influenza A virus (A/Indonesia/569H/2006(H5N1))]  
Length=439
```

Score = 181 bits (460), Expect = 2e-44, Method: Compositional matrix adjust.
Identities = 86/86 (100%), Positives = 86/86 (100%), Gaps = 0/86 (0%)

Query	112	SRSGFEMIWDPNGWTGTDSSFSVKQDIVAITDWSGYSGSFVQHPELTGLDCIRPCFWVEL	171
		SRSGFEMIWDPNGWTGTDSSFSVKQDIVAITDWSGYSGSFVQHPELTGLDCIRPCFWVEL	

Sbjct 347 SRSGFEMIWDPNGWTGTDSSFSVKQDIVAITDWSGYSGSFVQHPELTGLDCIRPCFWVEL 406

Query 172 IRGRPKESTIWTSGSSISFCGVNSDT 197

IRGRPKESTIWTSGSSISFCGVNSDT

Sbjct 407 IRGRPKESTIWTSGSSISFCGVNSDT 432

> [gb|ABU99148.1|](#) neuraminidase [Influenza A virus (A/Chicken/Indonesia/Gunung Kidul1631-33/2006(H5N1))]
Length=444

Score = 181 bits (460), Expect = 2e-44, Method: Compositional matrix adjust.
Identities = 86/86 (100%), Positives = 86/86 (100%), Gaps = 0/86 (0%)

Query 112 SRSGFEMIWDPNGWTGTDSSFSVKQDIVAITDWSGYSGSFVQHPELTGLDCIRPCFWVEL 171
SRSGFEMIWDPNGWTGTDSSFSVKQDIVAITDWSGYSGSFVQHPELTGLDCIRPCFWVEL

Sbjct 347 SRSGFEMIWDPNGWTGTDSSFSVKQDIVAITDWSGYSGSFVQHPELTGLDCIRPCFWVEL 406

Query 172 IRGRPKESTIWTSGSSISFCGVNSDT 197

IRGRPKESTIWTSGSSISFCGVNSDT

Sbjct 407 IRGRPKESTIWTSGSSISFCGVNSDT 432

> [gb|ABL31782.1|](#) neuraminidase [Influenza A virus (A/Indonesia/CDC887/2006(H5N1))]
[gb|ABM90436.1|](#) neuraminidase [Influenza A virus (A/Indonesia/CDC1031/2007(H5N1))]
[gb|ABM90447.1|](#) neuraminidase [Influenza A virus (A/Indonesia/CDC1031T/2007(H5N1))]
[gb|ABM90458.1|](#) neuraminidase [Influenza A virus (A/Indonesia/CDC1031T2/2007(H5N1))]
[gb|ABM90469.1|](#) neuraminidase [Influenza A virus (A/Indonesia/CDC1031RE2/2007(H5N1))]

Length=449

Score = 181 bits (460), Expect = 2e-44, Method: Compositional matrix adjust.
Identities = 86/86 (100%), Positives = 86/86 (100%), Gaps = 0/86 (0%)

Query 112 SRSGFEMIWDPNGWTGTDSSFSVKQDIVAITDWSGYSGSFVQHPELTGLDCIRPCFWVEL 171
SRSGFEMIWDPNGWTGTDSSFSVKQDIVAITDWSGYSGSFVQHPELTGLDCIRPCFWVEL

Sbjct 347 SRSGFEMIWDPNGWTGTDSSFSVKQDIVAITDWSGYSGSFVQHPELTGLDCIRPCFWVEL 406

Query 172 IRGRPKESTIWTSGSSISFCGVNSDT 197

IRGRPKESTIWTSGSSISFCGVNSDT

Sbjct 407 IRGRPKESTIWTSGSSISFCGVNSDT 432

> [gb|ABL07010.1|](#) neuraminidase [Influenza A virus (A/Indonesia/CDC938/2006(H5N1))]
[gb|ABL07021.1|](#) neuraminidase [Influenza A virus (A/Indonesia/CDC938E/2006(H5N1))]

Length=449

Score = 181 bits (460), Expect = 2e-44, Method: Compositional matrix adjust.
Identities = 86/86 (100%), Positives = 86/86 (100%), Gaps = 0/86 (0%)

Query 112 SRSGFEMIWDPNGWTGTDSSFSVKQDIVAITDWSGYSGSFVQHPELTGLDCIRPCFWVEL 171

SRSGFEMIWDPNGWTGTDSSFSVKQDIVAITDWSGYSGSFVQHPELTGLDCIRPCFWVEL

Sbjct 347 SRSGFEMIWDPNGWTGTDSSFSVKQDIVAITDWSGYSGSFVQHPELTGLDCIRPCFWVEL 406

Query 172 IRGRPKESTIWTSGSSISFCGVNSDT 197

IRGRPKESTIWTSGSSISFCGVNSDT

Sbjct 407 IRGRPKESTIWTSGSSISFCGVNSDT 432

> [gb|ABI23981.1|](#) neuraminidase [Influenza A virus (A/duck/Tuva/01/2006(H5N1))]

Length=449

Score = 181 bits (460), Expect = 2e-44, Method: Compositional matrix adjust.
Identities = 86/86 (100%), Positives = 86/86 (100%), Gaps = 0/86 (0%)

Query 112 SRSGFEMIWDPNGWTGTDSSFSVKQDIVAITDWSGYSGSFVQHPELTGLDCIRPCFWVEL 171
SRSGFEMIWDPNGWTGTDSSFSVKQDIVAITDWSGYSGSFVQHPELTGLDCIRPCFWVEL
Sbjct 347 SRSGFEMIWDPNGWTGTDSSFSVKQDIVAITDWSGYSGSFVQHPELTGLDCIRPCFWVEL 406

Query 172 IRGRPKESTIWTSGSSISFCGVNSDT 197
IRGRPKESTIWTSGSSISFCGVNSDT
Sbjct 407 IRGRPKESTIWTSGSSISFCGVNSDT 432

> [gb|ABW06303.1|](#) neuraminidase [Influenza A virus (A/Indonesia/283H/2006(H5N1))]
Length=449

Score = 181 bits (460), Expect = 2e-44, Method: Compositional matrix adjust.
Identities = 86/86 (100%), Positives = 86/86 (100%), Gaps = 0/86 (0%)

Query 112 SRSGFEMIWDPNGWTGTDSSFSVKQDIVAITDWSGYSGSFVQHPELTGLDCIRPCFWVEL 171
SRSGFEMIWDPNGWTGTDSSFSVKQDIVAITDWSGYSGSFVQHPELTGLDCIRPCFWVEL
Sbjct 347 SRSGFEMIWDPNGWTGTDSSFSVKQDIVAITDWSGYSGSFVQHPELTGLDCIRPCFWVEL 406

Query 172 IRGRPKESTIWTSGSSISFCGVNSDT 197
IRGRPKESTIWTSGSSISFCGVNSDT
Sbjct 407 IRGRPKESTIWTSGSSISFCGVNSDT 432

> [gb|ABW06294.1|](#) neuraminidase [Influenza A virus (A/Indonesia/286H/2006(H5N1))]
Length=449

Score = 181 bits (460), Expect = 2e-44, Method: Compositional matrix adjust.
Identities = 86/86 (100%), Positives = 86/86 (100%), Gaps = 0/86 (0%)

Query 112 SRSGFEMIWDPNGWTGTDSSFSVKQDIVAITDWSGYSGSFVQHPELTGLDCIRPCFWVEL 171
SRSGFEMIWDPNGWTGTDSSFSVKQDIVAITDWSGYSGSFVQHPELTGLDCIRPCFWVEL
Sbjct 347 SRSGFEMIWDPNGWTGTDSSFSVKQDIVAITDWSGYSGSFVQHPELTGLDCIRPCFWVEL 406

Query 172 IRGRPKESTIWTSGSSISFCGVNSDT 197
IRGRPKESTIWTSGSSISFCGVNSDT
Sbjct 407 IRGRPKESTIWTSGSSISFCGVNSDT 432

> [gb|ABU99065.1|](#) neuraminidase [Influenza A virus
(A/Duck/Indramayu/BBWV109/2006(H5N1))]
Length=440

Score = 181 bits (460), Expect = 2e-44, Method: Compositional matrix adjust.
Identities = 86/86 (100%), Positives = 86/86 (100%), Gaps = 0/86 (0%)

Query 112 SRSGFEMIWDPNGWTGTDSSFSVKQDIVAITDWSGYSGSFVQHPELTGLDCIRPCFWVEL 171
SRSGFEMIWDPNGWTGTDSSFSVKQDIVAITDWSGYSGSFVQHPELTGLDCIRPCFWVEL
Sbjct 347 SRSGFEMIWDPNGWTGTDSSFSVKQDIVAITDWSGYSGSFVQHPELTGLDCIRPCFWVEL 406

Query 172 IRGRPKESTIWTSGSSISFCGVNSDT 197
IRGRPKESTIWTSGSSISFCGVNSDT
Sbjct 407 IRGRPKESTIWTSGSSISFCGVNSDT 432

> [gb|ABI49398.1|](#) neuraminidase [Influenza A virus
(A/Indonesia/CDC739/2006(H5N1))]
[gb|ABL31757.1|](#) neuraminidase [Influenza A virus (A/Indonesia/CDC836/2006(H5N1))]
[gb|ABL31768.1|](#) neuraminidase [Influenza A virus (A/Indonesia/CDC836T/2006(H5N1))]
[gb|ABW06168.1|](#) neuraminidase [Influenza A virus (A/Indonesia/542H/2006(H5N1))]

> [gb|ABW06265.1|](#) neuraminidase [Influenza A virus (A/Indonesia/292H/2006(H5N1))]
> [gb|ABW06346.1|](#) neuraminidase [Influenza A virus (A/Indonesia/160H/2005(H5N1))]
> [gb|ABW06366.1|](#) neuraminidase [Influenza A virus (A/Indonesia/7/2005(H5N1))]
Length=449

Score = 181 bits (460), Expect = 2e-44, Method: Compositional matrix adjust.
Identities = 86/86 (100%), Positives = 86/86 (100%), Gaps = 0/86 (0%)

Query 112 SRSGFEMIWDPNGWTGTDSSFSVKQDIVAITDWSGYSGSFVQHPELTGLDCIRPCFWVEL 171
SRSGFEMIWDPNGWTGTDSSFSVKQDIVAITDWSGYSGSFVQHPELTGLDCIRPCFWVEL
Sbjct 347 SRSGFEMIWDPNGWTGTDSSFSVKQDIVAITDWSGYSGSFVQHPELTGLDCIRPCFWVEL 406

Query 172 IRGRPKESTIWTSGSSISFCGVNSDT 197
IRGRPKESTIWTSGSSISFCGVNSDT
Sbjct 407 IRGRPKESTIWTSGSSISFCGVNSDT 432

> [gb|ABI36089.1|](#) neuraminidase [Influenza A virus
(A/Indonesia/CDC370E/2006(H5N1))]
Length=444

Score = 181 bits (460), Expect = 2e-44, Method: Compositional matrix adjust.
Identities = 86/86 (100%), Positives = 86/86 (100%), Gaps = 0/86 (0%)

Query 112 SRSGFEMIWDPNGWTGTDSSFSVKQDIVAITDWSGYSGSFVQHPELTGLDCIRPCFWVEL 171
SRSGFEMIWDPNGWTGTDSSFSVKQDIVAITDWSGYSGSFVQHPELTGLDCIRPCFWVEL
Sbjct 347 SRSGFEMIWDPNGWTGTDSSFSVKQDIVAITDWSGYSGSFVQHPELTGLDCIRPCFWVEL 406

Query 172 IRGRPKESTIWTSGSSISFCGVNSDT 197
IRGRPKESTIWTSGSSISFCGVNSDT
Sbjct 407 IRGRPKESTIWTSGSSISFCGVNSDT 432

> [gb|ABI36435.1|](#) neuraminidase [Influenza A virus
(A/Indonesia/CDC669/2006(H5N1))]
> [gb|ABI36446.1|](#) neuraminidase [Influenza A virus (A/Indonesia/CDC669P/2006(H5N1))]
Length=449

Score = 181 bits (460), Expect = 2e-44, Method: Compositional matrix adjust.
Identities = 86/86 (100%), Positives = 86/86 (100%), Gaps = 0/86 (0%)

Query 112 SRSGFEMIWDPNGWTGTDSSFSVKQDIVAITDWSGYSGSFVQHPELTGLDCIRPCFWVEL 171
SRSGFEMIWDPNGWTGTDSSFSVKQDIVAITDWSGYSGSFVQHPELTGLDCIRPCFWVEL
Sbjct 347 SRSGFEMIWDPNGWTGTDSSFSVKQDIVAITDWSGYSGSFVQHPELTGLDCIRPCFWVEL 406

Query 172 IRGRPKESTIWTSGSSISFCGVNSDT 197
IRGRPKESTIWTSGSSISFCGVNSDT
Sbjct 407 IRGRPKESTIWTSGSSISFCGVNSDT 432

> [gb|ABW06116.1|](#) neuraminidase [Influenza A virus (A/Indonesia/583H/2006(H5N1))]
Length=444

Score = 181 bits (460), Expect = 2e-44, Method: Compositional matrix adjust.
Identities = 86/86 (100%), Positives = 86/86 (100%), Gaps = 0/86 (0%)

Query 112 SRSGFEMIWDPNGWTGTDSSFSVKQDIVAITDWSGYSGSFVQHPELTGLDCIRPCFWVEL 171
SRSGFEMIWDPNGWTGTDSSFSVKQDIVAITDWSGYSGSFVQHPELTGLDCIRPCFWVEL
Sbjct 347 SRSGFEMIWDPNGWTGTDSSFSVKQDIVAITDWSGYSGSFVQHPELTGLDCIRPCFWVEL 406

Query 172 IRGRPKESTIWTSGSSISFCGVNSDT 197
IRGRPKESTIWTSGSSISFCGVNSDT
Sbjct 407 IRGRPKESTIWTSGSSISFCGVNSDT 432

> [gb|ABU99153.1|](#) neuraminidase [Influenza A virus (A/Swan/Indonesia/Magelang1631-57/2007(H5N1))]
Length=441

Score = 181 bits (460), Expect = 2e-44, Method: Compositional matrix adjust.
Identities = 86/86 (100%), Positives = 86/86 (100%), Gaps = 0/86 (0%)

Query 112 SRSGFEMIWDPNGWTGTDSSFSVKQDIVAITDWSGYSGSFVQHPELTGLDCIRPCFWVEL 171
SRSGFEMIWDPNGWTGTDSSFSVKQDIVAITDWSGYSGSFVQHPELTGLDCIRPCFWVEL

Sbjct 347 SRSGFEMIWDPNGWTGTDSSFSVKQDIVAITDWSGYSGSFVQHPELTGLDCIRPCFWVEL 406

Query 172 IRGRPKESTIWTSGSSISFCGVNSDT 197

IRGRPKESTIWTSGSSISFCGVNSDT

Sbjct 407 IRGRPKESTIWTSGSSISFCGVNSDT 432

> [gb|ACA47650.1|](#) neuraminidase [Influenza A virus (A/quail/Shantou/3054/2002(H5N1))]
[gb|ACA47661.1|](#) neuraminidase [Influenza A virus (A/quail/Shantou/3071/2002(H5N1))]
Length=449

Score = 181 bits (460), Expect = 2e-44, Method: Compositional matrix adjust.
Identities = 86/86 (100%), Positives = 86/86 (100%), Gaps = 0/86 (0%)

Query 112 SRSGFEMIWDPNGWTGTDSSFSVKQDIVAITDWSGYSGSFVQHPELTGLDCIRPCFWVEL 171
SRSGFEMIWDPNGWTGTDSSFSVKQDIVAITDWSGYSGSFVQHPELTGLDCIRPCFWVEL

Sbjct 347 SRSGFEMIWDPNGWTGTDSSFSVKQDIVAITDWSGYSGSFVQHPELTGLDCIRPCFWVEL 406

Query 172 IRGRPKESTIWTSGSSISFCGVNSDT 197

IRGRPKESTIWTSGSSISFCGVNSDT

Sbjct 407 IRGRPKESTIWTSGSSISFCGVNSDT 432

> [gb|ABW06286.1|](#) neuraminidase [Influenza A virus (A/Indonesia/298H/2006(H5N1))]
Length=435

Score = 181 bits (460), Expect = 2e-44, Method: Compositional matrix adjust.
Identities = 86/86 (100%), Positives = 86/86 (100%), Gaps = 0/86 (0%)

Query 112 SRSGFEMIWDPNGWTGTDSSFSVKQDIVAITDWSGYSGSFVQHPELTGLDCIRPCFWVEL 171
SRSGFEMIWDPNGWTGTDSSFSVKQDIVAITDWSGYSGSFVQHPELTGLDCIRPCFWVEL

Sbjct 333 SRSGFEMIWDPNGWTGTDSSFSVKQDIVAITDWSGYSGSFVQHPELTGLDCIRPCFWVEL 392

Query 172 IRGRPKESTIWTSGSSISFCGVNSDT 197

IRGRPKESTIWTSGSSISFCGVNSDT

Sbjct 393 IRGRPKESTIWTSGSSISFCGVNSDT 418

> [gb|ABW06276.1|](#) neuraminidase [Influenza A virus (A/Indonesia/304H/2006(H5N1))]
Length=435

Score = 181 bits (460), Expect = 2e-44, Method: Compositional matrix adjust.
Identities = 86/86 (100%), Positives = 86/86 (100%), Gaps = 0/86 (0%)

Query 112 SRSGFEMIWDPNGWTGTDSSFSVKQDIVAITDWSGYSGSFVQHPELTGLDCIRPCFWVEL 171
SRSGFEMIWDPNGWTGTDSSFSVKQDIVAITDWSGYSGSFVQHPELTGLDCIRPCFWVEL

Sbjct 333 SRSGFEMIWDPNGWTGTDSSFSVKQDIVAITDWSGYSGSFVQHPELTGLDCIRPCFWVEL 392

Query 172 IRGRPKESTIWTSGSSISFCGVNSDT 197

IRGRPKESTIWTSGSSISFCGVNSDT

Sbjct 393 IRGRPKESTIWTSGSSISFCGVNSDT 418

```
> gb|ABI36090.1| neuraminidase [Influenza A virus  
(A/Indonesia/CDC390/2006(H5N1))]  
Length=444  
  
Score = 181 bits (460), Expect = 2e-44, Method: Compositional matrix adjust.  
Identities = 86/86 (100%), Positives = 86/86 (100%), Gaps = 0/86 (0%)
```

```
Query 112 SRSGFEMIWDPNGWTGTDSSFSVKQDIVAITDWSGYSGSFVQHPELTGLDCIRPCFWVEL 171  
SRSGFEMIWDPNGWTGTDSSFSVKQDIVAITDWSGYSGSFVQHPELTGLDCIRPCFWVEL  
Sbjct 347 SRSGFEMIWDPNGWTGTDSSFSVKQDIVAITDWSGYSGSFVQHPELTGLDCIRPCFWVEL 406  
  
Query 172 IRGRPKESTIWTSGSSISFCGVNSDT 197  
IRGRPKESTIWTSGSSISFCGVNSDT  
Sbjct 407 IRGRPKESTIWTSGSSISFCGVNSDT 432
```

```
> gb|ABI36086.1| neuraminidase [Influenza A virus  
(A/Indonesia/CDC326T/2006(H5N1))]  
gb|ABI36092.1| neuraminidase [Influenza A virus (A/Indonesia/CDC329/2006(H5N1))]  
gb|ABI36093.1| neuraminidase [Influenza A virus (A/Indonesia/CDC326N/2006(H5N1))]  
gb|ABI36096.1| neuraminidase [Influenza A virus (A/Indonesia/CDC326/2006(H5N1))]  
Length=444
```

```
Score = 181 bits (460), Expect = 2e-44, Method: Compositional matrix adjust.  
Identities = 86/86 (100%), Positives = 86/86 (100%), Gaps = 0/86 (0%)  
  
Query 112 SRSGFEMIWDPNGWTGTDSSFSVKQDIVAITDWSGYSGSFVQHPELTGLDCIRPCFWVEL 171  
SRSGFEMIWDPNGWTGTDSSFSVKQDIVAITDWSGYSGSFVQHPELTGLDCIRPCFWVEL  
Sbjct 347 SRSGFEMIWDPNGWTGTDSSFSVKQDIVAITDWSGYSGSFVQHPELTGLDCIRPCFWVEL 406  
  
Query 172 IRGRPKESTIWTSGSSISFCGVNSDT 197  
IRGRPKESTIWTSGSSISFCGVNSDT  
Sbjct 407 IRGRPKESTIWTSGSSISFCGVNSDT 432
```

```
> gb|ABI36025.1| neuraminidase [Influenza A virus  
(A/chicken/Indonesia/CDC25/2005(H5N1))]  
gb|ABI36035.1| neuraminidase [Influenza A virus  
(A/chicken/Indonesia/CDC24/2005(H5N1))]  
Length=444
```

```
Score = 181 bits (460), Expect = 2e-44, Method: Compositional matrix adjust.  
Identities = 86/86 (100%), Positives = 86/86 (100%), Gaps = 0/86 (0%)  
  
Query 112 SRSGFEMIWDPNGWTGTDSSFSVKQDIVAITDWSGYSGSFVQHPELTGLDCIRPCFWVEL 171  
SRSGFEMIWDPNGWTGTDSSFSVKQDIVAITDWSGYSGSFVQHPELTGLDCIRPCFWVEL  
Sbjct 347 SRSGFEMIWDPNGWTGTDSSFSVKQDIVAITDWSGYSGSFVQHPELTGLDCIRPCFWVEL 406  
  
Query 172 IRGRPKESTIWTSGSSISFCGVNSDT 197  
IRGRPKESTIWTSGSSISFCGVNSDT  
Sbjct 407 IRGRPKESTIWTSGSSISFCGVNSDT 432
```

```
> gb|ABV53561.1| neuraminidase [Influenza A virus (A/chicken/Nigeria/1071-  
23/2007(H5N1))]  
Length=449
```

```
Score = 181 bits (460), Expect = 2e-44, Method: Compositional matrix adjust.  
Identities = 86/86 (100%), Positives = 86/86 (100%), Gaps = 0/86 (0%)  
  
Query 112 SRSGFEMIWDPNGWTGTDSSFSVKQDIVAITDWSGYSGSFVQHPELTGLDCIRPCFWVEL 171  
SRSGFEMIWDPNGWTGTDSSFSVKQDIVAITDWSGYSGSFVQHPELTGLDCIRPCFWVEL
```

```
Sbjct  347  SRSGFEMIWDPNGWTGTDSSFSVKQDIVAITDWSGYSGSFVQHPELTGLDCIRPCFWVEL  406
Query  172  IRGRPKESTIWTSGSSISFCGVNSDT  197
          IRGRPKESTIWTSGSSISFCGVNSDT
Sbjct  407  IRGRPKESTIWTSGSSISFCGVNSDT  432
```

>  [gb|ABI36014.1|](#) neuraminidase [Influenza A virus (A/Indonesia/CDC7/2005(H5N1))]
[gb|ABI36091.1|](#) neuraminidase [Influenza A virus
(A/feline/Indonesia/CDC1/2006(H5N1))]
[gb|ABI36094.1|](#) neuraminidase [Influenza A virus (A/Indonesia/CDC184/2005(H5N1))]
Length=444

Score = 181 bits (460), Expect = 2e-44, Method: Compositional matrix adjust.
Identities = 86/86 (100%), Positives = 86/86 (100%), Gaps = 0/86 (0%)

```
Query  112  SRSGFEMIWDPNGWTGTDSSFSVKQDIVAITDWSGYSGSFVQHPELTGLDCIRPCFWVEL  171
          SRSGFEMIWDPNGWTGTDSSFSVKQDIVAITDWSGYSGSFVQHPELTGLDCIRPCFWVEL
Sbjct  347  SRSGFEMIWDPNGWTGTDSSFSVKQDIVAITDWSGYSGSFVQHPELTGLDCIRPCFWVEL  406
Query  172  IRGRPKESTIWTSGSSISFCGVNSDT  197
          IRGRPKESTIWTSGSSISFCGVNSDT
Sbjct  407  IRGRPKESTIWTSGSSISFCGVNSDT  432
```

>  [gb|ABY86500.1|](#) neuraminidase [Influenza A virus (A/turkey/Islamabad-Pakistan/NARC-7871/02/2007(H5N1))]
Length=449

Score = 181 bits (460), Expect = 2e-44, Method: Compositional matrix adjust.
Identities = 86/86 (100%), Positives = 86/86 (100%), Gaps = 0/86 (0%)

```
Query  112  SRSGFEMIWDPNGWTGTDSSFSVKQDIVAITDWSGYSGSFVQHPELTGLDCIRPCFWVEL  171
          SRSGFEMIWDPNGWTGTDSSFSVKQDIVAITDWSGYSGSFVQHPELTGLDCIRPCFWVEL
Sbjct  347  SRSGFEMIWDPNGWTGTDSSFSVKQDIVAITDWSGYSGSFVQHPELTGLDCIRPCFWVEL  406
Query  172  IRGRPKESTIWTSGSSISFCGVNSDT  197
          IRGRPKESTIWTSGSSISFCGVNSDT
Sbjct  407  IRGRPKESTIWTSGSSISFCGVNSDT  432
```

>  [gb|ABW06107.1|](#) neuraminidase [Influenza A virus (A/Indonesia/5/2005(H5N1))]
Length=449

Score = 181 bits (460), Expect = 2e-44, Method: Compositional matrix adjust.
Identities = 86/86 (100%), Positives = 86/86 (100%), Gaps = 0/86 (0%)

```
Query  112  SRSGFEMIWDPNGWTGTDSSFSVKQDIVAITDWSGYSGSFVQHPELTGLDCIRPCFWVEL  171
          SRSGFEMIWDPNGWTGTDSSFSVKQDIVAITDWSGYSGSFVQHPELTGLDCIRPCFWVEL
Sbjct  347  SRSGFEMIWDPNGWTGTDSSFSVKQDIVAITDWSGYSGSFVQHPELTGLDCIRPCFWVEL  406
Query  172  IRGRPKESTIWTSGSSISFCGVNSDT  197
          IRGRPKESTIWTSGSSISFCGVNSDT
Sbjct  407  IRGRPKESTIWTSGSSISFCGVNSDT  432
```

>  [gb|ABW37348.1|](#) neuraminidase [Influenza A virus
(A/chicken/Surat/Gujrat/India/9257/2006(H5N1))]
Length=449

Score = 181 bits (460), Expect = 2e-44, Method: Compositional matrix adjust.
Identities = 86/86 (100%), Positives = 86/86 (100%), Gaps = 0/86 (0%)

```
Query  112  SRSGFEMIWDPNGWTGTDSSFSVKQDIVAITDWSGYSGSFVQHPELTGLDCIRPCFWVEL  171
       SRSGFEMIWDPNGWTGTDSSFSVKQDIVAITDWSGYSGSFVQHPELTGLDCIRPCFWVEL
Sbjct   347  SRSGFEMIWDPNGWTGTDSSFSVKQDIVAITDWSGYSGSFVQHPELTGLDCIRPCFWVEL  406
       SRSGFEMIWDPNGWTGTDSSFSVKQDIVAITDWSGYSGSFVQHPELTGLDCIRPCFWVEL

Query  172  IRGRPKESTIWTSGSSISFCGVNSDT  197
       IRGRPKESTIWTSGSSISFCGVNSDT
Sbjct   407  IRGRPKESTIWTSGSSISFCGVNSDT  432
```

> [gb|ABW06138.1|](#) neuraminidase [Influenza A virus (A/Indonesia/604H/2006(H5N1))]
Length=440

Score = 181 bits (460), Expect = 2e-44, Method: Compositional matrix adjust.
Identities = 86/86 (100%), Positives = 86/86 (100%), Gaps = 0/86 (0%)

```
Query  112  SRSGFEMIWDPNGWTGTDSSFSVKQDIVAITDWSGYSGSFVQHPELTGLDCIRPCFWVEL  171
       SRSGFEMIWDPNGWTGTDSSFSVKQDIVAITDWSGYSGSFVQHPELTGLDCIRPCFWVEL
Sbjct   347  SRSGFEMIWDPNGWTGTDSSFSVKQDIVAITDWSGYSGSFVQHPELTGLDCIRPCFWVEL  406
       SRSGFEMIWDPNGWTGTDSSFSVKQDIVAITDWSGYSGSFVQHPELTGLDCIRPCFWVEL

Query  172  IRGRPKESTIWTSGSSISFCGVNSDT  197
       IRGRPKESTIWTSGSSISFCGVNSDT
Sbjct   407  IRGRPKESTIWTSGSSISFCGVNSDT  432
```

> [gb|ABU99117.1|](#) neuraminidase [Influenza A virus
(A/Chicken/Indonesia/Soppeng1631-71/2007(H5N1))]
Length=444

Score = 181 bits (460), Expect = 2e-44, Method: Compositional matrix adjust.
Identities = 86/86 (100%), Positives = 86/86 (100%), Gaps = 0/86 (0%)

```
Query  112  SRSGFEMIWDPNGWTGTDSSFSVKQDIVAITDWSGYSGSFVQHPELTGLDCIRPCFWVEL  171
       SRSGFEMIWDPNGWTGTDSSFSVKQDIVAITDWSGYSGSFVQHPELTGLDCIRPCFWVEL
Sbjct   347  SRSGFEMIWDPNGWTGTDSSFSVKQDIVAITDWSGYSGSFVQHPELTGLDCIRPCFWVEL  406
       SRSGFEMIWDPNGWTGTDSSFSVKQDIVAITDWSGYSGSFVQHPELTGLDCIRPCFWVEL

Query  172  IRGRPKESTIWTSGSSISFCGVNSDT  197
       IRGRPKESTIWTSGSSISFCGVNSDT
Sbjct   407  IRGRPKESTIWTSGSSISFCGVNSDT  432
```

> [gb|ABM90513.1|](#) neuraminidase [Influenza A virus
(A/Indonesia/CDC1046/2007(H5N1))]
[gb|ABM90524.1|](#) neuraminidase [Influenza A virus (A/Indonesia/CDC1046T/2007(H5N1))]
[gb|ABM90535.1|](#) neuraminidase [Influenza A virus (A/Indonesia/CDC1047/2007(H5N1))]
[gb|ABM90546.1|](#) neuraminidase [Influenza A virus (A/Indonesia/CDC1047S/2007(H5N1))]
Length=449

Score = 181 bits (460), Expect = 2e-44, Method: Compositional matrix adjust.
Identities = 86/86 (100%), Positives = 86/86 (100%), Gaps = 0/86 (0%)

```
Query  112  SRSGFEMIWDPNGWTGTDSSFSVKQDIVAITDWSGYSGSFVQHPELTGLDCIRPCFWVEL  171
       SRSGFEMIWDPNGWTGTDSSFSVKQDIVAITDWSGYSGSFVQHPELTGLDCIRPCFWVEL
Sbjct   347  SRSGFEMIWDPNGWTGTDSSFSVKQDIVAITDWSGYSGSFVQHPELTGLDCIRPCFWVEL  406
       SRSGFEMIWDPNGWTGTDSSFSVKQDIVAITDWSGYSGSFVQHPELTGLDCIRPCFWVEL

Query  172  IRGRPKESTIWTSGSSISFCGVNSDT  197
       IRGRPKESTIWTSGSSISFCGVNSDT
Sbjct   407  IRGRPKESTIWTSGSSISFCGVNSDT  432
```

> [gb|ABJ15721.1|](#) neuraminidase [Influenza A virus
(A/swine/Guangxi/wz/2004(H5N1))]
Length=449

Score = 181 bits (460), Expect = 2e-44, Method: Compositional matrix adjust.
Identities = 86/86 (100%), Positives = 86/86 (100%), Gaps = 0/86 (0%)

Query 112	SRSGFEMIWDPNGWTGTDSSFSVKQDIVAITDWSGYSGSFVQHPELTGLDCIRPCFWVEL	171
	SRSGFEMIWDPNGWTGTDSSFSVKQDIVAITDWSGYSGSFVQHPELTGLDCIRPCFWVEL	
Sbjct 347	SRSGFEMIWDPNGWTGTDSSFSVKQDIVAITDWSGYSGSFVQHPELTGLDCIRPCFWVEL	406
Query 172	IRGRPKESTIWTSGSSISFCGVNSDT	197
	IRGRPKESTIWTSGSSISFCGVNSDT	
Sbjct 407	IRGRPKESTIWTSGSSISFCGVNSDT	432

>  [gb|ABI36347.1](#) neuraminidase [Influenza A virus
(A/Indonesia/CDC624/2006(H5N1))]
[gb|ABI36358.1](#) neuraminidase [Influenza A virus (A/Indonesia/CDC624E/2006(H5N1))]
Length=449

Score = 181 bits (460), Expect = 2e-44, Method: Compositional matrix adjust.
Identities = 86/86 (100%), Positives = 86/86 (100%), Gaps = 0/86 (0%)

Query 112	SRSGFEMIWDPNGWTGTDSSFSVKQDIVAITDWSGYSGSFVQHPELTGLDCIRPCFWVEL	171
	SRSGFEMIWDPNGWTGTDSSFSVKQDIVAITDWSGYSGSFVQHPELTGLDCIRPCFWVEL	
Sbjct 347	SRSGFEMIWDPNGWTGTDSSFSVKQDIVAITDWSGYSGSFVQHPELTGLDCIRPCFWVEL	406
Query 172	IRGRPKESTIWTSGSSISFCGVNSDT	197
	IRGRPKESTIWTSGSSISFCGVNSDT	
Sbjct 407	IRGRPKESTIWTSGSSISFCGVNSDT	432

>  [gb|ABU99137.1](#) neuraminidase [Influenza A virus (A/Chicken/Indonesia/Siak1631-2/2006(H5N1))]
Length=445

Score = 181 bits (460), Expect = 2e-44, Method: Compositional matrix adjust.
Identities = 86/86 (100%), Positives = 86/86 (100%), Gaps = 0/86 (0%)

Query 112	SRSGFEMIWDPNGWTGTDSSFSVKQDIVAITDWSGYSGSFVQHPELTGLDCIRPCFWVEL	171
	SRSGFEMIWDPNGWTGTDSSFSVKQDIVAITDWSGYSGSFVQHPELTGLDCIRPCFWVEL	
Sbjct 347	SRSGFEMIWDPNGWTGTDSSFSVKQDIVAITDWSGYSGSFVQHPELTGLDCIRPCFWVEL	406
Query 172	IRGRPKESTIWTSGSSISFCGVNSDT	197
	IRGRPKESTIWTSGSSISFCGVNSDT	
Sbjct 407	IRGRPKESTIWTSGSSISFCGVNSDT	432

>  [gb|ABU98999.1](#) neuraminidase [Influenza A virus
(A/Chicken/Indonesia/Wates83/2005(H5N1))]
Length=442

Score = 181 bits (460), Expect = 2e-44, Method: Compositional matrix adjust.
Identities = 86/86 (100%), Positives = 86/86 (100%), Gaps = 0/86 (0%)

Query 112	SRSGFEMIWDPNGWTGTDSSFSVKQDIVAITDWSGYSGSFVQHPELTGLDCIRPCFWVEL	171
	SRSGFEMIWDPNGWTGTDSSFSVKQDIVAITDWSGYSGSFVQHPELTGLDCIRPCFWVEL	
Sbjct 347	SRSGFEMIWDPNGWTGTDSSFSVKQDIVAITDWSGYSGSFVQHPELTGLDCIRPCFWVEL	406
Query 172	IRGRPKESTIWTSGSSISFCGVNSDT	197
	IRGRPKESTIWTSGSSISFCGVNSDT	
Sbjct 407	IRGRPKESTIWTSGSSISFCGVNSDT	432

>  [gb|ABI36088.1](#) neuraminidase [Influenza A virus
(A/Indonesia/CDC370/2006(H5N1))]

Length=444

Score = 181 bits (459), Expect = 2e-44, Method: Compositional matrix adjust.
Identities = 86/86 (100%), Positives = 86/86 (100%), Gaps = 0/86 (0%)

Query	112	SRSGFEMIWDPNGWTGTDSSFSVKQDIVAITDWSGYSGSFVQHPELTGLDCIRPCFWVEL	171
		SRSGFEMIWDPNGWTGTDSSFSVKQDIVAITDWSGYSGSFVQHPELTGLDCIRPCFWVEL	
Sbjct	347	SRSGFEMIWDPNGWTGTDSSFSVKQDIVAITDWSGYSGSFVQHPELTGLDCIRPCFWVEL	406
Query	172	IRGRPKESTIWTSGSSISFCGVNSDT	197
		IRGRPKESTIWTSGSSISFCGVNSDT	
Sbjct	407	IRGRPKESTIWTSGSSISFCGVNSDT	432

>  [gb|ABV53521.1|](#) neuraminidase [Influenza A virus (A/chicken/Nigeria/1071-9/2007(H5N1))]
Length=449

Score = 181 bits (459), Expect = 2e-44, Method: Compositional matrix adjust.
Identities = 86/86 (100%), Positives = 86/86 (100%), Gaps = 0/86 (0%)

Query	112	SRSGFEMIWDPNGWTGTDSSFSVKQDIVAITDWSGYSGSFVQHPELTGLDCIRPCFWVEL	171
		SRSGFEMIWDPNGWTGTDSSFSVKQDIVAITDWSGYSGSFVQHPELTGLDCIRPCFWVEL	
Sbjct	347	SRSGFEMIWDPNGWTGTDSSFSVKQDIVAITDWSGYSGSFVQHPELTGLDCIRPCFWVEL	406
Query	172	IRGRPKESTIWTSGSSISFCGVNSDT	197
		IRGRPKESTIWTSGSSISFCGVNSDT	
Sbjct	407	IRGRPKESTIWTSGSSISFCGVNSDT	432

>  [gb|ABW06335.1|](#) neuraminidase [Influenza A virus (A/Indonesia/195H/2005(H5N1))]
Length=445

Score = 181 bits (459), Expect = 2e-44, Method: Compositional matrix adjust.
Identities = 86/86 (100%), Positives = 86/86 (100%), Gaps = 0/86 (0%)

Query	112	SRSGFEMIWDPNGWTGTDSSFSVKQDIVAITDWSGYSGSFVQHPELTGLDCIRPCFWVEL	171
		SRSGFEMIWDPNGWTGTDSSFSVKQDIVAITDWSGYSGSFVQHPELTGLDCIRPCFWVEL	
Sbjct	347	SRSGFEMIWDPNGWTGTDSSFSVKQDIVAITDWSGYSGSFVQHPELTGLDCIRPCFWVEL	406
Query	172	IRGRPKESTIWTSGSSISFCGVNSDT	197
		IRGRPKESTIWTSGSSISFCGVNSDT	
Sbjct	407	IRGRPKESTIWTSGSSISFCGVNSDT	432

>  [gb|ABO30349.1|](#) neuraminidase [Influenza A virus
(A/chicken/Indonesia/11/2003(H5N1))]
Length=449

Score = 181 bits (459), Expect = 2e-44, Method: Compositional matrix adjust.
Identities = 86/86 (100%), Positives = 86/86 (100%), Gaps = 0/86 (0%)

Query	112	SRSGFEMIWDPNGWTGTDSSFSVKQDIVAITDWSGYSGSFVQHPELTGLDCIRPCFWVEL	171
		SRSGFEMIWDPNGWTGTDSSFSVKQDIVAITDWSGYSGSFVQHPELTGLDCIRPCFWVEL	
Sbjct	347	SRSGFEMIWDPNGWTGTDSSFSVKQDIVAITDWSGYSGSFVQHPELTGLDCIRPCFWVEL	406
Query	172	IRGRPKESTIWTSGSSISFCGVNSDT	197
		IRGRPKESTIWTSGSSISFCGVNSDT	
Sbjct	407	IRGRPKESTIWTSGSSISFCGVNSDT	432

>  [gb|ABU99057.1|](#) neuraminidase [Influenza A virus
(A/Chicken/Padang/BPPV11/2006(H5N1))]

> [gb|ABU99058.1|](#) neuraminidase [Influenza A virus (A/Chicken/Paulau Rampang/BPPV11/2006(H5N1))]
Length=439

Score = 181 bits (459), Expect = 2e-44, Method: Compositional matrix adjust.
Identities = 86/86 (100%), Positives = 86/86 (100%), Gaps = 0/86 (0%)

Query 112	SRSGFEMIWDPNGWTGTDSSFSVKQDIVAITDWSGYSGSFVQHPELTGLDCIRPCFWVEL	171
Sbjct 347	SRSGFEMIWDPNGWTGTDSSFSVKQDIVAITDWSGYSGSFVQHPELTGLDCIRPCFWVEL	406

Query 172	IRGRPKESTIWTSGSSISFCGVNSDT	197
Sbjct 407	IRGRPKESTIWTSGSSISFCGVNSDT	432

> [gb|ACC61060.1|](#) neuraminidase [Influenza A virus (A/turkey/Saudi Arabia/6732-6/2007(H5N1))]
Length=449

Score = 181 bits (459), Expect = 2e-44, Method: Compositional matrix adjust.
Identities = 86/86 (100%), Positives = 86/86 (100%), Gaps = 0/86 (0%)

Query 112	SRSGFEMIWDPNGWTGTDSSFSVKQDIVAITDWSGYSGSFVQHPELTGLDCIRPCFWVEL	171
Sbjct 347	SRSGFEMIWDPNGWTGTDSSFSVKQDIVAITDWSGYSGSFVQHPELTGLDCIRPCFWVEL	406

Query 172	IRGRPKESTIWTSGSSISFCGVNSDT	197
Sbjct 407	IRGRPKESTIWTSGSSISFCGVNSDT	432

> [gb|ABJ16832.1|](#) neuraminidase [Influenza A virus (A/cygnus olor/Croatia/1/2005(H5N1))]
Length=449

Score = 181 bits (459), Expect = 2e-44, Method: Compositional matrix adjust.
Identities = 86/86 (100%), Positives = 86/86 (100%), Gaps = 0/86 (0%)

Query 112	SRSGFEMIWDPNGWTGTDSSFSVKQDIVAITDWSGYSGSFVQHPELTGLDCIRPCFWVEL	171
Sbjct 347	SRSGFEMIWDPNGWTGTDSSFSVKQDIVAITDWSGYSGSFVQHPELTGLDCIRPCFWVEL	406

Query 172	IRGRPKESTIWTSGSSISFCGVNSDT	197
Sbjct 407	IRGRPKESTIWTSGSSISFCGVNSDT	432

> [gb|ABI94742.1|](#) neuraminidase [Influenza A virus (A/chicken/Hubei/wf/2002(H5N1))]
Length=469

Score = 181 bits (459), Expect = 2e-44, Method: Compositional matrix adjust.
Identities = 86/86 (100%), Positives = 86/86 (100%), Gaps = 0/86 (0%)

Query 112	SRSGFEMIWDPNGWTGTDSSFSVKQDIVAITDWSGYSGSFVQHPELTGLDCIRPCFWVEL	171
Sbjct 367	SRSGFEMIWDPNGWTGTDSSFSVKQDIVAITDWSGYSGSFVQHPELTGLDCIRPCFWVEL	426

Query 172	IRGRPKESTIWTSGSSISFCGVNSDT	197
Sbjct 427	IRGRPKESTIWTSGSSISFCGVNSDT	452

> [gb|ABU99043.1](#) neuraminidase [Influenza A virus
(A/Chicken/Langkat/BBPV1/2005(H5N1))]
Length=440

Score = 181 bits (459), Expect = 2e-44, Method: Compositional matrix adjust.
Identities = 86/86 (100%), Positives = 86/86 (100%), Gaps = 0/86 (0%)

Query 112 SRSGFEMIWDPNGWTGTDSSFSVKQDIVAITDWSGYSGSFVQHPELTGLDCIRPCFWVEL 171
SRSGFEMIWDPNGWTGTDSSFSVKQDIVAITDWSGYSGSFVQHPELTGLDCIRPCFWVEL
Sbjct 347 SRSGFEMIWDPNGWTGTDSSFSVKQDIVAITDWSGYSGSFVQHPELTGLDCIRPCFWVEL 406

Query 172 IRGRPKESTIWTSGSSISFCGVNSDT 197
IRGRPKESTIWTSGSSISFCGVNSDT
Sbjct 407 IRGRPKESTIWTSGSSISFCGVNSDT 432

> [gb|ACA47903.1](#) neuraminidase [Influenza A virus (A/duck/Hunan/533/2004(H5N1))]
Length=449

Score = 181 bits (459), Expect = 2e-44, Method: Compositional matrix adjust.
Identities = 86/86 (100%), Positives = 86/86 (100%), Gaps = 0/86 (0%)

Query 112 SRSGFEMIWDPNGWTGTDSSFSVKQDIVAITDWSGYSGSFVQHPELTGLDCIRPCFWVEL 171
SRSGFEMIWDPNGWTGTDSSFSVKQDIVAITDWSGYSGSFVQHPELTGLDCIRPCFWVEL
Sbjct 347 SRSGFEMIWDPNGWTGTDSSFSVKQDIVAITDWSGYSGSFVQHPELTGLDCIRPCFWVEL 406

Query 172 IRGRPKESTIWTSGSSISFCGVNSDT 197
IRGRPKESTIWTSGSSISFCGVNSDT
Sbjct 407 IRGRPKESTIWTSGSSISFCGVNSDT 432

> [gb|ABU99149.1](#) neuraminidase [Influenza A virus (A/Chicken/Indonesia/Kulon1631-
47/2006(H5N1))]
Length=446

Score = 181 bits (459), Expect = 2e-44, Method: Compositional matrix adjust.
Identities = 86/86 (100%), Positives = 86/86 (100%), Gaps = 0/86 (0%)

Query 112 SRSGFEMIWDPNGWTGTDSSFSVKQDIVAITDWSGYSGSFVQHPELTGLDCIRPCFWVEL 171
SRSGFEMIWDPNGWTGTDSSFSVKQDIVAITDWSGYSGSFVQHPELTGLDCIRPCFWVEL
Sbjct 347 SRSGFEMIWDPNGWTGTDSSFSVKQDIVAITDWSGYSGSFVQHPELTGLDCIRPCFWVEL 406

Query 172 IRGRPKESTIWTSGSSISFCGVNSDT 197
IRGRPKESTIWTSGSSISFCGVNSDT
Sbjct 407 IRGRPKESTIWTSGSSISFCGVNSDT 432

> [gb|ABI96733.1](#) neuraminidase [Influenza A virus
(A/chicken/Hubei/wk/1997(H5N1))]
Length=449

Score = 181 bits (459), Expect = 2e-44, Method: Compositional matrix adjust.
Identities = 86/86 (100%), Positives = 86/86 (100%), Gaps = 0/86 (0%)

Query 112 SRSGFEMIWDPNGWTGTDSSFSVKQDIVAITDWSGYSGSFVQHPELTGLDCIRPCFWVEL 171
SRSGFEMIWDPNGWTGTDSSFSVKQDIVAITDWSGYSGSFVQHPELTGLDCIRPCFWVEL
Sbjct 347 SRSGFEMIWDPNGWTGTDSSFSVKQDIVAITDWSGYSGSFVQHPELTGLDCIRPCFWVEL 406

Query 172 IRGRPKESTIWTSGSSISFCGVNSDT 197
IRGRPKESTIWTSGSSISFCGVNSDT
Sbjct 407 IRGRPKESTIWTSGSSISFCGVNSDT 432

>  [gb|ABG75617.1|](#) neuraminidase [Influenza A virus (A/grebe/Tyva/Tyv06-2/06(H5N1))]
gb|ABI18102.1| neuraminidase [Influenza A virus (A/Grebe/Tyva/Tyv06-8/2006(H5N1))]
gb|AB134125.1| neuraminidase [Influenza A virus (A/grebe/Tyva/Tyv06-1/2006(H5N1))]
dbj|BAF37389.1| neuraminidase [Influenza A virus (A/common
goldeneye/Mongolia/12/2006(H5N1))]
Length=449

Score = 181 bits (459), Expect = 2e-44, Method: Compositional matrix adjust.
Identities = 86/86 (100%), Positives = 86/86 (100%), Gaps = 0/86 (0%)

Query	112	SRSGFEMIWDPNGWTGTDSSFSVKQDIVAITDWSGYSGSFVQHPELTGLDCIRPCFWVEL	171
		SRSGFEMIWDPNGWTGTDSSFSVKQDIVAITDWSGYSGSFVQHPELTGLDCIRPCFWVEL	
Sbjct	347	SRSGFEMIWDPNGWTGTDSSFSVKQDIVAITDWSGYSGSFVQHPELTGLDCIRPCFWVEL	406
Query	172	IRGRPKESTIWTSGSSISFCGVNSDT	197
		IRGRPKESTIWTSGSSISFCGVNSDT	
Sbjct	407	IRGRPKESTIWTSGSSISFCGVNSDT	432

>  [gb|ABY86501.1|](#) neuraminidase [Influenza A virus (A/goose/Lahore-Pakistan/NARC-3321/4/2006(H5N1))]
Length=449

Score = 181 bits (459), Expect = 2e-44, Method: Compositional matrix adjust.
Identities = 86/86 (100%), Positives = 86/86 (100%), Gaps = 0/86 (0%)

Query	112	SRSGFEMIWDPNGWTGTDSSFSVKQDIVAITDWSGYSGSFVQHPELTGLDCIRPCFWVEL	171
		SRSGFEMIWDPNGWTGTDSSFSVKQDIVAITDWSGYSGSFVQHPELTGLDCIRPCFWVEL	
Sbjct	347	SRSGFEMIWDPNGWTGTDSSFSVKQDIVAITDWSGYSGSFVQHPELTGLDCIRPCFWVEL	406
Query	172	IRGRPKESTIWTSGSSISFCGVNSDT	197
		IRGRPKESTIWTSGSSISFCGVNSDT	
Sbjct	407	IRGRPKESTIWTSGSSISFCGVNSDT	432

>  [gb|ABR13965.1|](#) neuraminidase [Influenza A virus (A/duck/Hunan/15/2004(H5N1))]
Length=449

Score = 181 bits (459), Expect = 2e-44, Method: Compositional matrix adjust.
Identities = 86/86 (100%), Positives = 86/86 (100%), Gaps = 0/86 (0%)

Query	112	SRSGFEMIWDPNGWTGTDSSFSVKQDIVAITDWSGYSGSFVQHPELTGLDCIRPCFWVEL	171
		SRSGFEMIWDPNGWTGTDSSFSVKQDIVAITDWSGYSGSFVQHPELTGLDCIRPCFWVEL	
Sbjct	347	SRSGFEMIWDPNGWTGTDSSFSVKQDIVAITDWSGYSGSFVQHPELTGLDCIRPCFWVEL	406
Query	172	IRGRPKESTIWTSGSSISFCGVNSDT	197
		IRGRPKESTIWTSGSSISFCGVNSDT	
Sbjct	407	IRGRPKESTIWTSGSSISFCGVNSDT	432

>  [gb|ABJ52568.1|](#) neuraminidase [Influenza A virus
(A/chicken/Jilin/hl/2004(H5N1))]
Length=469

Score = 181 bits (459), Expect = 2e-44, Method: Compositional matrix adjust.
Identities = 86/86 (100%), Positives = 86/86 (100%), Gaps = 0/86 (0%)

Query	112	SRSGFEMIWDPNGWTGTDSSFSVKQDIVAITDWSGYSGSFVQHPELTGLDCIRPCFWVEL	171
		SRSGFEMIWDPNGWTGTDSSFSVKQDIVAITDWSGYSGSFVQHPELTGLDCIRPCFWVEL	
Sbjct	367	SRSGFEMIWDPNGWTGTDSSFSVKQDIVAITDWSGYSGSFVQHPELTGLDCIRPCFWVEL	426
Query	172	IRGRPKESTIWTSGSSISFCGVNSDT	197

Sbjct 427 IRGRPKESTIWTSGSSISFCGVNSDT 452

> [gb|ACA21568.1|](#) neuraminidase [Influenza A virus
(A/chicken/Kuwait/KISR2/2007(H5N1))]
[gb|ACA21579.1|](#) neuraminidase [Influenza A virus (A/chicken/Kuwait/KISR3/2007(H5N1))]
[gb|ACA21590.1|](#) neuraminidase [Influenza A virus (A/chicken/Kuwait/KISR5/2007(H5N1))]
[gb|ACA21601.1|](#) neuraminidase [Influenza A virus (A/chicken/Kuwait/KISR6/2007(H5N1))]
[gb|ACA21634.1|](#) neuraminidase [Influenza A virus (A/chicken/Kuwait/KISR9/2007(H5N1))]

Length=449

Score = 181 bits (459), Expect = 2e-44, Method: Compositional matrix adjust.
Identities = 86/86 (100%), Positives = 86/86 (100%), Gaps = 0/86 (0%)

Query 112 SRSGFEMIWDPNGWTGTDSSFSVKQDIVAITDWSGYSGSFVQHPELTGLDCIRPCFWVEL 171
SRSGFEMIWDPNGWTGTDSSFSVKQDIVAITDWSGYSGSFVQHPELTGLDCIRPCFWVEL
Sbjct 347 SRSGFEMIWDPNGWTGTDSSFSVKQDIVAITDWSGYSGSFVQHPELTGLDCIRPCFWVEL 406

Query 172 IRGRPKESTIWTSGSSISFCGVNSDT 197
IRGRPKESTIWTSGSSISFCGVNSDT
Sbjct 407 IRGRPKESTIWTSGSSISFCGVNSDT 432

> [gb|ACA04689.1|](#) neuraminidase [Influenza A virus (A/duck/Eastern
China/304/2002(H5N1))]

Length=449

Score = 181 bits (459), Expect = 2e-44, Method: Compositional matrix adjust.
Identities = 86/86 (100%), Positives = 86/86 (100%), Gaps = 0/86 (0%)

Query 112 SRSGFEMIWDPNGWTGTDSSFSVKQDIVAITDWSGYSGSFVQHPELTGLDCIRPCFWVEL 171
SRSGFEMIWDPNGWTGTDSSFSVKQDIVAITDWSGYSGSFVQHPELTGLDCIRPCFWVEL
Sbjct 347 SRSGFEMIWDPNGWTGTDSSFSVKQDIVAITDWSGYSGSFVQHPELTGLDCIRPCFWVEL 406

Query 172 IRGRPKESTIWTSGSSISFCGVNSDT 197
IRGRPKESTIWTSGSSISFCGVNSDT
Sbjct 407 IRGRPKESTIWTSGSSISFCGVNSDT 432

> [gb|ABV53531.1|](#) neuraminidase [Influenza A virus (A/chicken/Nigeria/1071-
10/2007(H5N1))]

Length=449

Score = 181 bits (459), Expect = 2e-44, Method: Compositional matrix adjust.
Identities = 86/86 (100%), Positives = 86/86 (100%), Gaps = 0/86 (0%)

Query 112 SRSGFEMIWDPNGWTGTDSSFSVKQDIVAITDWSGYSGSFVQHPELTGLDCIRPCFWVEL 171
SRSGFEMIWDPNGWTGTDSSFSVKQDIVAITDWSGYSGSFVQHPELTGLDCIRPCFWVEL
Sbjct 347 SRSGFEMIWDPNGWTGTDSSFSVKQDIVAITDWSGYSGSFVQHPELTGLDCIRPCFWVEL 406

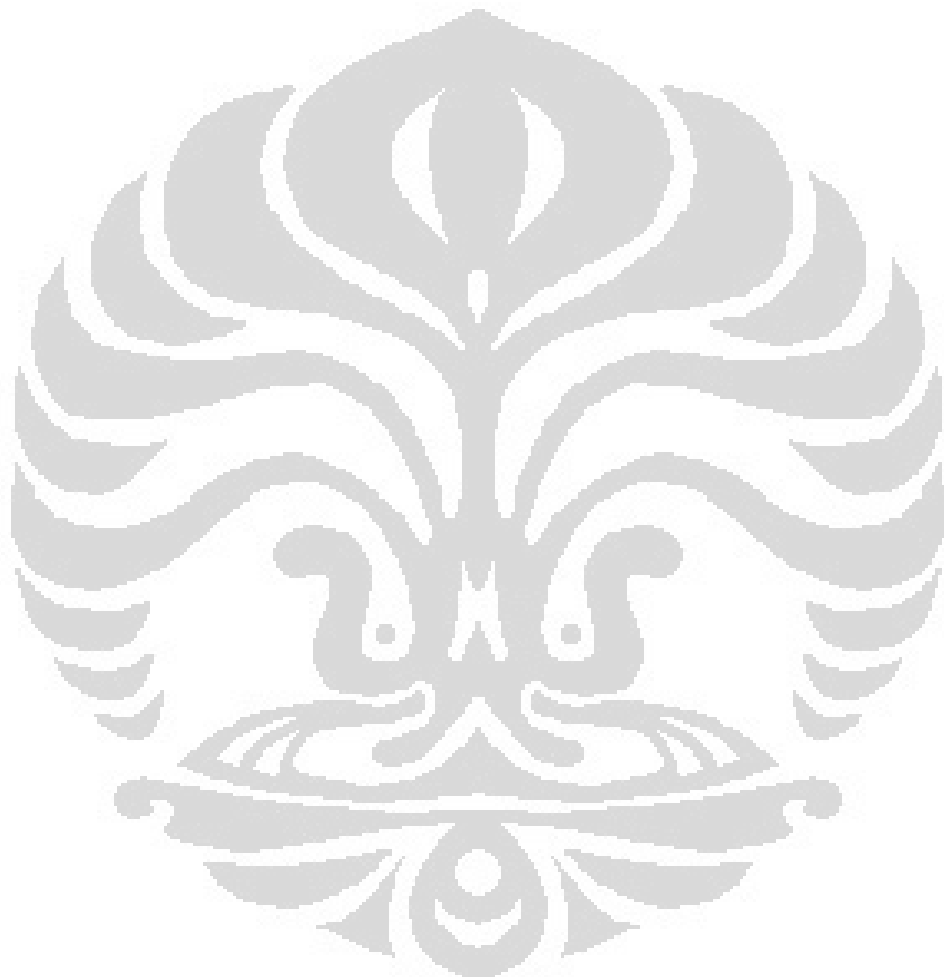
Query 172 IRGRPKESTIWTSGSSISFCGVNSDT 197
IRGRPKESTIWTSGSSISFCGVNSDT
Sbjct 407 IRGRPKESTIWTSGSSISFCGVNSDT 432

> [gb|ABU99154.1|](#) neuraminidase [Influenza A virus
(A/Chicken/Indonesia/Semerang1631-62/2007(H5N1))]

Length=441

Score = 181 bits (459), Expect = 2e-44, Method: Compositional matrix adjust.
Identities = 86/86 (100%), Positives = 86/86 (100%), Gaps = 0/86 (0%)

Query	112	SRSGFEMIWDPNGWTGTDSSFSVKQDIVAITDWSGYSGSFVQHPELTGLDCIRPCFWVEL	171
Sbjct	347	SRSGFEMIWDPNGWTGTDSSFSVKQDIVAITDWSGYSGSFVQHPELTGLDCIRPCFWVEL	406
Query	172	IRGRPKESTIWTSGSSISFCGVNSDT	197
Sbjct	407	IRGRPKESTIWTSGSSISFCGVNSDT	432



Lampiran 14. *Proteasomal Cleavage Protein Translasi Vaksin DNA*

Epitope pada Protein Conserved Region Awal	
HA	IENLNKKME-NKKMEDGFL-LDVWTYNAE-DVWTYNAEL-VWWTYNAELL-WTYNAELLV-ELLVLMENE-LLVLMENER-LVLMENERT-VLMENERTL-YDKVRLQLR-QLRDNAKEL
NA	WDPNGWTGT-WTGTDSFS-DSSFSVKQD-SSFSVKQDI-VKQDIVAIT-KQDIVAITD-DWSGYSGSF-WSGYSGSFV-SGSFVQHPE-VQHPELTGL-DCIRPCFWV-LIRGRPES- SSISFCGVN
M2	MSLLTEVET

pCMV-HA_HM2N	
HA	IENLNKKME-NKKMEDGFL-LDVWTYNAE-DVWTYNAEL-VWWTYNAELL-WTYNAELLV-ELLVLMENE-LLVLMENER-LVLMENERT-VLMENERTL-YDKVRLQLR-QLRDNAKEL
NA	WDPNGWTGT-WTGTDSFS-DSSFSVKQD-SSFSVKQDI-VKQDIVAIT-KQDIVAITD-DWSGYSGSF-WSGYSGSFV-SGSFVQHPE-VQHPELTGL-DCIRPCFWV-LIRGRPES- SSISFCGVN
M2	MSLLTEVET

pCMV-HA_HNM2	
HA	IENLNKKME-NKKMEDGFL-LDVWTYNAE-DVWTYNAEL-VWTYNAELL-WTNAELLV-ELLVLMENE-LLVLMENER-LVLMENERT-VLMENERTL-YDKVRLQLR-QLRDNAKEL
NA	WDPNGWTGT-WTGTDSSFS-DSSFSVKQD-SSFSVKQDI-VKQDIVAIT-KQDIVAITD-DWSGYSGSF-WSGYSGSFV-SGSFVQHPE-VQHPELTGL-DCIRPCFWV-LIRGRPES-SSISFCGVN
M2	MSLLTEVET

pCMV-HA_NHM2	
HA	IENLNKKME-NKKMEDGFL-LDVWTYNAE-DVWTYNAEL-VWTYNAELL-WTNAELLV-ELLVLMENE-LLVLMENER-LVLMENERT-VLMENERTL-YDKVRLQLR-QLRDNAKEL
NA	WDPNGWTGT-WTGTDSSFS-DSSFSVKQD-SSFSVKQDI-VKQDIVAIT-KQDIVAITD-DWSGYSGSF-WSGYSGSFV-SGSFVQHPE-VQHPELTGL-DCIRPCFWV-LIRGRPES-SSISFCGVN
M2	MSLLTEVET

pCMV-HA_NM2H	
HA	IENLNKKME-NKKMEDGFL-LDVWTYNAE-DVWTYNAEL-VWTYNAELL-WTNAELLV-ELLVLMENE-LLVLMENER-LVLMENERT-VLMENERTL-YDKVRLQLR-QLRDNAKEL
NA	WDPNGWTGT-WTGTDSSFS-DSSFSVKQD-SSFSVKQDI-VKQDIVAIT-KQDIVAITD-DWSGYSGSF-WSGYSGSFV-SGSFVQHPE-VQHPELTGL-DCIRPCFWV-LIRGRPES-SSISFCGVN
M2	MSLLTEVET

pCMV-HA_M2HN	
HA	IENLNKKME-NKKMEDGFL-LDVWTYNAE-DVWTYNAEL-VWWTYNAELL-WTYNAELLV-ELLVLMENE-LLVLMENER-LVLMENERT-VLMENERTL-YDKVRLQLR-QLRDNAKEL
NA	WDPNGWTGT-WTGTDSSFS-DSSFSVKQD-SSFSVKQDI-VKQDIVAIT-KQDIVAITD-DWSGYSGSF-WSGYSGSFV-SGSFVQHPE-VQHPELTGL-DCIRPCFWV-LIRGRPES- SSISFCGVN
M2	MSLLTEVET

pCMV-HA_M2NH	
HA	IENLNKKME-NKKMEDGFL-LDVWTYNAE-DVWTYNAEL-VWWTYNAELL-WTYNAELLV-ELLVLMENE-LLVLMENER-LVLMENERT-VLMENERTL-YDKVRLQLR-QLRDNAKEL
NA	WDPNGWTGT-WTGTDSSFS-DSSFSVKQD-SSFSVKQDI-VKQDIVAIT-KQDIVAITD-DWSGYSGSF-WSGYSGSFV-SGSFVQHPE-VQHPELTGL-DCIRPCFWV-LIRGRPES- SSISFCGVN
M2	MSLLTEVET

Keterangan:

Tidak muncul pada prediksi MAPPP: **IENLNKKME, SSISFCGVN** (pCMV-HA_HM2N). **IENLNKKME, MSLLTEVET** (pCMV-HA_HNM2). **WDPNGWTGT** (pCMV-HA_NHM2). **WDPNGWTGT** (pCMV-HA_NM2H). **SSISFCGVN** (pCMV-HA_M2HN).

Lampiran 15. Daftar Singkatan

BLAST *Basic Local Alignment and Search Tool*

BP *Base Pair*

CEP *Conformational Epitope Prediction*

CMV *Cytomegalovirus*

GBFF *GenBank FlatFile Format*

HA *Hemagglutinin*

HMM *Hidden Markov Model*

HPAI *Highly Pathogenic Avian Influenza*

M2 *Matrik 2*

MHC *Major Histocompatibility Complex*

MCS *Multiple Cloning Site*

NA *Neuraminidase*

SMM *Stabilized Matrix Method*

Lampiran 16. Bagan Kerja Penelitian

